

สาขาวิชาเทคโนโลยีการสื่อสารโทรคมนาคม  
บัณฑิตวิทยาลัย

STRIP TAG ANTENNA FOR RADIO FREQUENCY IDENTIFICATION  
IN ULTRA HIGH FREQUENCY BAND

พิชานันท์ วงศ์ศิริ

FITCHANUN WONGSIRITORN

พิชานันท์ เป็นส่วนหนึ่งของงานวิจัยที่ได้รับทุนอุดหนุนจากโครงการบัณฑิต

สาขาวิชาวิศวกรรมโทรคมนาคม

คณะวิศวกรรมศาสตร์

สถาบันเทคโนโลยีพระจอมเกล้าเจ้าคุณทหารลาดกระบัง

พ.ศ. 2552

KLUTEJ-2000-ETN-II-011-013

สำนักหอสมุดกลาง พระจอมเกล้าลาดกระบัง

สายอากาศแท่งชนิดแผ่นบางสำหรับระบบระบุลักษณะทางคลื่นวิทยุ  
ย่านความถี่สูงยิ่ง

STRIP TAG ANTENNA FOR RADIO FREQUENCY IDENTIFICATION  
IN ULTRA HIGH FREQUENCY BAND



T105142

พิชชานันท์ วงศ์ศิริธร

PITCHANUN WONGSIRITORN

เลขหมู่.....  
เลขทะเบียน..... 105142  
วัน,เดือน,ปี..... 1. 6. ๓. ๕. 2552

.b.....
.i.....

วิทยานิพนธ์นี้เป็นส่วนหนึ่งของการศึกษาตามหลักสูตรปริญญาวิศวกรรมศาสตรมหาบัณฑิต

สาขาวิชาวิศวกรรมโทรคมนาคม

คณะวิศวกรรมศาสตร์

สถาบันเทคโนโลยีพระจอมเกล้าเจ้าคุณทหารลาดกระบัง

พ.ศ. 2552

KMITL 2009-EN-M-010-068

**STRIP TAG ANTENNA FOR RADIO FREQUENCY IDENTIFICATION  
IN ULTRA HIGH FREQUENCY BAND**

**PITCHANUN WONGSIRITORN**

**A THESIS SUBMITTED IN PARTIAL FULFILLMENT  
OF THE REQUIREMENT FOR THE DEGREE OF  
MASTER OF ENGINEERING IN TELECOMMUNICATIONS ENGINEERING  
FACULTY OF ENGINEERING  
KING MONGKUT'S INSTITUTE OF TECHNOLOGY LADKRABANG**

**2009**

**KMITL 2009-EN-M-010-068**

**COPYRIGHT 2009**

**FACULTY OF ENGINEERING**

**KING MONGKUT'S INSTITUTE OF TECHNOLOGY LADKRABANG**

คณะวิศวกรรมศาสตร์  
สถาบันเทคโนโลยีพระจอมเกล้าเจ้าคุณทหารลาดกระบัง  
ใบรับรองวิทยานิพนธ์

หัวข้อวิทยานิพนธ์ สายอากาศแท่งชนิดแผ่นบางสำหรับระบบระบุลักษณะทางคลื่นวิทยุย่านความถี่สูงยิ่ง  
Thesis Title Strip Tag Antenna for Radio Frequency Identification in Ultra High Frequency Band  
นักศึกษา นางสาวพิชชานันท์ วงศ์ศิริธร  
รหัสประจำตัว 50060911  
ปริญญา วิศวกรรมศาสตรมหาบัณฑิต  
สาขาวิชา วิศวกรรมโทรคมนาคม  
อาจารย์ที่ปรึกษาวิทยานิพนธ์ ผศ.ดร.ชวรงค์ พงศ์เจริญพาณิชย์  
หมายเลขวิทยานิพนธ์ KMITL-2009-EN-M-010-068

คณะกรรมการสอบวิทยานิพนธ์		ลายมือชื่อ
ผศ.ดร.สุทธิชัย	นพนาถิพงษ์	
ศ.ดร.โมไนย	ไกรฤกษ์	
ผศ.ดร.คณัย	ต.รุ่งเรือง	
รศ.ดร.สมผล	โกศลวิตร	
ผศ.ดร.ชวรงค์	พงศ์เจริญพาณิชย์	

วัน / เดือน / ปี ที่สอบ วันจันทร์ที่ 25 พฤษภาคม พ.ศ. 2552 เวลา 13.00-15.00 น.

สถานที่สอบ ณ อาคาร A ชั้น 3 ห้องประชุม 2

สถาบันเทคโนโลยีพระจอมเกล้าเจ้าคุณทหารลาดกระบัง

KING MONGKUT'S INSTITUTE OF TECHNOLOGY LADKRABANG

คณะวิศวกรรมศาสตร์ รับรองแล้ว



(รองศาสตราจารย์ ดร.กอบชัย เดชหาญ)

คณบดี คณะวิศวกรรมศาสตร์

วันที่ 25 พฤษภาคม พ.ศ. 2552

หัวข้อวิทยานิพนธ์	สายอากาศแท่งชนิดแผ่นบางสำหรับระบบระบุลักษณะทางคลื่นวิทยุย่านความถี่สูงยิ่ง
นักศึกษา	นางสาวพิชชานันท์ วงศ์ศิริธร
รหัสนักศึกษา	50060911
ปริญญา	วิศวกรรมศาสตรมหาบัณฑิต
สาขาวิชา	วิศวกรรมโทรคมนาคม
พ.ศ.	2552
อาจารย์ที่ปรึกษาวิทยานิพนธ์	ผศ.ดร. ชูวงศ์ พงศ์เจริญพาณิชย์
อาจารย์ที่ปรึกษาวิทยานิพนธ์ร่วม	ผศ.ดร. คณัย ต.รุ่งเรือง

### บทคัดย่อ

วิทยานิพนธ์นี้นำเสนอการออกแบบสายอากาศแท่งสำหรับระบบระบุลักษณะทางคลื่นวิทยุ ย่านความถี่สูงยิ่ง 920-925 MHz ซึ่งสอดคล้องกับมาตรฐานทางความถี่ของระบบระบุลักษณะทางคลื่นวิทยุภายในประเทศไทย การออกแบบจะออกแบบในตัวกลางที่เป็นอากาศ โดยสิ่งสำคัญในการออกแบบสายอากาศแท่งคือสายอากาศที่ทำการออกแบบจะต้องแมตช์สังยุคกับชิปวงจรรวมเพื่อให้สายอากาศสามารถส่งผ่านพลังงานไปยังชิป วงจรรวมได้สูงสุด โดยสายอากาศที่ออกแบบในวิทยานิพนธ์นี้จะถูกออกแบบให้แมตช์สังยุคกับ ชิปวงจรรวมรุ่น NXP G2XL ที่มีค่าอิมพีแดนซ์ที่ค่าความถี่กลาง 922.5 MHz เท่ากับ  $21.3 + j191.7$  โอห์ม นำเสนอสายอากาศแท่งไดโพลกับเส้นปรสิต (parasitic lines) สำหรับการศึกษาการจำลองสายอากาศแท่งในเบื้องต้นและเป็นการทดสอบความถูกต้องของการออกแบบสายอากาศกับชิปวงจรรวมรุ่น NXP G2XL โดยสายอากาศดังกล่าวมีความง่ายและสะดวกในการออกแบบและการปรับค่าอิมพีแดนซ์ให้มีความเหมาะสมกับชิปวงจรรวม สำหรับการปรับปรุงคุณลักษณะของสายอากาศและ โครงสร้างของสายอากาศ สายอากาศขดคววนขนาดเล็กบนแผ่นวงจรพิมพ์อ่อนจะถูกออกแบบให้มีขนาดเล็กบนแผ่นวงจรพิมพ์ที่อ่อนบาง และการออกแบบจะถูกนำเสนอโดยการใช้ชิปรุ่น NXP G2XL ซึ่งเป็นชิปวงจรรวมเดียวกันกับสายอากาศไดโพลกับเส้นปรสิต โดยการทดสอบสายอากาศจะทำการทดสอบจากระยะการอ่านได้ไกลที่สุด

<b>Thesis Title</b>	Strip Tag Antenna for Radio Frequency Identification in Ultra High Frequency Band
<b>Student</b>	Miss Pitchanun Wongsiritorn
<b>Student ID.</b>	50060911
<b>Degree</b>	Master of Engineering
<b>Program</b>	Telecommunications Engineering
<b>Year</b>	2009
<b>Thesis Advisor</b>	Asst.Prof.Dr. Chuwong Phongcharoenpanich
<b>Thesis Co-advisor</b>	Asst.Prof.Dr. Danai Torrungrueng

### ABSTRACT

This thesis presents the RFID tag antenna designs for the frequency band of 920-925 MHz corresponding to the standard of UHF RFID in Thailand. The design is carried out in free space environment. An importance for design the tag antenna is that the impedance of the tag antenna must be conjugately matched with the impedance of the IC chip for the maximum power transfer from the tag antenna to the IC chip. The tag antennas are designed for conjugate matching with NXP G2XL IC Chip which has the impedance of  $21.3+j191.7$  Ohms at the center frequency of 922.5 MHz. The tag antenna design using dipole with parasitic lines is presented to show the concept of tag antenna design and test with NXP G2XL IC Chip. This tag antenna can be easily designed and adjusted its input impedance. To improve the characteristics and structure of the tag antenna, the small meander-line tag antenna on flexible PCB is presented. The proposed antenna is relatively small which are designed to match with the impedance of the same IC chip. The maximum read range is measured.

## กิตติกรรมประกาศ

วิทยานิพนธ์ฉบับนี้สำเร็จได้ด้วยดี ด้วยคำแนะนำ และคำปรึกษาจากผู้ช่วยศาสตราจารย์ ดร. ชวงค์ พงศ์เจริญพาณิชย์ ซึ่งเป็นอาจารย์ผู้ควบคุมวิทยานิพนธ์และเป็นผู้ช่วยเหลือแนะนำทั้งแนวทางทางด้านการศึกษา งานวิจัย หลักการการดำเนินชีวิตและหลักการคิดให้ชีวิตดำรงอยู่ได้อย่างมีความสุข ขอขอบพระคุณผู้ช่วยศาสตราจารย์ ดร. คณัย ต.รุ่งเรือง ที่ได้ประสิทธิ์ประสาทวิชาความรู้ และทั้งยังแนะนำกระบวนการคิดและหลักการทำงานวิจัย ให้แก่ข้าพเจ้าเสมอมา ขอขอบคุณในความเมตตาของ ดร. พรอนงค์ พงษ์ไพบูรณ์ ที่ได้แนะแนวและให้ข้อมูลงานทางด้านระบบระบุลักษณะทางคลื่นวิทยุพร้อม ทั้งยังเอื้อเพื่ออุปกรณ์อันเป็นประโยชน์มากมายแก่งานวิจัยของข้าพเจ้า ขอขอบพระคุณรองศาสตราจารย์ ดร. สมผล โกศลวิตร และศาสตราจารย์ ดร. โมไนย ไกรฤกษ์ ที่ได้ประสิทธิ์ประสาทวิชาความรู้ให้แก่ข้าพเจ้าและคำแนะนำที่มีประโยชน์ในการวิจัย

ขอขอบพระคุณคณาจารย์ ทุกๆ ท่าน ตลอดช่วงชีวิตการศึกษาของข้าพเจ้าที่ได้ประสิทธิ์ประสาทวิชาให้กับข้าพเจ้า ข้าพเจ้ารู้สึกซาบซึ้ง และขอขอบพระคุณเป็นอย่างสูงยิ่ง

ขอขอบคุณ สมาชิกห้องปฏิบัติการสื่อสารไร้สายทุกท่านสำหรับคำแนะนำ กำลังใจและข้อคิดดีๆ ตลอดช่วงเวลาที่ผ่าน มาโดยเฉพาะ คุณกิตติศักดิ์ แพบัว คุณรัฐพงษ์ สุวลักษณะ ที่คอยช่วยเหลือในงานวิจัยของข้าพเจ้าเสมอมา และคุณคณะวัติ เนื่องวงษา ที่คอยช่วยเหลืองานทางด้านปฏิบัติของข้าพเจ้า

ขอขอบคุณ คุณมารินทร์ ปานจันทร์ ที่เป็นกำลังสำคัญในการส่งเสริมทางด้านการศึกษาของข้าพเจ้าตั้งแต่เยาว์วัย และความปรารถนาดีทุกอย่างที่มอบให้แก่ข้าพเจ้าเสมอมา

สุดท้ายนี้ข้าพเจ้าขอกราบขอบพระคุณ บิดา มารดา และครอบครัวของข้าพเจ้า ที่มอบความปรารถนาดีอันเป็นกำลังใจที่สำคัญแก่ข้าพเจ้า และให้การสนับสนุนในทุกๆเรื่อง จนทำให้ข้าพเจ้าสามารถทำวิทยานิพนธ์ฉบับนี้สำเร็จลุล่วงด้วยดี คุณค่าและประโยชน์อันพึงมาจากวิทยานิพนธ์ฉบับนี้ ข้าพเจ้าขอมอบแด่ผู้มีพระคุณทุกท่าน

พิชชานันท์ วงศ์ศิริธร

# สารบัญ

	หน้า
บทคัดย่อภาษาไทย .....	I
บทคัดย่อภาษาอังกฤษ .....	II
กิตติกรรมประกาศ .....	III
สารบัญ .....	IV
สารบัญตาราง .....	VIII
สารบัญรูป .....	IX
บทที่ 1 บทนำ .....	1
1.1 ความเป็นมาของวิทยานิพนธ์และความสำคัญของปัญหา .....	1
1.2 วัตถุประสงค์การศึกษาและขอบเขตงานวิจัย .....	3
1.3 เนื้อหาของวิทยานิพนธ์ .....	3
บทที่ 2 ทฤษฎีและหลักการ .....	
2.1 บทนำ .....	5
2.2 ความเป็นมาของระบบระบุลักษณะทางคลื่นวิทยุ .....	5
2.2.1 ข้อดีของระบบระบุลักษณะทางคลื่นวิทยุ .....	6
2.2.2 การประยุกต์ใช้งานระบบระบุลักษณะของวัตถุด้วยคลื่นวิทยุ .....	7
2.3 ทฤษฎีพื้นฐานของระบบระบุลักษณะทางคลื่นวิทยุ .....	8
2.3.1 ส่วนควบคุม .....	9
2.3.2 เครื่องอ่านข้อมูล .....	10
2.3.3 แท็กหรือเครื่องถูกข่าย (Tag) .....	11
2.3.3.1 ส่วนประกอบของแท็ก .....	11
2.3.3.1.1 สายอากาศแท็ก (Tag antenna) .....	12
2.3.3.1.2 ชิปวงจรรวม (IC chip) .....	12
2.3.3.1.3 แผ่นพิมพ์และวัสดุฐานรอง (Substrate) .....	13
2.3.3.2 การแบ่งประเภทของแท็กตามวิธีการของการส่งพลังงานไปยังแท็ก .....	14
2.3.3.2.1 แท็กชนิดพาสซีฟ (Passive tag) .....	14
2.3.3.2.2 แท็กชนิดกึ่งแอ็กทีฟ (Semi-active tag) .....	15
2.3.3.2.3 แท็กชนิดแอ็กทีฟ (Active tag) .....	17

# สารบัญ (ต่อ)

หน้า

2.3.3.3 การแบ่งประเภทของแท็กตามวิธีการของความแตกต่างของโครงสร้างและการออกแบบ .....	18
2.3.3.3.1 แท็กแบบจานและเหรียญ (Disk and coin) .....	18
2.3.3.3.2 แท็กแบบกระเปาะแก้ว (Glass housing) .....	18
2.3.3.3.3 แท็กแบบหุ้มพลาสติก (Plastic housing) .....	19
2.3.3.3.4 แท็กสำหรับใช้เฉพาะกิจ .....	19
2.3.3.3.5 แท็กแบบพวงกุญแจ (Key and key fob).....	19
2.3.3.3.6 แท็กแบบนาฬิกา .....	20
2.3.3.3.7 แท็กมาตรฐาน ID-1และสมาร์ทการ์ดแบบไร้การสัมผัส .....	21
2.3.3.3.8 แท็กแบบ Smart label .....	21
2.3.3.3.9 แท็กแบบขดลวดบนชิป (Coil-on-chip) .....	22
2.4 การจัดสรรคลื่นความถี่วิทยุสำหรับระบบระบุลักษณะทางคลื่นวิทยุ .....	23
2.5 มาตรฐานของระบบระบุลักษณะทางคลื่นวิทยุ.....	24
2.6 ระบบระบุลักษณะทางคลื่นความถี่วิทยุย่านความถี่สูงยิ่ง (UHF RFID).....	27
2.7 ระบบระบุลักษณะทางคลื่นความถี่วิทยุสนามระยะไกล (Far-field RFID) .....	28
2.7.1 หลักการทำงานของระบบระบุลักษณะทางคลื่นวิทยุในสนามระยะไกล .....	29
2.7.1.1 การติดต่อสื่อสารของระบบระบุลักษณะทางคลื่นวิทยุในสนามระยะไกล .....	29
2.7.1.2 การติดต่อสื่อสารจากเครื่องอ่านข้อมูลไปยังแท็ก .....	30
2.7.1.3 การติดต่อสื่อสารจากแท็กกลับมายังเครื่องอ่านข้อมูล .....	31
2.7.2 ค่ากำลังงานการแพร่กระจายคลื่นประสิทธิผลไอโซทรอปิก (Effective Isotropic Radiated Power: EIRP) และค่ากำลังงานการแพร่กระจายคลื่นประสิทธิผล (Effective Radiated Power: ERP) .....	32
2.7.3 ค่าสัมประสิทธิ์การส่งผ่านกำลังงาน (Power transmission coefficient) .....	33
2.7.4 สัมประสิทธิ์การแมตช์ของโพลาไรซ์ (Polarization matching coefficient).....	35
2.7.5 ค่าสภาพเจาะจงทิศทาง (Directivity) .....	36
2.7.6 ประสิทธิภาพของสายอากาศ (Antenna efficiency) .....	36
2.7.7 อัตราขยายของสายอากาศ (Gain of antenna).....	36
2.7.8 ความไวของชิปวงจรรวม (Sensitivity of IC chip).....	37

# สารบัญ (ต่อ)

	หน้า
2.8 หลักการออกแบบสายอากาศแท่งของระบบระบุลักษณะของวัตถุด้วยคลื่นวิทยุ .....	37
2.9 งานวิจัยที่เกี่ยวข้องกับวิทยานิพนธ์ที่มีมาก่อน .....	39
2.10 บทสรุป.....	44
<b>บทที่ 3 การจำลองสายอากาศแท่งชนิดไดโพลกับเส้นปรสิติ .....</b>	
3.1 บทนำ.....	45
3.2 สายอากาศแท่งชนิดไดโพลกับเส้นปรสิติ (Dipole with parasitic lines) .....	45
3.2.1 โครงสร้างของสายอากาศชนิดไดโพลกับเส้นปรสิติ .....	46
3.2.2 การออกแบบสายอากาศ.....	46
3.3 การคำนวณค่าความยาวของสายอากาศเบื้องต้น .....	47
3.4 การศึกษาค่าความยาวเริ่มต้น $l_d$ ของสายอากาศ.....	48
3.5 การศึกษาความกว้างเริ่มต้น $w_d$ ของสายอากาศ.....	50
3.6 การศึกษาถึงการปรับค่าอิมพีแดนซ์โดยใช้เส้นปรสิติ.....	52
3.6.1 การเพิ่มเส้นปรสิติเส้นที่ 1 และศึกษาผลของพารามิเตอร์ $S_1$ .....	52
3.6.2 การเพิ่มเส้นปรสิติเส้นที่ 2 และศึกษาผลของพารามิเตอร์ $S_2$ .....	55
3.6.3 การเพิ่มเส้นปรสิติเส้นที่ 3 และศึกษาผลของพารามิเตอร์ $S_3$ .....	57
3.7 การปรับค่าอิมพีแดนซ์ของสายอากาศด้วยพารามิเตอร์ $l_d$ .....	59
3.8 แบบรูปการแพร่กระจายคลื่นของสายอากาศแท่งชนิดไดโพลกับเส้นปรสิติ .....	63
3.9 คุณลักษณะเชิงอิมพีแดนซ์ของสายอากาศแท่งชนิดไดโพลกับเส้นปรสิติ.....	64
3.10 ค่าสภาพเจาะจงทิศทางและค่าประสิทธิภาพความเป็นตัวนำและ ไดอิเล็กทริกของ สายอากาศแท่งชนิดไดโพลกับเส้นปรสิติ.....	66
3.11 ค่าการสูญเสียย้อนกลับของสายอากาศแท่งชนิดไดโพลกับเส้นปรสิติ.....	66
3.12 บทสรุป.....	67
<b>บทที่ 4 การจำลองสายอากาศแท่งชนิดขดคววนขนาดเล็บบนแผ่นพิมพ์อ่อน .....</b>	
4.1 บทนำ.....	68
4.2 โครงสร้างของสายอากาศแท่งชนิดขดคววนขนาดเล็บบนแผ่นพิมพ์อ่อน.....	68
4.3 การศึกษาถึงโครงสร้างที่มีผลต่อค่าอิมพีแดนซ์ของสายอากาศ .....	69
4.3.1 การศึกษาผลโครงสร้างฐานรองของชิปวงจรรวมและความยาว $l_d$ และความกว้าง $w_d$ ของสายอากาศ.....	69

## สารบัญ (ต่อ)

	หน้า
4.3.2 การเพิ่มความยาวทางไฟฟ้าและการลัดวงจรของสายอากาศ.....	74
4.4 แบบรูปการแพร่กระจายคลื่นของสายอากาศแท่งชนิดขดควมขนาดเล็บบนแผ่น พิมพ์อ่อน .....	84
4.5 คุณลักษณะเชิงอิมพีแดนซ์ของสายอากาศแท่งชนิดขดควมขนาดเล็บบนแผ่น พิมพ์อ่อน .....	85
4.6 ค่าสภาพเจาะจงทิศทางและค่าประสิทธิภาพความเป็นตัวนำและไดอิเล็กตริกของ สายอากาศแท่งชนิดขดควมขนาดเล็บบนแผ่นพิมพ์อ่อน .....	86
4.7 ค่าการสูญเสียย้อนกลับของสายอากาศแท่งชนิดขดควมขนาดเล็บบนแผ่นพิมพ์อ่อน	87
4.8 บทสรุป.....	88
<b>บทที่ 5 การสร้าง ทดสอบสายอากาศแท่งและการประเมินค่าอิมพีแดนซ์ของชิปวงจรรวมเบื้องต้น ..</b>	
5.1 บทนำ.....	89
5.2 การทดสอบระยะเวลาอ่านได้ไกลที่สุด.....	89
5.2.1 ผลการทดสอบระยะเวลาอ่านได้ไกลที่สุดของสายอากาศไดโพลกับเส้นปรสิต .	92
5.2.2 ผลการทดสอบระยะเวลาอ่านได้ไกลที่สุดของสายอากาศขนาดเล็ก .....	94
5.3 การประเมินค่าอิมพีแดนซ์ของชิปวงจรรวมเบื้องต้น .....	95
5.3.1 การประเมินค่าอิมพีแดนซ์จากการคำนวณ .....	96
5.3.2 การประเมินค่าอิมพีแดนซ์ของชิปวงจรรวมเบื้องต้นจากชุดสายอากาศไดโพล กับเส้นปรสิต .....	97
5.4 บทสรุป.....	102
<b>บทที่ 6 สรุปผลการวิจัยและข้อเสนอแนะ.....</b>	
6.1 บทนำ.....	103
6.2 สรุปผลการวิจัย.....	103
6.3 ข้อดี ข้อเสีย ข้อเสนอแนะและแนวทางการพัฒนา .....	104
บรรณานุกรม.....	106
ภาคผนวก.....	109
ประวัติผู้เขียน .....	116

# สารบัญตาราง

ตารางที่	หน้า
2.1 การเปรียบเทียบคุณสมบัติของระบบระบุลักษณะทางคลื่นวิทยุกับระบบรหัสแท่ง .....	6
2.2 ความถี่วิทยุที่นำมาใช้ในงานด้านต่างๆสำหรับ ระบบระบุลักษณะทางคลื่นวิทยุ .....	24
2.3 มาตรฐานของ EPC Global .....	25
2.4 มาตรฐานของ ISO .....	26
2.5 มาตรฐานย่านความถี่สูงยิ่ง (UHF) ของระบบระบุลักษณะทางคลื่นวิทยุที่อนุญาตให้ใช้ในแต่ละประเทศ .....	27
2.6 สายอากาศทั่วไปในระบบระบุลักษณะทางคลื่นวิทยุ .....	44
3.1 พารามิเตอร์ของสายอากาศสตริปไดโพลเริ่มต้น .....	48
3.2 สรุปการเปลี่ยนแปลงพารามิเตอร์ของสายอากาศและคุณลักษณะเชิงอิมพีแดนซ์ที่มีความเหมาะสมที่ได้ทำการจำลอง .....	62
3.3 พารามิเตอร์ของสายอากาศที่เหมาะสมที่ได้ทำการจำลอง .....	63
4.1 พารามิเตอร์เริ่มต้นสายอากาศสตริปไดโพลบนแผ่นพิมพ์อ่อน .....	71
4.2 พารามิเตอร์สายอากาศสตริปไดโพลบนแผ่นพิมพ์อ่อนภายใต้โครงสร้างที่กำหนด (ก) สายอากาศสตริปไดโพลบนแผ่นพิมพ์อ่อนบนวัสดุฐานรองขยายความกว้าง $w_p$ .....	75
(ข) สายอากาศสตริปไดโพลขดคววนหนึ่งขด บนแผ่นพิมพ์อ่อน .....	75
(ค) สายอากาศสตริปไดโพลขดคววนสองขด บนแผ่นพิมพ์อ่อน .....	76
4.3 พารามิเตอร์ของสายอากาศสตริปไดโพลแบบขดคววนบนแผ่นพิมพ์อ่อน .....	79
4.4 สรุปการเปลี่ยนแปลงโครงสร้างของสายอากาศวัสดุฐานรองชนิดอ่อนและคุณลักษณะเชิงอิมพีแดนซ์ที่เหมาะสมที่ได้จำลองที่ค่าความถี่ 922.5 MHz .....	83
5.1 คุณสมบัติของเครื่องอ่านข้อมูล .....	91
5.2 คุณสมบัติของสายอากาศอ้างอิงที่มีการ โพลารไรซ์เป็นแบบเชิงเส้น .....	91
5.3 ค่าพารามิเตอร์ต่างๆ ที่ใช้ในการสร้างสายอากาศต้นแบบ .....	93
5.4 ค่าพารามิเตอร์ต่างๆ ที่ใช้ในการสร้างสายอากาศต้นแบบขดคววนขนาดเล็กบนแผ่นพิมพ์อ่อน .....	94
5.5 ค่าพารามิเตอร์ต่างๆ ที่ใช้ในการสร้างสายอากาศแท่งชนิดไดโพลกับเส้นปรสิติที่นำมาประเมินความถูกต้องของชิปวงจรรวมเบื้องต้น .....	98
5.4 สรุปสมรรถนะของชุดสายอากาศที่ทำการนำมาประเมินความถูกต้องของชิปวงจรรวมเบื้องต้นที่ค่าความถี่กลาง 922.5 MHz .....	101

# สารบัญรูป

รูปที่	หน้า
1.1 ส่วนประกอบของระบบ RFID.....	2
2.1 โครงสร้างของระบบระบุลักษณะทางคลื่นวิทยุ.....	9
2.2 ส่วนประกอบของเครื่องอ่านข้อมูล.....	10
2.3 ลักษณะของเครื่องอ่านข้อมูลแบบต่างๆ.....	11
2.4 ส่วนประกอบพื้นฐานของแท็ก.....	11
2.5 องค์ประกอบพื้นฐานภายในชิปวงจรรวม.....	12
2.6 แท็กชนิดพาสซีฟในรูปแบบต่างๆ.....	14
2.7 หลักการทำงานของแท็กชนิดพาสซีฟ.....	15
2.8 แท็กชนิดกึ่งแอ็กทีฟ.....	16
2.9 หลักการทำงานของแท็กชนิดกึ่งแอ็กทีฟ.....	16
2.10 แท็กชนิดแอ็กทีฟ.....	17
2.11 หลักการทำงานของแท็กชนิดแอ็กทีฟ.....	17
2.12 แท็กแบบจานและเหรียญ.....	18
2.13 แท็กแบบกระดาษแก้ว.....	19
2.14 แท็กแบบหุ้มพลาสติก.....	19
2.15 แท็กสำหรับใช้เฉพาะกิจ.....	19
2.16 แท็กแบบพวงกุญแจ.....	20
2.17 แท็กแบบนาฬิกา.....	20
2.18 แท็กมาตรฐาน ID-1 และ สมาร์ทการ์ดแบบไร้การสัมผัส.....	21
2.19 แท็กแบบ Smart Label.....	22
2.20 แท็กแบบขดลวดบนชิป.....	22
2.21 ข่านความถี่ที่นำมาใช้ในระบบระบุลักษณะทางคลื่นวิทยุ.....	23
2.22 กำลังงานและกลไกการติดต่อสื่อสารสำหรับระบบระบุลักษณะทางคลื่นวิทยุบริเวณสนาม ระยะไกล.....	29
2.23 กำลังงานการแพร่กระจายคลื่นประสิทธิผลไอโซทรอปิก.....	32
2.24 กำลังงานที่ส่งมายังแท็กและวงจรสมมูล (ก) กำลังงานที่ส่งมายังโครงสร้างของแท็ก (ข) วงจร สมมูล.....	34
2.25 แผนผังหลักการออกแบบสายอากาศแท็ก.....	40
2.26 โครงสร้างของสายอากาศแท็กขดลวดที่มีโหลด.....	40

## สารบัญรูป (ต่อ)

รูปที่	หน้า
2.27 กราฟค่าอิมพีแดนซ์ของสายอากาศ .....	41
2.28 กราฟพอร์แมตไลซ์ระยะการอ่านไกลที่สุดต่อค่าสัมประสิทธิ์การส่งผ่านกำลังงาน .....	42
2.29 สายอากาศแท่งชนิดโค้งงอและขดคววน .....	42
2.30 ค่าสัมประสิทธิ์การส่งผ่านกำลังงานของแท่ง.....	43
3.1 สายอากาศแท่งชนิดโคโพลกับเส้นปรสิติ (ก) มุมมองด้านหน้า (ข) มุมมองด้านข้าง.....	46
3.2 โครงสร้างสายอากาศสตริปโคโพลเริ่มต้น .....	47
3.3 ค่าอิมพีแดนซ์ของสายอากาศสตริปโคโพลเมื่อเปลี่ยนความยาว $l_d$ ที่ความถี่กลาง 922.5 MHz (ก) ค่าความต้านทาน (ข) ค่ารีแอ็กแตนซ์ .....	49
3.4 ค่าเปอร์เซ็นต์การส่งผ่านกำลังงานของสายอากาศสตริปโคโพลเมื่อมีการเปลี่ยนความยาว $l_d$ ที่ ความถี่กลาง 922.5 MHz .....	50
3.5 ค่าอิมพีแดนซ์ของสายอากาศสตริปโคโพลเมื่อมีการเปลี่ยนความกว้าง $w_d$ ที่ความถี่กลาง 922.5 MHz (ก) ค่าความต้านทาน (ข) ค่ารีแอ็กแตนซ์ .....	51
3.6 สายอากาศสตริปโคโพลกับเส้นปรสิติที่ 1 .....	52
3.7 ค่าอิมพีแดนซ์ของสายอากาศสตริปโคโพลกับเส้นปรสิติที่ 1 เมื่อความกว้างระยะ $S_1$ มีการ เปลี่ยนแปลงที่ความถี่กลาง 922.5 MHz (ก) ค่าความต้านทาน (ข) ค่ารีแอ็กแตนซ์ .....	53
3.8 ค่าเปอร์เซ็นต์การส่งผ่านกำลังงานของสายอากาศสตริปโคโพลกับเส้นปรสิติที่ 1 เมื่อความกว้าง ระยะ $S_1$ มีการเปลี่ยนแปลงที่ความถี่กลาง 922.5 MHz .....	54
3.9 สายอากาศสตริปโคโพลกับเส้นปรสิติที่ 2 .....	55
3.10 ค่าอิมพีแดนซ์ของสายอากาศสตริปโคโพลกับเส้นปรสิติที่ 2 เมื่อความกว้างระยะ $S_2$ มีการ เปลี่ยนแปลงที่ค่าความถี่กลาง 922.5 MHz (ก) ค่าความต้านทาน (ข) ค่ารีแอ็กแตนซ์ .....	56
3.11 ค่าเปอร์เซ็นต์การส่งผ่านกำลังงานของสายอากาศสตริปโคโพลกับเส้นปรสิติที่ 2 เมื่อความ กว้างระยะ $S_2$ มีการเปลี่ยนแปลงที่ความถี่กลาง 922.5 MHz .....	57
3.12 ค่าอิมพีแดนซ์ของสายอากาศสตริปโคโพลกับเส้นปรสิติที่ 3 เมื่อความกว้างระยะ $S_3$ มีการ เปลี่ยนแปลงที่ความถี่กลาง 922.5 MHz (ก) ค่าความต้านทาน (ข) ค่ารีแอ็กแตนซ์ .....	58
3.13 ค่าเปอร์เซ็นต์การส่งผ่านกำลังงานของสายอากาศสตริปโคโพลกับเส้นปรสิติที่ 3 เมื่อความ กว้างระยะ $S_3$ มีการเปลี่ยนแปลงที่ความถี่กลาง 922.5 MHz.....	59
3.14 ค่าอิมพีแดนซ์ของสายอากาศสตริปโคโพลกับเส้นปรสิติเมื่อมีการเปลี่ยนความยาว $l_d$ (ครั้งที่ 2) ที่ความถี่กลาง 922.5 MHz.....	60
3.15 ค่าเปอร์เซ็นต์การส่งผ่านกำลังงานของสายอากาศสตริปโคโพลเมื่อมีการเปลี่ยนความยาว $l_d$ (ครั้งที่ 2) ที่ความถี่กลาง 922.5 MHz.....	61

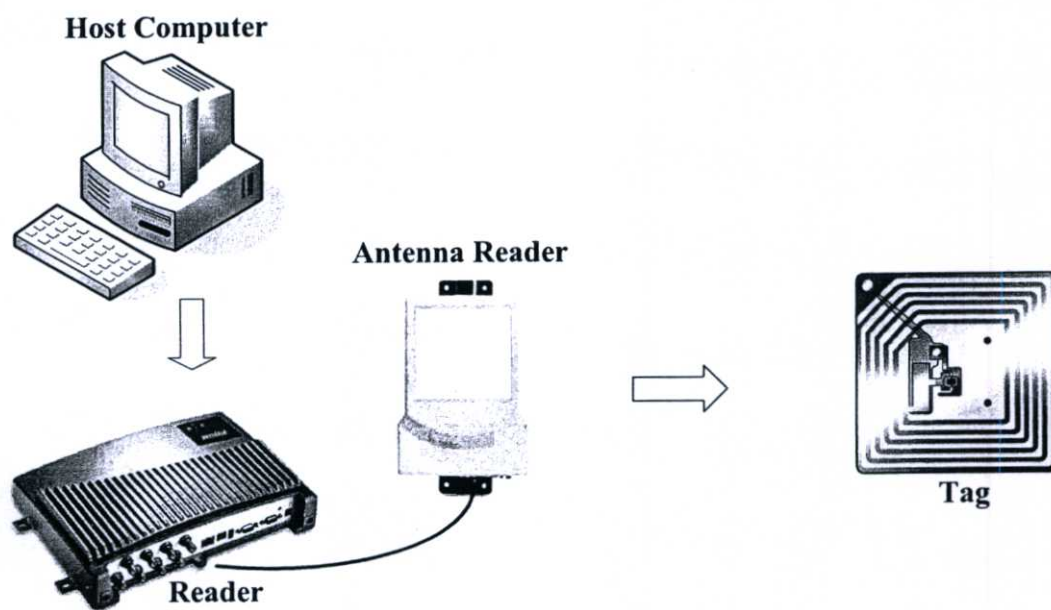
# สารบัญรูป (ต่อ)

รูปที่	หน้า
3.16 ผลการจำลองแบบรูปการแพร่กระจายคลื่นของสายอากาศแท่งชนิดไดโพลกับเส้นปรสิติด (ก) ระนาบสนามไฟฟ้า (E-plane) หรือระนาบ YZ (YZ-plane) (ข) ระนาบสนามแม่เหล็กหรือระนาบ XZ (XZ-plane) .....	64
3.17 ค่าอิมพีแดนซ์ของสายอากาศไดโพลกับเส้นปรสิติด (ก) ค่าความต้านทาน (ข) ค่ารีแอ็กแตนซ์	65
3.18 ค่าสภาพเจาะจงทิศทางของสายอากาศไดโพลกับเส้นปรสิติด .....	66
3.19 ค่าการสูญเสียย้อนกลับของสายอากาศไดโพลกับเส้นปรสิติด .....	66
4.1 โครงสร้างของสายอากาศแท่งชนิดขดคววนขนาดเล็กแผ่นพิมพ์อ่อน (ก) มุมมองด้านหน้า (ข) มุมมองด้านข้าง .....	69
4.2 ส่วนโครงสร้างฐานรองของชิปวงจรรวม .....	70
4.3 ค่าอิมพีแดนซ์โครงสร้างฐานรองของชิปวงจรรวม .....	70
4.4 สายอากาศสตริปไดโพลบนวัสดุฐานรองชนิดอ่อนเริ่มต้น .....	70
4.5 ค่าอิมพีแดนซ์ของสายอากาศสตริปไดโพลบนแผ่นพิมพ์อ่อนเริ่มต้นเมื่อมีการเปลี่ยนความยาว $l_d$ ที่ความถี่กลาง 922.5 MHz .....	71
4.6 ค่าเปอร์เซ็นต์การส่งผ่านกำลังงานของสายอากาศสตริปไดโพลบนแผ่นพิมพ์อ่อนเริ่มต้นเมื่อมีการเปลี่ยนความยาว $l_d$ ที่ความถี่กลาง 922.5 MHz .....	72
4.7 ค่าอิมพีแดนซ์ของสายอากาศสตริปไดโพลบนแผ่นพิมพ์อ่อนเริ่มต้นเมื่อมีการเปลี่ยนความกว้าง $w_d$ ที่ความถี่กลาง 922.5 MHz .....	73
4.8 ค่าเปอร์เซ็นต์การส่งผ่านกำลังงานของสายอากาศสตริปไดโพลบนแผ่นพิมพ์อ่อนเริ่มต้นเมื่อมีการเปลี่ยนความกว้าง $w_d$ ที่ความถี่กลาง 922.5 MHz .....	73
4.9 สายอากาศสตริปไดโพลขดคววนบนแผ่นพิมพ์อ่อนเริ่มต้นภายใต้โครงสร้างที่กำหนด (ก) สายอากาศสตริปไดโพลขดคววนหนึ่งขด บนแผ่นพิมพ์อ่อนภายใต้ขนาดที่กำหนด (ข) สายอากาศสตริปไดโพลขดคววนสองขด บนแผ่นพิมพ์อ่อนภายใต้ขนาดที่กำหนด .....	75
4.10 ค่าอิมพีแดนซ์ของ โครงสร้างสายอากาศแท่งที่ทำการศึกษาบนแผ่นพิมพ์อ่อนขนาด $0.10 \lambda_0 \times 0.25 \lambda_0$ (ก) ค่าความต้านทานของสายอากาศ (ข) ค่ารีแอ็กแตนซ์ .....	78
4.11 ค่าเปอร์เซ็นต์การส่งผ่านกำลังงานของ โครงสร้างสายอากาศแท่งที่ทำการศึกษาบนแผ่นพิมพ์อ่อนขนาด $0.10 \lambda_0 \times 0.25 \lambda_0$ .....	78
4.12 การเปรียบเทียบการเปลี่ยนแปลงค่าอิมพีแดนซ์ของสายอากาศแท่งเมื่อมีการเพิ่ม โครงสร้างการลัดวงจร (ก) ค่าความต้านทานของสายอากาศ (ข) ค่ารีแอ็กแตนซ์ .....	81

# สารบัญรูป (ต่อ)

รูปที่	หน้า
4.13 การเปรียบเทียบการเปลี่ยนแปลงของค่าเปอร์เซ็นต์การส่งผ่านกำลังงานของสายอากาศแท่งเมื่อมีการเพิ่มโครงสร้างการลัดวงจร .....	81
4.14 ผลการจำลองแบบรูปการแพร่กระจายคลื่นของสายอากาศแท่งขดควมขนาดเล็กบนแผ่นพิมพ์อ่อน (ก) ระนาบสนามไฟฟ้า (E-plane) หรือระนาบ YZ (YZ-plane) (ข) ระนาบสนามแม่เหล็กหรือระนาบ XZ (XZ-plane) .....	84
4.15 ค่าอิมพีแดนซ์ของสายอากาศแท่งชนิดขดควมขนาดเล็กบนแผ่นพิมพ์อ่อน (ก) ค่าความต้านทานของสายอากาศ (ข) ค่ารีแอ็กแตนซ์ .....	86
4.16 ค่าสภาพเจาะจงทิศทางของสายอากาศแท่งชนิดขดควมขนาดเล็กบนแผ่นพิมพ์อ่อน .....	87
4.17 ค่าการสูญเสียย้อนกลับของสายอากาศแท่งชนิดขดควมขนาดเล็กบนแผ่นพิมพ์อ่อน .....	87
5.1 เครื่องอ่านข้อมูล RFID ของบริษัท IET รุ่น RU-110 .....	90
5.2 ลักษณะโครงสร้างของสายอากาศเครื่องอ่านข้อมูล (มุมมอง 3 มิติ) .....	91
5.3 ไดอะแกรมการทดสอบเพื่อหาค่าระยะการอ่านได้ไกลที่สุดของสายอากาศ .....	92
5.4 รูปถ่ายสายอากาศไดโพลกับเส้นปรสิติ .....	92
5.5 รูปการทดสอบระยะทางการอ่านได้ไกลที่สุดของสายอากาศไดโพลกับเส้นปรสิติ .....	93
5.6 รูปถ่ายสายอากาศขดควมขนาดเล็กบนแผ่นพิมพ์อ่อน .....	94
5.7 การทดสอบระยะการอ่านได้ไกลที่สุดของสายอากาศขดควมขนาดเล็กบนแผ่นพิมพ์อ่อน ....	95
5.8 แผนผังรูปแบบการประเมินค่าอิมพีแดนซ์ของชิปวงจรรวมในเบื้องต้น .....	96
5.9 สายอากาศแท่งชนิดไดโพลกับเส้นปรสิติที่ทำการนำมาประเมินความถูกต้องของชิปวงจรรวมเบื้องต้น (ก) มุมมองด้านหน้า (ข) มุมมองด้านข้าง .....	98
5.10 ผลการจำลองแบบรูปการแพร่กระจายคลื่นของชุดสายอากาศที่นำมาประเมินความถูกต้องของชิปวงจรรวมเบื้องต้น (ก) ระนาบสนามไฟฟ้า (E-plane) หรือระนาบ YZ (YZ-plane) (ข) ระนาบสนามแม่เหล็กหรือระนาบ XZ (XZ-plane) .....	99
5.11 ชุดสายอากาศที่นำมาประเมินความถูกต้องของชิปวงจรรวมเบื้องต้น (ก) สายอากาศไดโพลกับเส้นปรสิติลำดับที่ 1 (ข) สายอากาศไดโพลกับเส้นปรสิติลำดับที่ 2 (ค) สายอากาศไดโพลกับเส้นปรสิติลำดับที่ 3 .....	100
5.12 กราฟนอร์แมลไลซ์ระยะทางการอ่านได้ไกลที่สุด .....	101
6.1 โครงสร้างสายอากาศที่ทำการออกแบบ (ก) สายอากาศแท่งไดโพลกับเส้นปรสิติ (ข) สายอากาศแท่งขดควมขนาดเล็กบนแผ่นพิมพ์อ่อน .....	104

ระบุลักษณะทางคลื่นความถี่วิทยุย่านความถี่สูงยิ่ง โดยส่วนมากจะเน้นไปในทางวงการทางการค้า ทำให้ปัจจุบันได้ทวีความต้องการมากขึ้น [4] ในย่านความถี่สุดท้ายคือย่านความถี่ไมโครเวฟซึ่งมีระยะการใช้งานที่สูงมาก การนำไปประยุกต์ใช้งานโดยส่วนมากนั้นจะถูกนำไปใช้ในระบบโครงข่ายท้องถิ่นไร้สาย (Wireless LAN) อุตสาหกรรมรถยนต์และการเข้าออกสถานที่เป็นต้น



รูปที่ 1.1 ส่วนประกอบของระบบระบุลักษณะทางคลื่นวิทยุ

ระบบระบุลักษณะทางคลื่นวิทยุจะมีส่วนประกอบหลัก แบ่งออกเป็นสามส่วนดังแสดงในรูปที่ 1.1 ส่วนแรกคือแท็ก จะใช้คลื่นวิทยุที่ทำการระบุโดยภายในแท็ก ประกอบไปด้วยชิปวงจรรวมที่มีการบันทึกข้อมูลของวัตถุนั้นๆและสายอากาศขนาดเล็ก ส่วนที่สองคือเครื่องอ่านข้อมูลซึ่งมีหน้าที่ในการเชื่อมต่อระหว่างแท็กและส่วนควบคุมพร้อมทั้งยังทำหน้าที่ในการอ่านและเขียนข้อมูลของแท็กด้วย ส่วนสุดท้ายจะเป็นส่วนควบคุม ในส่วนนี้จะรวมถึงเครื่องคอมพิวเตอร์และโปรแกรมที่ใช้งานในระบบระบุลักษณะทางคลื่นวิทยุ โดยหลักการทำงานของระบบระบุลักษณะทางคลื่นวิทยุย่านความถี่สูงยิ่งคือ เมื่อมีแท็กเข้ามาในระยะการทำงานของเครื่องอ่านข้อมูลแล้วเครื่องอ่านจะทำการส่งสัญญาณคลื่นวิทยุไปยังแท็ก หลังจากนั้นแท็กจะส่งสัญญาณกลับมายังเครื่องอ่านข้อมูล

จากที่ได้กล่าวไปแล้วในข้างต้นเนื่องจากระบบระบุลักษณะทางคลื่นวิทยุในย่านความถี่สูงยิ่งมีการนำไปใช้อย่างกว้างขวางมากขึ้นและมีการกระจายการนำไปใช้งานอย่างรวดเร็ว ซึ่งมาตรฐานทางความถี่ของระบบระบุลักษณะทางคลื่นวิทยุย่านความถี่สูงยิ่งนี้มีความแตกต่างกันออกไป ตามมาตรฐานและข้อกำหนดของแต่ละประเทศ [4] สำหรับในกรณีของประเทศไทยมีการจัดสรรช่วงความถี่ที่ใช้งานในช่วง 920-925 MHz [5] ซึ่งการใช้งานระบบระบุลักษณะทาง

คลื่นวิทยุ สายอากาศขนาดเล็กที่สามารถใช้งานได้ในย่านความถี่สูงยิ่งตามมาตรฐานที่ประเทศไทยกำหนดนั้นมีความจำเป็นอย่างมาก ในการใช้งานระบบระบุลักษณะทางคลื่นความถี่วิทยุในประเทศ ดังนั้นวิทยานิพนธ์นี้จึงนำเสนอสายอากาศแท่งขนาดเล็กสามารถใช้งานได้ในย่านความถี่สูงยิ่ง ตามมาตรฐานของประเทศไทยซึ่งสายอากาศดังกล่าวจะสามารถนำไปพัฒนาให้ดีขึ้นและสามารถนำไปพัฒนาและใช้งานได้จริงภายในอนาคต

## 1.2 วัตถุประสงค์การศึกษาและขอบเขตงานวิจัย

วิทยานิพนธ์ฉบับนี้มีวัตถุประสงค์เพื่อการศึกษาและออกแบบสายอากาศแท่งที่ใช้งานในระบบระบุลักษณะทางคลื่นวิทยุย่านความถี่สูงยิ่งชนิดพาสซีฟ ที่สามารถใช้งานได้ตามมาตรฐานการใช้งานระบบระบุลักษณะทางคลื่นความถี่วิทยุตามมาตรฐานภายในประเทศ 920-925 MHz โดยโครงสร้างของสายอากาศจะประกอบไปด้วยตัวนำซึ่งวางอยู่บนวัสดุฐานรอง (Substrate) ส่วนสำคัญสำหรับการออกแบบสายอากาศแท่งนั้นคือการที่สายอากาศแท่งสามารถส่งต่อพลังงานงานจากสายอากาศไปยังชิปวงจรรวม (IC Chip) ให้ได้มากที่สุดนั้นหมายความว่าสายอากาศแท่งที่ออกแบบนั้นต้องมีค่าอิมพีแดนซ์ที่มีความเหมาะสมกับชิป (Conjugate match) [6] แต่และชนิดที่นำมาออกแบบ โดยในวิทยานิพนธ์นี้สายอากาศแท่งจะถูกออกแบบไปกับชิปวงจรรวมรุ่น NXP G2XL [7] โดยสายอากาศที่ทำการศึกษาและออกแบบก็จะทำการออกแบบให้มีความเหมาะสมกับชิปรุ่นดังกล่าว โครงสร้างของสายอากาศที่นำเสนอจะประกอบไปด้วยสายอากาศโคโพลกับเส้นปรสิต (Parasitic lines) ที่มีโครงสร้างในการออกแบบที่ง่ายและสามารถปรับค่าอิมพีแดนซ์ของสายอากาศให้เหมาะสมกับชิปได้ง่าย ในส่วนต่อมาจะเป็นการออกแบบสายอากาศให้มีคุณลักษณะที่ดีขึ้น โดยจะเป็นการลดขนาดทางโครงสร้างให้สายอากาศมีขนาดที่เล็กลงบนวัสดุฐานรองชนิดอ่อนแต่ยังคงมีคุณลักษณะที่มีความเหมาะสมกับการนำมาใช้กับชิปวงจรรวมรุ่น NXP G2XL โดยโครงสร้างที่นำเสนอคือสายอากาศขดวงวนขนาดเล็กที่สร้างบนวัสดุฐานรองชนิดอ่อน เพื่อให้โครงสร้างของแท่งนั้นสามารถโค้งงอได้ โดยการพิจารณาประสิทธิภาพของสายอากาศแท่งจะพิจารณาจากการทดสอบระยะทางการอ่านได้ไกลที่สุด (Maximum read range) ผลการวิเคราะห์จากวิทยานิพนธ์นี้จะเป็นประโยชน์ในการออกแบบ และสร้างสายอากาศแท่งเพื่อใช้ในระบบระบุลักษณะทางคลื่นวิทยุย่านความถี่สูงยิ่ง (UHF RFID)

## 1.3 เนื้อหาของวิทยานิพนธ์

วิทยานิพนธ์ฉบับนี้ได้แบ่งเนื้อหาออกเป็น 6 บทด้วยกัน คือ

บทที่ 1 กล่าวถึงความเป็นมาและความสำคัญของงานวิจัย วัตถุประสงค์การศึกษา ขอบเขตงานวิจัย และเนื้อหาของวิทยานิพนธ์

บทที่ 2 ในบทนี้จะกล่าวถึงทฤษฎีพื้นฐานของระบบระบุลักษณะทางคลื่นวิทยุและหลักการพื้นฐานของสายอากาศแท่งพร้อมทั้งหลักการออกแบบโดยทั่วไป รวมถึงงานวิจัยที่มีมาก่อนที่เกี่ยวข้อง

บทที่ 3 ในหัวข้อนี้จะกล่าวถึงการออกแบบสายอากาศแท่งสายอากาศไดโพลที่ออกแบบโดยใช้เส้นประติกับวงจรรวมรุ่น NXP G2XL พร้อมทั้งศึกษาพารามิเตอร์ที่มีผลต่อค่าอิมพีแดนซ์ของสายอากาศและทำการวิเคราะห์ผลที่ได้จากการออกแบบ

บทที่ 4 ในหัวข้อนี้จะกล่าวถึงการออกแบบสายอากาศแท่งขดวงวนขนาดเล็กบนแผ่นพิมพ์อ่อนที่ออกแบบกับวงจรรวมรุ่น NXP G2XL และทำการออกแบบบนวัสดุฐานรองชนิดอ่อนพร้อมทั้งศึกษาโครงสร้างที่มีอิทธิพลต่อค่าอิมพีแดนซ์ของสายอากาศและมีผลต่อการลดขนาดสายอากาศพร้อมทั้งทำการวิเคราะห์ผลที่ได้จากการออกแบบ

บทที่ 5 ในบทนี้จะกล่าวถึงผลการทดสอบคุณลักษณะสายอากาศแท่งโดยประเมินจากการหาระยะการอ่านได้ไกลที่สุดของสายอากาศแท่งที่ออกแบบ ของทั้งสายอากาศแท่งชนิดไดโพลกับเส้นประติและสายอากาศขดวงวนขนาดเล็กบนแผ่นพิมพ์อ่อน และจะกล่าวถึงการนำแท่งไดโพลที่ออกแบบโดยใช้เส้นประติมาใช้ในการประเมินความถูกต้องของชิปวงจรรวมในเบื้องต้นโดยใช้การประเมินจากระยะการอ่านได้ไกลที่สุด

บทที่ 6 กล่าวถึงการสรุปเนื้อหาโดยรวม ปัญหาที่เกิดขึ้นพร้อมทั้งวิธีแก้ไขปัญหาในเบื้องต้น พร้อมทั้งสรุปผลกระทบในการเปลี่ยนค่าพารามิเตอร์ต่างๆของสายอากาศ การสร้างและผลการทดสอบสายอากาศทั้งหมด สรุปข้อดีและข้อเสียของสายอากาศแบบต่างๆพร้อมทั้งเสนอแนวทางการพัฒนาสายอากาศต่อ

## บทที่ 2

# ทฤษฎีและหลักการ

### 2.1 บทนำ

ในบทนี้กล่าวถึงทฤษฎีพื้นฐาน ความเป็นมา หลักการทำงานโดยทั่วไปของระบบระบุลักษณะทางคลื่นวิทยุ (RFID system) ข้อดีของการนำเอาระบบระบุลักษณะทางคลื่นวิทยุ มาใช้งาน ส่วนประกอบที่สำคัญของระบบซึ่งประกอบไปด้วย ส่วนควบคุม เครื่องอ่านข้อมูล และแท็ก และจะกล่าวถึงหลักการทำงานของระบบระบุลักษณะทางคลื่นวิทยุอันความถี่สูงยิ่ง พร้อมทั้งอธิบายหลักการติดต่อสื่อสาร โดยหลักการกระจัดกระจายย้อนกลับ (Backscattering communication) และหลักการออกแบบโดยทั่วไปของสายอากาศเครื่องลูกข่ายหรือแท็ก เพื่อนำไปใช้ประโยชน์ในการศึกษาและการออกแบบในส่วนต่อไปพร้อมกับรายละเอียดมาตรฐานการใช้งานและการจัดสรรคลื่นความถี่ของระบบระบุลักษณะทางคลื่นวิทยุทั้งในประเทศไทยและต่างประเทศ

### 2.2 ความเป็นมาของระบบระบุลักษณะทางคลื่นวิทยุ

ระบบระบุลักษณะทางคลื่นวิทยุนั้นได้ถูกสร้างขึ้นและเริ่มต้นใช้งานในช่วงสงครามโลกครั้งที่ 2 เพื่อใช้ทำการระบุเครื่องบินที่บินผ่าน่านฟ้า และนับได้ว่าเป็นจุดเริ่มต้นของการนำเทคโนโลยีระบบระบุลักษณะทางคลื่นวิทยุมาใช้ หลังจากนั้นก็ได้มีการพัฒนาศักยภาพในการทำงานให้มีประสิทธิภาพเพิ่มมากขึ้น โดยเฉพาะหลังปี ค.ศ 1960 ได้เริ่มมีการนำเทคโนโลยีระบบระบุลักษณะทางคลื่นวิทยุมาประยุกต์ใช้ในภาคเอกชน เช่น การนำมาใช้ด้านการควบคุมการเข้าออกสถานที่ของหน่วยงาน เพื่อการรักษาความปลอดภัย ต่อมาในปี ค.ศ 1970 ได้นำเทคโนโลยีระบบระบุลักษณะทางคลื่นวิทยุมาใช้ในการติดตามและตรวจสอบสัตว์และระบบคลังสินค้า ในปี ค.ศ 1980 เทคโนโลยีระบบระบุลักษณะทางคลื่นวิทยุได้รับการพัฒนาศักยภาพในการทำงานที่มีลักษณะแตกต่างและหลากหลายรูปแบบมากขึ้นจนนำไปสู่การพัฒนาและประยุกต์ใช้งานอย่างกว้างขวางเพิ่มมากขึ้น นับตั้งแต่ปี ค.ศ 1990 จนถึงปัจจุบันได้มีการพัฒนาเทคโนโลยีใหม่เพื่อสนับสนุนรูปแบบการทำงานที่หลากหลายมากขึ้น เนื่องจากระบบระบุลักษณะทางคลื่นวิทยุมีคุณสมบัติที่พิเศษและมีความโดดเด่นกว่าเทคโนโลยีอื่น อาทิ รหัสแท่ง (Barcode) โดยระบบระบุลักษณะทางคลื่นวิทยุนั้นมีจุดมุ่งหมายคือการนำมาใช้งานแทนรหัสแท่ง (Barcode) ซึ่งลักษณะการทำงานจะมีการติดต่อสื่อสารกันระหว่างแท็ก (Tag) กับเครื่องอ่านข้อมูล (Reader) โดยใช้การสื่อสารแบบไม่มีการสัมผัสกัน เป็นระบบบ่งชี้ข้อมูลอัตโนมัติแบบไร้สาย ซึ่งมีการส่งคลื่นความถี่วิทยุจากอุปกรณ์เครื่องอ่านข้อมูล ไปยังอุปกรณ์ไมโครชิปขนาดเล็กที่มีสายอากาศติดอยู่ เพื่อส่ง

ข้อมูลเฉพาะของสิ่งที่ต้องการบ่งชี้ แล้วนำข้อมูลมาประมวลผลยังเครื่องอ่านข้อมูล หรือระบบที่เกี่ยวข้อง โดยใช้คลื่นวิทยุเป็นตัวกลางในการอ่านและบันทึกข้อมูลของระบบ

### 2.2.1 ข้อดีของระบบระบุลักษณะทางคลื่นวิทยุ

ข้อดีของระบบระบุลักษณะทางคลื่นวิทยุสามารถสรุปได้ดังนี้ ระบบระบุลักษณะทางคลื่นวิทยุ นั้นได้รับความนิยมนำไปใช้กันอย่างแพร่หลายทั่วโลกเช่นเดียวกับระบบรหัสแท่งแต่ระบบระบุลักษณะทางคลื่นวิทยุ นั้น สามารถแก้ไขข้อจำกัดหลายประการของการใช้รหัสแท่ง ดังแสดงได้ในตารางที่ 2.1

ตารางที่ 2.1 การเปรียบเทียบคุณสมบัติของระบบระบุลักษณะทางคลื่นวิทยุกับระบบรหัสแท่ง

คุณสมบัติ	รหัสแท่ง	ระบบระบุลักษณะทางคลื่นวิทยุ
ความสามารถในการอ่านป้ายสินค้า	ต้องใช้แสงเลเซอร์สแกนป้ายรหัสแท่งตามแนวการมองเห็น	อ่านป้ายได้แม้ไม่ได้อยู่ในแนวการมองเห็น เพียงให้อยู่ภายในรัศมีของการอ่าน
ความสามารถในการอ่านป้ายสินค้าหลายชิ้นพร้อมกัน	ไม่มี	มี
ความสามารถในการนำป้ายกลับมาใช้ซ้ำหรือบันทึกข้อมูลใหม่	ไม่มี	อาจมีได้หากสามารถใช้หน่วยความจำชนิดโปรแกรมและลบได้
ความสามารถในการระบุสินค้ารายชิ้น	ระบุได้เพียงชนิดเดียว	มี
ความสามารถในการกันขโมย	ไม่มี	มี
ความทนทานต่อสภาวะแวดล้อม	ไม่ทนต่อความเปียกชื้นและความเปรอะเปื้อน	ทนต่อความเปียกชื้นและความเปรอะเปื้อน
ต้นทุนของป้ายสินค้า	ต่ำมาก	ค่อนข้างสูง (แต่มีแนวโน้มที่ลดลง)
ระยะเวลาการอ่าน	ใกล้	ไกลกว่า
เวลาที่ใช้ในการตรวจจับสินค้า 300 ชิ้น	30 นาที	5 วินาที (ตามมาตรฐาน EPC Class1 Gen 2)

สิ่งที่เป็นข้อจำกัดที่สำคัญของระบบระบุลักษณะทางคลื่นวิทยุในปัจจุบันคือ การที่ราคาต่อหน่วยของแท็กยังคงมีราคาที่แพงอยู่ ประมาณ 10-20 บาท ต่อชิ้น เมื่อเปรียบเทียบกับรหัสแท่ง

ทำให้ผู้ประกอบการยังคงต้องพิจารณาถึงผลตอบแทนจากการลงทุน แต่ถึงแม้ว่าราคาของแท็กยังคงมีราคาแพงอยู่แต่การใช้งานของระบบระบุลักษณะทางคลื่นวิทยุอาจจะให้ผลตอบแทนที่คุ้มค่าแก่การลงทุน แต่ปัญหาเรื่องต้นทุนจะได้รับการแก้ไขในที่สุด ด้วยจำนวนการใช้งานที่มากขึ้นและการกำหนดมาตรฐานที่มีความชัดเจนและแน่นอนและเปิดกว้างมากขึ้น ซึ่งในอนาคตอันใกล้คาดว่า แท็ก เครื่องอ่านข้อมูล และอุปกรณ์อื่นๆ จะมีราคาที่ถูกลง ยังผลให้เกิดความยอมรับในเทคโนโลยีระบบระบุลักษณะทางคลื่นวิทยุมากขึ้น ซึ่งอาจจะส่งผลทำให้ราคาของระบบระบุลักษณะทางคลื่นวิทยุมีราคาที่ถูกลงอีก ซึ่งจะทำให้ระบบระบุลักษณะทางคลื่นวิทยุสามารถนำมาใช้แทนระบบรหัสแท่งได้มากขึ้นเรื่อยๆ จนอาจกล่าวได้ว่าในที่สุดแล้วระบบระบุลักษณะทางคลื่นวิทยุก็จะถูกนำมาใช้แทนรหัสแท่ง แต่ในปัจจุบันด้วยราคาที่ยังคงค่อนข้างแพง ทำให้ภาคการณได้ว่ารหัสแท่งจะยังคงอยู่คู่กับระบบระบุลักษณะทางคลื่นวิทยุไปอีกนานหลายปี เนื่องจากการใช้งานกับสินค้าราคาถูกยังขาดความคุ้มค่า แต่ในปัจจุบันสินค้าที่นิยมนำเอาเทคโนโลยีระบบระบุลักษณะทางคลื่นวิทยุมาใช้งานก็ได้แก่สินค้าที่มีมูลค่าสูงหรือมีความเสี่ยงจากการถูกปลอมแปลง เช่น ซีดี ดีวีดี อุปกรณ์อิเล็กทรอนิกส์ เสื้อผ้าที่มียี่ห้อ และยา ซึ่งข้อดีของระบบระบุลักษณะทางคลื่นวิทยุนี้สามารถสรุปได้ดังนี้

1. สามารถอ่านข้อมูลโดยไร้การสัมผัสกับวัตถุโดยตรง
2. สามารถบ่งชี้วัตถุหรืออ่านข้อมูลได้ โดยวัตถุนั้นไม่ต้องอยู่ในแนวระดับที่มองเห็น
3. สามารถอ่านข้อมูลผ่านวัตถุหรือสิ่งกีดขวางได้ (ยกเว้น โลหะหรือของเหลวที่มีผลต่อการส่งและรับคลื่นวิทยุ แต่ก็สามารถออกแบบแท็กให้สามารถรองรับการใช้งานในลักษณะดังกล่าวได้)
4. สามารถอ่านข้อมูลของวัตถุทั้งหมดที่อยู่ในรัศมีการอ่านได้ในครั้งเดียว
5. เพิ่มความสะดวกรวดเร็ว และความถูกต้องของข้อมูลที่จัดเก็บ
6. สามารถอ่านข้อมูลได้ด้วยความเร็วสูง
7. มีความคงทนต่อแรงสั่นสะเทือน การกระทบกระแทก และมีความคงทนต่อความเปียกชื้น (ขึ้นอยู่กับการออกแบบ)
8. สามารถอ่านข้อมูลได้ในระยะไกล

### 2.2.2 การประยุกต์ใช้งานระบบระบุลักษณะของวัตถุด้วยคลื่นวิทยุ

ในปัจจุบันการนำระบบระบุลักษณะทางคลื่นวิทยุ ได้ถูกนำมาประยุกต์ใช้งานหลากหลายด้าน เช่น ระบบคลังสินค้า ด้านระบบการขนส่ง ด้านการทหาร ด้านการแพทย์และสาธารณสุข ด้านการเกษตรกรรมและการปศุสัตว์ ธุรกิจการบิน ธุรกิจการเงิน การท่องเที่ยวอุตสาหกรรมการผลิต ตัวอย่างการประยุกต์ใช้งานได้แก่

1. ระบบห่วงโซ่อุปทาน การค้าปลีก การผลิต การกระจายสินค้า ลอจิสติกส์ เช่นการใช้งานในโรงงานโดยการติดป้ายระบบระบุลักษณะทางคลื่นวิทยุไว้กับชิ้นงาน เมื่อชิ้นงานผ่านสายพาน

การผลิตในโรงงาน แต่ละแผนกจะต้องรู้ว่าจะต้องทำอะไร ประกอบชิ้นงานอะไรบ้าง และต้องส่งไปยังสถานีถัดไป รวมถึงการจัดการสินค้าในคลังสินค้า เช่นการรับส่งสินค้าและการจัดเก็บตัวอย่างภาพที่ผู้บริโภคมองเห็นคือ การซื้อสินค้าในซูเปอร์มาร์เก็ต เมื่อมีการคิดคำนวณราคารวมเครื่องอ่านข้อมูลของระบบระบุลักษณะทางคลื่นวิทยุสามารถคำนวณราคารวมภายในครั้งเดียวได้ทันที โดยที่ไม่ต้องมีการสแกนรหัสแท่งที่ติดกับสินค้าที่ละชิ้นแบบเดิมๆและอาจจะเตือนผู้ซื้อได้หากสินค้าที่ซื้อหมดอายุ

2. ด้านการแพทย์และสาธารณสุข มีการใช้งานสำหรับเครื่องมือแพทย์ที่มีราคาแพง ทำให้สามารถตรวจสอบการเก็บรักษาเครื่องมือแพทย์ได้สะดวกรวดเร็ว นอกจากนี้ยังมีการใช้ระบบระบุลักษณะทางคลื่นวิทยุเสริมในการผลิตสุขภัณฑ์ยาเพื่อตรวจสอบยาปลอมได้ เป็นการป้องกันการสูญเสียของผู้ผลิตจากสินค้าเลียนแบบและป้องกันไม่ให้ผู้ป่วยได้รับยาที่ไม่มีคุณภาพหรือปลอมได้

3. ด้านการเกษตรกรรมและปศุสัตว์ ระบบการระบุสัตว์ (Animal tracking) มาใช้เหมาะสมกับเกษตรกรไทย ในการพัฒนาด้านปศุสัตว์ให้เป็นระบบฟาร์มอัตโนมัติ ด้วยชิประบบระบุลักษณะทางคลื่นวิทยุติดตัวสัตว์เลี้ยง ทำให้สามารถทราบเจ้าของ ตรวจสอบสายพันธุ์ การให้อาหาร และการควบคุมโรคติดต่อในสัตว์ได้ รวมถึงการใช้งานสำหรับการทำการตรวจสอบสำหรับแหล่งที่มาของผลิตภัณฑ์อาหารหรือสินค้าเกษตรกรรมได้

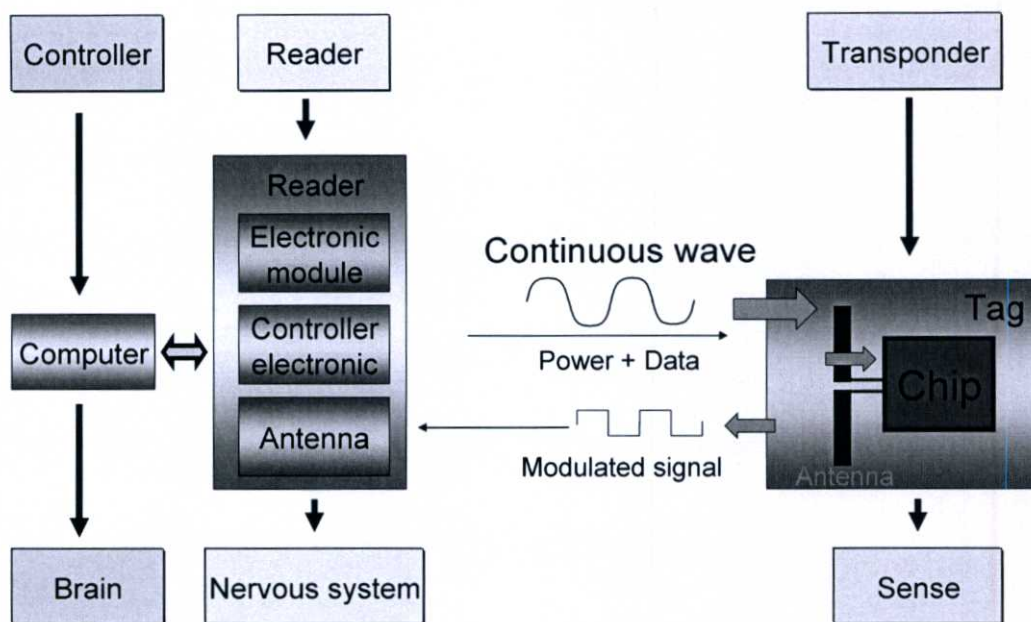
4. การเข้า-ออกอาคาร หรือแทนการใช้แถบแม่เหล็กเมื่อมีการใช้งานเป็นเวลานานจะมีการชำรุดที่สูง แต่บัตรของระบบระบุลักษณะทางคลื่นวิทยุจะใช้เพียงการแตะหรือแสดงผ่านหน้าเครื่องอ่านข้อมูลเท่านั้น รวมทั้งยังสามารถใช้ในการตรวจสอบเวลาเข้า-ออกงานของพนักงานได้ด้วย

5. ระบบตัวอิเล็กทรอนิกส์ เช่นบัตรทางด่วน บัตรรถไฟฟ้าใต้ดิน เป็นต้น
6. ระบบหนังสือเดินทางอิเล็กทรอนิกส์ ใช้เพื่อป้องกันผู้ก่อการร้าย
7. ระบบกุญแจอิเล็กทรอนิกส์ ในรถยนต์เพื่อป้องกันการใช้กุญแจปลอมในการขโมยรถยนต์
8. ระบบห้องสมุด ในการยืมหรือคืนหนังสืออัตโนมัติ ทำให้ผู้ใช้บริการได้รวดเร็วและมีความสะดวกสบาย

## 2.3 ทฤษฎีพื้นฐานของระบบระบุลักษณะทางคลื่นวิทยุ

ในระบบระบุลักษณะของวัตถุด้วยคลื่นวิทยุจะมีองค์ประกอบหลักๆด้วยกันอยู่ สามส่วน ส่วนแรกคือแท็ก (Tag) ที่ใช้ติดกับวัตถุต่างๆที่เราต้องการ โดยแท็กนั้นจะประกอบไปด้วยสายอากาศและไมโครชิป (Microchip) ที่มีการบันทึกหมายเลข (ID) หรือข้อมูลที่เกี่ยวข้องกับวัตถุนั้นๆ ส่วนที่สองคือเครื่องอ่านข้อมูล (Reader) และส่วนที่สามได้แก่ระบบควบคุม (Controller)

ทั้งนี้จะรวมถึงคอมพิวเตอร์และโปรแกรมที่ประยุกต์ใช้งาน โดยโครงสร้างของระบบจะแสดงดังรูปที่ 2.1



รูปที่ 2.1 โครงสร้างของระบบระบุลักษณะทางคลื่นวิทยุ [1]

การติดต่อสื่อสารระหว่างแท็กและเครื่องอ่านข้อมูลจะมีการติดต่อสื่อสารกันโดยผ่านคลื่นวิทยุ เป็นการนำเอาคลื่นวิทยุมาเป็นคลื่นพาห์เพื่อใช้ในการรับส่งข้อมูล โดยเริ่มต้นจากการที่ตัวอ่านข้อมูลมีการปล่อยคลื่นแม่เหล็กไฟฟ้าออกมาตลอดเวลา เพื่อคอยตรวจจับว่ามีการมอดูเลตสัญญาณเกิดขึ้นหรือไม่ เมื่อวัตถุที่มีการติดแท็กเข้ามาในบริเวณระยะการทำงานของเครื่องอ่านข้อมูล แท็กจะได้รับพลังงานไฟฟ้าที่เกิดจากการเหนี่ยวนำของคลื่นแม่เหล็กไฟฟ้าเพื่อกระตุ้นให้แท็กเริ่มทำงาน และจะส่งข้อมูลในหน่วยความจำที่ผ่านการมอดูเลตกับคลื่นพาห์แล้วออกมาทางสายอากาศที่อยู่ภายในแท็ก จากนั้นแท็กก็จะทำการส่งข้อมูลที่มีอยู่ภายในแท็กไปยังเครื่องอ่านข้อมูล โดยคลื่นพาห์ที่ถูกส่งออกมาจากแท็กจะเกิดการเปลี่ยนแปลงแอมพลิจูด ความถี่ หรือเฟสขึ้นอยู่กับวิธีการมอดูเลต หลังจากที่เครื่องอ่านข้อมูลได้รับข้อมูลจากแท็กเรียบร้อยแล้วเครื่องอ่านข้อมูลก็จะทำการส่งข้อมูลไปยังส่วนควบคุมต่อไป

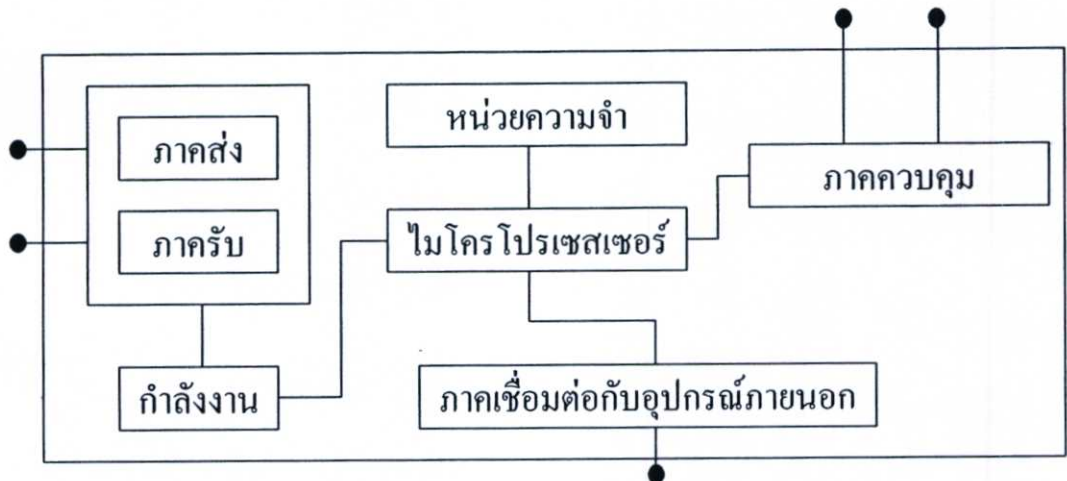
### 2.3.1 ส่วนควบคุม (Controller)

ส่วนควบคุมของระบบระบุลักษณะทางคลื่นวิทยุ (RFID controllers) ถือได้ว่าเป็นสมองของระบบ โดยระบบระบุลักษณะทางคลื่นวิทยุส่วนมากจะประกอบไปด้วยเครื่องอ่านข้อมูลหลายๆตัวและแท็กจำนวนมาก โดยการทำงานรวมกันเป็นโครงข่าย (Network) ได้นั้น จะต้องใช้ส่วนระบบควบคุม (Controller) เป็นจุดศูนย์กลางในการรวมกันเป็นโครงข่าย โดยส่วนมากจะใช้คอมพิวเตอร์เป็นสถานีดำเนินการ โดยส่วนควบคุมนี้จะรวมไปถึงโปรแกรมและระบบ

ฐานข้อมูลด้วยทั้งนี้ก็จะขึ้นอยู่กับระบบของการใช้งานด้วย โดยส่วนควบคุมจะมีหน้าที่ในการประมวลผลและเก็บข้อมูลที่รวบรวมมาได้จากแท็ก

### 2.3.2 เครื่องอ่านข้อมูล

เครื่องอ่านข้อมูล (RFID Reader) เปรียบเสมือนสะพานเชื่อมต่อระหว่างแท็กกับส่วนควบคุม ซึ่งจะมีหน้าที่การทำงานพื้นฐานคือ การอ่านข้อมูลของระบบระบุลักษณะทางคลื่นวิทยุ การเขียนข้อมูลไปยังแท็กในกรณีของสมาร์ทแท็ก (Smart tag) ทำหน้าที่ส่งต่อข้อมูลไปยังส่วนควบคุมและการให้พลังงานแก่แท็ก โดยทั่วไปเครื่องอ่านข้อมูลจะประกอบด้วยส่วนประกอบหลักๆคือภาคส่ง (Transmitter) และภาครับ (Receiver) สัญญาณวิทยุ ไมโครโปรเซสเซอร์ (Microprocessor) หน่วยความจำ (Memory) เซ็นเซอร์ (Sensor) ภาคควบคุม (Controller) ภาคเชื่อมต่อกับอุปกรณ์ภายนอก (Input/output Interface) แหล่งจ่ายกำลังงาน (Power Supply) และสายอากาศ (Antenna) ดังแสดงในรูปที่ 2.2



รูปที่ 2.2 ส่วนประกอบของเครื่องอ่านข้อมูล

โดยลักษณะของเครื่องอ่านข้อมูลนั้นจะแตกต่างกันออกไปตามประเภทของการใช้งาน เช่นแบบมือถือขนาดเล็กหรือแบบติดผนัง จนไปถึงขนาดใหญ่เท่าประตูดังแสดงในรูปที่ 2.3



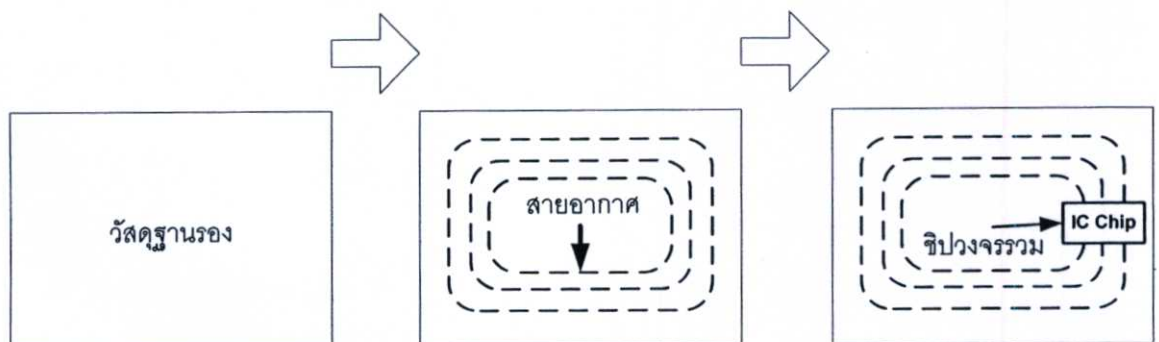
รูปที่ 2.3 ลักษณะของเครื่องอ่านข้อมูลแบบต่างๆ [8]-[9]

### 2.3.3 แท็กหรือเครื่องถูกข่าย

แท็กมีหน้าที่หลักก็คือ ใช้ในการเก็บข้อมูลของวัตถุ และการส่งข้อมูลกลับไปยังเครื่องอ่านข้อมูล โดยลักษณะของแท็กนั้นจะมีรูปแบบหลากหลายรูปแบบตัวอย่างเช่น แบบกระเปาะแบบจานและเหรียญ และอีกหลายรูปแบบขึ้นอยู่กับวัตถุประสงค์ของการนำไปใช้งาน

#### 2.3.3.1 ส่วนประกอบของแท็ก

โดยส่วนประกอบของแท็กจะแสดงดังรูปที่ 2.4 ส่วนประกอบของแท็กจะประกอบไปด้วย 1. แผ่นพิมพ์และวัสดุฐานรอง 2. สายอากาศ 3. ชิปวงจรรวม

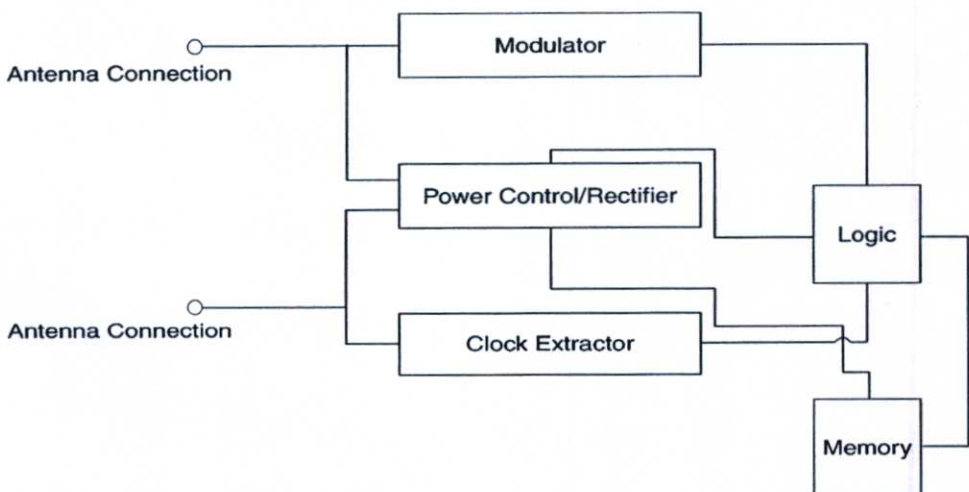


รูปที่ 2.4 ส่วนประกอบพื้นฐานของแท็ก

### 2.3.3.1.1 สายอากาศแท็ก (Tag antenna)

สายอากาศแท็กจะถูกนำไปใช้งานเพื่อแพร่กระจายพลังงานที่รับจากเครื่องอ่านที่ทำการปล่อยสัญญาณเพื่อนำไปกระตุ้นการทำงานของชิปวงจรรวมสำหรับการส่งสัญญาณกลับไปยังเครื่องอ่านและทั้งการรับสัญญาณจากเครื่องอ่าน (พาสซีฟแท็ก) สายอากาศแท็กจะมีส่วนที่ถูกยึดติดไว้กับชิปวงจรรวม โดยโครงสร้างของสายอากาศจะเป็นส่วนสำคัญในการช่วยการทำงานของแท็กและมีรูปแบบที่มากมายไม่จำกัดที่สามารถเป็นไปได้ในการออกแบบ โดยเฉพาะอย่างยิ่งสายอากาศแท็กในระบบระบุลักษณะทางคลื่นวิทยุย่านความถี่สูงยิ่ง สายอากาศมีรูปแบบที่มากมายในการนำมาออกแบบให้สายอากาศมีประสิทธิภาพและเหมาะสมกับงานแต่ละชนิด ซึ่งอาจเป็นทั้งรูปแบบทางศิลปะและรูปแบบทางวิทยาศาสตร์หรืออาจจะเป็นการรวมทั้งสองรูปแบบไว้ด้วยกัน [10] ขนาดความยาวของสายอากาศนั้นจะเป็นสัดส่วนกับค่าความยาวคลื่นของความถี่ที่ถูกเลือกนำมาใช้งาน โดยขนาดของสายอากาศแท็กโดยทั่วไปจะมีขนาดที่ใหญ่กว่าชิปวงจรรวม ดังนั้นจึงเป็นเหตุผลว่าการพิจารณาขนาดของแท็กจึงพิจารณาจากขนาดของสายอากาศแท็ก สายอากาศแท็กสามารถถูกออกแบบได้ด้วยองค์ประกอบที่หลากหลายในการพิจารณา ดังเช่น ระยะการอ่านได้ไกลที่สุด ลักษณะการวางตัวของแท็กเมื่อนำไปใช้งาน ลักษณะของวัสดุที่นำไปใช้งาน การใช้งานที่มีลักษณะจำเพาะ โพลาริซชันของเครื่องอ่าน ส่วนที่มีความสำคัญที่สุดคือส่วนที่เป็นจุดเชื่อมต่อระหว่างสายอากาศและชิปวงจรรวมซึ่งจะเป็นส่วนที่มีความเปราะบางมากที่สุดในโครงสร้างของแท็ก ซึ่งถ้าหากจุดเชื่อมต่องดงกล่าวเกิดการเสียหายจะทำให้ประสิทธิภาพในการทำงานต่ำลงหรืออาจจะไม่สามารถใช้งานได้ โดยทั่วไปสายอากาศแท็กจะสร้างขึ้นมาจากเส้นโลหะเช่น ทองแดง เงิน หรือ อลูมิเนียม ซึ่งการใช้หมึกนำไฟฟ้าก็มีแนวโน้มที่จะถูกพัฒนาและนำมาใช้งานจริง [11]

### 2.3.3.1.2 ชิปวงจรรวม (IC chip)



รูปที่ 2.5 องค์ประกอบพื้นฐานภายในชิปวงจรรวม

ชิปวงจรรวมเป็นส่วนที่มีความสำคัญของแท็กโดยเปรียบเสมือนสมองหลักในการทำงานของแท็ก โดยชิปวงจรรวมในปัจจุบันมีผู้ผลิตหลากหลายบริษัทเช่น Hitachi, NXP semiconductor , ST Microelectronic และบริษัทอื่นๆอีกมากมาย โดยค่าอิมพีแดนซ์ของตัววงจรรวมแต่ละตัวก็จะมีค่าที่แตกต่างกันออกไป และจะเปลี่ยนแปลงไปตามแต่ละความถี่ที่เราเลือกใช้งาน โดยองค์ประกอบพื้นฐานของชิปวงจรรวมจะแสดงดังรูปที่ 2.5 ส่วนควบคุมพลังงาน/วงจรรีจิสเตอร์ จะทำการเปลี่ยนพลังงานไฟฟ้ากระแสสลับของสายอากาศเครื่องอ่านที่ส่งมาเพื่อเปลี่ยนเป็นพลังงานไฟฟ้ากระแสตรง เพื่อนำไปเลี้ยงยังส่วนต่างๆของไมโครชิป Clock extractor จะทำการดึงสัญญาณนาฬิกาจากสัญญาณที่มาจากเครื่องอ่าน วงจรมอดูเลเตอร์ จะทำการมอดูเลตสัญญาณที่รับมาได้จากเครื่องอ่าน การตอบสนองของแท็กจะถูกฝังไปกับสัญญาณที่มีการมอดูเลต ซึ่งจะมีการส่งกลับไปยังเครื่องอ่านในภายหลัง logic unit เป็นส่วนของอุปกรณ์ที่จะรับผิดชอบในส่วนของโปรโตคอลในการติดต่อสื่อสารระหว่างแท็กและเครื่องอ่านข้อมูล หน่วยความจำของชิปวงจรรวม (Memory) มีหน้าที่สำหรับเก็บข้อมูล มีความสามารถในการระบุตัวตน (Addressability) หมายถึงความสามารถในการระบุตำแหน่งที่เป็นเอกลักษณ์ ทั้งการอ่านและเขียนในแต่ละหน่วยความจำของชิปวงจรรวมของแท็ก ในส่วนของหน่วยความจำของแท็กจะสามารถเก็บข้อมูลที่มีความแตกต่างได้หลายชนิดเช่น ส่วนของข้อมูลของการระบุและแสดงตัว การตรวจสอบชุดข้อมูล โดยปัจจุบันนี้ชิปวงจรรวมสำหรับระบบระบุลักษณะทางคลื่นวิทยุได้มีขนาดที่เล็กลงเป็นอย่างมาก แต่อย่างไรก็ตามขนาดของแท็กก็ไม่ได้จะขึ้นอยู่กับขนาดของชิปวงจรรวมเพียงอย่างเดียวโดยขนาดของแท็กจะถูกคิดจากขนาดของสายอากาศเป็นหลัก

### 2.3.3.1.3 แผ่นพิมพ์และวัสดุฐานรอง (Substrate)

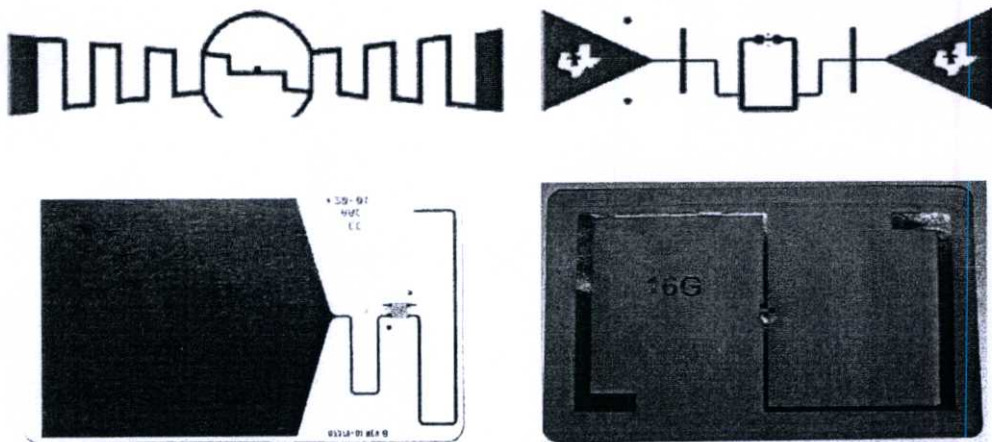
ชนิดและขนาดของวัสดุฐานรอง เป็นปัจจัยที่มีความสำคัญอย่างยิ่งในการออกแบบสายอากาศ โดยจะเป็นองค์ประกอบที่มีความสำคัญที่ใช้ในการกำหนดคุณสมบัติทางไฟฟ้าและทางกายภาพของสายอากาศ ซึ่งการเลือกวัสดุฐานรองนอกจากจะต้องคำนึงถึงคุณสมบัติทางกายภาพ ทางเคมี ความคงทนต่อสภาวะแวดล้อม ความชื้น อุณหภูมิที่เปลี่ยนแปลง ความราบเรียบของพื้นผิวแล้ว สิ่งที่สำคัญนั้นคือคุณสมบัติทางไฟฟ้า โดยหลักๆที่มีการพิจารณาคือ ค่าคงที่ไดอิเล็กตริกสัมพัทธ์ ( $\epsilon_r$ ) และค่าการสูญเสียแทนเจนต์ ( $\tan \delta$ ) โดยวัสดุที่ทำการเลือกใช้ ควรเป็นวัสดุที่เป็นสารเนื้อเดียวเพื่อให้ค่าดังกล่าวมีค่าที่คงที่ตลอดแผ่นฐานรอง ซึ่งขนาดความหนาของวัสดุฐานรองจะเป็นปัจจัยที่สำคัญที่จะกำหนดคุณสมบัติของสายอากาศด้วยเช่นกัน โดยสมควรจะมีค่าต่ำเพื่อ ทำให้สายอากาศมีประสิทธิภาพที่สูงขึ้น และการเพิ่มค่าคงที่ไดอิเล็กตริกก็นั่นก็จะสามารถลดขนาดของสายอากาศให้มีขนาดที่เล็กลงได้ด้วยเช่นกัน ส่วนการสูญเสียแทนเจนต์ ( $\tan \delta$ ) สมควรจะให้มีค่าที่ต่ำ เพื่อลดพลังงานการสูญเสียอันเนื่องมาจากการสูญเสียของไดอิเล็กตริก ทำให้สายอากาศมีประสิทธิภาพที่สูงมากขึ้น วัสดุฐานรองโดยทั่วไปที่นำมาใช้ในการสร้างสายอากาศแท็กได้แก่

FR-4 PET PVC Plastic film กระดาษ และวัสดุชนิดอื่นอีกมากมาย โดยการเลือกใช้ชนิดของวัสดุฐานรองก็จะขึ้นอยู่กับ ชนิดและจุดประสงค์ของการนำแท็กไปใช้งาน

### 2.3.3.2 การแบ่งประเภทของแท็กตามวิธีการของการส่งพลังงานไปยังแท็ก

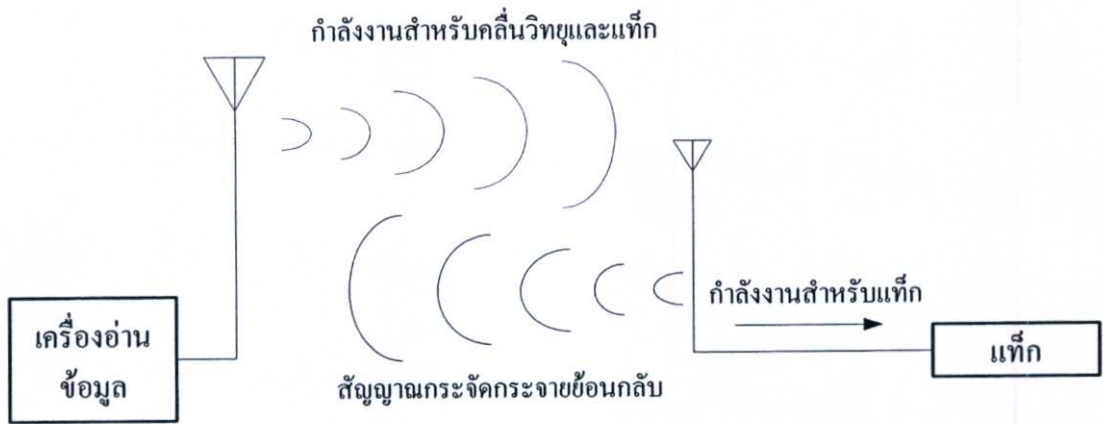
แท็กหรือเครื่องลูกข่าย (Tag or Transponder) เมื่อทำการแบ่งตามวิธีการของการส่งพลังงานไปยังแท็กนั้นสามารถแบ่งออกเป็น 3 แบบ คือ 1. แท็กแบบพาสซีฟ (Passive tag) แท็กชนิดนี้ทำงานได้โดยไม่ต้องใช้แบตเตอรี่ในการทำงาน มีระยะเวลาใช้งานที่ไม่สูง 2. แท็กแบบกึ่งแอ็กทีฟ (Semi-active tag) ซึ่งจะมีแบตเตอรี่ในตัวใช้ในการเลี้ยงวงจรไฟฟ้าและชิปวงจรรวม แต่ไม่ได้ใช้ในการส่งข้อมูลกลับไปยังเครื่องอ่าน และมีระยะเวลาใช้งานที่มากกว่าแท็กแบบพาสซีฟ แต่น้อยกว่าแท็กแบบแอ็กทีฟ 3. แท็กชนิดแอ็กทีฟ (Active tag) จะมีแหล่งจ่ายไฟขนาดเล็กเพื่อป้อนพลังงานให้แท็กสามารถทำงานได้ในระยะเวลาการทำงานที่ไกลกว่าสองแบบแรก

#### 2.3.3.2.1 แท็กชนิดพาสซีฟ (Passive tag)



รูปที่ 2.6 แท็กชนิดพาสซีฟในรูปแบบต่างๆ[4]

แท็กชนิดนี้ไม่ต้องการแหล่งจ่ายพลังงานจากแบตเตอรี่ โดยจะใช้พลังงานจากเครื่องอ่านที่ส่งมาในการกระตุ้นการทำงานของแท็กและส่งข้อมูลที่เก็บไว้กลับไปยังเครื่องอ่าน ในรูปที่ 2.7 แสดงหลักการทำงานของแท็กชนิดพาสซีฟ การติดต่อสื่อสารระหว่างแท็กไปยังเครื่องอ่านนั้น เครื่องอ่านจะเป็นตัวติดต่อก่อนเสมอแล้วตามด้วยการติดต่อกลับของแท็ก

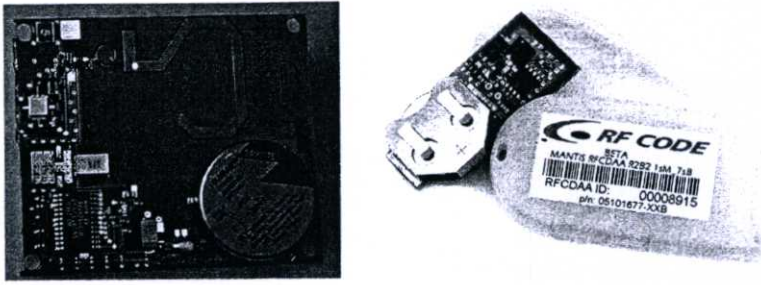


รูปที่ 2.7 หลักการทำงานของแท็กชนิดพาสซีฟ

การอ่านข้อมูลนั้นทำได้ไม่ไกลมากนัก ระยะอ่านสูงสุดประมาณ 9 เมตร โดยจะขึ้นอยู่กับความแรงของเครื่องส่งและคลื่นความถี่วิทยุที่ใช้และกำลังงานที่ต้องการน้อยที่สุดของชิปวงจรรวม โดยปกติแล้วแท็กชนิดนี้มักมีหน่วยความจำขนาดเล็ก โดยทั่วไปประมาณ 16 ถึง 1,024 ไบต์ เมื่อเปรียบเทียบกับโครงสร้าง โดยทั่วไปกับแท็กชนิดกึ่งแอ็กทีฟและแท็กชนิดแอ็กทีฟ โครงสร้างของแท็กชนิดนี้จะมีโครงสร้างที่ไม่ซับซ้อน และด้วยความที่แท็กชนิดนี้ไม่มีแบตเตอรี่ภายในจึงทำให้มีน้ำหนักเบากว่าแท็กชนิดแอ็กทีฟ ราคาต่ำกว่า และมีอายุการใช้งานไม่ถูกจำกัดด้วยอายุการใช้งานของแบตเตอรี่ แต่ข้อเสียก็คือ ตัวอ่านข้อมูลจะต้องมีความไวสูงและมีกำลังส่งงานสูง และมักจะมีปัญหาเมื่อนำไปใช้งานในสิ่งแวดล้อมที่มีสัญญาณแม่เหล็กไฟฟ้ารบกวนสูง แท็กที่ถูกใช้ในย่านความถี่สูงยิ่ง(UHF) จะเกิดปัญหาได้เป็นอย่างมากเมื่อนำแท็กที่ไม่ได้ถูกออกแบบไว้เฉพาะแล้วนำไปใช้ติดกับวัสดุจำพวกโลหะหรือของเหลว [12]-[13] โดยจะมีผลกระทบต่อสิ่งแวดล้อมเป็นอย่างมาก แต่ด้วยข้อได้เปรียบในเรื่องราคาและอายุการใช้งานทำให้แท็กชนิดพาสซีฟนี้เป็นที่นิยมมากกว่าแท็กชนิดแอ็กทีฟ

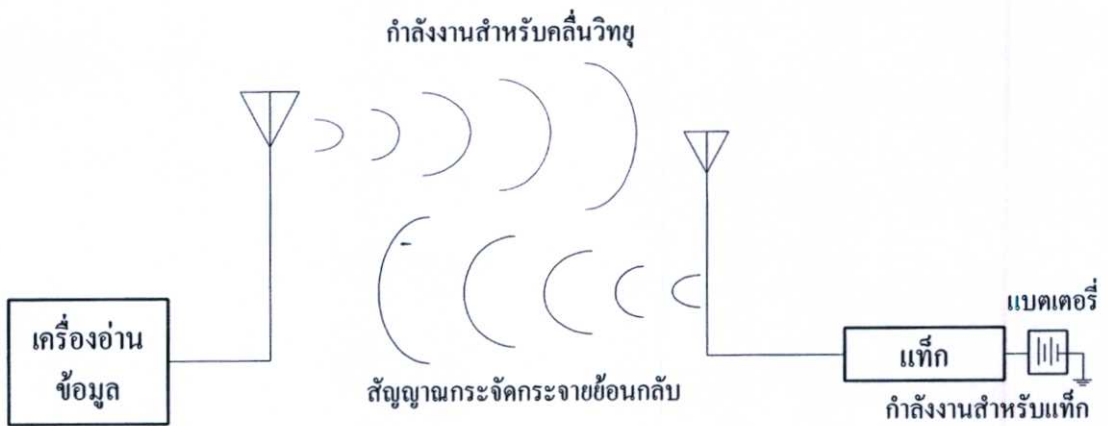
#### 2.3.3.2.2 แท็กชนิดกึ่งแอ็กทีฟ (Semi-active tag)





รูปที่ 2.8 แท็กชนิดกึ่งแอ็กทีฟ [4]

แท็กแบบกึ่งแอ็กทีฟ (Semi-active tag) หรืออีกชื่อหนึ่งคือแท็กแบบกึ่งพาสซีฟ (Semi-passive tag) แท็กชนิดนี้จะทำงานได้ต้องอาศัยแหล่งจ่ายไฟจากแบตเตอรี่ เพื่อจ่ายพลังงานให้กับวงจรไฟฟ้าภายในแท็ก แต่อย่างไรก็ตามแท็กชนิดนี้ยังต้องใช้กำลังงานที่ได้รับจากเครื่องอ่านข้อมูลในการส่งข้อมูลกลับไปยังเครื่องอ่านข้อมูล



รูปที่ 2.9 หลักการทำงานของแท็กชนิดกึ่งแอ็กทีฟ

หลักการทำงานของแท็กชนิดกึ่งแอ็กทีฟแสดงดังรูปที่ 2.9 เครื่องอ่านจะทำการติดต่อสื่อสารมาก่อนแล้วจะตามด้วยการทำงานของแท็ก ส่วนการส่งสัญญาณกลับยังคงจะต้องใช้สัญญาณที่เกิดจากการกระจัดกระจายย้อนกลับ และใช้เวลาเพียงเล็กน้อยในการอ่านข้อมูล โดยด้วยเหตุผลดังกล่าวทำให้แท็กชนิดนี้มีความเหมาะสมกับการใช้งานระบุตัวตนของวัตถุที่มีการเคลื่อนที่ด้วยความเร็วสูง แท็กชนิดกึ่งแอ็กทีฟนี้มีระยะเวลาติดต่อสื่อสารที่ไกลกว่าแท็กชนิดพาสซีฟแต่ยังไม่สูงเท่าระยะเวลาการทำงานของแท็กชนิดแอ็กทีฟ และต่างจากแท็กชนิดแอ็กทีฟคือแท็กไม่ได้เป็นผู้เริ่มส่งสัญญาณก่อน ดังนั้นจึงมีความประหยัดพลังงานที่มากกว่าแท็กชนิดแอ็กทีฟ ซึ่งถ้าไม่มีการส่งสัญญาณมาจากตัวเครื่องอ่าน แท็กจะอยู่ในสถานะ Sleep ซึ่งต่างจากแท็กชนิดแอ็กทีฟที่จะมีการส่งสัญญาณวิทยุอยู่ตลอดเวลา โดยระยะเวลาการทำงานโดยประมาณคือ 30 เมตร และมี

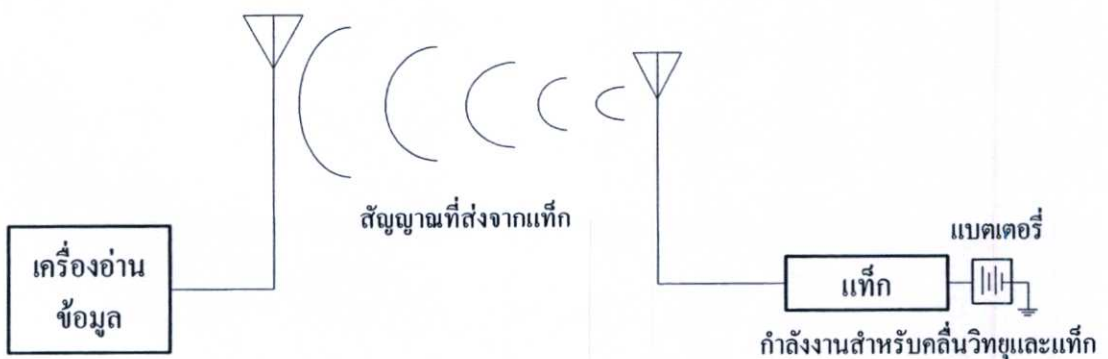
ความเชื่อถือได้ที่สูงกว่าแท็กชนิดพาสซีฟทั้งยังสามารถระบุตัวตนของวัตถุที่มีความเร็วในการเคลื่อนที่สูงได้ โดยโครงสร้างภายในตัวของแท็กจะมีส่วนประกอบของโครงสร้างที่มากกว่าชิปวงจรรวมและสายอากาศ โดยมีส่วนที่สำคัญนั่นก็คือแบตเตอรี่และวงจรไฟฟ้า โดยแท็กบางตัวอาจจะมีสายอากาศสองตัว ตัวหนึ่งทำหน้าที่เป็นสายอากาศส่งอีกตัวหนึ่งทำหน้าที่เป็นสายอากาศรับสัญญาณ โดยปรกติแท็กชนิดกึ่งพาสซีฟจะถูกนำมาใช้งานใน Automobile tolling การระบุตัวตนของเครื่องบิน Airline part และสินค้าที่มีราคาสูง

2.3.3.2.3 แท็กชนิดแอ็กทีฟ (Active tag)



รูปที่ 2.10 แท็กชนิดแอ็กทีฟ [14]

แท็กชนิดแอ็กทีฟ (สามารถส่งสัญญาณออกมาเองได้) โดยอาศัยแหล่งกำเนิดไฟฟ้าที่ติดตั้งอยู่ภายใน โดยจะมีลักษณะเป็นแบตเตอรี่ขนาดเล็กทำหน้าที่เป็นแหล่งจ่ายไฟ ในการให้พลังงานแก่แท็กทำให้แท็กสามารถทำงานได้โดยปรกติ โดยหลักการทำงานของสายอากาศแท็กชนิดแอ็กทีฟแสดงดังรูปที่ 2.11 แท็กจะทำการติดต่อสื่อสารก่อนแล้วตามด้วยเครื่องอ่านข้อมูล โดยจะสามารถทำให้สามารถรับส่งสัญญาณข้อมูลกับ เครื่องอ่านข้อมูลระบบระบุลักษณะทางคลื่นวิทยุ ได้ในระยะที่ไกล โดยระยะทางอาจจะสามารถสูงได้ถึงหลายร้อยฟุต



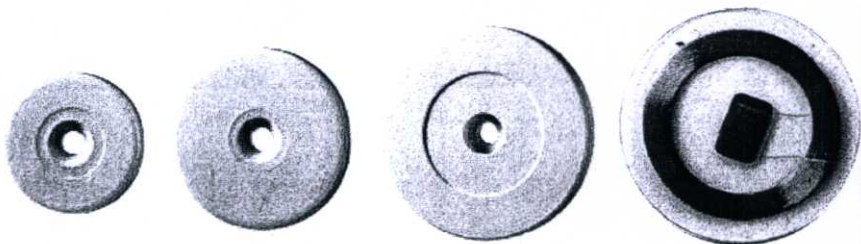
รูปที่ 2.11 หลักการทำงานของแท็กชนิดแอ็กทีฟ

แท็กชนิดแฉีกที่ที่มีความเหมาะสมกับการนำไปประยุกต์ใช้งานในการติดตามวัตถุในพื้นที่ที่มีขนาดใหญ่หรือต้องการระยะการอ่านได้ที่สูงเช่น ระบบสายพานการผลิตรถยนต์ภายในโรงงาน ระบบการชำระเงินบนทางด่วน ระบบการตรวจสอบการเข้าออกรถยนต์ การติดตามทรัพย์สินที่มีมูลค่าสูง ซึ่งระยะการทำงานของแท็กชนิดแฉีกที่จะมีระยะการทำงานที่สูงการแท็กชนิดพาสซีฟหลายเท่าตัว สามารถทำงานได้ในบริเวณที่มีสัญญาณรบกวนได้ดี มีระบบความจำขนาดใหญ่ โดยสามารถมีหน่วยความจำได้มากถึง 1 เมกะไบต์ สามารถส่ง/รับข้อมูลได้เป็นจำนวนมาก และมีประสิทธิภาพการทำงานที่สูง แต่ถึงแม้ว่าแท็กที่ฟจะมีข้อดีอยู่มากมาย แต่การใช้งานแท็กชนิดแฉีกที่ฟ ต้องมีแบตเตอรี่ติดอยู่ภายในตัวแท็ก ทำให้อายุการใช้งานถูกจำกัดด้วยอายุการใช้งานของแบตเตอรี่ โดยทั่วไปจะมีอายุการใช้งานประมาณ 3-7 ปี นอกจากนี้ยังมีส่วนประกอบของวงจรไฟฟ้าและสายอากาศ ซึ่งทำให้โครงสร้างของแท็กชนิดแฉีกที่ฟมีขนาดใหญ่ และมีราคาที่ค่อนข้างสูง โดยจะมีราคาประมาณ 40-80 ดอลลาร์ โดยภายในอนาคตเมื่อมีการใช้งานที่มากขึ้นราคาคงกล่าวอาจจะมีราคาที่ต่ำลง และสามารถนำไปใช้กับวัสดุที่มีราคาที่ถูกได้

### 2.3.3.3 การแบ่งประเภทของแท็กตามวิธีการของความแตกต่างของโครงสร้างและการออกแบบ

#### 2.3.3.3.1 แท็กแบบจานและเหรียญ (Disk and coin)

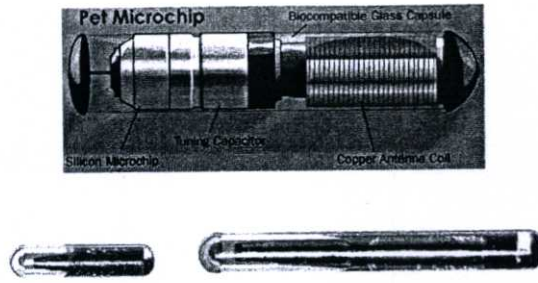
แท็กจะถูกบรรจุอยู่ใน โครงสร้างวงกลมคล้ายจานหรือเหรียญและมีการเคลือบป้องกันไว้เป็นอย่างดี ขนาดเส้นผ่านศูนย์กลางของแท็กชนิดนี้มีตั้งแต่ไม่กี่มิลลิเมตร ไปจนถึง 10 เซนติเมตร



รูปที่ 2.12 แท็กแบบจานและเหรียญ [15]

#### 2.3.3.3.2 แท็กแบบกระเปาะแก้ว (Glass housing)

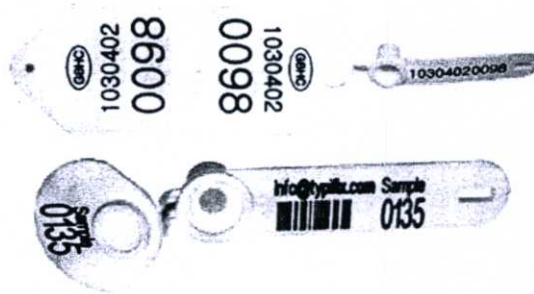
เป็นแท็กที่ได้รับการพัฒนาและผลิตขึ้นสำหรับใช้ฝังไว้ใต้ผิวหนังของสัตว์เพื่อใช้ในการติดตามข้อมูล โดยเฉพาะอย่างยิ่งในแวดวงปศุสัตว์และการสาธารณสุข ตัวกระเปาะแก้วมีขนาดความยาวในช่วง 32-12 มิลลิเมตร



รูปที่ 2.13 แท็กแบบกระเปาะแก้ว [16]

#### 2.3.3.3.3 แท็กแบบหุ้มพลาสติก (Plastic housing)

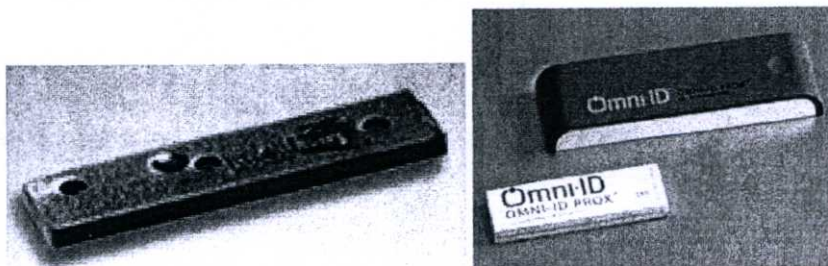
นิยมเรียกกันในชื่อย่อว่า PP (Plastic package) ได้รับการคิดค้นและพัฒนาขึ้นสำหรับใช้ในกิจการอุตสาหกรรมบางประเภทที่มีความต้องการเฉพาะรูปแบบ แท็กแบบนี้มีขนาดบางและสามารถนำไปติดตั้งประกอบกับผลิตภัณฑ์หลาย ๆ ประเภท



รูปที่ 2.14 แท็กแบบหุ้มพลาสติก [17]

#### 2.3.3.3.4 แท็กสำหรับใช้เฉพาะกิจ

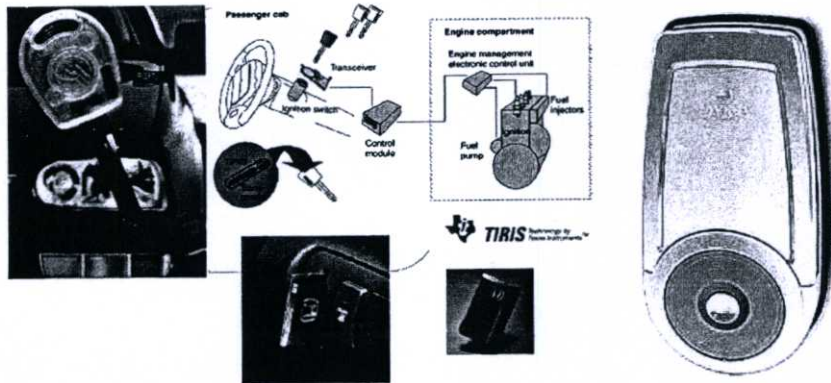
เป็นแท็กในระบบระบุลักษณะทางคลื่นวิทยุ อีกประเภทหนึ่งที่ได้รับการออกแบบมาเป็นพิเศษ สำหรับใช้งานในกรณีเฉพาะกิจดังเช่นการนำไปประยุกต์ใช้กับคอนเทนเนอร์หรือวัสดุที่เป็นโลหะ โดยมีการคิดค้นและพัฒนาเพื่อบรรจุแท็กลงในโครงสร้างและหน้าสัมผัสที่เป็นโลหะ



รูปที่ 2.15 แท็กสำหรับใช้เฉพาะกิจ [18]

### 2.3.3.3.5 แท็กแบบพวงกุญแจ (Key and key fob)

แท็กในระบบระบุลักษณะทางคลื่นวิทยุ สามารถได้รับการพัฒนาให้อยู่ในรูปของกุญแจพิเศษที่ใช้ในการเปิดปิดประตู หรือใช้กับระบบรักษาความปลอดภัยต่าง ๆ ซึ่งพวงกุญแจอิเล็กทรอนิกส์ชนิดนี้ไม่มีลูกกุญแจ แต่กลับทำหน้าที่ในการส่งสัญญาณข้อมูลต่าง ๆ ซึ่งอาจมีการนำเข้ารหัสเพื่อใช้ในการยืนยันตัวตนบุคคล



รูปที่ 2.16 แท็กแบบพวงกุญแจ [19]

### 2.3.3.3.6 แท็กแบบนาฬิกา

แท็กแบบนาฬิกาได้รับการคิดค้นและพัฒนาตั้งแต่ ค.ศ .1990-1992 โดยบริษัทสัญชาติออสเตรเลียที่มีชื่อว่า Sky-Data โดยผลิตขึ้นเพื่อใช้เป็นนาฬิกาสวมใส่ข้อมือและใช้เป็นอุปกรณ์แสดงตัวตนในลักษณะช่องเซ็นเซอร์แบบไร้การสัมผัส (Contactless sensor) เพื่อผ่านเข้าสู่ผู้เล่นสกีสำหรับนักสกีทั้งหลาย

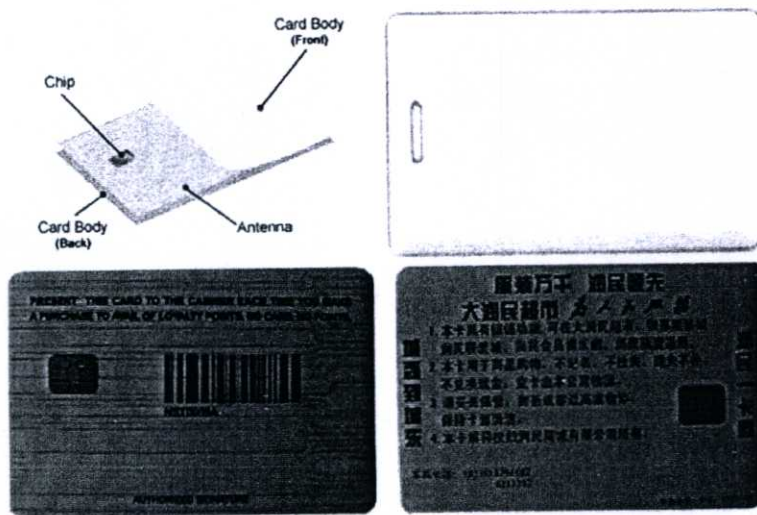


รูปที่ 2.17 แท็กแบบนาฬิกา [15]

### 2.3.3.3.7 แท็กมาตรฐาน ID-1 และสมาร์ทการ์ดแบบไร้การสัมผัส

สมาร์ทการ์ดแบบไร้การสัมผัสเป็นรูปแบบของแท็กชนิดพาสซีฟอีกรูปแบบหนึ่ง โดยในปัจจุบันได้ถูกนำมาใช้งานอย่างกว้างขวางในหลายพื้นที่ ข้อมูลที่อยู่ภายในการ์ดจะถูกอ่านเมื่ออยู่ใกล้กับเครื่องอ่าน โดยตัวการ์ดไม่จำเป็นต้องวางติดกับเครื่องอ่านเพื่อทำการอ่านข้อมูล

แท็กแบบ ID-1 มีรูปลักษณะภายนอกไม่ต่างจากบัตรเครดิตหรือบัตรโทรศัพท์ทั่วไป โดยมีขนาดประมาณมิลลิเมตร  $85.72 \times 54.03$  มิลลิเมตร ความหนา 0.76 มิลลิเมตร เป็นแท็กที่ได้รับ การนำไปใช้งานอย่างแพร่หลาย ด้วยคุณสมบัติพิเศษก็คือระยะทำการรับส่งสัญญาณที่เหนือกว่าแท็กแบบอื่นๆ ทั้งนี้ก็เนื่องมาจากพื้นที่หน้าตัดที่กว้างมากของตัวบัตร ทำให้สามารถจัดวางระบบสายอากาศที่มีแกนขนาดใหญ่ช่วยเพิ่มรัศมีทำการขึ้นได้อีกมาก



รูปที่ 2.18 แท็กมาตรฐาน ID-1 และ สมาร์ทการ์ดแบบไร้การสัมผัส [20]

### 2.3.3.3.8 แท็กแบบ Smart label

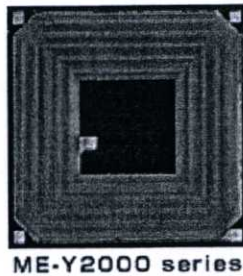
เป็นแท็กในระบบระบุลักษณะทางคลื่นวิทยุ บางที่สุดที่ได้รับการออกแบบเป็นกระดาษบาง ๆ สามารถงอหรือทาบได้ โดยขดลวดสำหรับรับส่งสัญญาณจะถูกออกแบบเป็นแถบพอยล์พลาสติกความหนาเพียง 0.1 มิลลิเมตร โดยใช้ขบวนการผลิตแบบพิมพ์สกรีน โดยทั่วไปแถบพอยล์เหล่านี้จะถูกเคลือบชั้นหนึ่งโดยเยื่อกระดาษและทับอีกชั้นหนึ่งด้วยสารซีดเกาะ เพื่อป้องกันการฉีกขาด



รูปที่ 2.19 แท็กแบบ Smart label [15]

#### 2.3.3.3.9 แท็กแบบขดลวดบนชิป (Coil-on-chip)

แท็กในระบบระบุลักษณะทางคลื่นวิทยุ ชนิดนี้มีความแตกต่างจากแท็กแบบอื่น ๆ ซึ่งมีการแยกส่วนระหว่างแท็กกับขดลวดหรือสายอากาศอย่างชัดเจน แต่สำหรับแท็กแบบขดลวดบนชิปนั้นจะรวมส่วนที่เป็นขดลวดสายอากาศและตัววงจรประมวลผลเข้าด้วยกัน

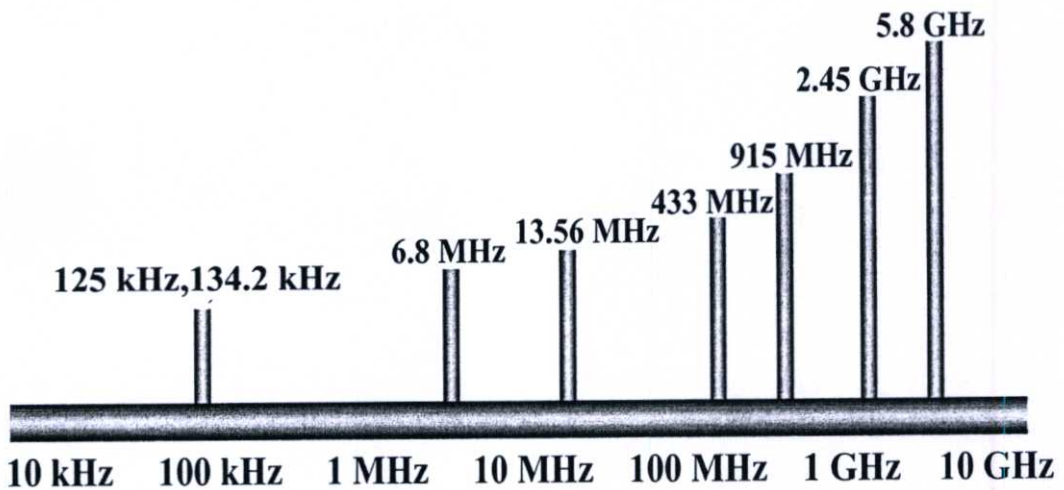


รูปที่ 2.20 แท็กแบบขดลวดบนชิป [21]

## 2.4 การจัดสรรคลื่นความถี่วิทยุย่านสำหรับระบบระบุลักษณะทางคลื่นวิทยุ

ปัจจุบันคลื่นพาหะในระบบระบุลักษณะทางคลื่นวิทยุที่ใช้งานในประเทศไทยจะอยู่ในย่านความถี่ ISM (Industrial-Scientific-Medical) ซึ่งเป็นย่านความถี่ที่กำหนดในการใช้งานเชิงอุตสาหกรรม วิทยาศาสตร์ และการแพทย์ สามารถใช้งานได้โดยไม่ตรงกับย่านความถี่ที่ใช้ในการสื่อสารโดยทั่วไปซึ่งจะสามารถแบ่งออกได้เป็น 4 ย่านความถี่ที่ใช้งาน คือ

1. ย่านความถี่ต่ำ (LF: Low Frequency) ต่ำกว่า 150 kHz
2. ย่านความถี่สูง (HF: High Frequency) 13.56/27.125 MHz
3. ย่านความถี่สูงยิ่ง (UHF: Ultra High Frequency) 433/860-960 MHz
4. ย่านความถี่ไมโครเวฟ (Microwave Frequency) 2.45/5.8GHz



รูปที่ 2.21 ย่านความถี่ที่นำมาใช้ในระบบระบุลักษณะทางคลื่นวิทยุ

ในการใช้งานสอง ย่านความถี่แรกจะเหมาะสำหรับใช้กับงานที่มีระยะการสื่อสารข้อมูลในระยะใกล้ ย่านความถี่ต่ำ (LF) มีระยะอ่านประมาณ 10-20 เซนติเมตร และย่านความถี่สูง (HF) มีระยะอ่านประมาณ 15-100 เซนติเมตร เช่น การตรวจสอบการผ่านเข้าออกพื้นที่ การตรวจหาและเก็บประวัติในสัตว์ ส่วนในย่านความถี่สูงยิ่งจะถูกใช้กับงานที่มีระยะการสื่อสารข้อมูลในระยะไกล ย่านความถี่สูงยิ่ง (UHF) มีระยะอ่านประมาณ 1-10 เมตร เช่น การเก็บค่าบริการทางด่วน ระบบขนส่งสินค้า และในปัจจุบันระบบ ระบบระบุลักษณะทางคลื่นวิทยุ กำลังถูกวิจัยและพัฒนาในย่านความถี่ไมโครเวฟที่ความถี่ 2.4/5.8 GHz เพื่อใช้ในระบบคลังสินค้าเนื่องจากขนาดของสายอากาศมีขนาดเล็กมาก สำหรับในด้านของราคาและความเร็วในการส่งข้อมูล เมื่อเทียบกับแล้วระบบระบุลักษณะทางคลื่นวิทยุ ซึ่งใช้คลื่นพาหะย่านความถี่สูงเป็นระบบที่มีความเร็วในการส่งข้อมูลสูงและมีราคาสูงด้วยเช่นกัน

## ตารางที่ 2.2 ความถี่วิทยุที่นำมาใช้ในงานด้านต่างๆสำหรับ ระบบระบุลักษณะทางคลื่นวิทยุ

ย่านความถี่	ระยะการอ่าน	ความเร็วในการรับ-ส่งข้อมูล	มาตรฐาน ISO (Passive Tag)	การประยุกต์ใช้งาน
ย่านความถี่ต่ำ 120-150 kHz	< 1 m	ต่ำ	ISO 18000-2	-ระบบระบุรหัสประจำตัวสัตว์ -บัตรผ่านเข้าออกประตู
ย่านความถี่สูง 13.56 MHz	< 1 m	ต่ำ ถึง ปานกลาง	ISO 18000-3	-สมาร์ทการ์ด ตัวโดยสาร -บัตรเติมเงิน -ห้องสมุด
ย่านความถี่สูงยิ่ง 433 MHz	> 1 m	ปานกลาง	18000, part 7	-ระบบคลังสินค้า -ระบบลอจิสติกส์
ย่านความถี่สูงยิ่ง 860-960 MHz	1-5 m	ปานกลาง ถึง สูง	18000, part 6	-ระบบ EPC -ระบบคลังสินค้า -ระบบลอจิสติกส์
ย่านความถี่ไมโครเวฟ 2.4 GHz	1-10 m	สูง	18000, part 4	-อุปกรณ์ไร้สาย

## 2.5 มาตรฐานของระบบระบุลักษณะทางคลื่นวิทยุ

มาตรฐานสำหรับการใช้งานระบบระบุลักษณะทางคลื่นวิทยุ จะแบ่งออกเป็นสองหน่วยงานหลัก คือ International Standard Organization หรือ ISO และ EPC Global เป็นองค์กรที่เกิดจากความร่วมมือระหว่าง Uniform Code Council (UCC) และ EAN International โดยได้รับการสนับสนุนจากภาคอุตสาหกรรม ทำหน้าที่ในการกำหนดและพัฒนามาตรฐานรหัสของสินค้าอิเล็กทรอนิกส์และโครงข่ายโดย EPC หรือ Electronic Product Code มีวัตถุประสงค์เพื่อนำมาใช้งานทางการระบุตัวตนของวัตถุ เฉกเช่นเดียวกับการใช้งานของรหัสแท่ง ซึ่งถูกพัฒนาขึ้นโดยศูนย์ Auto – ID แห่งมหาวิทยาลัย MIT ซึ่งได้รับทุนจากบริษัทขนาดใหญ่หลายบริษัทเช่น Intel และ Wal-Mart มีวัตถุประสงค์หลักคือการนำไปใช้งานทางการจัดการในระบบของห่วงโซ่อุปทาน (Supply chain) โดยจะถูกแบ่งออกเป็น 6 ประเภท (0-5) ดังแสดงในตารางที่ 2.3

### ตารางที่ 2.3 มาตรฐานของ EPC Global

คลาส	กำลังงาน	ระยะการอ่านได้ (เมตร)	หน่วยความจำ	คำอธิบาย	การติดต่อสื่อสาร	ชนิดของแท็ก	ราคา
0	ไม่มี	<3	1-96 bit	อ่าน อย่างเดียว	การกระจัด กระจายย้อนกลับ	พาสซีฟ	ถูก
1	ไม่มี	<3	1-96 bit	อ่าน/เขียน ข้อมูล 1 ครั้ง	การกระจัด กระจายย้อนกลับ	พาสซีฟ	ถูก
2	ไม่มี	<3	1-96 bit	อ่าน/เขียน ข้อมูล	การกระจัด กระจายย้อนกลับ	พาสซีฟ	ปานกลาง
3	แบตเตอรี่	< 100	< 100 kilobytes	อ่าน/เขียน ข้อมูล	การกระจัด กระจายย้อนกลับ	กึ่งพาสซีฟ	สูง
4	แบตเตอรี่	< 300	< 100 kilobytes	อ่าน/เขียน ข้อมูล	การส่งข้อมูลแบบ แอ็กทีฟ	แอ็กทีฟ	สูง
5	แบตเตอรี่ AC/DC Connection	ไม่จำกัด	ไม่จำกัด	อ่าน/เขียน ข้อมูล	การส่งข้อมูลแบบ แอ็กทีฟ		สูงมาก

โดยการแบ่งประเภทจะถูกแบ่งอยู่บนพื้นฐานของ กำลังงาน ระยะการอ่าน การติดต่อสื่อสาร ชนิดการทำงานของแท็ก แท็กชนิดพาสซีฟจะถูกกำหนดอยู่ในคลาสที่ 0-2 คลาสที่ 3 เป็นแท็กชนิดกึ่งพาสซีฟ ส่วนในคลาสที่ 4 จะเป็นแท็กชนิดแอ็กทีฟ โดยคลาสที่ 5 จะถูกสำรองไว้สำหรับ แท็กเครื่องอ่านข้อมูล (Tag reader) และแท็กชนิดแอ็กทีฟที่สามารถอ่านข้อมูลจากแท็กตัวอื่นๆได้ ในปัจจุบัน EPC Global จะมีมาตรฐานออกมา 2 รุ่น รุ่นแรกคือ EPC Global Gen 1 ซึ่งจะประกอบไปด้วย Class 0 Class 1 และมี EPC Gen 2 เป็นมาตรฐานอันล่าสุดที่จะทำให้เครื่องอ่านข้อมูลทุกอันที่ เป็นไปตามมาตรฐาน EPC Gen 2 นี้จะต้องสามารถอ่านได้ในมาตรฐานทางความถี่ของทุกประเทศโดยใช้มาตรฐาน ISO 18000 - 6

## ตารางที่ 2.4 มาตรฐานของ ISO

	LF	HF	UHF	Microwave
ย่านความถี่	< 135 kHz	13.56 MHz	433 MHz (แอ็กทีฟ)	2.4 GHz
			860-960 MHz	
การติดต่อสื่อสาร ทางด้านอากาศ	ISO/IEC 18000-2	ISO/IEC 18000-3	ISO/IEC 18000-7	ISO/IEC 18000-4
			ISO/IEC 18000-6	
มาตรฐานสำหรับ รูปแบบการใช้งาน ที่เฉพาะเจาะจง	ISO/IEC 11784	ISO/IEC 14443	ISO/IEC 10374	ISO/IEC 10374
	ISO/IEC 11785	ISO/IEC 15693	ISO/IEC 18185	ISO/IEC 18185
	ISO/IEC 14223  (การระบุสัตว์)	(บัตรสมาร์ทการ์ด แบบไร้สัมผัส)	(คอนเทนเนอร์ ขนส่งสินค้า)	(คอนเทนเนอร์ ขนส่งสินค้า)

มาตรฐานการระบุตัวสัตว์ (Animal Identification) มาตรฐาน ISO 11784 เป็นมาตรฐานที่เกี่ยวข้องกับการระบุตัวสัตว์ด้วยความถี่วิทยุซึ่งเป็นมาตรฐานเกี่ยวกับโครงสร้างรหัส ISO 11785 เป็นมาตรฐานที่เกี่ยวข้องทางด้านเทคนิค และ ISO 14223/1 เป็นมาตรฐานที่เกี่ยวข้องกับแท็ก

มาตรฐานบัตรสมาร์ทการ์ดแบบไร้สัมผัส (Contactless smart cards) มาตรฐาน ISO 10536 เป็นมาตรฐานของวงจรรวม ซึ่งจะกำหนดโครงสร้างและตัวแปรในการทำงานของ Contactless coupling smart cards ซึ่งระยะการทำงานจะถูกกำหนดให้มีระยะ 1 เซนติเมตร ISO 14443 เป็นมาตรฐานที่อธิบายถึงหลักการการทำงานและตัวแปรในการทำงานของ Contactless proximity coupling smart cards ที่มีระยะการอ่านประมาณ 7-15 เซนติเมตร และ ISO 15693 เป็นมาตรฐานของ Contactless vicinity coupling smart cards ที่ระยะการอ่านที่สูงถึง 1 เมตร

มาตรฐานการจัดการวัตถุ (Item management) มาตรฐาน ISO 18000 เป็นมาตรฐานที่เกี่ยวข้องกับการระบุวัตถุด้วยความถี่วิทยุ โดยเฉพาะพารามิเตอร์ต่างๆ สำหรับการติดต่อสื่อสารกันผ่านอากาศ Air Interface Standard แบ่งเป็น 5 ย่านความถี่ด้วยกันคือ 1. ย่านความถี่ ต่ำ <135 kHz – 18000 - 2 2. ย่านความถี่สูง 13.56 MHz – 18000 - 3 3. ย่านความถี่สูงยิ่ง 433 MHz – Active – 18000 - 7 4. ย่านความถี่สูงยิ่ง 860 ~ 960 MHz – 18000 - 6 5. ย่านความถี่สูงยิ่งยวด 2.45 GHz – 18000 - 4

## 2.6 ระบบระบุลักษณะทางคลื่นวิทยุในย่านความถี่สูงยิ่ง (Ultra High Frequency RFID Systems)

ระบบย่านความถี่สูงยิ่งนั้นจะมีการใช้งานในย่านความถี่ 860-960 MHz ซึ่งจะมีค่าความยาวคลื่นประมาณ 33 เซนติเมตร ระบบย่านความถี่สูงยิ่งถูกควบคุมโดยมาตรฐาน ISO/IEC 18000-6 และ Gen 2-จาก EPC global แท็กและเครื่องอ่านข้อมูลที่ทำการผลิตจะถูกควบคุมภายใต้ EPC global สำหรับ class 0 class 1 และ class 2 ยังคงมีการใช้งานอยู่ในปัจจุบัน โดยในปัจจุบันราคาต่อหน่วยของแท็กยังคงมีราคาที่แพงอยู่แต่คาดว่าภายในอนาคตอันใกล้ราคาของแท็กต่อหน่วยจะมีราคาที่ลดลง การใช้งานของแท็กในย่านความถี่สูงยิ่ง โดยส่วนมากจะถูกใช้งานในระบบการขนส่งสินค้า ห่วงโซ่อุปทาน สำหรับในการระบุกล่องหรือตู้สินค้า ซึ่งการใช้งานของแท็กจะเป็นการใช้งานทั้งแบบพาสซีฟแท็กและแอ็กทีฟแท็ก ช่วงการอ่านได้โดยปกติของแท็กที่ใช้งานในย่านความถี่สูงยิ่งนั้นจะอยู่ที่ 1-9 เมตร โดยการใช้งานช่วงค่าความถี่ที่ใช้งานก็จะแตกต่างกันออกไปตามแต่ข้อกำหนดของแต่ละประเทศ

ตารางที่ 2.5 มาตรฐานความถี่สูงยิ่ง (UHF) ของระบบระบุลักษณะทางคลื่นวิทยุที่อนุญาตให้ใช้ในแต่ละประเทศ

ประเทศ	ช่วงความถี่ที่ใช้งาน (MHz)	แบนด์วิดท์ (MHz)	กำลังงาน (Watt)
นิวซีแลนด์	864-868	4	4
อินเดีย	865-868	3	4
ยุโรป	865-868	3	4
แอฟริกาเหนือ	865.6-867.6	2	2
คูเวต	865.6-867.6	2	2
ฟินแลนด์	865.6-867.6	2	2
ฝรั่งเศส	865.6-867.6	2	2
เยอรมนี	865.6-867.6	2	2
อิตาลี	865.6-867.6	2	2
เนเธอร์แลนด์	865.6-867.6	2	2
สหพันธรัฐรัสเซีย	865.6-867.6	2	2
สเปน	865.6-867.6	2	2
สวีเดน	865.6-867.6	2	2
สวิตเซอร์แลนด์	865.6-867.6	2	2
สหราชอาณาจักร	865.6-867.6	2	2

ประเทศ	ช่วงความถี่ที่ใช้งาน (MHz)	แบนด์วิดท์ (MHz)	กำลังงาน (Watt)
สิงคโปร์	866-869	3	0.5
บราซิล	902-907.5	5.5	4
แคนาดา	902-928	26	4
สหรัฐอเมริกา	902-928	26	4
อาร์เจนตินา	902-928	26	4
ชิลี	902-928	26	4
เกาหลี	910-914	4	4
อัฟริกาใต้	917-921	4	4
จีน	917-922	5	2
ไทย	920-925	5	4
ออสเตรเลีย	920-926	6	4
ไต้หวัน	920-925	5	1
ญี่ปุ่น	952-954	2	4

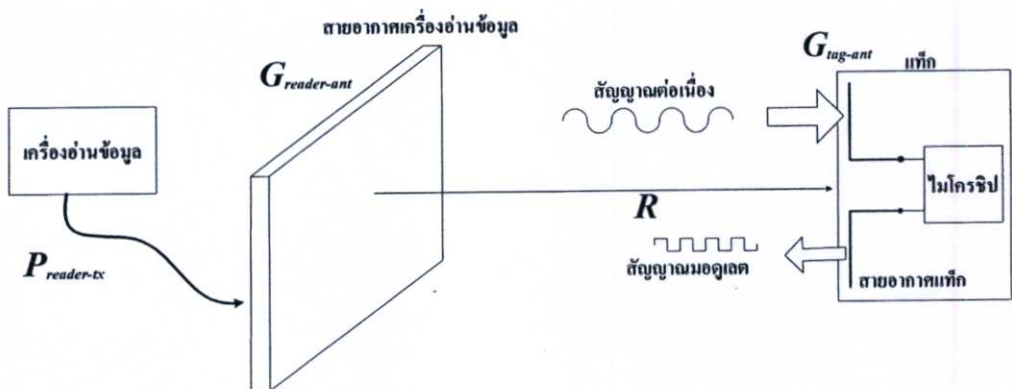
จากตารางที่ 2.5 จะเห็นได้ว่าระบบระบุลักษณะทางคลื่นวิทยุที่ใช้ในย่านความถี่สูงยิ่งยังคงมีปัญหาหนึ่งในการใช้งานคือความไม่แน่นอนของค่าความถี่ที่ใช้กันทั่วโลก ซึ่งค่าความถี่และแบนด์วิดท์มีมาตรฐานที่ต่างกันไปตามแต่ละข้อกำหนดของแต่ละประเทศ มาตรฐาน EPC global Gen-2 ซึ่งจะใช้สำหรับเครื่องอ่านข้อมูลที่สามารถอ่านแท็กได้ครอบคลุมตลอดช่วงความถี่สูงยิ่ง (UHF) อัตราการอ่านสำหรับการอ่านแท็กหลายๆตัวจะแตกต่างกันไปตามแต่ละประเทศ เนื่องจากความไม่แน่นอนระหว่างแบนด์วิดท์และวิธีการการติดต่อสื่อสารระหว่างแท็กและเครื่องอ่านข้อมูลที่ถูกนำไปใช้งาน เมื่อแบนด์วิดท์มีขนาดที่กว้างก็จะสามารถติดต่อสื่อสารกับกลุ่มของแท็กในบริเวณที่ใช้งานได้รวดเร็วกว่าการที่มีแบนด์วิดท์แคบ ดังนั้นมาตรฐานของประเทศสหรัฐอเมริกาที่มีแบนด์วิดท์ 26 MHz อัตราการอ่านแท็กจะมีค่าประมาณ 1600 แท็กต่อวินาที ในกลุ่มประเทศยุโรปที่มีแบนด์วิดท์ 3 MHz จะมีอัตราการอ่านอยู่ที่ประมาณ 600 แท็กต่อวินาที แต่การใช้แบนด์วิดท์ที่กว้างเกินไปก็อาจจะก่อให้เกิดปัญหาที่เกี่ยวกับสัญญาณรบกวนมากเช่นกัน

## 2.7 ระบบระบุลักษณะทางคลื่นวิทยุที่บริเวณสนามระยะไกล (Far-field RFID)

ระบบระบุลักษณะทางคลื่นวิทยุที่บริเวณสนามระยะไกล (Far-field) จะใช้หลักการแพร่กระจายคลื่นแม่เหล็กไฟฟ้า โครงสร้างของแท็กประกอบด้วย 2 ส่วน คือ แผงวงจรหรือชิป (Chip) ที่เก็บบันทึกข้อมูลต่างๆ และสายอากาศสำหรับการรับและการส่งสัญญาณ

### 2.7.1 หลักการทำงานของระบบระบุลักษณะทางคลื่นวิทยุในสนามระยะไกล

สำหรับระบบระบุลักษณะทางคลื่นวิทยุในสนามระยะไกลนั้น สายอากาศมีความสำคัญต่อสมรรถนะและความน่าเชื่อถือของระบบ เนื่องมาจากหลักการทำงานนี้จะอาศัยการแพร่กระจายคลื่นสนามแม่เหล็กไฟฟ้าผ่านทางสายอากาศ ในรูปที่ 2.22 ที่แสดงหลักการทำงานของระบบระบุลักษณะทางคลื่นวิทยุแบบพาสซีฟในบริเวณสนามระยะไกล เครื่องอ่านข้อมูลจะส่งสัญญาณคลื่นความถี่วิทยุที่มีความต่อเนื่องซึ่งบรรจุกำลังงานและสัญญาณนาฬิกาออกไปยังแท็ก หลังจากนั้นสายอากาศของแท็กจะเหนี่ยวนำแรงดัน RF แล้วแปลงเป็นไฟฟ้ากระแสตรงเพื่อป้อนให้กับชิป โดยทั่วไปแรงดันที่ชิปใช้ในการอ่านข้อมูลมีค่าประมาณ 1.2 โวลต์ ส่วนการเขียนข้อมูลแรงดันที่ชิปใช้ประมาณ 2.2 โวลต์ เมื่อชิปได้รับกำลังงานที่เพียงพอจะทำการส่งข้อมูลโดยการเปลี่ยนแปลงค่าอิมพีแดนซ์ด้านเข้ากลับไปยังเครื่องอ่านข้อมูล โดยทั่วไปอิมพีแดนซ์จะมีอยู่สองสถานะ คือ ค่าอิมพีแดนซ์ที่เป็นแมตซ์ส่งยุคและค่าอิมพีแดนซ์ค่าอื่นบางค่า เพื่อไว้สำหรับมอดูเลตกับสัญญาณที่เกิดการกระจัดกระจายย้อนกลับไปยังเครื่องอ่านข้อมูล



รูปที่ 2.22 กำลังงานและกลไกการติดต่อสื่อสารสำหรับระบบระบุลักษณะทางคลื่นวิทยุบริเวณสนามระยะไกล

#### 2.7.1.1 การติดต่อสื่อสารของระบบระบุลักษณะทางคลื่นวิทยุ ในสนามระยะไกล

ระยะทางการติดต่อสื่อสารระหว่างเครื่องอ่านข้อมูลกับแท็กในระบบระบุลักษณะทางคลื่นวิทยุนั้นจะขึ้นอยู่กับข้อจำกัดสองอย่าง คือ ระยะทางไกลที่สุดที่แท็กสามารถรับกำลังงานเพียงพอสำหรับการทำงานของชิปและการกระจัดกระจายย้อนกลับ (Backscattering) สัญญาณและระยะทางไกลที่สุดที่เครื่องอ่านข้อมูลสามารถรับสัญญาณที่เกิดการกระจัดกระจายย้อนกลับมายังเครื่องอ่านข้อมูลได้ แต่โดยทั่วไปแล้วเครื่องอ่านข้อมูลจะมีความไวมากเพียงพอที่จะรับสัญญาณที่กระจัดกระจายย้อนกลับมาได้ ดังนั้นระยะทางในการติดต่อสื่อสารกันระหว่างแท็กกับเครื่องอ่านข้อมูลจึงขึ้นอยู่กับแท็ก เช่น ลักษณะการวางตัวของแท็ก คุณสมบัติของวัสดุที่นำแท็กไปติด และสิ่งแวดล้อมในการแพร่กระจายคลื่น

### 2.7.1.2 การติดต่อสื่อสารจากเครื่องอ่านข้อมูลไปยังแท็ก

เนื่องจากการทำงานของแท็กนั้นเป็นแบบพาสซีฟ (Passive operation) คือไม่มีแหล่งจ่ายกำลังงานภายในเป็นของตัวเอง จึงจำเป็นต้องรับกำลังงาน (Power) มาจากเครื่องอ่านข้อมูลโดยตรง ด้วยเหตุนี้ จึงต้องมีการออกแบบระบบสายอากาศของเครื่องอ่านข้อมูล ซึ่งทำหน้าที่เป็นเครื่องส่งทั้งข้อมูลและกำลังงานไปในตัวให้สามารถส่งกำลังงานที่มีค่าสูงพอให้สามารถแพร่กระจายไปในพื้นที่ใช้งาน และสามารถทำให้สายอากาศของแท็กได้รับกำลังงานที่เพียงพอในการส่งให้ชิปภายในแท็กทำงาน เทคโนโลยีของระบบระบุลักษณะทางคลื่นวิทยุแบบการเชื่อมต่อระยะสนามระยะไกลนั้นเป็นหลักการที่ใช้งานที่ความถี่สูง เช่น ย่านความถี่สูงยิ่ง และย่านความถี่ไมโครเวฟ เป็นต้น

ในรูปที่ 2.22 แสดงระบบระบุลักษณะทางคลื่นวิทยุที่ใช้หลักการการเชื่อมต่อระยะสนามระยะไกล ซึ่งสามารถคำนวณหาค่าต่างๆ ได้ เช่น กำลังที่ส่งออกมาจากเครื่องอ่านข้อมูล อัตราขยายของสายอากาศของเครื่องอ่านข้อมูล เป็นต้น

จากสมการการส่งสัญญาณของฟรีส ในช่องว่างอิสระ (Friis free space transmission) สามารถหาค่ากำลังงานที่สายอากาศของแท็กได้รับได้ ดังนี้

$$P_{tag-ant} = \left(\frac{\lambda}{4\pi R}\right)^2 P_{reader-ant} G_{reader-ant} G_{tag-ant} \chi \quad (2.1)$$

โดยที่

$P_{tag-ant}$	คือ กำลังงานที่ชิปวงจรรวมรับได้
$P_{reader-ant}$	คือ กำลังงานส่งออกมาจากเครื่องอ่านข้อมูล
$G_{reader-ant}$	คือ อัตราขยายสายอากาศของเครื่องอ่านข้อมูล
$R$	คือ ระยะทางระหว่างสายอากาศของเครื่องอ่านข้อมูลกับแท็ก
$G_{tag-ant}$	คือ อัตราขยายสายอากาศแท็ก
$\lambda$	คือ ความยาวคลื่นในช่องว่างอิสระที่ความถี่ใช้งาน
$\chi$	คือ ค่าสัมประสิทธิ์การแมตช์ของโพลาริซระหว่างสายอากาศของเครื่องอ่านข้อมูลและสายอากาศของแท็ก

ถ้าสายอากาศของเครื่องอ่านข้อมูลกับสายอากาศของแท็กมีการโพลาริซที่ตรงกันจะมีค่าสัมประสิทธิ์การแมตช์ของการ โพลาริซเท่ากับ 1 หรือ 0 dB แต่ในการติดต่อสื่อสารของระบบระบบระบุลักษณะทางคลื่นวิทยุในสนามระยะไกล โดยทั่วไปสายอากาศของเครื่องอ่านข้อมูลจะมีการโพลาริซเป็นแบบวงกลมและสายอากาศของแท็กจะมีโพลาริซเป็นแบบเชิงเส้น ดังนั้นค่าสัมประสิทธิ์การแมตช์ของการ โพลาริซมีค่าเท่ากับ 0.5 หรือ -3 dB

กำลังงานบางส่วนที่สายอากาศของแท็กรับมาได้จะถูกส่งต่อไปยังชิป ซึ่งมีความสัมพันธ์กันดังนี้ [1]

$$P_{tag-chip} = \tau P_{tag-ant} \quad (2.2)$$

โดยที่  $\tau$  คือ สัมประสิทธิ์การส่งผ่านกำลังงาน ( $1 - |\Gamma|^2$ ) (Transmission power coefficient)

ดังนั้นระยะทางที่เครื่องอ่านข้อมูลสามารถอ่านได้ไกลที่สุด คือ เมื่อ  $P_{tag-chip}$  มีค่าเท่ากับกำลังงานที่น้อยที่สุดที่สามารถทำให้ชิปทำงานได้ ( $P_{tag-threshold}$ ) และสามารถหาระยะทางที่มากที่สุดแสดงดังสมการต่อไปนี้

$$R_{max(reader)} = \frac{\lambda}{4\pi} \sqrt{\frac{P_{reader-tx} G_{reader-ant} G_{tag-ant} \chi \tau}{P_{tag-threshold}}} \quad (2.3)$$

หรือ

$$R_{max(reader)} = 10^\alpha \text{ (m)} \quad (2.4)$$

โดยที่

$$\alpha = 27.6 - 20 \log[f(\text{MHz})] + P_{reader-tx} \text{ (dBm)} + G_{reader-ant} \text{ (dBic)} \\ + \frac{G_{tag-ant} \text{ (dBi)} + \chi \text{ (dB)} + \tau \text{ (dB)} - P_{tag-threshold} \text{ (dBm)}}{20} \quad (2.5)$$

### 2.7.1.3 การติดต่อสื่อสารจากแท็กกลับมายังเครื่องอ่านข้อมูล

มาตรฐานของระบบระบุลักษณะทางคลื่นวิทยุแบบการเชื่อมต่อระยะสนามระยะไกล กำหนดรูปแบบการส่งข้อมูลจากแท็กมายังเครื่องอ่านข้อมูล (Uplink communication) โดยอาศัยเทคโนโลยีที่เป็นการแพร่กระจายคลื่นวิทยุกลับมายังเครื่องอ่านข้อมูล คือ การกระจายย้อนกลับ การติดต่อสื่อสารจากแท็กไปยังเครื่องอ่านข้อมูลด้วยวิธีการกระจายย้อนกลับนี้จะขึ้นอยู่กับความแรงของสนามที่เกิดการกระจายย้อนกลับของแท็ก บนพื้นฐานของสมการ Monostatic หรือ Backscatter radar สามารถหาค่ากำลังงานของสัญญาณมอดูเลตที่เครื่องอ่านข้อมูลรับได้ คือ [1]

$$P_{reader-rx} = \frac{\lambda}{(4\pi)^3 R^4} P_{reader-tx} G_{reader-ant}^2 \chi \sigma \quad (2.6)$$

โดยที่  $\sigma$  คือ พื้นที่หน้าตัดขวางเรดาร์ (Radar cross-section: RCS) ของแท็ก

เมื่อกำลังงานที่รับได้ ( $P_{tag-threshold}$ ) มีค่าเท่ากับความไวในการตอบสนองของเครื่องอ่านข้อมูล จะทำให้ได้ระยะทางที่ไกลที่สุดสำหรับการติดต่อสื่อสารด้วยการกระจัดกระจายย้อนกลับ (Backscatter) และสามารถหาได้จากสมการดังนี้

$$R_{\max(\text{Backscatter})} = \sqrt[4]{\frac{\lambda^2 P_{\text{reader-tx}} G^2_{\text{reader-ant}} \chi \sigma}{(4\pi)^3 P_{\text{reader-threshold}}}} \quad (2.7)$$

หรือ

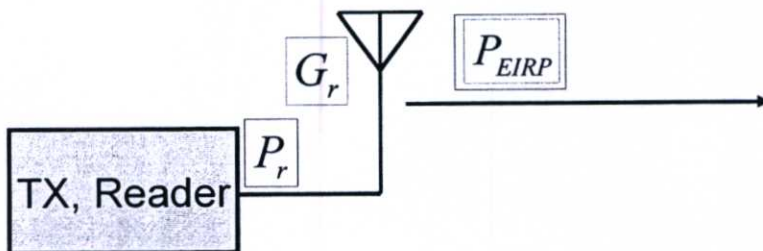
$$R_{\max(\text{Backscatter})} = 10^\beta \text{ (m)} \quad (2.8)$$

โดยที่

$$\beta = 16.6 - 20 \log[f(\text{MHz})] + P_{\text{reader-tx}}(\text{dBm}) + 2G_{\text{reader-ant}}(\text{dBic}) + \frac{\chi(\text{dB}) + \sigma(\text{dBsm}) - P_{\text{reader-threshold}}(\text{dBm})}{40} \quad (2.9)$$

จากสมการที่ได้กล่าวมาข้างต้น พบว่าระยะทางในการอ่านของเครื่องอ่านข้อมูลขึ้นอยู่กับค่าพารามิเตอร์ต่างๆ แต่มีพารามิเตอร์อยู่สองตัวที่สามารถทราบค่าได้ก่อนจากการเลือกเครื่องอ่านข้อมูลและตัวชิป คือ ค่ากำลังงานที่น้อยที่สุดที่สามารถทำให้ชิปทำงานได้ ( $P_{tag-threshold}$ ) และค่าความไวในการตอบสนองของเครื่องอ่านข้อมูล ( $P_{reader-threshold}$ )

## 2.7.2 ค่ากำลังงานการแพร่กระจายคลื่นประสิทธิภาพไอโซทรอปิก (Effective Isotropic Radiated Power: EIRP) และค่ากำลังงานการแพร่กระจายคลื่นประสิทธิภาพ (Effective Radiated Power: ERP)



รูปที่ 2.23 กำลังงานการแพร่กระจายคลื่นประสิทธิภาพไอโซทรอปิก

จากที่ได้กล่าวมาแล้วว่า ระยะทางในการอ่านที่ไกลที่สุดเป็นส่วนหนึ่งกับกำลังงานด้านออกของเครื่องอ่านข้อมูลและอัตราขยายของสายอากาศของเครื่องอ่านข้อมูล นั่นคือ ถ้ากำลังงานและอัตราขยายของเครื่องอ่านข้อมูลมีค่าสูงจะทำให้ระยะทางการอ่านไกลขึ้นตามไปด้วย แต่อย่างไรก็ตามในการส่งกำลังงานด้านออกของเครื่องอ่านข้อมูลต้องเป็นไปตามมาตรฐานข้อบังคับของแต่ละประเทศ

ค่า EIRP (Effective Isotropic Radiated Power) คือ การทดสอบกำลังงานที่แพร่กระจายจากสายอากาศตัวส่งที่เป็นไอโซทรอปิก (Isotropic) นั่นคือ มีอัตราขยายเท่ากับ 1 หรือ 0 dBi หรือกล่าวโดยง่ายว่า EIRP คือกำลังงานที่แพร่กระจายจากสายอากาศตัวส่งโดยเป็นการรวมค่ากำลังงานของตัวส่งและอัตราขยายของสายอากาศตัวส่ง โดยสามารถหาค่าได้ดังนี้

$$P_{EIRP} = P_{reader-tx} G_{reader-ant} \quad (2.10)$$

หรือ

$$P_{EIRP} = P_{reader-tx} \text{ (dBm)} + G_{reader-ant} \text{ (dBi)}$$

โดยทั่วไปมีการอ้างถึงค่า EIRP และค่า ERP (Effective Radiated Power) ซึ่งมีความสัมพันธ์กับสายอากาศไดโพล มากกว่าสายอากาศแบบไอโซทรอปิก และมีค่าอัตราขยายเท่ากับ 1.64 หรือ 2.15 dBi

$$P_{ERP} = P_{reader-tx} \text{ (dBm)} + G_{reader-ant} \text{ (dBd)} \quad (2.11)$$

โดยความสัมพันธ์ระหว่างค่า EIRP และค่า ERP คือ

$$P_{EIRP} = 1.64 P_{ERP} \quad (2.12)$$

### 2.7.3 ค่าสัมประสิทธิ์การส่งผ่านกำลังงาน (Power transmission coefficient)

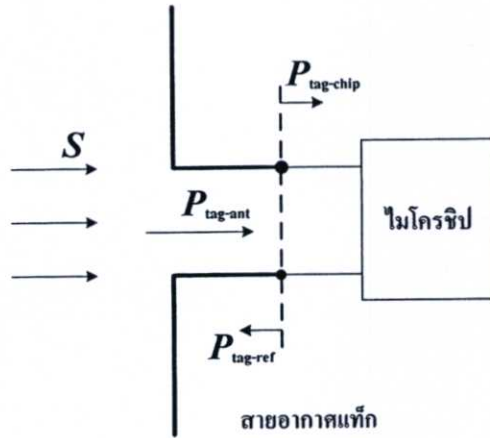
พิจารณาพื้นที่ประสิทธิภาพ ( $A_{e-max}$ ) ของสายอากาศของแท่งที่วางอยู่ในสนามของสายอากาศของเครื่องอ่านข้อมูลซึ่งมีความหนาแน่นกำลังงาน ( $S$ :  $W/m^2$ ) แท่งจะได้รับกำลังงานและส่งต่อไปยังรอยต่อระหว่างสายอากาศและชิปที่มีอิมพีแดนซ์เป็น  $Z_T$  กำลังงานส่วนหนึ่งจะส่งผ่านไปยังชิป ในขณะที่บางส่วนจะถูกสะท้อนกลับและแพร่กระจายอีกครั้งหนึ่งที่สายอากาศกำลังงานที่แท่งรับได้และกำลังงานที่ส่งต่อไปยังชิป คือ

$$P_{tag-ant} = S A_{e-max} \quad (2.13)$$

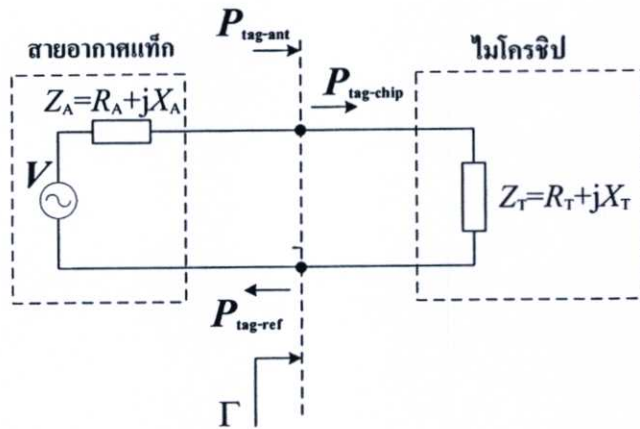
และ

$$P_{tag-chip} = \tau P_{tag-ant} \quad (2.14)$$

ค่าสัมประสิทธิ์การส่งผ่านกำลังงานจะถูกกำหนดโดยค่าอิมพีแดนซ์ของสายอากาศ  $Z_A$  ของแท็กและอิมพีแดนซ์ของชิป  $Z_T$  ซึ่งขึ้นอยู่กับความถี่และกำลังงานที่จ่ายให้ชิป



(ก) กำลังงานที่ส่งมายังโครงสร้างของแท็ก



(ข) วงจรสมมูล

รูปที่ 2.24 กำลังงานที่ส่งมายังแท็กและวงจรสมมูล

จากรูปที่ 2.24 แสดงวงจรสมมูล อิมพีแดนซ์ของชิป  $Z_T$  จะรวมผลของตัวล่องที่ใส่ชิปด้วย [1] โดยที่อิมพีแดนซ์ของทั้งสายอากาศและชิปจะขึ้นอยู่กับความถี่ จากค่าสัมประสิทธิ์การสะท้อน ( $\Gamma$ ) คือ

$$\Gamma = \frac{Z_T - Z_A^*}{Z_T + Z_A}, \quad 0 \leq |\Gamma| \leq 1 \quad (2.15)$$

โดยที่

$$Z_T = R_T + jX_T \quad (2.16)$$

$$Z_A = R_A + jX_A \quad (2.17)$$

กำลังงานที่ส่งไปยังชิป คือ

$$P_{\text{tag-chip}} = (1 - |\Gamma|^2) P_{\text{tag-ant}} \quad (2.18)$$

สัมประสิทธิ์การส่งผ่านกำลังงานสามารถเขียนในรูปสมการได้ดังนี้

$$\tau = \frac{P_{\text{tag-chip}}}{P_{\text{tag-ant}}} = 1 - |\Gamma|^2 = \frac{4R_A R_T}{(R_A + R_T)^2 + (X_A + X_T)^2}, \quad 0 \leq \tau \leq 1 \quad (2.19)$$

เมื่อสายอากาศเป็นแมตช์ส่งเข้ากับชิป นั่นคือ  $R_T = R_A$  และ  $X_T = -X_A$  จะทำให้  $|\Gamma| = 0$ ,  $\tau = 1$  จะได้กำลังงานที่ส่งผ่านจากสายอากาศแท้กไปยังชิปมากที่สุด และแสดงในรูปสมการได้ดังนี้

$$P_{\text{tag-chip-max}} = P_{\text{tag-ant}} = S A_{e-\text{max}} \quad (2.20)$$

ในขณะที่สายอากาศถูกทำให้ลัดวงจร นั่นคือ อิมพีแดนซ์ของชิปมีค่าเท่ากับศูนย์ ( $Z_T = 0$ ) ส่งผลให้  $|\Gamma| = 1$  และ  $\tau = 0$  ดังนั้นจะไม่มีกำลังงานส่งไปยังชิป

ในการจำลองหรือการทดสอบสายอากาศโดยส่วนใหญ่จะได้ผลออกมาในรูปของค่าการสูญเสียย้อนกลับ (Return Loss: RL) มีความสัมพันธ์กับค่าสัมประสิทธิ์การสะท้อนและค่าสัมประสิทธิ์การส่งผ่าน ซึ่งใช้เพื่ออธิบายคุณลักษณะของการแมตช์ของอิมพีแดนซ์ กำหนดได้ดังนี้

$$RL(\text{dB}) = -20 \log_{10}(|\Gamma|) \quad (2.21)$$

#### 2.7.4 สัมประสิทธิ์การแมตช์ของโพลาไรซ์ (Polarization matching coefficient)

โพลาไรซ์ของสายอากาศแท้กจะต้องมีความเหมาะสมกับโพลาไรซ์ของเครื่องอ่านข้อมูล เนื่องจากจะสามารถนำมาซึ่งระยะการอ่านได้ที่ไกลที่สุด โดยพารามิเตอร์ที่ซึ่งแสดงถึงการแมตช์ของโพลาไรซ์คือ  $\chi$  (สัมประสิทธิ์การแมตช์เชิงโพลาไรซ์) สำหรับระบบระบุลักษณะทางคลื่นวิทยุ สนามระยะไกลนั้นสายอากาศเครื่องอ่านข้อมูลส่วนมากจะมีโพลาไรซ์เชิงวงกลม ซึ่งแท้กโดยส่วนมากก็จะ โพลาไรซ์เป็นแบบเชิงเส้น ซึ่งทิศทางการติดตั้งสายอากาศแท้กก็จะไม่สามารถกำหนดได้อย่างตายตัว ตัวอย่างเช่น การใช้แท้กที่มีโพลาไรซ์แบบเชิงเส้นกับสายอากาศเครื่องอ่านข้อมูลที่มีโพลาไรซ์เชิงวงกลมค่าสัมประสิทธิ์การแมตช์เชิงโพลาไรซ์ จะมีค่าเท่ากับ 0.5 หรือ -3 dB ซึ่งถ้าหากใช้แท้กที่มีโพลาไรซ์เชิงวงกลมก็จะสามารถเพิ่มระดับสัญญาณขึ้นมาได้อีก 3 dB

### 2.7.5 ค่าสภาพเจาะจงทิศทาง (Directivity)

ค่าสภาพเจาะจงทิศทาง คือ อัตราส่วนของความเข้มการแพร่กระจายคลื่นที่มากที่สุดต่อความเข้มของการแพร่กระจายคลื่นของสายอากาศแบบไอโซทรอปิก (Isotropic) ถ้าไม่มีการระบุทิศทางให้หมายถึงทิศทางที่มีความเข้มการแพร่กระจายคลื่นที่มากที่สุด

สำหรับสายอากาศที่มีการแพร่กระจายคลื่นเป็นแบบไอโซทรอปิก (Isotropic) จะมีค่าสภาพเจาะจงทิศทางเท่ากับหนึ่ง เนื่องจากค่าความเข้มการแพร่กระจายคลื่น ( $U$ ) และค่าความเข้มการแพร่กระจายคลื่นมากที่สุด ( $U_{max}$ ) และค่าความเข้มการแพร่กระจายคลื่นของสายอากาศแบบไอโซทรอปิก (Isotropic) มีค่าเท่ากัน

โดยทั่วไปค่าสภาพเจาะจงทิศทางจะแสดงในหน่วยของเดซิเบล (dB) ซึ่งสามารถหาได้จาก การแปลงค่าสภาพเจาะจงทิศทางที่ไม่มีหน่วย (Dimensionless)

### 2.7.6 ประสิทธิภาพของสายอากาศ (Antenna efficiency)

ประสิทธิภาพของสายอากาศจะใช้เพื่อคำนึงถึงค่าการสูญเสียในส่วนต่างๆ ซึ่งแบ่งออกได้เป็น 2 ประเภท คือ การสูญเสียจากการไม่แมตช์ของส่วนเชื่อมต่อกับสายอากาศแท็กและการสูญเสียภายในตัวสายอากาศ เช่น การสูญเสียในตัวนำ การสูญเสียในสารไดอิเล็กตริก เป็นต้น โดยปรกติแล้วค่าประสิทธิภาพของแท็กโดยรวมจะแสดงดังสมการที่ 2.22

$$e_t = e_{cd}e_r = e_{cd}(1 - |\Gamma|^2) \quad (2.22)$$

เมื่อกำหนดให้

$e_t$  = ประสิทธิภาพรวม

$e_{cd}$  = ประสิทธิภาพความเป็นตัวนำและไดอิเล็กตริกของสายอากาศ

$e_r$  = ประสิทธิภาพการสะท้อน (ไม่แมตช์)

และ  $\Gamma$  เป็นสัมประสิทธิ์การสะท้อน อ้างอิงจากสมการที่ (2.14)

โดยทั่วไปการกล่าวถึงค่าประสิทธิภาพของแท็กจะเป็นการพิจารณาถึงค่าประสิทธิภาพการแพร่กระจายคลื่นของสายอากาศแท็ก โดยพจน์ดังกล่าวนี้จะส่งผลต่อค่าอัตราขยายของแท็ก

### 2.7.7 อัตราขยายของสายอากาศ (Gain of antenna)

อัตราขยายของสายอากาศนั้นเป็นอีกพารามิเตอร์ที่มีความสำคัญสำหรับระยะทางการอ่านได้ไกลที่สุด ระยะทางการอ่านได้ไกลที่สุดจะอยู่ในทิศทางที่ค่าอัตราการขยายมีค่ามากที่สุด ซึ่งโดยปรกตินั้นจะถูกจำกัดโดยขนาด แบบรูปการแพร่กระจายคลื่นของสายอากาศ ยานความถี่ที่ทำงาน สำหรับสายอากาศไดโพลขนาดเล็ก จะมีแบบรูปการแพร่กระจายคลื่นแบบรอบตัวและจะมีค่าอัตราการขยายประมาณ 0-2 dBi สำหรับสายอากาศชนิดชี้ทิศทางบางชนิดเช่นสายอากาศชนิดแผ่นบาง (Patch antenna) สายอากาศจะสามารถมีอัตราการขยายที่สูงขึ้นไปถึง 6 dBi หรือมากกว่านั้น

จากข้อกำหนดจากมาตรฐานของ IEEE นั้น อัตราขยายโดยทั่วไปจะไม่รวมการสูญเสียที่เกิดเนื่องมาจากการไม่แมตช์กันของอิมพีแดนซ์ (ค่าการสูญเสียจากการสะท้อน) และค่าการสูญเสียที่เกิดจากการไม่แมตช์กันของโพลาไรซ์ โดยในวิทยานิพนธ์จะทำการอธิบายรูปแบบของอัตราขยายสองรูปแบบ โดยรูปแบบแรกคือ อัตราขยาย (Gain,  $G$ ) ส่วนอีกรูปแบบนั้นคือ อัตราขยายสัมบูรณ์ (Absolute gain,  $G_{abs}$ ) โดย อัตราขยาย (Gain,  $G$ ) จะมีความสัมพันธ์กับค่าสภาพเจาะงทศทางสูงสุดดังสมการ

$$G(\theta, \phi) = e_{cd} D(\theta, \phi) \quad (2.23)$$

เมื่อกำหนดให้

$D$  = ค่าสภาพเจาะงทศทางของสายอากาศ

$e_{cd}$  = ประสิทธิภาพการเป็นตัวนำและไดอิเล็กตริกของสายอากาศ

ในส่วนของอัตราขยายสัมบูรณ์ (Absolute gain,  $G_{abs}$ ) จะเป็นพจน์ของค่าอัตราขยาย (Gain,  $G$ ) ที่มีการรวมพจน์ของประสิทธิภาพการสะท้อนจากการไม่แมตช์  $e_r$  เข้าไปด้วย เมื่อ  $e_r = (1 - |\Gamma|^2)$  โดยค่าอัตราขยายสัมบูรณ์จะเขียนได้ดังสมการ

$$\begin{aligned} G_{abs}(\theta, \phi) &= e_r G(\theta, \phi) \\ &= (1 - |\Gamma|^2) G(\theta, \phi) \end{aligned} \quad (2.24)$$

### 2.7.8 ความไวของชิปวงจรรวม (Sensitivity of IC chip)

กำลังงานไฟฟ้าชิคเริ่ม  $P_{th}$  เป็นสิ่งที่มีความสำคัญมากที่สุดในการจำกัดระยะเวลาอ่านที่ไกลที่สุดของแท็ก ค่าดังกล่าวคือพลังงานคลื่นวิทยุที่ต่ำสุดที่จำเป็นในการกระตุ้นให้ชิปเริ่มทำงาน โดยเมื่อพิจารณาจากสมการที่ (2.3) เมื่อกำหนดให้พารามิเตอร์อื่นคงที่จะพบว่ายิ่งกำลังงานไฟฟ้าชิคเริ่มมีค่าที่น้อยลงจะทำให้ได้ระยะเวลาอ่านไกลสุดเพิ่มมากขึ้น

## 2.8 หลักการออกแบบสายอากาศแท็กของระบบระบุลักษณะของวัตถุด้วยคลื่นวิทยุ

สิ่งที่มีความสำคัญที่สุดของระบบระบุลักษณะทางคลื่นวิทยุ คือค่าประสิทธิภาพของช่วงการอ่าน ซึ่งจะเป็นระยะทางที่ไกลที่สุดที่เครื่องอ่านข้อมูลของระบบระบุลักษณะทางคลื่นวิทยุสามารถที่นำข้อมูลกลับคืนมาได้ ระยะของการอ่านนั้นจะขึ้นอยู่กับประสิทธิภาพของแท็ก โดยปกติแล้วสิ่งที่ควรคำนึงถึงสำหรับการออกแบบระบบระบุลักษณะทางคลื่นวิทยุจะเป็นดังนี้

1. แท้ก็มิกำลังอิมพีแดนซ์ที่เหมาะสมกับชิป โดยค่าอิมพีแดนซ์ของแท้ที่ออกแบบจะต้องเป็นค่าสังยุคกับค่าอิมพีแดนซ์ของชิป เพื่อที่จะทำให้สามารถรับค่าพลังงานจากเครื่องอ่านข้อมูลได้มากที่สุด
2. มีขนาดที่เหมาะสมสำหรับการนำไปใช้งาน
3. เมื่อนำแท้กไปติดวัสดุ แล้วยังคงมีคุณสมบัติที่ไม่เปลี่ยนแปลง
4. มีแบบรูปการแพร่กระจายคลื่นเป็นไปตามความเหมาะสมในการนำไปใช้งาน (แบบรูปการแพร่กระจายคลื่นแบบรอบตัวหรือแบบชี้เจาะจงทิศทาง)
5. มีโครงสร้างที่แข็งแรงและทนทาน
6. ทิ้งวัสดุและการผลิตมีราคาถูก

การใช้งานแท้กของระบบระบุลักษณะทางคลื่นวิทยุที่แตกต่างกันออกไปทำให้ต้องมีหลักเกณฑ์ในการพิจารณาการออกแบบสายอากาศแท้ก ซึ่งโดยทั่วไปแล้วหลักการออกแบบนั้นก็ จะมีความสัมพันธ์กับการนำไปใช้งานของแท้ก โดยจะมีหลักเกณฑ์ในการพิจารณาสำหรับการ ออกแบบดังนี้

**ช่วงความถี่ที่ใช้งาน :** ชนิดของสายอากาศจะขึ้นอยู่กับช่วงความถี่ที่ใช้งาน ในการใช้งานสำหรับ ย่านความถี่สูง (HF) และย่านความถี่ต่ำ (LF) จะนิยมใช้สายอากาศเส้นลวดขดเป็นวง (Spiral coil antenna) ส่วนในย่านความถี่สูงยิ่ง (UHF) และย่านความถี่ไมโครเวฟ จะนิยมใช้สายอากาศไดโพล สายอากาศขดคววนและ สายอากาศแผ่นบางเรียบ ส่วนการเลือกความถี่ที่ใช้งานจะต้องขึ้นอยู่กับ วัตถุประสงค์ของการใช้งานและข้อกำหนดของแต่ละประเทศที่แตกต่างกันออกไป

**ขนาด และรูปแบบ :** การออกแบบแท้กมีความต้องการในเบื้องต้นคือ ต้องการให้แท้กมีขนาดที่ เหมาะสมกับวัตถุประสงค์ที่จะนำไปใช้เช่น การนำไปใช้เป็นแผ่นป้าย การนำไปใช้กับกล่อง กระดาษหรือการนำไปติดกระเป๋าเดินทางสำหรับสายการบิน ซึ่งการออกแบบให้สายอากาศที่มี ขนาดเล็กนั้นก็มีความท้าทายสำหรับผู้ออกแบบเป็นอย่างมาก เนื่องจากสายอากาศที่มีขนาดเล็ก ก็จะสามารถในการเชื่อมต่อที่จำกัด โดยเฉพาะอย่างยิ่งในสายอากาศบ่งที่ใช้ในย่านความถี่ ต่ำและความถี่สูง ส่วนในย่านความถี่สูงยิ่ง (UHF) และย่านความถี่ไมโครเวฟ จะยังผลให้ ประสิทธิภาพของสายอากาศลดลง ซึ่งผลทั้งหมดของการลดขนาดสายอากาศก็คือ การลดลงของ ระยะการติดต่อสื่อสารระหว่างแท้กกับเครื่องอ่านข้อมูล

**แบบรูปการแพร่กระจายคลื่น :** ในการใช้งานแต่ละประเภทนั้นก็มีความต้องการแบบรูปการ แพร่กระจายคลื่นที่มีรูปร่างที่แตกต่างกันออกไป ตัวอย่างเช่น แบบรูปการแพร่กระจายคลื่นชนิด รอบตัว แบบรูปการแพร่กระจายคลื่นชนิดชี้เจาะจงทิศทาง หรือ แบบรูปการแพร่กระจายคลื่น ชนิดครึ่งทรงกลม

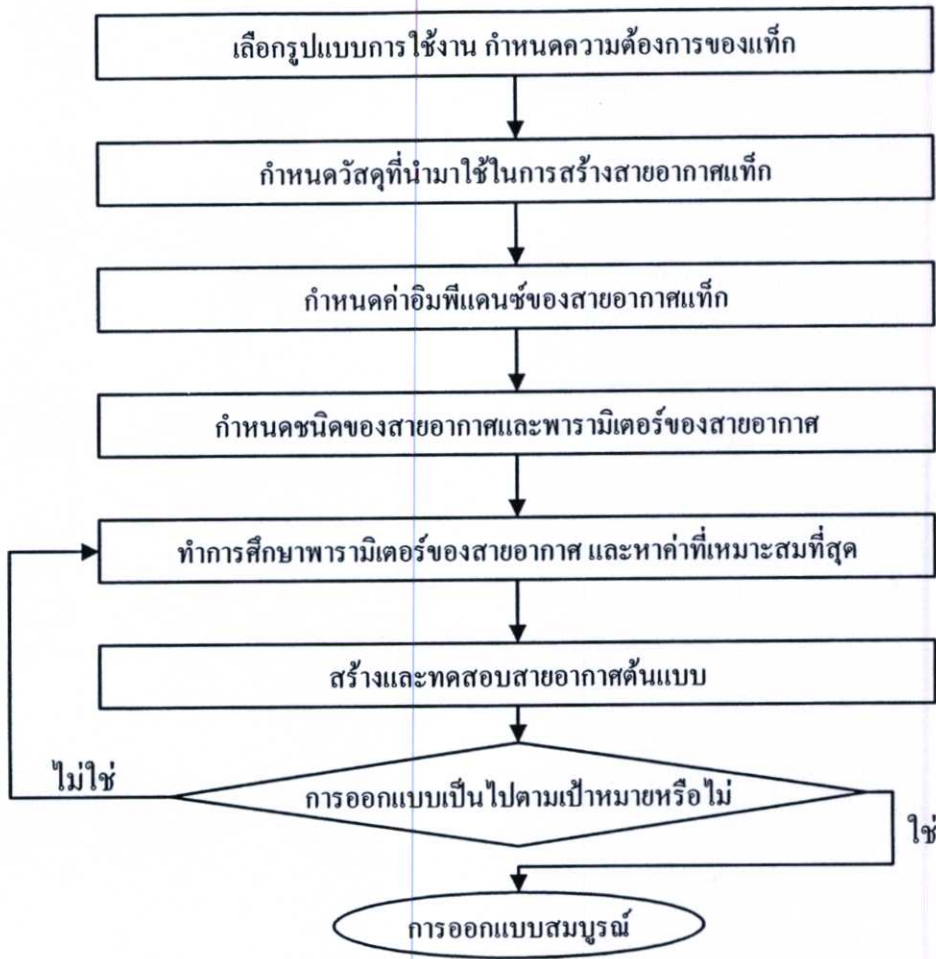
**ความอ่อนไหวในการใช้งานร่วมกับวัสดุ :** สมรรถนะในการทำงานของแท็กจะเปลี่ยนแปลงเมื่อนำไปใช้กับวัสดุที่แตกต่างกันออกไปเช่น กล้องกระดาศที่มีสิ่งของภายในที่แตกต่างกัน และจะมีประสิทธิภาพที่ลดลงเมื่อติดอยู่บนวัสดุที่มีการสูญเสีย ตัวอย่างเช่นขวดน้ำพลาสติกที่มีน้ำหรือน้ำมันบรรจุอยู่ หรือกระป๋องโลหะ โดยสายอากาศแท็กจะถูกออกแบบให้มีความเหมาะสมกับวัสดุที่ต้องการจะนำไปติดเพื่อให้ได้สมรรถนะในการทำงานที่สูงที่สุด หรือทำการออกแบบให้แท็กมีความอ่อนไหวต่อการใช้งานร่วมกับวัสดุแต่ละชนิดที่มีความแตกต่างกันให้น้อยที่สุด

**ราคา :** แท็กของระบบระบุลักษณะทางคลื่นวิทยุ จะต้องมียาราคาที่แพงเพราะจะต้องถูกนำไปใช้จำนวนมากในแต่ละการใช้งาน โดยข้อจำกัดนี้จะเป็นตัวกำหนดทั้งโครงสร้างและวัสดุที่จะนำมาใช้ในการสร้างแท็กที่ซึ่งจะประกอบไปด้วยไมโครชิป วัสดุที่ถูกนำมาใช้ในการสร้างแท็กได้แก่แถบหรือสายตัวนำไฟฟ้าและโคเอเล็กทริก ในส่วนของโคเอเล็กทริกนั้นจะประกอบไปด้วยโพลีเอสเตอร์ที่ตัดได้ สำหรับการใช้งานในย่านความถี่สูง (HF) และความถี่ต่ำ (LF) ส่วนวัสดุฐานรองที่เป็นแผ่นพิมพ์อย่างเช่น FR-4 จะถูกนำไปใช้งานสำหรับย่านความถี่สูงยิ่ง (UHF) และย่านความถี่ไมโครเวฟ ส่วนตัวนำไฟฟ้าที่นิยมนำมาใช้จะเป็นพวกทองแดง อลูมิเนียม และหมึกเงิน

**ความเชื่อถือได้ :** แท็กของระบบระบุลักษณะทางคลื่นวิทยุ จะต้องเป็นอุปกรณ์ที่มีความเชื่อถือได้ที่สามารถทนได้กับการเปลี่ยนแปลงของอุณหภูมิ ความชื้น ความเค้นและความเครียด และ ความคงทนต่อกระบวนการผลิต เช่น การดัดป้ายฉลาก การพิมพ์ และการวางซ้อนทับเป็นต้น

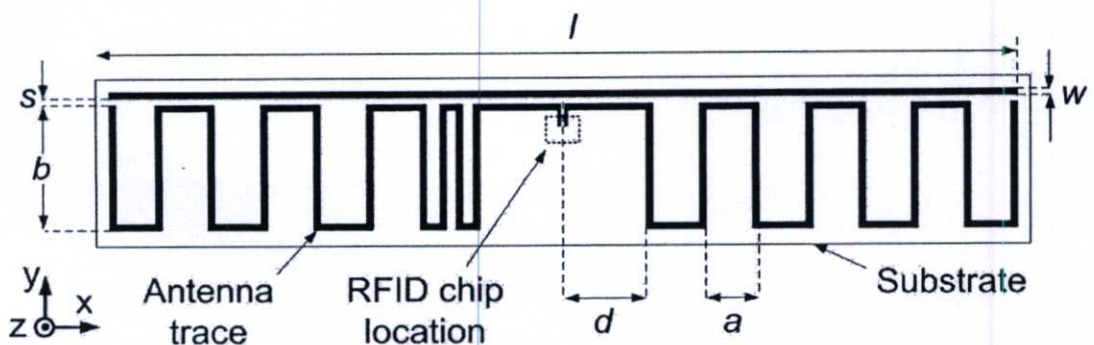
## 2.9 งานวิจัยที่เกี่ยวข้องกับวิทยานิพนธ์ที่มีมาก่อน

มีงานวิจัยจำนวนมากที่กล่าวถึงการหลักการออกแบบสายอากาศแท็กย่านความถี่สูงยิ่ง [22]-[24] แต่ละปัญหาที่เกิดขึ้นในการออกแบบสายอากาศแท็กในระบบระบุลักษณะทางคลื่นวิทยุ [25] จากที่กล่าวมาแล้วในส่วนของทฤษฎีในหัวข้อระบบระบุลักษณะทางคลื่นวิทยุย่านความถี่สูงยิ่ง จะพบว่ามาตรฐานการใช้งานทางด้านความถี่ของแต่ละประเทศจะมีมาตรฐานที่แตกต่างกันออกไป และการที่สายอากาศแท็กจะต้องถูกนำไปติดกับชิปวงจรรวมที่มีอยู่หลากหลายผู้ผลิต ซึ่งชิปวงจรรวมดังกล่าวก็มีค่าอิมพีแดนซ์ที่แตกต่างกันออกไปตามผู้ผลิต ทั้งชิปวงจรรวมนั้นยังมีการเปลี่ยนแปลงค่าไปตามความถี่ที่เราเลือกใช้งาน ดังนั้นจึงมีบทความที่ต่าง ๆ กันในการนำเสนอการออกแบบสายอากาศแท็กกับย่านความถี่ตามมาตรฐานของประเทศต่างๆ [26]-[28] และการออกแบบรวมกับชิปวงจรรวมที่ต่างกัน ตัวอย่างเช่น บทความของ K.V. Seshagiri Rao และคณะ [22] ซึ่งกล่าวถึงหลักการการออกแบบสายอากาศแท็กโดยรวมให้มีประสิทธิภาพ โดยหลักการออกแบบดังกล่าวจะ ในแผนผังดังรูปที่ 2.25



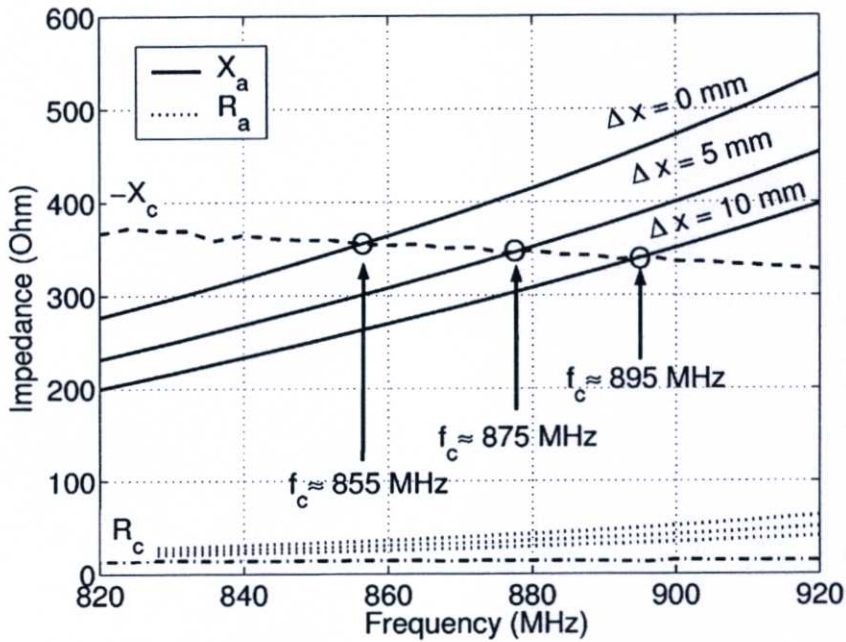
รูปที่ 2.25 แผนผังหลักการออกแบบสายอากาศแท็ก

โดยสายอากาศที่นำเสนอในบทความนี้มีเป็นสายอากาศไดโพลชนิดขดคววนเพื่อให้ได้แบบรูปการแพร่กระจายคลื่นแบบรอบทิศทาง และการขดคววนสามารถช่วยในการลดขนาดทางโครงสร้างให้สายอากาศมีความยาวโดยรวมที่ลดลง [29]-[30] และมีการใช้เส้นแท่งโหนด 1 เส้นเพื่อเป็นการควบคุมค่าอิมพีแดนซ์ให้ได้เป็นไปตามต้องการ โดยโครงสร้างของสายอากาศมีขนาด  $0.3 \lambda \times 0.04 \lambda$  แสดงดังรูปที่ 2.26



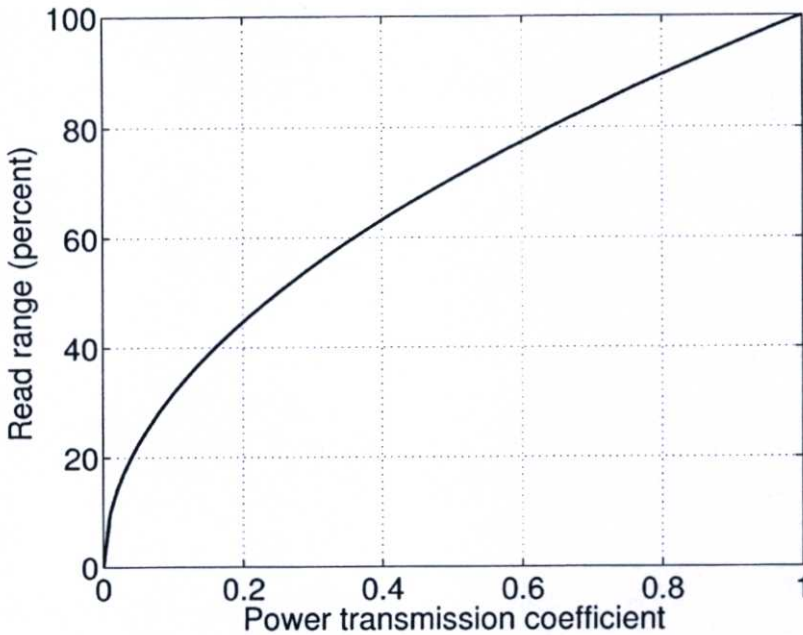
รูปที่ 2.26 โครงสร้างของสายอากาศแท็กขดคววนที่มีโหนด

จากโครงสร้างของสายอากาศดังกล่าวสายอากาศจะถูกออกแบบให้มีความเหมาะสมกับการนำไปใช้งานโดยการออกแบบรวมกับชิป Philips EPC 1.19 G2 RFID ASIC chip ซึ่งชิปดังกล่าวจะทำงานในช่วงความถี่ 860-960 MHz จากผลการจำลองสายอากาศแท่งขดคววนที่มีโหลด จะเห็นได้ว่าจะมีค่าอิมพีแดนซ์ที่ค่อนข้างสูง ซึ่งจากผลการจำลองจะพบว่าสายอากาศที่ทำการออกแบบดังกล่าวมีความเหมาะสมกับค่าอิมพีแดนซ์ที่ค่อนข้างสูงดังแสดงในรูปที่ 2.27



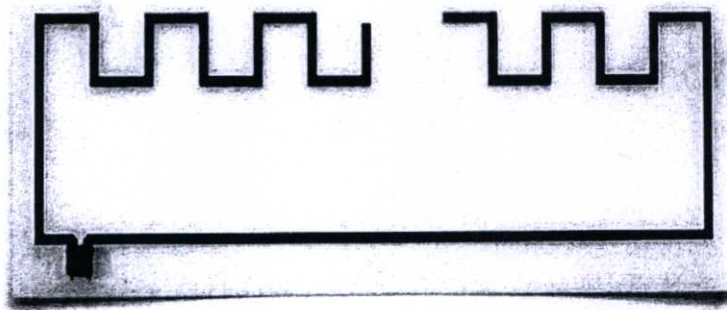
รูปที่ 2.27 กราฟค่าอิมพีแดนซ์ของสายอากาศ

จากบทความของ K.V.S Rao และคณะ [23] ได้อธิบายถึงหลักการของการแมตซ์อิมพีแดนซ์ในการออกแบบสายอากาศแท่ง โดยได้แสดงให้เห็นว่าที่  $\tau = 1$  หรือที่มีการแมตซ์ส่งยุคของอิมพีแดนซ์ระหว่างอิมพีแดนซ์ของชิปวงจรรวมกับอิมพีแดนซ์ของสายอากาศแท่งโดยสมบูรณ์ก็จะได้ระยะการอ่านที่สูงที่สุด โดยระยะการอ่านได้ไกลสุดจะมีการเพิ่มขึ้นเมื่อค่าสัมประสิทธิ์การส่งผ่านกำลังงานมีค่าที่เพิ่มขึ้น เมื่อกำหนดให้ตัวแปรอื่นๆคงที่ดังแสดงในรูปที่ 2.28

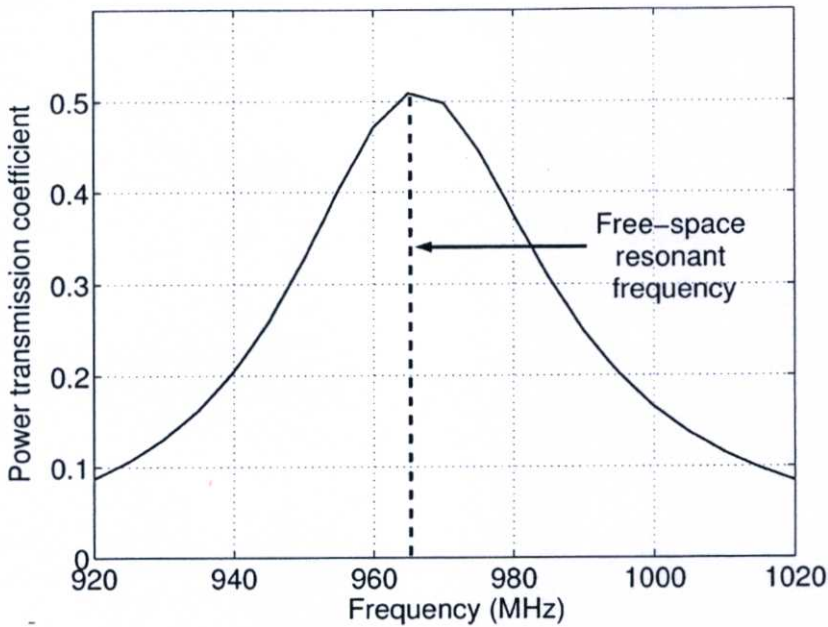


รูปที่ 2.28 กราฟนอร์แมลไลซ์ระยะการอ่านไกลที่สุดต่อค่าสัมประสิทธิ์การส่งผ่านกำลังงาน

สายอากาศที่ทำการออกแบบมีลักษณะเป็นแบบ โค้งงอและขดคววน (Folded meander) เพื่อใช้ใน Intellitag ID card สายอากาศมีความกว้าง 22 มิลลิเมตร ความยาว 70 มิลลิเมตรแสดงในรูปที่ 2.29 สร้างบนวัสดุฐานรองชนิด FR-4 โดยออกแบบที่มาตรฐานของอเมริกาเหนือ 902-928 MHz ความถี่กลางเท่ากับ 915 MHz ออกแบบร่วมกับชิปวงจรรวมรุ่น Fairchild RFID ASIC chip มีค่าอิมพีแดนซ์เท่ากับ 15-j420 โอห์ม โดยผลของค่าสัมประสิทธิ์การส่งผ่านกำลังงานของแท็กชนิด โค้งงอและขดคววนแสดงดังรูปที่ 2.30



รูปที่ 2.29 สายอากาศแท็กชนิด โค้งงอและขดคววน



รูปที่ 2.30 ค่าสัมประสิทธิ์การส่งผ่านกำลังงานของแท่ง

โดยสายอากาศดังกล่าวจะถูกออกแบบที่ 965 MHz ในสถานะช่องว่างอิสระ ซึ่งเมื่อนำไปใส่ภายใน Intellitag ID card จะทำให้ความถี่เรโซแนนซ์ที่ความถี่ 915 MHz พอดี โดยเมื่อพิจารณาที่ความถี่ 965 MHz ที่ทำการออกแบบสายอากาศจะมีค่าสัมประสิทธิ์การส่งผ่านกำลังงานประมาณ 0.5 หรือประมาณ 70 % ของระยะทางการอ่านได้ไกลที่สุด โดยระยะการอ่านได้ไกลที่สุดจะมีค่าประมาณ 3.5 เมตร

ในบทความของ P.R Foster และคณะ [25] ได้กล่าวถึงปัญหาของสายอากาศในระบบระบุลักษณะทางคลื่นวิทยุ และรูปแบบของสายอากาศที่เป็นไปได้ในเบื้องต้นในการเริ่มออกแบบ โดยได้กล่าวว่าปัญหาของการออกแบบสายอากาศให้สามารถแมตช์กับวัสดุที่ถูกห่อหุ้มเป็นเรื่องที่ค่อนข้างยาก โดยเป้าหมายของสายอากาศทุกตัวที่ออกแบบนั้นคือการทำให้สามารถส่งผ่านกำลังงานให้ได้มากที่สุด โดยสายอากาศจะต้องมีขนาดที่เหมาะสมกับวัสดุที่จะนำไปใช้ ต้องสามารถส่งผ่านกำลังงานไปยังชิปวงจรรวมให้ได้มากที่สุด มีโพลาริซัชันเหมาะสมกับการนำไปใช้งาน มีความแข็งแรง และมีราคาถูก และได้นำเสนอรูปแบบที่เป็นไปได้ในเบื้องต้นของสายอากาศในระบบระบุลักษณะทางคลื่นวิทยุดังแสดงในตารางที่ 2.6

ตารางที่ 2.6 สายอากาศทั่วไปในระบบระบุลักษณะทางคลื่นวิทยุ

สายอากาศ	แบบรูปการแพร่กระจายคลื่น	แบนด์วิดท์ (MHz)	ขนาดทางไฟฟ้า ( $\lambda_0$ )	อิมพีแดนซ์ (โอห์ม)
ไดโพล	แบบรอบตัว	10-15	0.5	50-80
ไดโพลแบบวงกลับ	แบบรอบตัว	15-20	$0.5 \times 0.05$	100-300
ไดโพลแผ่นพิมพ์	ชี้ทิศทาง	10-15	$0.5 \times 0.5 \times 0.1$	50-100
แพตช์แผ่นพิมพ์	ชี้ทิศทาง	2-3	$0.5 \times 0.5$	30-100
ลือกรายคาบ	ชี้ทิศทาง	100	$0.3 \times 0.25$	50-100

## 2.10 บทสรุป

ในบทนี้ได้นำเสนอทฤษฎีของระบบระบุลักษณะทางคลื่นวิทยุ ส่วนประกอบของระบบ ข้อดีของการใช้งานระบบระบุลักษณะทางคลื่นวิทยุ ตัวอย่างการนำไปใช้งานในด้านต่างๆ หลักการที่จำเป็นของระบบระบุลักษณะทางคลื่นวิทยุอันความถี่สูงยิ่ง ส่วนประกอบของแท็ก การแบ่งประเภทของแท็กและแท็กรูปแบบต่างๆที่มีการใช้งานในปัจจุบัน หลักการออกแบบสายอากาศแท็ก หลักการติดต่อสื่อสารระหว่างแท็กกับเครื่องอ่านข้อมูล พารามิเตอร์ที่จำเป็นในการพิจารณาการออกแบบสายอากาศแท็ก งานวิจัยที่มีมาก่อนที่เป็นประโยชน์และเป็นแนวทางเบื้องต้นในการออกแบบสายอากาศแท็ก

## บทที่ 3

# การจำลองสายอากาศแท่งชนิดไดโพลกับเส้นปรสิติก

### 3.1 บทนำ

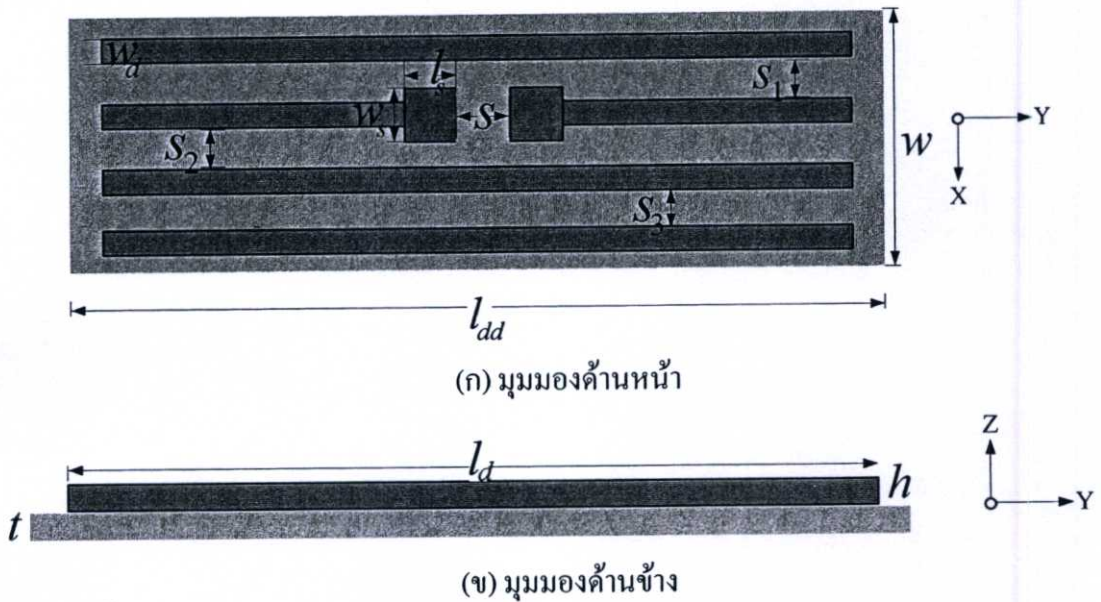
ในบทนี้จะกล่าวถึงการออกแบบสายอากาศแท่งชนิดไดโพลกับเส้นปรสิติกที่ใช้ในย่านความถี่สูงยิ่งในระบบระบุลักษณะทางคลื่นวิทยุ และการศึกษาถึงพารามิเตอร์ที่มีผลต่อคุณลักษณะของแท่งชนิดไดโพลกับเส้นปรสิติกความเป็นมาและประโยชน์ของโครงสร้างดังกล่าว โดยโครงสร้างที่ทำการออกแบบจะทำการศึกษาถึงค่าพารามิเตอร์ในเบื้องต้นก่อนที่จะนำมาใช้ในการเริ่มต้นสำหรับการออกแบบสายอากาศแท่งในแต่ละขั้นตอนของโครงสร้างสายอากาศ โดยอาศัยทฤษฎีพื้นฐานของสายอากาศสตริปไดโพลในเบื้องต้น ประกอบกับงานวิจัยที่มีมาก่อน โดยการศึกษาถึงความเปลี่ยนแปลงของพารามิเตอร์ต่างๆของสายอากาศจะผ่านการจำลองด้วยโปรแกรม CST@ Microwave Studio [31] เพื่อเป็นการศึกษาถึงค่าพารามิเตอร์แต่ละตัวและทำการหาค่าที่เหมาะสมที่สุดของสายอากาศที่ทำการออกแบบในแต่ละ โครงสร้าง พร้อมทั้งโครงสร้างของสายอากาศนี้จะถูกนำไปประเมินความถูกต้องของค่าอิมพีแดนซ์ของค่าชิปวงจรรวมในเบื้องต้น เพื่อจะเป็นประโยชน์กับการสร้างสายอากาศในโครงสร้างอื่นถัดไป

### 3.2 สายอากาศแท่งชนิดไดโพลกับเส้นปรสิติก (Dipole with parasitic lines)

สายอากาศไดโพลกับเส้นปรสิติกถูกนำมาพิจารณาเป็นสายอากาศแท่งตัวแรกเนื่องจากโครงสร้างดังกล่าวสามารถออกแบบได้ง่าย และมีพารามิเตอร์ที่ไม่มากนักสำหรับการนำไปศึกษาและการออกแบบในขั้นต้น จากที่ได้กล่าวมาแล้วในบทที่ 2 เนื่องจากชิปวงจรรวมที่ถูกใช้งานในปัจจุบันมีค่าอิมพีแดนซ์ที่มีความหลากหลายแตกต่างกันไปในแต่ละผู้ผลิต แต่ส่วนมากนั้นการออกแบบสายอากาศให้เหมาะสมกับชิปในรุ่นต่างๆนั้นจะต้องออกแบบให้สายอากาศมีค่าความต้านทานที่ค่อนข้างต่ำและมีค่ารีแอ็กแตนซ์ที่ค่อนข้างสูง ดังนั้นวัตถุประสงค์ของการออกแบบสายอากาศโครงสร้างดังกล่าวนี้คือ ต้องการให้สายอากาศสามารถปรับเปลี่ยนค่าอิมพีแดนซ์ของสายอากาศได้โดยใช้เทคนิคการเพิ่มเส้นปรสิติกเพื่อเป็นการปรับค่าความต้านทานของสายอากาศให้มีค่าที่ลดต่ำลง แต่ยังคงให้ค่ารีแอ็กแตนซ์ที่มีความเหมาะสมที่นำมาใช้ในการออกแบบสายอากาศรวมกับชิปวงจรรวมให้มีค่าอิมพีแดนซ์ที่เหมาะสมกับการนำไปใช้กับชิปรุ่น NXP G2XL ที่มีค่าอิมพีแดนซ์ 21.3-j191.7 โอห์ม ที่ความถี่ 922.5 MHz โดยการเลือกใช้ชิปวงจรรวมรุ่น NXP G2XL เนื่องจากโครงสร้างของชิปวงจรรวมมีความเหมาะสมกับการนำมาสร้างสายอากาศแท่งบนแผ่นวงจรพิมพ์

### 3.2.1 โครงสร้างของสายอากาศชนิดไดโพลกับเส้นปรีลิต

โครงสร้างของสายอากาศไดโพลกับเส้นปรีลิตจะประกอบไปด้วยสายอากาศสตริปไดโพลที่มีความยาว  $l_d$  และประกอบไปด้วยเส้นปรีลิตจำนวน 3 เส้น ที่มีความยาวเท่ากับสายอากาศไดโพลเพื่อให้แบบรูปการแพร่กระจายคลื่นมีแบบรูปการแพร่กระจายคลื่นเป็นแบบรอบทิศทาง โดยเส้นปรีลิตดังกล่าวจะทำหน้าที่ในการปรับค่าอิมพีแดนซ์ของสายอากาศให้มีความเหมาะสมกับค่าอิมพีแดนซ์ของชิป โดยสายอากาศแท่งจะถูกสร้างบนวัสดุฐานรองชนิด FR-4 ที่มีความหนา ความกว้าง  $w_d$  และความยาว  $l_d$  ดังแสดงในรูปที่ 3.1

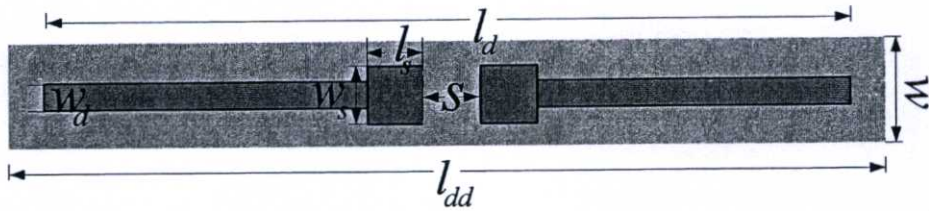


รูปที่ 3.1 สายอากาศแท่งชนิดไดโพลกับเส้นปรีลิต

### 3.2.2 การออกแบบสายอากาศ

สำหรับขั้นตอนในการออกแบบสายอากาศแท่งในขั้นต้นนั้นจะเริ่มจากสายอากาศสตริปไดโพลเนื่องจากโครงสร้างดังกล่าวมีโครงสร้างที่ง่ายต่อการออกแบบในขั้นต้น โดยโครงสร้างของสายอากาศจะเริ่มต้นพิจารณาจากโครงสร้างของสายอากาศไดโพลยาวครึ่งความยาวคลื่น  $\lambda_0 / 2$  โดยสายอากาศถูกสร้างบนวัสดุฐานรองชนิด FR-4 ( $\epsilon_r = 4.3$ ,  $\tan \delta = 0.025$ , หนา = 0.764 มิลลิเมตร) โดยสาเหตุของการนำเอาวัสดุฐานรองชนิดดังกล่าวมาใช้ในการออกแบบนั้นคือ วัสดุดังกล่าวมีราคาที่ไม่แพงและสามารถหาได้ง่ายตามท้องตลาด ทำให้ราคาของแท่งมีราคาต่อหน่วยที่ไม่แพงมากนัก โดยโครงสร้างพื้นฐานที่ถูกกำหนดในเบื้องต้นนั้นก็คือ โครงสร้างบริเวณที่จะทำการติดชิปวงจรรวม โครงสร้างที่ถูกกำหนดในเบื้องต้นคือ ช่องว่างระหว่างแผ่นที่ทำหน้าที่ในการแพร่กระจายคลื่น ( $s_p$ ) โดยจะกำหนดให้มีระยะห่างเท่ากับ 2 มิลลิเมตร ความกว้างและยาวของบริเวณฐานรองชิป ( $l_s$ ) เท่ากับ 3 มิลลิเมตร และค่าความกว้างของฐานรองชิป ( $w_s$ ) เท่ากับ 4

มิลลิเมตร ตามลำดับ โครงสร้างที่ถูกต้องกำหนดดังกล่าวนั้นจะถูกกำหนดให้มีความเหมาะสมกับ โครงสร้างของชิปวงจรรวม



รูปที่ 3.2 โครงสร้างสายอากาศสตริปไดโพลเริ่มต้น

### 3.3 การคำนวณค่าความยาวของสายอากาศเบื้องต้น

กำหนดค่าความถี่ที่ใช้งานในระบบระบุลักษณะทางคลื่นวิทยุย่านความถี่สูงซึ่งมีค่าอยู่ระหว่าง 920-925 MHz โดยมีค่าความถี่กลางที่เท่ากับ 922.5 MHz เมื่อทำการพิจารณาจากสายอากาศไดโพลครึ่งความยาวคลื่น  $\lambda_0 / 2$

$\lambda_0$  คือ ค่าความยาวคลื่นในสุญญากาศ และ  $v$  คือ ความเร็วแสงในสุญญากาศ  
เมื่อ  $f = 922.5 \text{ MHz}$ ,  $v = 3 \times 10^8 \text{ m/s}$

ดังนั้น

$$\lambda_0 = \frac{v}{f} = \left( \frac{3 \times 10^8}{922.5 \times 10^6} \right) = 0.325 \text{ m}$$

หรือ

$$\lambda_0 = 32.5 \text{ cm}$$

เมื่อนำสายอากาศไดโพลมาวางบนวัสดุฐานรองที่มีค่า  $\epsilon_r = 4.3$

กำหนดให้  $\lambda_d$  คือ ค่าความยาวคลื่นบนไมโครสตริป

$$\lambda_d = \frac{\lambda_0}{\sqrt{\epsilon_r}} = \left( \frac{0.325}{\sqrt{4.3}} \right) = 0.157 \text{ m}$$

หรือ

$$\lambda_d = 15.7 \text{ cm}$$

ดังนั้น สายอากาศสตริปไดโพล  $\lambda_d / 2$  จะมีความยาวเท่ากับ

$$\frac{\lambda_d}{2} = \frac{0.157}{2} = 0.079 \text{ m}$$

ตารางที่ 3.1 พารามิเตอร์ของสายอากาศสตริปไดโพลเริ่มต้น

พารามิเตอร์	ขนาดทางกายภาพ (มิลลิเมตร)
$w$	8
$w_s$	4
$w_d$	1
$l_d$	7.9
$l_s$	3
$l_{dd}$	11.9
$s_d$	2
$h$	0.017

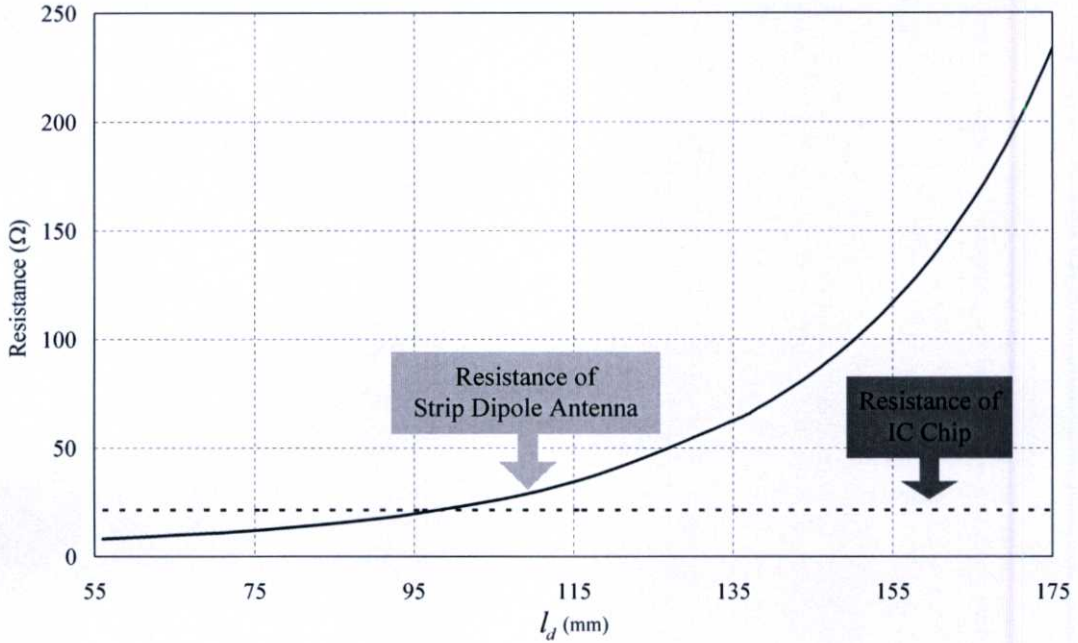
สายอากาศไดโพลถูกนำมาจำลองในเบื้องต้นเนื่องจากรูปแบบที่มีความเหมาะสมกับการนำมาเป็นสายอากาศในระบบระบุลักษณะทางคลื่นวิทยุซึ่งสายอากาศจะอยู่บนหน้าเดียวกันบนวัสดุฐานรองทำให้เป็นโครงสร้างที่มีความเหมาะสมการคิดชิปวงจรรวม โดยค่าอิมพีแดนซ์ของชิปวงจรรวมซึ่งมีค่าอิมพีแดนซ์ที่ความถี่ 922.5 MHz มีค่า  $21.3-j191.7$  โอห์ม ซึ่งโดยปกติของสายอากาศไดโพลที่มีความยาวครึ่งความยาวคลื่นจะมีค่าประมาณ  $73+j42.5$  โอห์ม และเนื่องจากโครงสร้างที่ถูกจำกัดในเรื่องของการต้องกำหนดโครงสร้างของสายอากาศในเบื้องต้นให้เหมาะสมกับการคิดชิปวงจรรวมดังที่ได้กล่าวมาแล้ว จึงทำให้ต้องมีการศึกษาถึงความยาวเริ่มต้นที่มีความเหมาะสม โดยการเปลี่ยนแปลงค่าความยาว  $l_d$  โดยผ่านการจำลองโดยโปรแกรม CST @ Microwave Studio แล้วทำการหาค่าความยาวเริ่มต้นที่มีความเหมาะสมที่สุด

### 3.4 การศึกษาค่าความยาวเริ่มต้น $l_d$ ของสายอากาศ

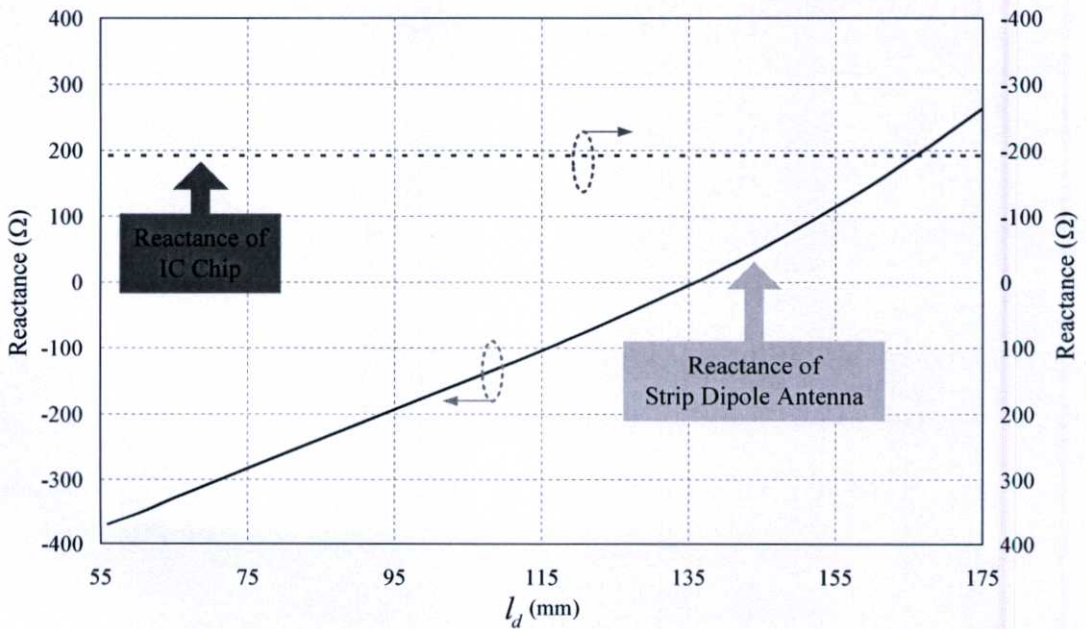
โครงสร้างของสายอากาศสตริปไดโพลเริ่มต้นดังแสดงในรูปที่ 3.2 เป็นการนำค่าพารามิเตอร์เริ่มต้นในตารางที่ 3.1 มาทำการจำลองสายอากาศแท่งเบื้องต้นด้วยโปรแกรม CST @ Microwave Studio แล้วทำการเปลี่ยนความยาวของสายอากาศ  $l_d$  เพื่อทำการหาค่าอิมพีแดนซ์ที่มีความเหมาะสมมากที่สุดจากโครงสร้างดังกล่าวจะได้ผลดังรูปที่ 3.3

จากรูปที่ 3.3 (ก) กราฟแสดงการเพิ่มขึ้นของค่าความต้านทานของสายอากาศสตริปไดโพล เมื่อทำการเพิ่มความยาว  $l_d$  ของสายอากาศ โดยพิจารณาที่ความถี่ 922.5 MHz ค่าความต้านทานจะแปรผันตรงกับค่าความยาว  $l_d$  ของสายอากาศที่เพิ่มขึ้น ในรูปที่ 3.3 (ข) เป็นกราฟแสดงค่ารีแอกแตนซ์ของสายอากาศเมื่อมีการเปลี่ยนความยาวของสายอากาศ  $l_d$  จากการพิจารณา

จะพบว่าเมื่อความยาวของสายอากาศไดโพลยาวเพิ่มขึ้น แนวโน้มของค่ารีแอ็กแตนซ์ก็จะมีแนวโน้มที่เพิ่มขึ้น โดยสรุปในเบื้องต้นได้ว่าเมื่อความยาว  $l_d$  ของสายอากาศเพิ่มขึ้นจะทำให้ค่าอิมพีแดนซ์ของสายอากาศเพิ่มขึ้น

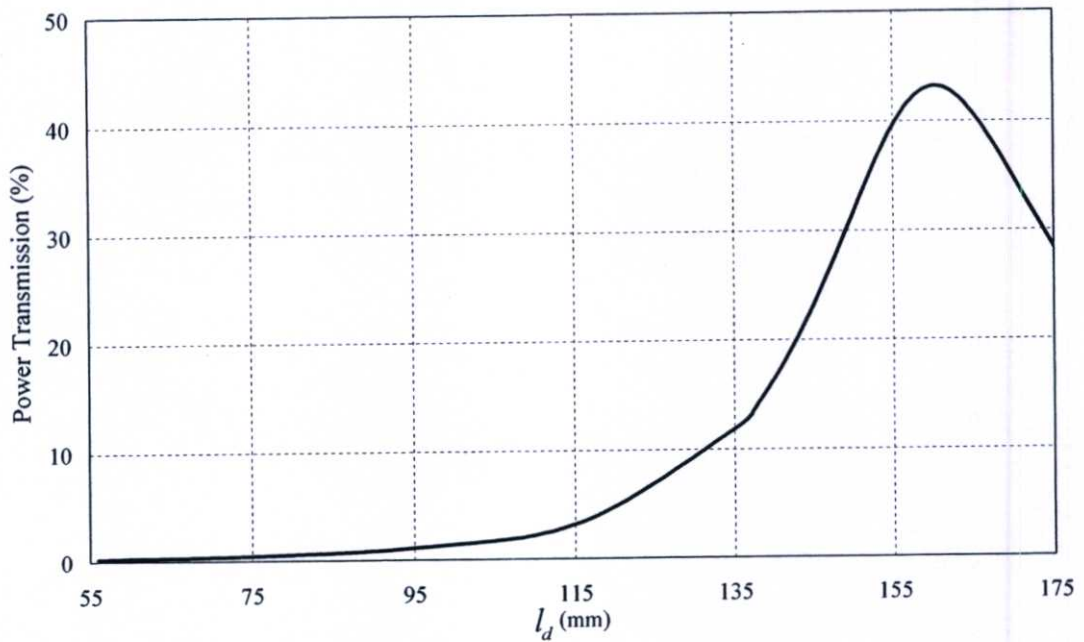


(ก) ค่าความต้านทาน



(ข) ค่ารีแอ็กแตนซ์

รูปที่ 3.3 ค่าอิมพีแดนซ์ของสายอากาศสตริปไดโพลเมื่อเปลี่ยนความยาว  $l_d$  ที่ความถี่กลาง 922.5 MHz



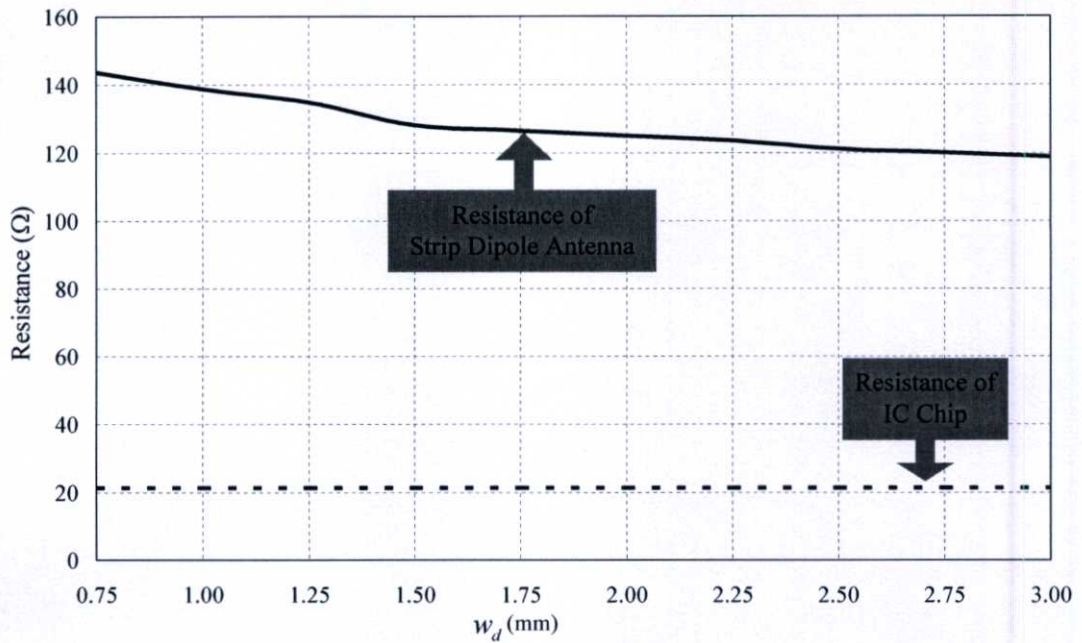
รูปที่ 3.4 ค่าเปอร์เซ็นต์การส่งผ่านกำลังงานของสายอากาศสตริปไดโพลเมื่อมีการเปลี่ยนความยาว  $L_d$  ที่ความถี่กลาง 922.5 MHz

จากกราฟในรูปที่ 3.3 แสดงการเปลี่ยนแปลงค่าอิมพีแดนซ์ของสายอากาศต่อความยาว  $L_d$  ของสายอากาศจะเห็นเพียงค่าแนวโน้มของการเปลี่ยนแปลงค่าอิมพีแดนซ์ต่อความยาวซึ่งยังไม่สามารถหาข้อสรุปในการเลือกพารามิเตอร์ความยาวได้อย่างถูกต้องเนื่องจากมีสองคุณลักษณะที่จะต้องทำการพิจารณานั้นคือ ค่าความต้านทานและค่ารีแอ็กแตนซ์ ในกราฟรูปที่ 3.4 จะเป็นกราฟที่ได้จากการคำนวณค่าเปอร์เซ็นต์การส่งผ่านกำลังงานของสายอากาศ เมื่อทำการเปลี่ยนแปลงความยาว  $L_d$  ของสายอากาศ โดยการคำนวณจะอ้างอิงจากสมการที่ (2.18) ในบทที่ 2 ผลจากกราฟจะแสดงให้เห็นว่าเมื่อความยาว  $L_d$  ของสายอากาศสตริปไดโพลเพิ่มขึ้น แนวโน้มในเบื้องต้นของค่าเปอร์เซ็นต์การส่งผ่านกำลังงานจะมีแนวโน้มที่เพิ่มขึ้น และมีค่าการส่งผ่านกำลังงานสูงสุดเมื่อ  $L_d$  มีค่าเท่ากับ 160 มิลลิเมตร หลังจากนั้นค่าเปอร์เซ็นต์การส่งผ่านกำลังงานจะลดต่ำลง ดังนั้นค่าความยาวที่ถูกคัดเลือกในเบื้องต้นนั้นคือ  $L_d$  เท่ากับ 160 มิลลิเมตร โดยค่าอิมพีแดนซ์ของสายอากาศสตริปไดโพลจะมีค่าเท่ากับ  $138.7 + j149.86$  โอห์ม และมีค่าเปอร์เซ็นต์การส่งผ่านกำลังงานเท่ากับ 43.2 %

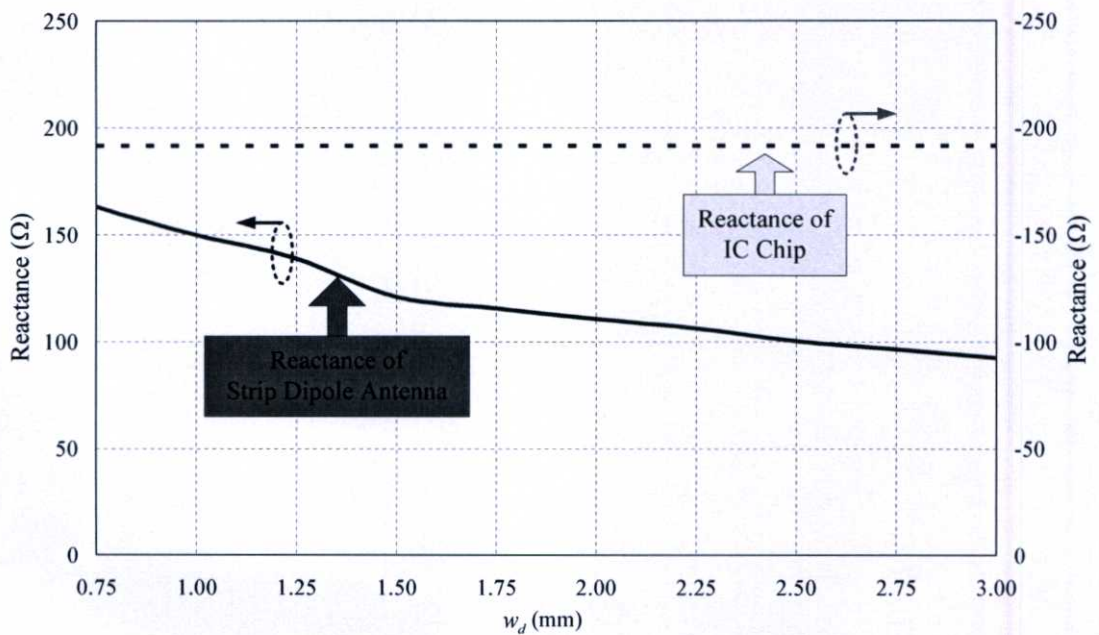
### 3.5 การศึกษาความกว้างเริ่มต้น $w_d$ ของสายอากาศ

ในส่วนต่อไปจะทำการทดสอบค่าความกว้าง  $w_d$  ของสตริปที่มีความเหมาะสม โดยพารามิเตอร์ของสายอากาศ  $L_d$  มีค่าเท่ากับ 160 มิลลิเมตร ส่วนค่าพารามิเตอร์ตัวอื่นๆยังคงไม่เปลี่ยนแปลง เพื่อหาค่าความกว้างของสายอากาศสตริปไดโพลที่มีความเหมาะสมกับค่าชิป

อิมพีแดนซ์ของวงจรรวม โดยในส่วนนี้จะทำการพิจารณาถึงความเป็นไปใช้ในการสร้างชิ้นงานจริงด้วย



(ก) ค่าความต้านทาน



(ข) ค่ารีแอ็กแตนซ์

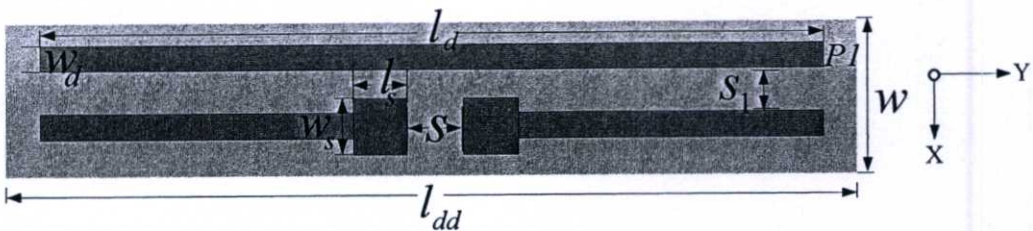
รูปที่ 3.5 ค่าอิมพีแดนซ์ของสายอากาศสตริปไดโพลเมื่อมีการเปลี่ยนความกว้าง  $w_d$  ที่ความถี่กลาง 922.5 MHz

จากผลการจำลองการเปลี่ยนแปลงความกว้างของของแถบลวดยาวพบว่า ความกว้างของ สตรีปนั้นีผลต่อค่าอิมพีแดนซ์ของสายอากาศ จากรูปที่ 3.5 จะพบว่าขนาดของเส้นสตรีปที่เล็กลง นั้นจะแปรผันโดยตรงกับทั้งค่าความต้านทานและค่ารีแอ็กแตนซ์ของสายอากาศ โดยจะพบว่ายิ่ง ความกว้างแถบลวดยาว  $w_d$  มีขนาดที่เล็กลงมากเท่าไร ก็จะทำให้มีค่ารีแอ็กแตนซ์สูงมากขึ้น แต่ เนื่องจากความเป็นไปได้ในการสร้างชิ้นงานและความสะดวกในการสร้างสายอากาศจึงทำการ เลือกค่าความกว้าง  $w_d$  ที่เท่ากับ 1 มิลลิเมตร โดยค่าอิมพีแดนซ์ของสายอากาศสตรีปไดโพลใน ขณะนี้ยังคงมีค่าเท่าเดิมคือ  $138.7+j149.86$  โอห์ม

### 3.6 การศึกษาถึงการปรับค่าอิมพีแดนซ์โดยใช้เส้นปรสิต

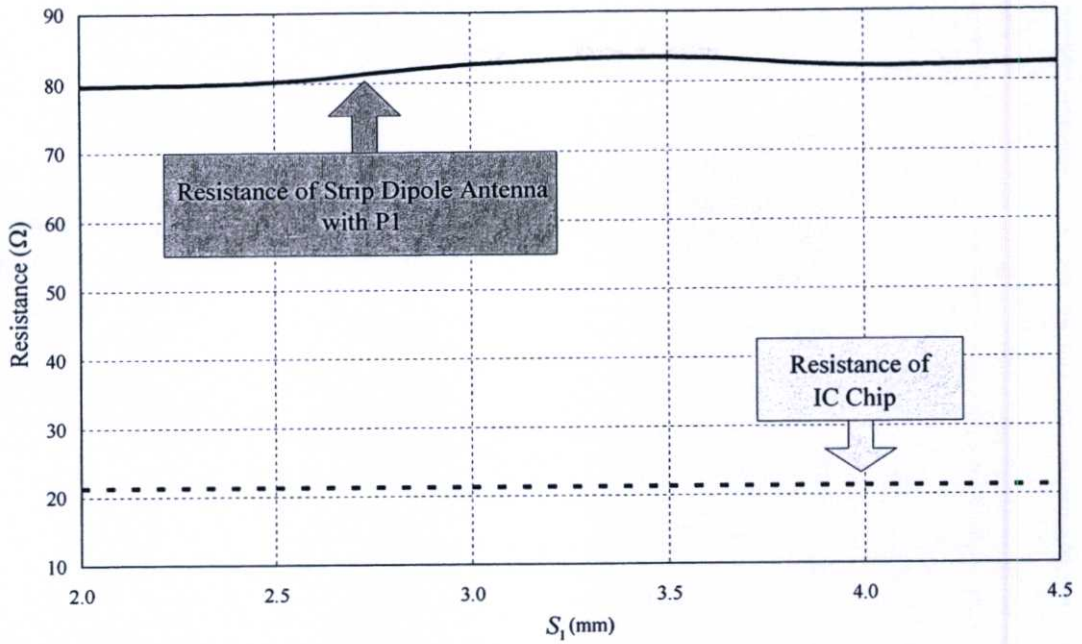
หากเราพิจารณาค่าอิมพีแดนซ์ของสายอากาศที่สามารถส่งถ่ายกำลังงานให้แก่ชิปวงจรรวมได้ 100 % นั้นจะพบว่าค่าความต้านทานของสายอากาศดังกล่าวนี้มีค่าค่อนข้างต่ำ โดยมีค่า 21.3 โอห์ม ส่วนค่ารีแอ็กแตนซ์นั้นจะมีค่า  $j191.7$  โอห์ม ซึ่งจากโครงสร้างของสายอากาศสตรีป ไดโพลเบื้องต้นนั้น มีแนวโน้มของค่ารีแอ็กแตนซ์ที่ค่อนข้างสูงที่เหมาะสมกับชิปวงจรรวมรุ่น NXP G2XL แต่ทว่าค่าความต้านทานก็ยังคงมีค่าที่สูงเช่นกัน ดังนั้นในส่วนต่อไปจึงนำเอา โครงสร้างของเส้นปรสิตมาช่วยในการปรับค่าอิมพีแดนซ์ของสายอากาศ โดยโครงสร้างดังกล่าว อ้างอิงจากบทความ [12]

#### 3.6.1 การเพิ่มเส้นปรสิตเส้นที่ 1 และศึกษาผลของพารามิเตอร์ $S_1$

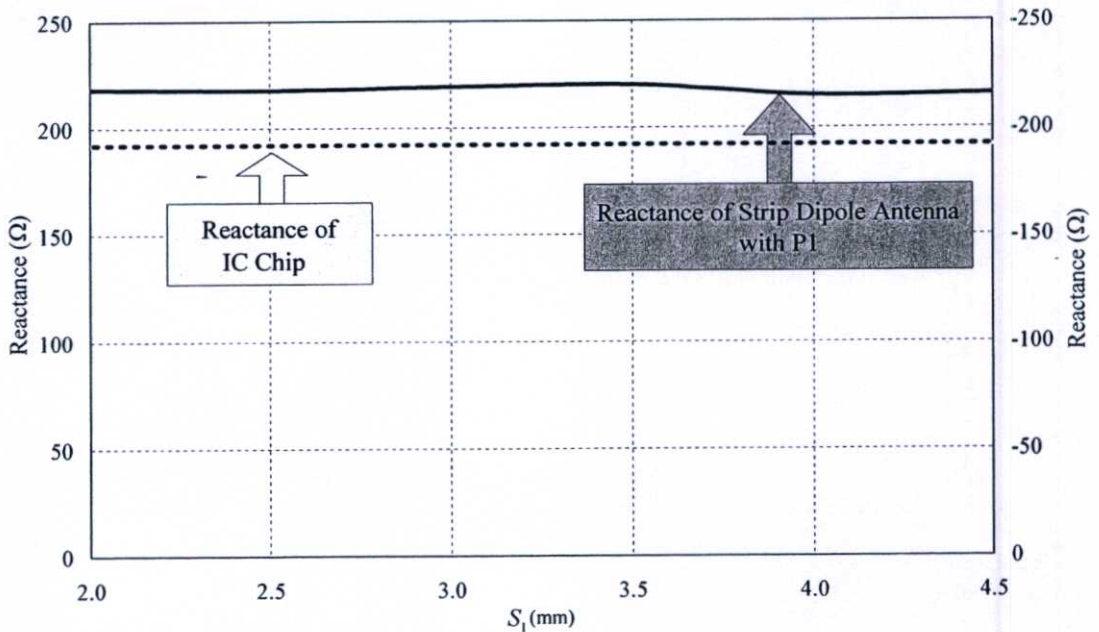


รูปที่ 3.6 สายอากาศสตรีปไดโพลกับเส้นปรสิตที่ 1

ในรูปที่ 3.6 แสดงโครงสร้างของสายอากาศสตรีปไดโพลกับเส้นปรสิตที่ 1 โดย โครงสร้างเริ่มต้นของเส้นปรสิตที่ 1 (P1) จะกำหนดให้มีความยาวเท่ากับสายอากาศสตรีปไดโพล ตั้งต้นโดยกำหนดให้มีความยาว  $l_d$  เท่ากับ 160 มิลลิเมตร ส่วนระยะห่างระหว่างสตรีปไดโพลกับ เส้นปรสิตที่ 1  $S_1$  จะทำการเปลี่ยนแปลงค่าเพื่อทำการหาค่าอิมพีแดนซ์ของสายอากาศแท้ก็ให้มี ความเหมาะสมกับอิมพีแดนซ์ของชิปวงจรรวม โดยทำการพิจารณาถึง โครงสร้างที่จะสามารถ นำไปสร้างจริงได้ด้วย



(ก) ค่าความต้านทาน

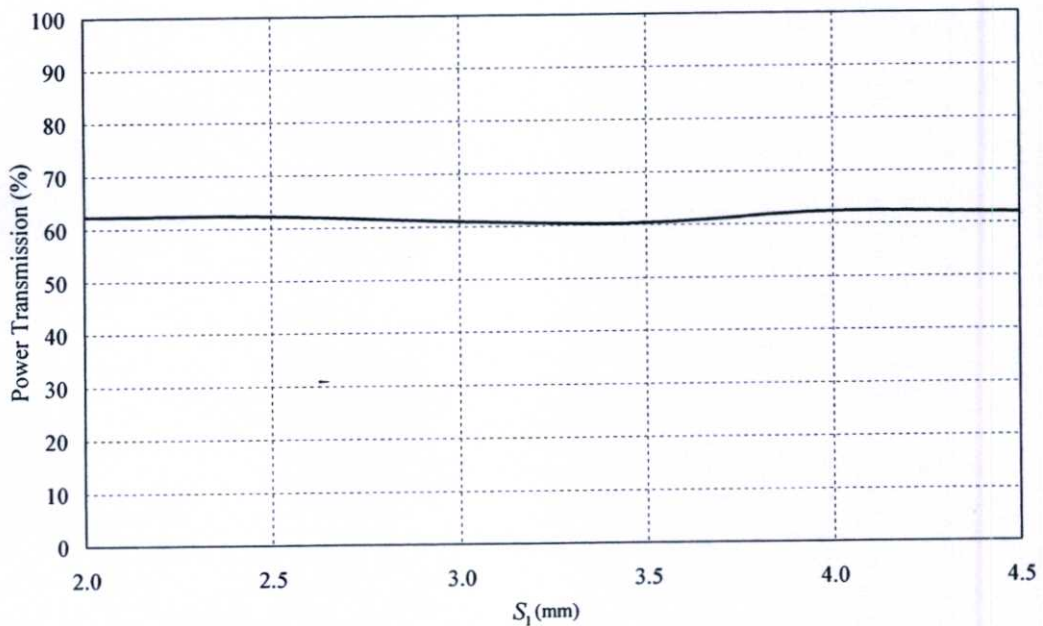


(ข) ค่ารีแอ็กแตนซ์

รูปที่ 3.7 ค่าอิมพีแดนซ์ของสายอากาศสตริปไดโพลกับเส้นปรีสตีทที่ 1 เมื่อความกว้างระยะ  $S_1$  มีการเปลี่ยนแปลงที่ความถี่กลาง 922.5 MHz

ในรูปที่ 3.7 แสดงค่าอิมพีแดนซ์ของสายอากาศไดโพลกับเส้นปรีสตีทที่ 1 จากการเปลี่ยนแปลงระยะ  $S_1$  รูปที่ 3.7 (ก) แสดงค่าความต้านทานของสายอากาศสตริปไดโพลกับเส้นปรีสตีทที่ 1 จากกราฟแสดงค่าความต้านทานที่มีการเปลี่ยนแปลงจากการเปลี่ยนแปลงระยะ  $S_1$  จะพบว่า

ค่าความต้านทานของสายอากาศนั้นลดลงอย่างมากจากตอนต้นประมาณ 57% จากค่าความต้านทานเดิมของสายอากาศสตริปไดโพลที่ปราศจากเส้นปรีสติดที่ 1 จากการพิจารณาระยะ  $S_1$  ในช่วงระยะ 2.0-4.5 มิลลิเมตร จะพบว่าค่าความต้านทานจะมีค่าที่เพิ่มขึ้นจนมีค่าสูงสุดเมื่อระยะ  $S_1$  มีระยะที่ห่างขึ้นและจะมีค่าสูงสุดเมื่อระยะ  $S_1$  มีค่าเท่ากับ 3.5 มิลลิเมตร หลังจากนั้นเมื่อเพิ่มระยะห่าง  $S_1$  มากขึ้นค่ารีแอ็กแตนซ์ก็จะมีค่าลดลง ในส่วนของรูปที่ 3.7 (ข) เป็นกราฟแสดงการเปลี่ยนแปลงของค่ารีแอ็กแตนซ์ จะพบว่าค่ารีแอ็กแตนซ์ของสายอากาศนั้นมีการเปลี่ยนแปลงที่ค่อนข้างคงที่เมื่อมีการเปลี่ยนระยะ  $S_1$  และมีค่าเพิ่มขึ้นมากกว่าสายอากาศสตริปไดโพลในตอนแรกที่ยังไม่มีการใส่เส้นปรีสติดที่ 1 เพื่อทำการปรับค่าอิมพีแดนซ์ ค่ารีแอ็กแตนซ์ในตอนนี้จะมีค่าโดยเฉลี่ยจะมีค่าประมาณ  $j217$  โอห์ม



รูปที่ 3.8 ค่าเปอร์เซ็นต์การส่งผ่านกำลังงานของสายอากาศสตริปไดโพลกับเส้นปรีสติดที่ 1 เมื่อความกว้างระยะ  $S_1$  มีการเปลี่ยนแปลงที่ความถี่กลาง 922.5 MHz

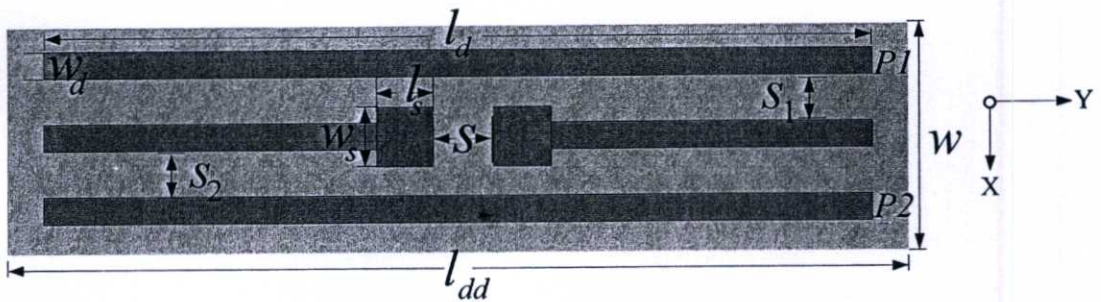
รูปที่ 3.8 แสดงค่าเปอร์เซ็นต์การส่งผ่านกำลังงานของสายอากาศเมื่อมีการเปลี่ยนแปลงระยะ  $S_1$  จากการเปลี่ยนระยะดังกล่าวจะพบว่าค่าการส่งผ่านกำลังงานค่อนข้างมีค่าคงที่ อันเนื่องมาจากมีการเปลี่ยนแปลงค่าอิมพีแดนซ์ที่ไม่มากนัก โดยจะพบว่าที่ระยะ  $S_1$  ที่มีค่าอยู่ระหว่าง 2.0-2.5 มิลลิเมตร จะมีค่าการส่งผ่านกำลังงานที่สูงใกล้เคียงกับ ระยะ  $S_1$  ที่มีค่าอยู่ระหว่าง 3.7-4.5 มิลลิเมตร ดังนั้นพารามิเตอร์  $S_1$  จึงถูกเลือกค่าที่ 2.5 มิลลิเมตร เพื่อให้โครงสร้างไม่มีขนาดที่ใหญ่จากการเลือกระยะห่าง  $S_1$  ที่มากขึ้น ส่วนที่ระยะน้อยกว่า 2.5 มิลลิเมตร ไม่ถูกเลือกเนื่องจากเมื่อระยะ  $S_1$  มีค่าที่ใกล้มากกับสายอากาศสตริปไดโพลอาจจะทำให้เกิดปัญหาจากการสร้างสายอากาศจริงได้ โดยสรุปค่าอิมพีแดนซ์ของสายอากาศในส่วนนี้จะได้ว่า

ค่าเปอร์เซ็นต์การส่งผ่านกำลังงานจะมีค่าเท่ากับ 62.2 % โดยสายอากาศมีค่าอิมพีแดนซ์เท่ากับ  $80+j217.7$  โอห์ม

จากการสรุปในขั้นต้นจากการเปลี่ยนพารามิเตอร์  $l_d$  และการเพิ่มเส้นประสิทธิ์ที่ 1 แล้วทำการปรับระยะ  $S_1$  จะพบว่า การเปลี่ยนความยาวของสายอากาศจะส่งผลต่อค่าความต้านทานของสายอากาศมากกว่าค่ารีแอ็กแตนซ์ส่วนการใช้ เส้นประสิทธิ์มาใช้ในการปรับค่าอิมพีแดนซ์ จะส่งผลต่อค่าความต้านทานมากกว่าค่ารีแอ็กแตนซ์โดยเมื่อทำการเพิ่มเส้นประสิทธิ์เข้าไปในโครงจะเห็นได้อย่างชัดเจนว่าค่าความต้านทานมีค่าลดลงอย่างมาก

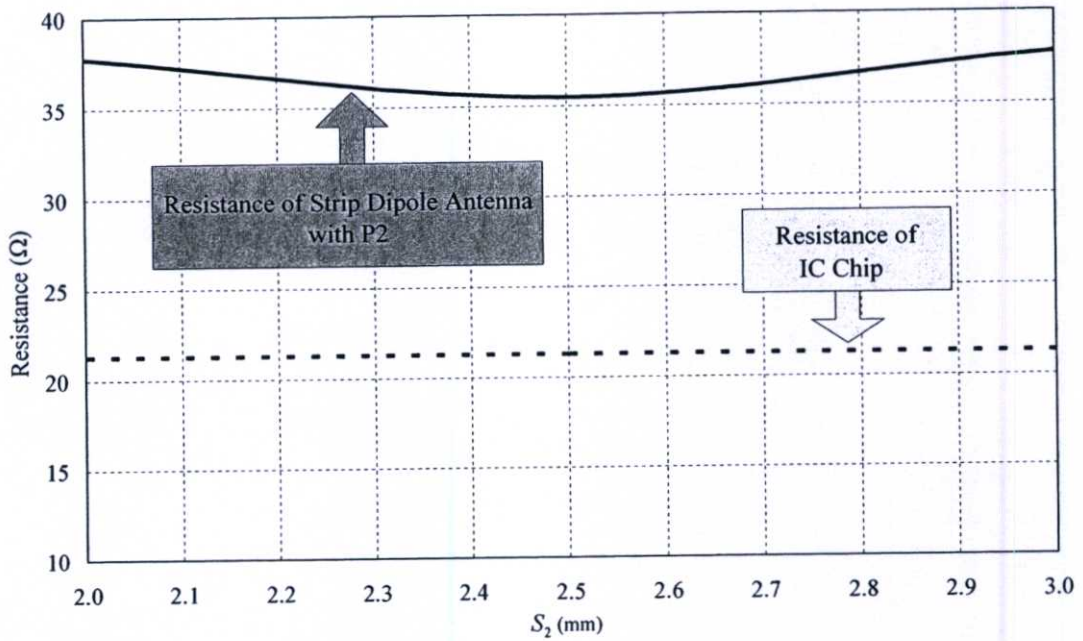
### 3.6.2 การเพิ่มเส้นประสิทธิ์เส้นที่ 2 และศึกษาผลของพารามิเตอร์ $S_2$

ดังนั้นในส่วนต่อไปจึงทำการเพิ่มเส้นประสิทธิ์เส้นที่ 2 (P2) เพื่อทำการปรับค่าความต้านทานให้ มีค่าลดลง โดยโครงสร้างของสายอากาศจะมีโครงสร้างดังรูปที่ 3.9 โดยระยะ  $S_2$  จะทำการเปลี่ยนแปลงค่าเพื่อหาค่าที่เหมาะสมที่สุด

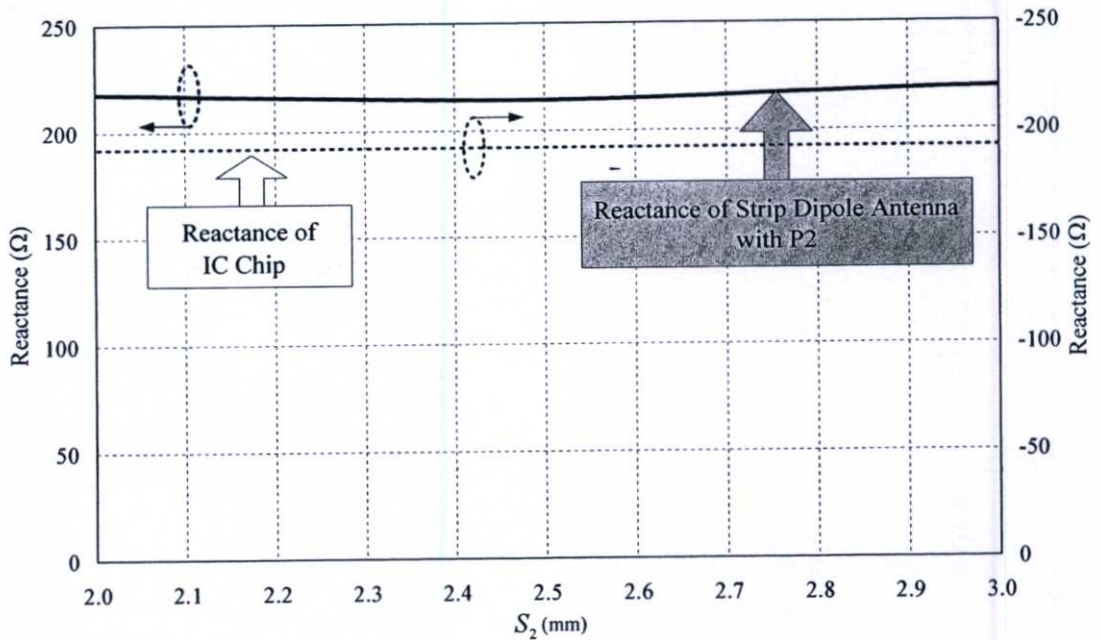


รูปที่ 3.9 สายอากาศสตริปไดโพลกับเส้นประสิทธิ์ที่ 2

การจำลองโดยการใส่ประสิทธิ์เส้นที่ 2 เพิ่มเข้าไปแล้วทำการการเปลี่ยนแปลงระยะ  $S_2$  จากรูปที่ 3.10 (ก) แสดงให้เห็นผลของการเปลี่ยนแปลงค่าความต้านทานกับระยะ  $S_2$  ที่เปลี่ยนจะพบว่าที่ระยะ  $S_2$  ลดลงต่ำที่สุดโดยมีค่าเท่ากับ 35.5 โอห์ม และเมื่อพิจารณาค่ารีแอ็กแตนซ์ของสายอากาศ ดังแสดงในรูปที่ 3.10 (ข) จะพบว่าที่ระยะ  $S_2$  จะให้ค่ารีแอ็กแตนซ์ที่ใกล้เคียงกับค่าสังยุคของชิปวงจรรวมมากที่สุดโดยมีค่าเท่ากับ  $j214.2$  โอห์ม



(ก) ค่าความต้านทาน

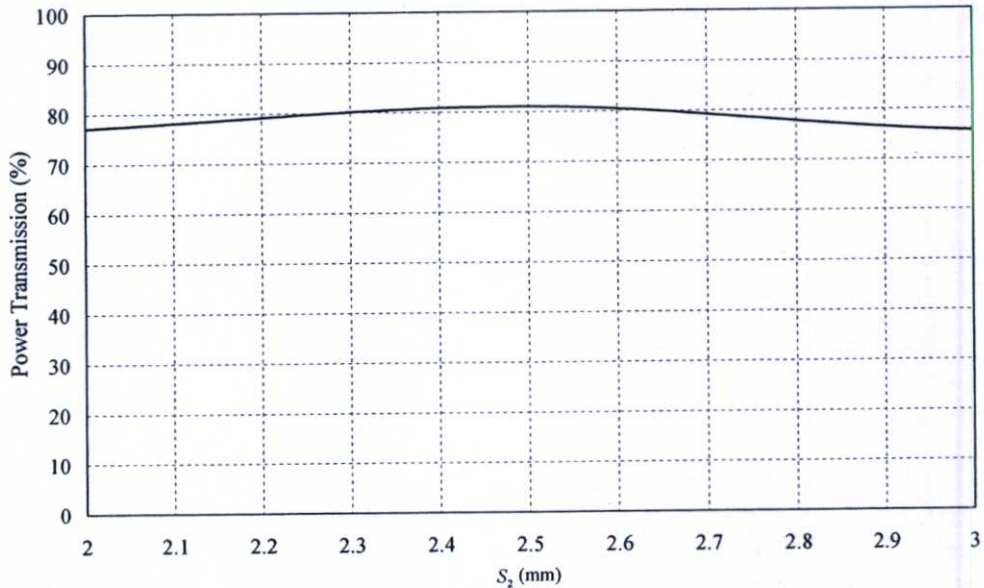


(ข) ค่ารีแอ็กแตนซ์

รูปที่ 3.10 ค่าอิมพีแดนซ์ของสายอากาศสตริปไดโพลกับเส้นปรีลิตที่ 2 เมื่อความกว้างระยะ  $S_2$  มีการเปลี่ยนแปลงที่ความถี่กลาง 922.5 MHz

จากกราฟที่ 3.10 นำมาคำนวณเพื่อให้เห็นความชัดเจนในการเลือกค่าพารามิเตอร์ที่ต้องการโดยผ่านทางกราฟค่าเปอร์เซ็นต์การส่งผ่านกำลังงานของสายอากาศมีการเปลี่ยนแปลงระยะ  $S_2$  ดังแสดงในรูปที่ 3.11 จะเห็นได้อย่างชัดเจนว่าที่ระยะ  $S_2$  มีค่าเท่ากับ 2.5 มิลลิเมตร

สายอากาศจะให้ค่าสัมประสิทธิ์การส่งผ่านกำลังงานสูงที่สุด โดยมีค่าเท่ากับ 81.1% ดังนั้นพารามิเตอร์  $S_2$  จึงถูกเลือกที่ 2.5 มิลลิเมตร



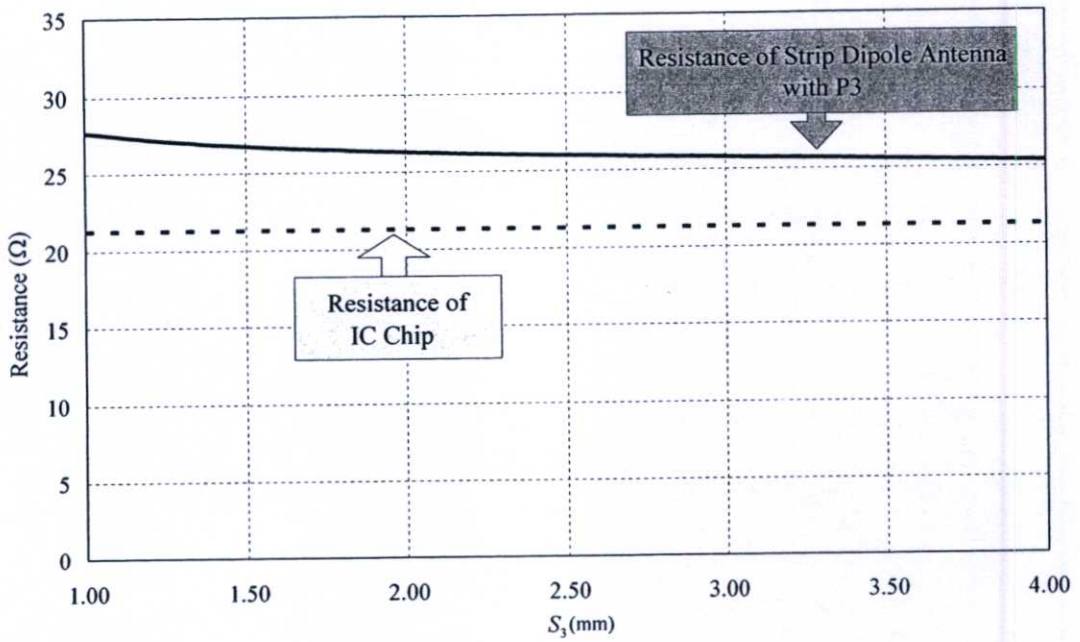
รูปที่ 3.11 ค่าเปอร์เซ็นต์การส่งผ่านกำลังงานของสายอากาศสตรีปโคโพลกับเส้นปรสิติที่ 2 เมื่อความกว้างระยะ  $S_2$  มีการเปลี่ยนแปลงที่ค่าความถี่กลาง 922.5 MHz

จากการเพิ่มเส้นปรสิติเส้นที่ 2 เข้าไปนั้นจะพบว่าจะสามารถทำให้ควบคุมค่าความต้านทานให้มีค่าที่ลดลงได้ซึ่งในตอนนี้สายอากาศมีค่าอิมพีแดนซ์เท่ากับ  $35.5 + j214.2$  โอห์ม และมีค่าเปอร์เซ็นต์การส่งผ่านกำลังงานเท่ากับ 81.1% ดังนั้นจะเห็นได้ว่าพารามิเตอร์  $L_d$  จะใช้ในการปรับค่ารีแอ็กแตนซ์และพารามิเตอร์  $S_2$  จะใช้ในการปรับค่าความต้านทานของสายอากาศ

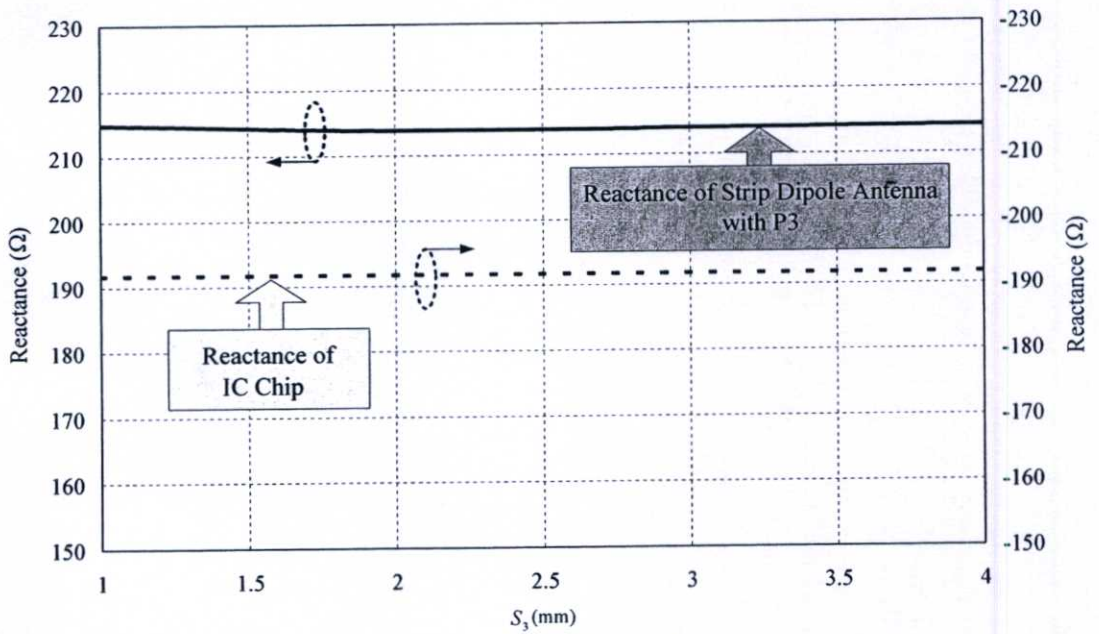
### 3.6.3 การเพิ่มเส้นปรสิติเส้นที่ 3 และศึกษาผลของพารามิเตอร์ $S_3$

เนื่องจากจะเห็นได้ว่าการเพิ่มเส้นปรสิติเข้าไปในโครงสร้างของสายอากาศจะทำให้สามารถควบคุมค่าความต้านทานของสายอากาศได้เป็นอย่างดี ดังนั้นในส่วนต่อมาจะทำการเพิ่มเส้นปรสิติเส้นที่ 3 (P3) เข้าไปเพื่อปรับค่าความต้านทานของสายอากาศแท้ก็ให้มีค่าที่เข้าใกล้กับค่าความต้านทานของชิปวงจรรวมให้มากที่สุด

จากรูปที่ 3.12 แสดงค่าอิมพีแดนซ์ของสายอากาศจะพบว่า การเพิ่มเส้นปรสิติเส้นที่ 3 ทำให้สามารถลดค่าความต้านทานของสายอากาศลงได้โดยเฉลี่ยประมาณ 9 โอห์ม และส่งผลกระทบต่อที่ไม่น่ามากนักกับค่ารีแอ็กแตนซ์ของสายอากาศจากการเพิ่มเส้นปรสิติเส้นที่ 3 เข้าไปในโครงสร้าง โดยจากผลที่ได้จากการจำลองในส่วนนี้จะพบว่า การเพิ่มเส้นปรสิตินั้นจะทำให้สามารถควบคุมค่ารีแอ็กแตนซ์ได้ แต่ว่าการเพิ่มของเส้นปรสิตินั้นจะส่งผลน้อยลงเมื่อมีการเพิ่มจำนวนเส้นเข้าไป

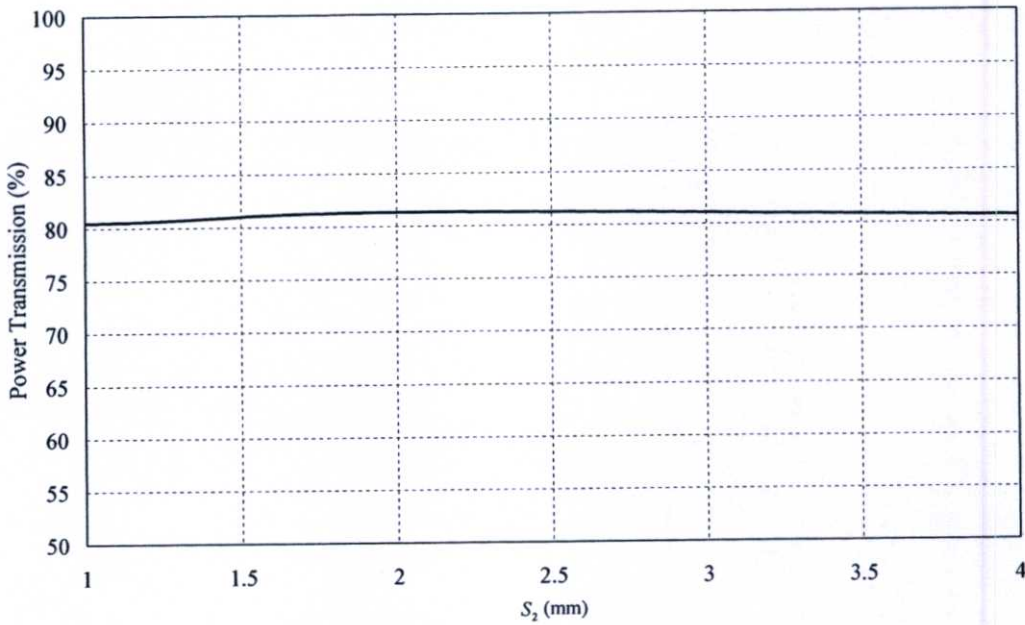


(ก) ค่าความต้านทาน



(ข) ค่ารีแอ็กแตนซ์

รูปที่ 3.12 ค่าอิมพีแดนซ์ของสายอากาศสตริปไดโพลกับเส้นปรีสิดที่ 3 เมื่อความกว้างระยะ  $S_3$  มีการเปลี่ยนแปลงที่ความถี่กลาง 922.5 MHz

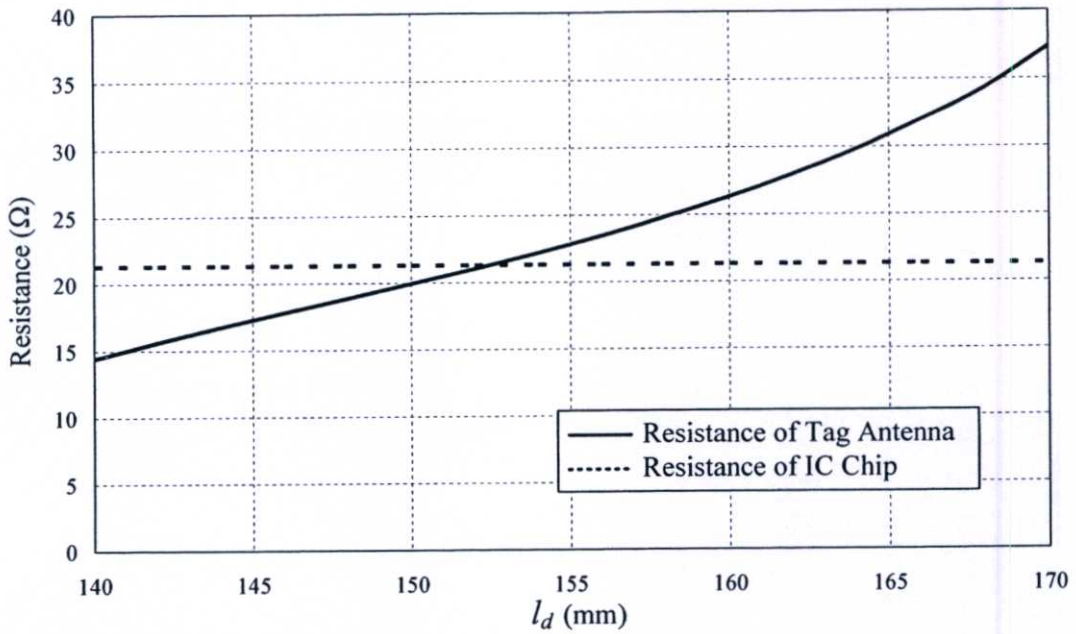


รูปที่ 3.13 ค่าเปอร์เซ็นต์การส่งผ่านกำลังงานของสายอากาศสตริปไดโพลกับเส้นปรกติที่ 3 เมื่อความกว้างระยะ  $S_3$  มีการเปลี่ยนแปลงที่ความถี่กลาง 922.5 MHz

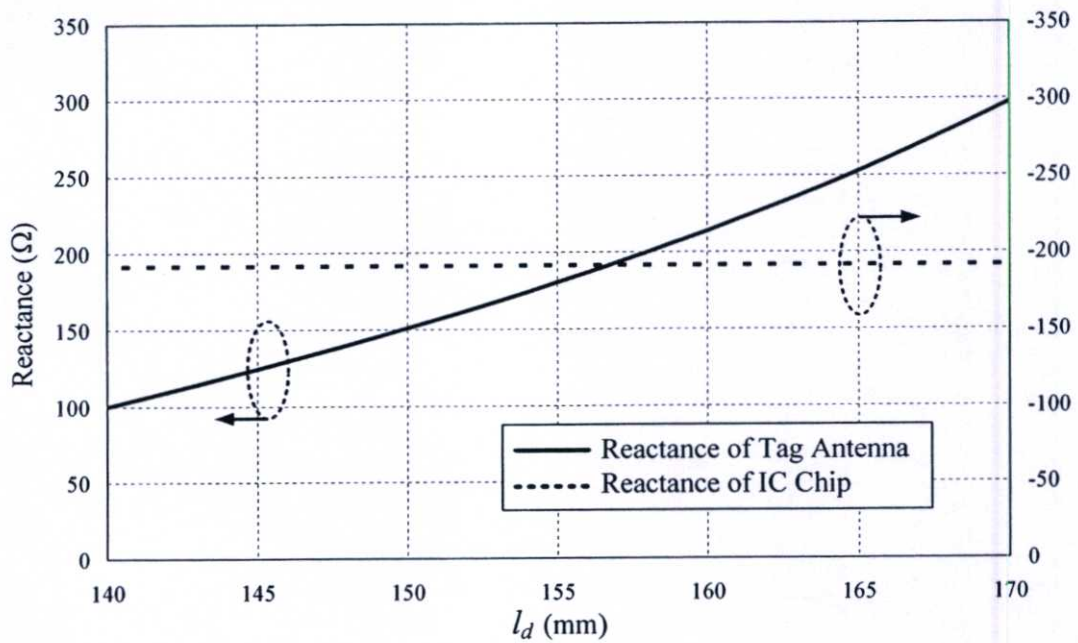
ในรูปที่ 3.13 แสดงค่าเปอร์เซ็นต์การส่งผ่านกำลังงานของสายอากาศสตริปไดโพลกับเส้นปรกติเส้นที่ 3 และมีการเปลี่ยนระยะ  $S_3$  จะพบว่า ค่าเปอร์เซ็นต์การส่งผ่านกำลังงานจะไม่มี การเปลี่ยนแปลงต่างจากผลในรูปที่ 3.11 มากนัก อันเนื่องมาจากการที่แนวโน้มของการ เปลี่ยนแปลงค่ารีแอกแตนซ์ที่มีมากนั้น ซึ่งโดยมากการเปลี่ยนแปลงจะเกิด ค่าความต้านทานซึ่งจะ ส่งผลเพียงเล็กน้อยต่อค่าค่าเปอร์เซ็นต์การส่งผ่านกำลังงานของสายอากาศ โดยเมื่อพิจารณาถึง ระยะ  $S_3$  ที่ให้ผลที่ดีที่สุดจะได้ระยะ  $S_3 = 2$  มิลลิเมตร

### 3.7 การปรับค่าอิมพีแดนซ์ของสายอากาศด้วยพารามิเตอร์ $l_d$

เมื่อได้ค่าอิมพีแดนซ์ที่ใกล้เคียงกับการแมตช์ส่งยุคของอิมพีแดนซ์ของชิปแล้วจากการ ใส่เส้นปรกติเพิ่ม ในขั้นตอนต่อไปจึงทำการปรับความยาวของสายอากาศ  $l_d$  อีกครั้งเพื่อปรับค่า รีแอกซ์แดนซ์ของสายอากาศในขั้นตอนสุดท้าย



(ก) ค่าความต้านทาน

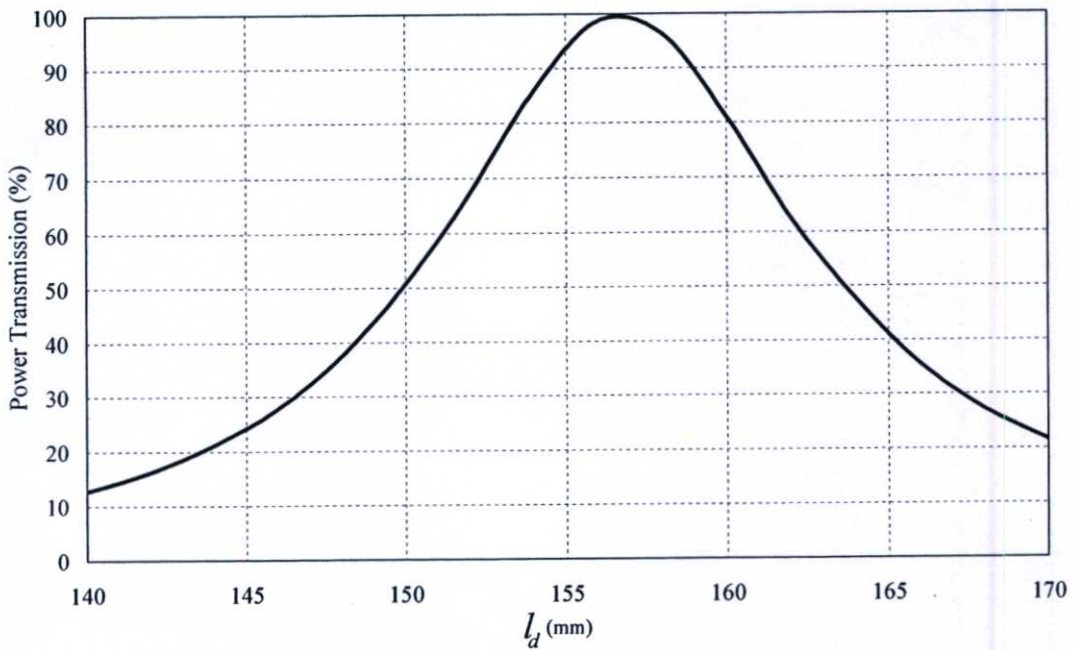


(ข) ค่ารีแอ็กแตนซ์

รูปที่ 3.14 ค่าอิมพีแดนซ์ของสายอากาศสตริปไดโพลกับเส้นปรีสิดเมื่อมีการเปลี่ยนความยาว  $l_d$  (ครั้งที่ 2) ที่ความถี่กลาง 922.5 MHz

จากรูปที่ 3.14 (ก) แสดงผลการจำลองค่าความต้านทานของสายอากาศเมื่อความยาว  $l_d$  มีการเปลี่ยนแปลง จะพบว่าเมื่อความยาวของสายอากาศยาวเพิ่มขึ้นค่าความต้านทานจะมีค่ามากขึ้น และจากรูปที่ 3.14 (ข) แสดงผลการจำลองค่ารีแอ็กแตนซ์ของสายอากาศ เมื่อสายอากาศ

เปลี่ยนแปลงไปจะพบว่า เมื่อความยาวของสายอากาศมีความยาวที่เพิ่มขึ้นค่ารีแอกแตนซ์ของสายอากาศก็จะสูงขึ้นตามไปด้วย โดยจากค่าอิมพีแดนซ์ของสายอากาศดังในกราฟที่ 3.14 จะทำให้สามารถเลือกความยาวของสายอากาศที่มีความเหมาะสมคือ  $l_d = 156$  มิลลิเมตร จะมีค่าอิมพีแดนซ์ของสายอากาศที่เท่ากับ  $23.43 + j186.7$  โอห์ม ซึ่งมีค่าใกล้เคียงกับค่าที่สังยุคแมตซ์กับชิปมากที่สุดซึ่งค่าเปอร์เซ็นต์การส่งผ่านกำลังงานของสายอากาศภายหลังจากการเปลี่ยนค่าความยาว  $l_d$  จะแสดงในรูปที่ 3.15 ซึ่งจากกราฟจะเห็นได้อย่างชัดเจนว่าที่ค่าความยาว  $l_d = 156$  มิลลิเมตรสายอากาศจะสามารถส่งผ่านพลังงานไปยังชิปวงจรรวมได้มากที่สุด โดยมีค่าเปอร์เซ็นต์การส่งผ่านกำลังงานเท่ากับ 98.56 % ที่ค่าความถี่กลาง 922.5 MHz โดยการผลของการเปลี่ยนแปลงพารามิเตอร์ที่ใช้ในการปรับค่าอิมพีแดนซ์ของสายอากาศใดโพลกับเส้นปรีดีทั้งหมดจะถูกแสดงในตารางที่ 3.2



รูปที่ 3.15 ค่าเปอร์เซ็นต์การส่งผ่านกำลังงานของสายอากาศสตริปไดโพลเมื่อมีการเปลี่ยนความยาว  $l_d$  (ครั้งที่ 2) ที่ความถี่กลาง 922.5 MHz

ตารางที่ 3.2 สรุปการเปลี่ยนแปลงพารามิเตอร์ของสายอากาศและคุณลักษณะเชิงอิมพีแดนซ์ที่มีความเหมาะสมที่ได้ทำการจำลอง

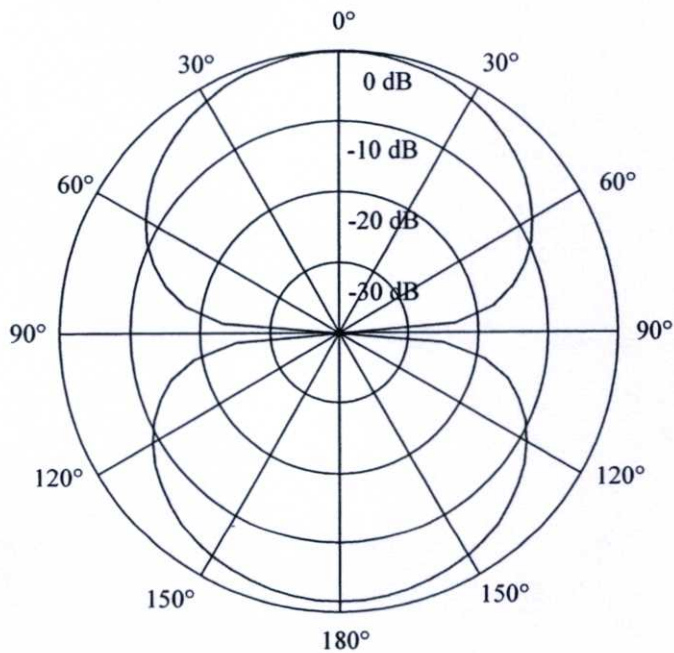
สายอากาศ	พารามิเตอร์	ขนาดทางกายภาพ (มิลลิเมตร)	อิมพีแดนซ์ (โอห์ม)		ค่าเปอร์เซ็นต์การส่งผ่านกำลังงาน
			ความต้านทาน	รีแอ็กแตนซ์	
สตรีปไดโพล	$L_d$	160	138.7	j149.86	43.2
ไดโพลกับเส้นประลิตที่ 1	$S_1$	2.5	80.2	j217.7	62.2
ไดโพลกับเส้นประลิตที่ 2	$S_2$	2.5	35.5	j214.2	81.1
ไดโพลกับเส้นประลิตที่ 3	$S_3$	2	26.29	j213.8	81.3
	$L_d$ (ครั้งที่ 2)	156	23.43	j186.7	98.56

จากตารางที่ 3.2 จะเห็นได้อย่างชัดเจนว่าการเพิ่มจำนวนของเส้นประลิตสามารถใช้ในการปรับค่าความต้านทานของสายอากาศได้ โดยการเพิ่มจำนวนเส้นประลิตแก่สายอากาศจะเป็นการลดค่าความต้านทานของสายอากาศ แต่แนวโน้มของผลกระทบดังกล่าวจะส่งผลที่น้อยลงเมื่อเพิ่มจำนวนไปมากขึ้นเรื่อยๆ โดยจากตารางจะพบว่า การเพิ่มเส้นประลิตเส้นสุดท้ายสามารถเพิ่มค่ากำลังงานการส่งผ่านได้เพียง 0.2 % แต่ยังสามารถลดค่าความต้านทานของสายอากาศได้ประมาณ 9.21 โอห์ม ส่วนจากการศึกษาถึงค่าความยาวของสายอากาศที่มีการเปลี่ยนแปลงจะพบว่าค่าความยาวของสายอากาศจะส่งผลกระทบต่ออย่างมากกับค่ารีแอ็กแตนซ์ของสายอากาศ ดังนั้นในส่วนสุดท้ายหลังจากที่ได้ค่าความต้านทานเป็นที่น่าพอใจแล้ว ระยะ  $L_d$  ของสายอากาศจะถูกปรับระยะอีกครั้งเพื่อให้สายอากาศสามารถส่งผ่านกำลังงานไปยังชิปได้สูงที่สุด ในตารางที่ 3.3 แสดงผลสรุปค่าพารามิเตอร์ของสายอากาศไดโพลกับเส้นประลิตที่เหมาะสมที่ได้ทำการจำลอง

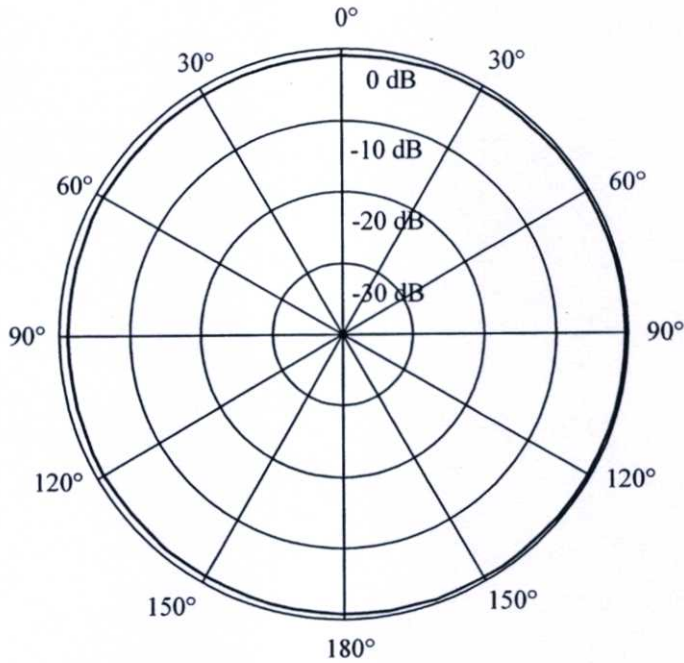
ตารางที่ 3.3 พารามิเตอร์ของสายอากาศที่เหมาะสมที่ได้ทำการจำลอง

พารามิเตอร์	ขนาดทางกายภาพ (มิลลิเมตร)
$w$	15
$w_s$	4
$w_d$	1
$l_d$	156
$l_s$	3
$l_{dd}$	160
$S$	2
$S_1$	25
$S_2$	2
$h$	0.017

### 3.8 แบบรูปการแพร่กระจายคลื่นของสายอากาศแท่งชนิดไดโพลกับเส้นปรสิติก



(ก) ระนาบสนามไฟฟ้า (E-plane) หรือระนาบ YZ (YZ-plane)



(ข) ระนาบสนามแม่เหล็กหรือระนาบ XZ (XZ-plane)

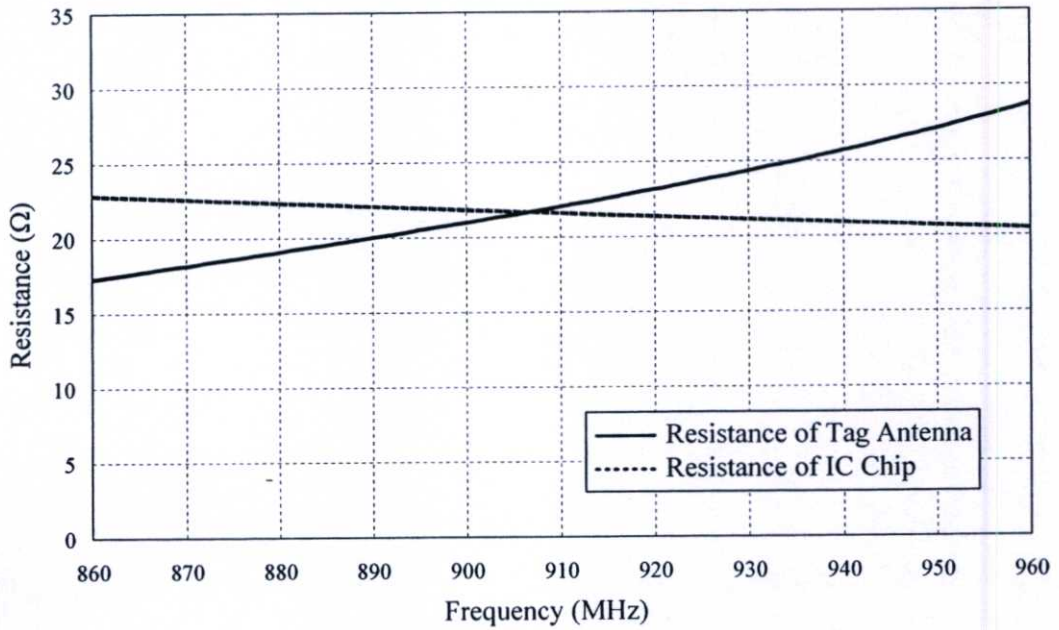
### รูปที่ 3.16 ผลการจำลองแบบรูปการแพร่กระจายคลื่นของสายอากาศแท่งชนิดโคโพลกับเส้นปรสิค

ในรูปที่ 3.16 แสดงผลการจำลองแบบรูปการแพร่กระจายคลื่นในระนาบสนามไฟฟ้า (E-plane) และระนาบสนามแม่เหล็ก (H-plane) ที่ความถี่กลาง 922.5 MHz โดยแบบรูปการแพร่กระจายคลื่นที่ได้จะเป็นแบบรูปการแพร่กระจายคลื่นแบบรอบตัว โดยเมื่อพิจารณาในระนาบสนามไฟฟ้าหรือระนาบ YZ (YZ-plane) จะพบว่ากำลังงานลดลงครึ่งหนึ่ง (Half-power beamwidth) จะมีค่าเท่ากับ 76.7 องศา ส่วนค่าความกว้างลำคลื่นในระนาบสนามแม่เหล็ก หรือระนาบ XZ (XZ-plane) จะเห็นได้ว่าแบบรูปการแพร่กระจายคลื่นจะสมมาตรในแนวแกน x

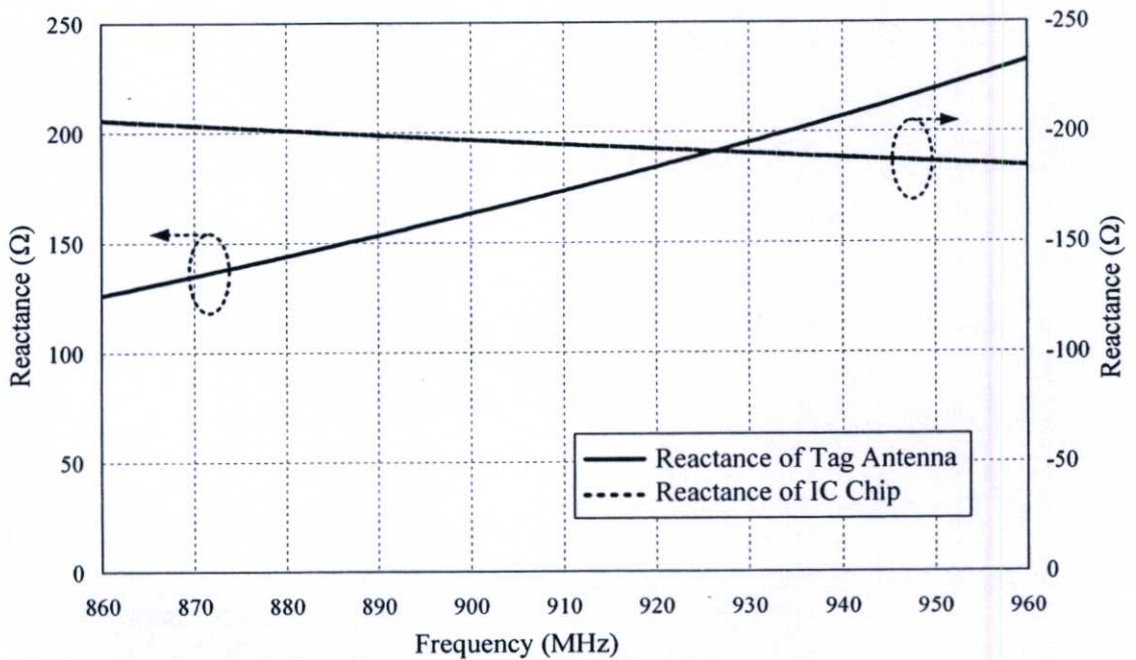
### 3.9 คุณลักษณะเชิงอิมพีแดนซ์ของสายอากาศแท่งชนิดโคโพลกับเส้นปรสิค

ในส่วนนี้จะเป็นการอธิบายถึงคุณลักษณะเชิงอิมพีแดนซ์ของสายอากาศเมื่อความถี่มีการเปลี่ยนแปลง ดังแสดงในรูปที่ 3.17 (ก) จากรูปจะพบว่าสายอากาศจะมีการเปลี่ยนแปลงค่าความต้านทานอยู่ระหว่าง 17.3 โอห์ม ถึง 28.7 โอห์ม ในย่านความถี่ระหว่าง 860-960 MHz ซึ่งจะเห็นได้ว่าค่าความต้านทานดังกล่าวมีค่าที่ใกล้เคียงกับค่าอิมพีแดนซ์ของชิปวงจรรวมซึ่งจะมีค่าอยู่ระหว่าง 22.9-20.5 โอห์ม ส่วนในรูปที่ 3.17 (ข) แสดงผลของค่ารีแอ็กแตนซ์เมื่อมีการเปลี่ยนแปลงค่าความถี่ โดยค่ารีแอ็กแตนซ์ของสายอากาศมีแนวโน้มที่สูงขึ้นไปตามค่าความถี่ที่

เพิ่มขึ้นโดยมีการเปลี่ยนแปลงอยู่ระหว่าง 232.3-125.9 โอห์ม เมื่อพิจารณาที่กลางความถี่ที่ใช้งานที่ 922.5 MHz สายอากาศจะมีค่าอิมพีแดนซ์เท่ากับ  $23.43+j186.7$  โอห์ม



(ก) ค่าความต้านทาน

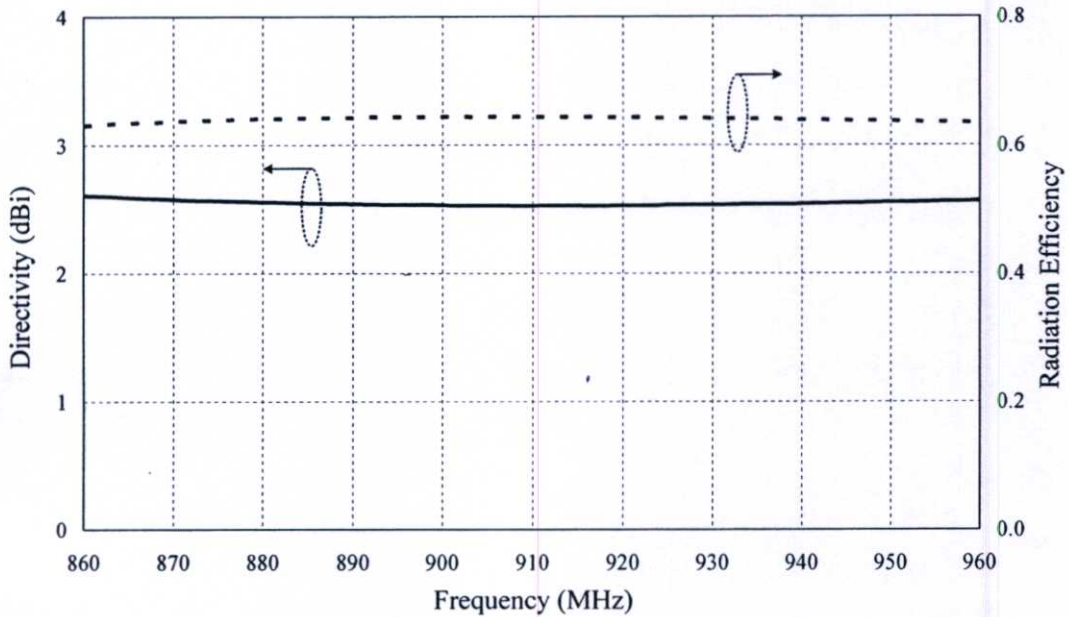


(ข) ค่ารีแอ็กแตนซ์

รูปที่ 3.17 ค่าอิมพีแดนซ์ของสายอากาศไดโพลกับเส้นปรสิต

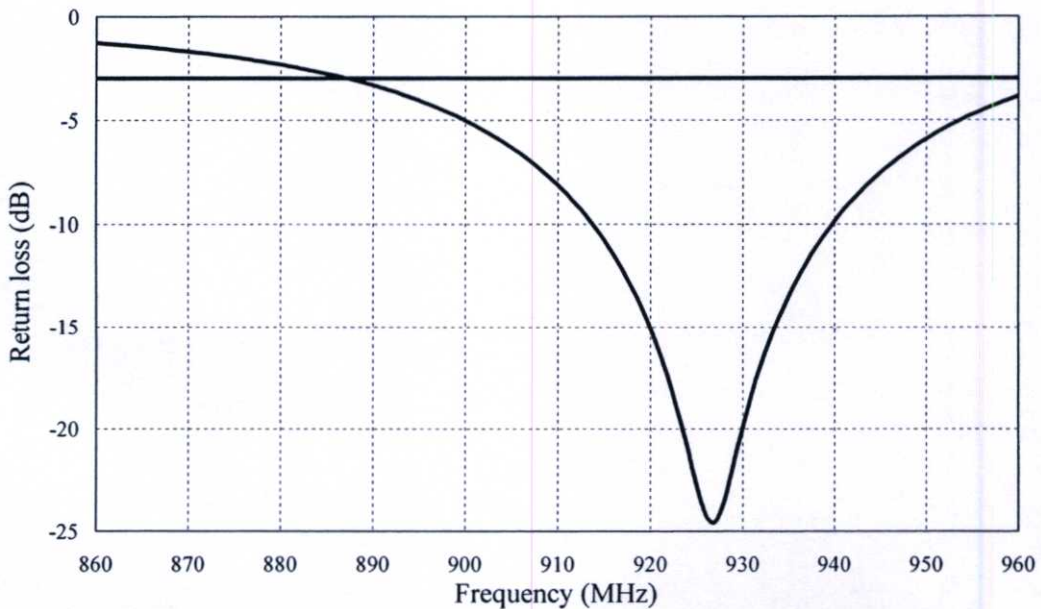
### 3.10 ค่าสภาพเจาะจงทิศทางและค่าประสิทธิภาพความเป็นตัวนำและไดอิเล็กตริกของสายอากาศแท่งชนิดไดโพลกับเส้นปรสิต

ในรูปที่ 3.18 แสดงค่าสภาพเจาะจงทิศทางและค่าประสิทธิภาพความเป็นตัวนำและไดอิเล็กตริกของสายอากาศ ซึ่งจะมีค่าค่อนข้างคงที่ตลอดช่วงความถี่ 920-925 MHz โดยที่ค่าความถี่กลาง 922.5 MHz ค่าสภาพเจาะจงทิศทางของสายอากาศจะมีค่าเท่ากับ 2.53 dBi และค่าประสิทธิภาพความเป็นตัวนำและไดอิเล็กตริกของสายอากาศจะมีค่าเท่ากับ 0.64



รูปที่ 3.18 ค่าสภาพเจาะจงทิศทางของสายอากาศไดโพลกับเส้นปรสิต

### 3.11 ค่าการสูญเสียย้อนกลับของสายอากาศแท่งชนิดไดโพลกับเส้นปรสิต



รูปที่ 3.19 ค่าการสูญเสียย้อนกลับของสายอากาศไดโพลกับเส้นปรสิต

ในรูปที่ 3.19 แสดงค่าการสูญเสียย้อนกลับของสายอากาศสตริปไดโพลกับเส้นประสิทธิ์โดยพิจารณาที่ค่า ช่วงกว้างความถี่ที่กำลังงานลดลงครึ่งหนึ่ง (Half-power bandwidth: ค่าการสูญเสียย้อนกลับต่ำกว่า -3 dB) ของสายอากาศ โดยจะพบว่าสามารถครอบคลุมย่านความถี่ 887-960 MHz ซึ่งสามารถครอบคลุมย่านความถี่ที่เป็นไปตามมาตรฐานภายในประเทศไทยคือ 920-925 MHz

### 3.12 บทสรุป

ในบทนี้อธิบายถึงหลักการออกแบบสายอากาศแท่งชนิดไดโพลกับเส้นประสิทธิ์ โดยเริ่มต้นจากการศึกษาถึงสายอากาศแท่งชนิดสตริปไดโพลแบบพื้นฐานและเนื่องจากข้อจำกัดทางด้านโครงสร้างในการติดตั้งจริงรวม และเนื่องจากค่าอิมพีแดนซ์ที่ถูกกำหนดโดยชิปวงจรรวมทำให้ต้องทำการศึกษาถึงโครงสร้างความยาวเบื้องต้นของสายอากาศ โดยในเบื้องต้นพบว่าความยาวของสายอากาศจะสามารถปรับค่ารีแอ็กแตนซ์ของสายอากาศได้ โดยค่าความยาวของสายอากาศจะแปรผันไปตามค่ารีแอ็กแตนซ์ของสายอากาศ ในส่วนต่อมาเป็นการศึกษาถึงการปรับค่าความต้านทานของสายอากาศ โดยการใช้เส้นประสิทธิ์ในการควบคุมค่าอิมพีแดนซ์ของสายอากาศให้เป็นไปตามที่ต้องการ และในส่วนสุดท้ายเป็นผลการจำลองคุณลักษณะของสายอากาศไดโพลกับเส้นประสิทธิ์

## บทที่ 4

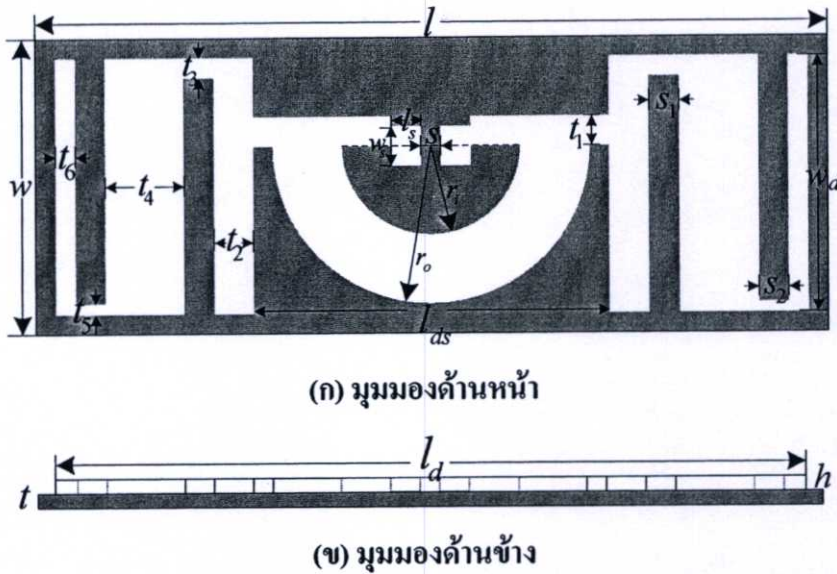
# การจำลองสายอากาศแท่งชนิดขดคววนขนาดเล็ก บนแผ่นพิมพ์อ่อน

### 4.1 บทนำ

เนื้อหาในบทนี้จะเป็นการนำเสนอสายอากาศขดคววนขนาดเล็กที่สร้างบนวัสดุฐานรองชนิด FR-4 ที่มีลักษณะอ่อนบางและสามารถโค้งงอได้ โดยมีความหนาเท่ากับ 0.15 มิลลิเมตร เพื่อให้สายอากาศแท่งสามารถนำไปประยุกต์ใช้งานกับวัสดุที่มีโครงสร้างที่โค้งงอได้ ซึ่งจะมีการศึกษาถึงโครงสร้างเริ่มต้นของสายอากาศที่จะนำมาออกแบบ และโครงสร้างของสายอากาศที่มีความเหมาะสมกับการนำมาประยุกต์ใช้กับชิปวงจรรวมรุ่น NXP G2XL โดยในบทนี้จะมุ่งเน้นไปทางด้านการลดขนาดของสายอากาศระบบระบุลักษณะทางคลื่นวิทยุ โดยกำหนดขอบเขตขนาดของสายอากาศเบื้องต้นให้มีขนาดไม่เกิน  $0.10 \lambda_0 \times 0.25 \lambda_0$  ซึ่งเป็นค่าความกว้างและความยาวโดยเฉลี่ยทั่วไปของสายอากาศแท่งขนาดเล็กในระบบระบุลักษณะทางคลื่นวิทยุย่านความถี่สูงยิ่ง โดยให้สายอากาศที่ออกแบบมีขนาดที่ถูกจำกัดอยู่ภายใต้ขนาดเริ่มต้นที่ถูกกำหนดไว้ อีกทั้งยังคงให้ค่าอิมพีแดนซ์ที่มีความเหมาะสมกับการนำไปใช้งานกับชิปรุ่น NXP G2XL ซึ่งจะพิจารณาจากค่าอิมพีแดนซ์และค่าเปอร์เซ็นต์การส่งผ่านกำลังงานของสายอากาศแท่งไปยังชิปวงจรรวม โดยวัตถุประสงค์ในเนื้อหาของบทนี้คือการให้ได้มาซึ่งสายอากาศที่มีขนาดจำกัดภายใต้ข้อกำหนดเบื้องต้นแต่ยังสามารถมีสมรรถนะในการนำไปประยุกต์ใช้งาน โดยเนื้อหาในบทที่ 4 จะประกอบไปด้วย การศึกษาผลกระทบของโครงสร้างของสายอากาศ และคุณลักษณะที่ได้จากการจำลองโดยใช้โปรแกรม CST @ Microwave Studio

### 4.2 โครงสร้างของสายอากาศแท่งชนิดขดคววนขนาดเล็กบนแผ่นพิมพ์อ่อน

โครงสร้างของสายอากาศแท่งชนิดขดคววนขนาดเล็กบนแผ่นพิมพ์อ่อนจะถูกกำหนดขนาดในเบื้องต้นให้มีขนาดไม่เกิน  $0.10 \lambda_0 \times 0.25 \lambda_0$  โดยจะประกอบไปด้วยแผ่นที่ทำหน้าที่ในการแพร่กระจายคลื่นเป็นทองแดงสองด้านที่เหมือนกัน โดยมีลักษณะขดคววนเพื่อเป็นการเพิ่มความยาวทางไฟฟ้า ส่วนของฐานรองชิปวงจรรวม และส่วนโครงสร้างที่ทำหน้าที่ในการลัดวงจรเพื่อปรับค่าอิมพีแดนซ์ของสายอากาศให้เป็นไปตามที่ต้องการ โดยสายอากาศจะถูกจำลองและสร้างบนวัสดุชนิด FR-4 ชนิดบางซึ่งมีความหนา 0.15 มิลลิเมตร ( $\epsilon_r = 4.3, \tan \delta = 0.025$ ) เพื่อประโยชน์ในการนำสายอากาศแท่งดังกล่าวนี้ไปพัฒนาในการใช้งานจริงต่อไป โดยโครงสร้างที่สมบูรณ์แบบของสายอากาศนั้นจะแสดงในรูปที่ 4.1



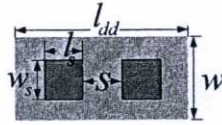
รูปที่ 4.1 โครงสร้างของสายอากาศแท่งชนิดขดควมขนาดเล็กแผ่นพิมพ์อ่อน

### 4.3 การศึกษาถึงโครงสร้างที่มีผลต่อค่าอิมพีแดนซ์ของสายอากาศ

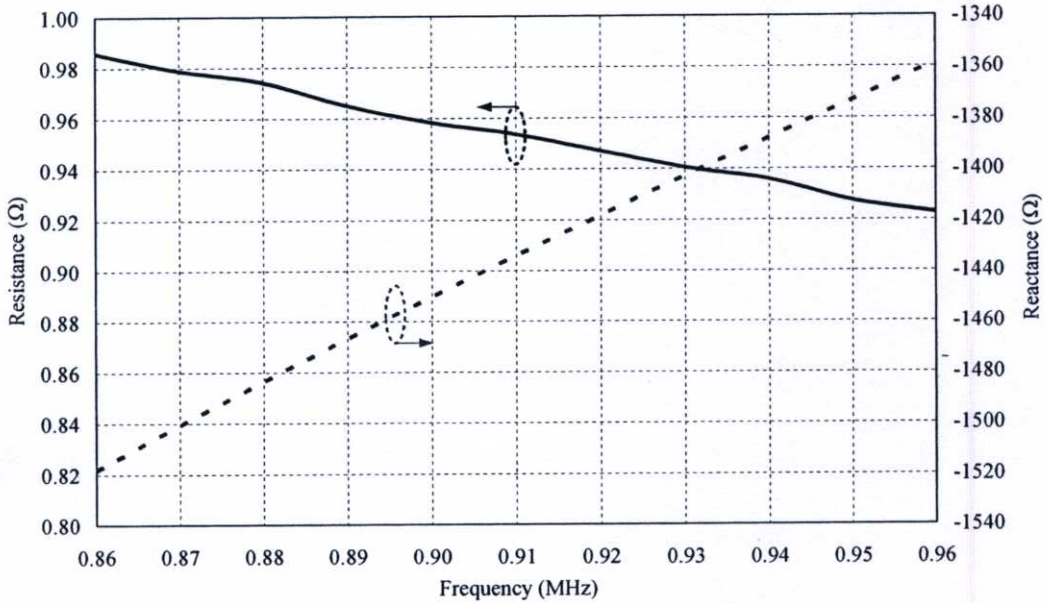
เนื่องจากในบทที่ 3 ในส่วนของการออกแบบสายอากาศเริ่มต้นจะเห็นได้ว่าการที่มีโครงสร้างที่ถูกจำกัดโดยสร้างโครงสร้างของสายอากาศขึ้นมาเพื่อเป็นฐานรองรับวงจรรวม ซึ่งเป็นข้อจำกัดของการสร้างสายอากาศในเบื้องต้น และทั้งยังต้องออกแบบให้อิมพีแดนซ์ของสายอากาศแท่งมีความเหมาะสมกับค่าอิมพีแดนซ์ของชิปวงจรรวมโดยสายอากาศแท่งจะต้องมีความต้านทานต่ำและมีค่ารีแอ็กแตนซ์สูงเป็นไปตามความต้องการให้เกิดการแมตซ์ส่งยุคกับชิปวงจรรวมนั้น ทำให้โครงสร้างเริ่มต้นของสายอากาศ จะต้องศึกษาโดยผ่านทาง การจำลองโดยโปรแกรมก่อนในเบื้องต้น และทำการศึกษาถึงผลกระทบของโครงสร้างดังกล่าว

#### 4.3.1 การศึกษาผลของโครงสร้างฐานรองของชิปวงจรรวมและความยาว $l_r$ และความกว้าง $w_r$ ของสายอากาศ

ในหัวข้อนี้จะทำการศึกษาถึงโครงสร้างที่ถูกจำกัดโดยใช้เป็นฐานรองรับชิปวงจรรวมเพื่อดูแนวโน้มนำการจำลองสายอากาศให้มีความเหมาะสมกับค่าอิมพีแดนซ์ของชิปวงจรรวม โดยกำหนดเบื้องต้นคือให้ฐานรองแต่ละด้านกว้าง ( $w_r$ ) เท่ากับ 4 มิลลิเมตร และความยาว ( $l_r$ ) เท่ากับ 3 มิลลิเมตร ให้มีความเหมาะสมกับโครงสร้างของชิปวงจรรวม เช่นเดียวกับ โครงสร้างฐานรองชิปวงจรรวมของสายอากาศโดโพลกับเส้นปรสิคในบทที่ 3 โดยกำหนดให้ฐานรองชิปดังกล่าววางอยู่บนวัสดุฐานรองชนิด FR-4 หนา 0.15 มิลลิเมตร ที่มีความกว้าง  $w$  เท่ากับ 6 มิลลิเมตร และความยาว  $l_{dd}$  เท่ากับ 8 มิลลิเมตร และมีระยะห่างระหว่างฐานรองรับชิปวงจรรวม ( $s$ ) เท่ากับ 2 มิลลิเมตร ดังแสดงในรูปที่

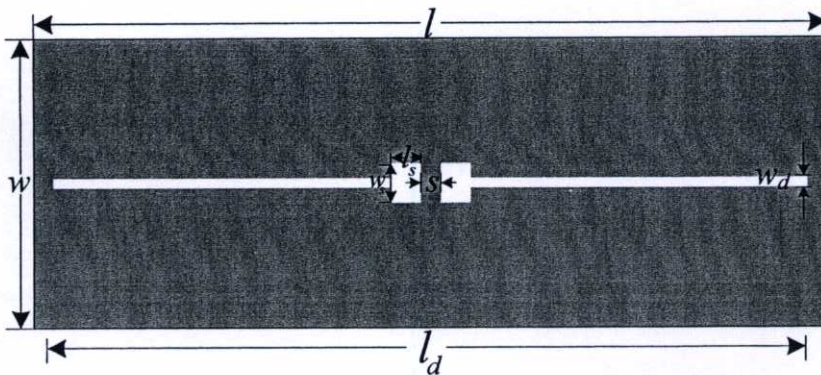


รูปที่ 4.2 ส่วนโครงสร้างฐานรองของชิปวงจรรวม



รูปที่ 4.3 ค่าอิมพีแดนซ์โครงสร้างฐานรองของชิปวงจรรวม

จากผลของการจำลองโครงสร้างฐานรองของชิปวงจรรวมที่เป็นโครงสร้างที่ถูกกำหนดเบื้องต้นให้มีความเหมาะสมกับชิปวงจรรวมรุ่น NXP G2XL นั้นจากรูปที่ 4.3 จะเห็นว่าโครงสร้างที่ถูกกำหนดเริ่มต้นของสายอากาศนั้นจะให้ค่าอิมพีแดนซ์ต่ำ และถ้าหากเพิ่มความยาวของโครงสร้างของสายอากาศสตริปไดโพลเข้าไปก็จะให้ผลที่มีแนวโน้มการเปลี่ยนแปลง ดังแสดงในรูปที่ 4.4 ซึ่งความยาวเริ่มต้นในส่วนนี้จะอ้างอิงมาจากขนาดความยาวจากฐานรองของชิปวงจรรวมแล้วทำการเพิ่มความยาว  $l_d$  ไปจนถึงค่าที่มากที่สุดที่มีความเหมาะสมภายใต้ขอบเขตของโครงสร้างที่เราต้องการ  $0.25 \lambda_0$  โดยกำหนดให้สายอากาศนั้นมีค่าพารามิเตอร์ดังตารางที่ 4.1

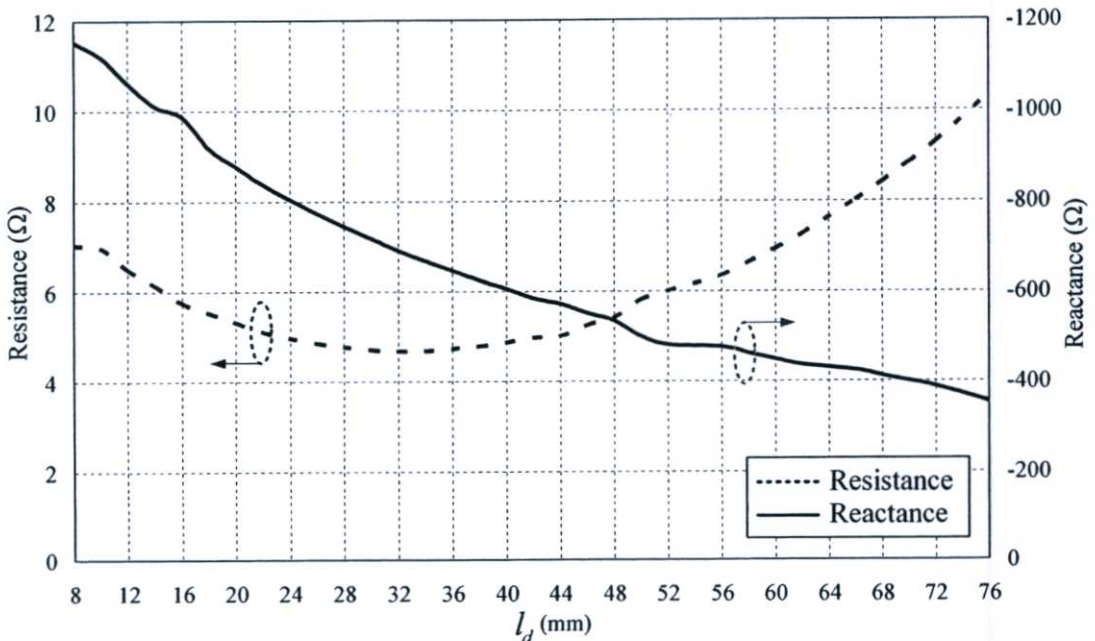


รูปที่ 4.4 สายอากาศสตริปไดโพลบนวัสดุฐานรองชนิดอ่อนเริ่มต้น

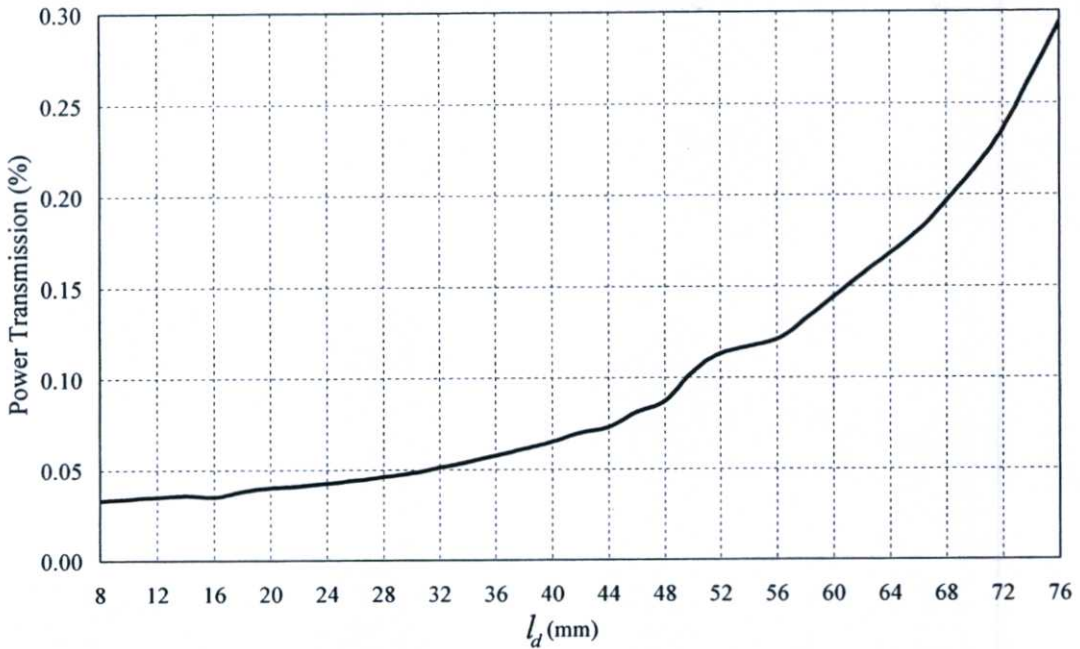
ตารางที่ 4.1 พารามิเตอร์เริ่มต้นสายอากาศสตริปไดโพลบนแผ่นพิมพ์อ่อน

พารามิเตอร์	ขนาดทางกายภาพ (มิลลิเมตร)	ขนาดทางไฟฟ้า ( $\lambda_0$ )
$w$	3	0.092
$w_s$	4	0.012
$w_d$	1	0.003
$l$	80	0.246
$l_s$	3	0.009
$l_d$	8	0.025
$h$	0.017	0.00005
$t$	0.15	0.00046
$s$	2	0.006

จากค่าพารามิเตอร์เริ่มต้นในตารางที่ 4.1 เมื่อ  $\lambda_0$  คือ ค่าความยาวคลื่นในช่องว่างอิสระ ทำการจำลอง โดยการเปลี่ยนแปลงระยะความยาว  $l_d$  เพื่อหาค่าอิมพีแดนซ์ที่เหมาะสมที่สุดจากการเปลี่ยนความยาวดังกล่าว โดยค่าอิมพีแดนซ์ที่ได้นั้นแสดงในรูปที่ 4.5



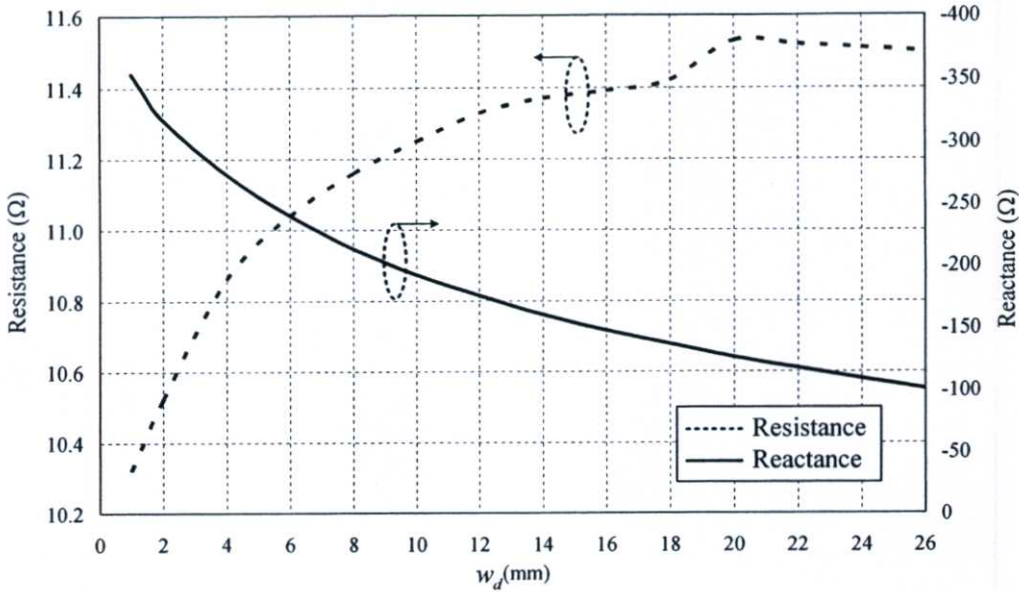
รูปที่ 4.5 ค่าอิมพีแดนซ์ของสายอากาศสตริปไดโพลบนแผ่นพิมพ์อ่อนเริ่มต้นเมื่อมีการเปลี่ยนความยาว  $l_d$  ที่ความถี่กลาง 922.5 MHz



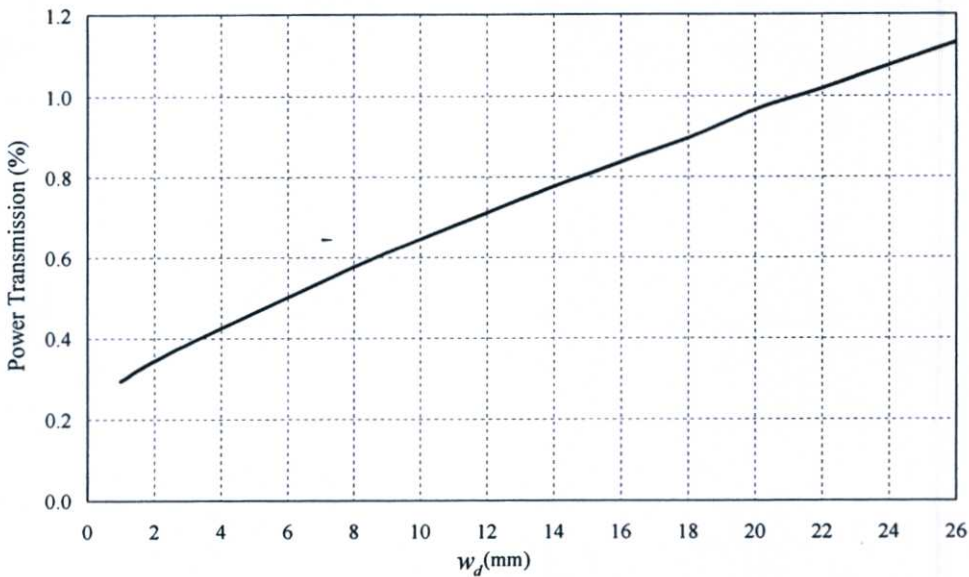
รูปที่ 4.6 ค่าเปอร์เซ็นต์การส่งผ่านกำลังงานของสายอากาศสตริปไดโพลบนแผ่นพิมพ์อ่อนเริ่มต้น เมื่อมีการเปลี่ยนความยาว  $L_d$  ที่ความถี่กลาง 922.5 MHz

จากรูปที่ 4.5 (ก) จะเห็นได้ว่าค่าความต้านทานของสายอากาศจะแปรผันไปตามค่าความยาว  $L_d$  ของสายอากาศ โดยที่ความยาวมากที่สุดภายใต้โครงสร้างที่กำหนดที่  $L_d$  เท่ากับ 26 มิลลิเมตร จะให้ค่าความต้านทานที่มากที่สุด เช่นเดียวกันในรูปที่ 4.5 (ข) แสดงให้เห็นค่ารีแอ็กแตนซ์ของสายอากาศเมื่อมีการเปลี่ยนความยาว  $L_d$  ที่เพิ่มขึ้น โดยจะพบว่าที่ค่าความยาวมากที่สุด  $L_d$  เท่ากับ 26 มิลลิเมตร ค่ารีแอ็กแตนซ์ของสายอากาศจะให้ค่ามากที่สุด แต่ก็ยังไม่มีความเหมาะสมกับการนำโครงสร้างดังกล่าวนี้มาใช้กับชิปวงจรรวมรุ่น NXP G2XL โดยความไม่เหมาะสมที่เกิดขึ้นจะแสดงโดยกราฟในรูปที่ 4.6 ซึ่งแสดงค่าเปอร์เซ็นต์การส่งผ่านกำลังงานของสายอากาศ ซึ่งจะเห็นได้อย่างชัดเจนว่า เมื่อความยาวของสายอากาศเพิ่มขึ้น สายอากาศจะให้ค่าเปอร์เซ็นต์การส่งผ่านกำลังงานที่มากขึ้น แต่ภายใต้ขอบเขตของโครงสร้างที่ทำการศึกษา นั้นความยาว  $L_d$  ที่มากที่สุดจะมีค่าเท่ากับ 26 มิลลิเมตร ดังนั้นความยาวดังกล่าวนี้จึงถูกเลือก ในขณะที่ค่าอิมพีแดนซ์ที่ดีที่สุดของโครงสร้างสายอากาศในรูปที่ 4.4 จะมีค่าเท่ากับ  $10.53-j353.3$  โอห์ม และมีค่าเปอร์เซ็นต์การส่งผ่านกำลังงานเท่ากับ 0.29%

จากนั้นทำการศึกษาดังกล่าวถึงการขยายความกว้างของเส้นสตริปไดโพล โดยการเปลี่ยนแปลงค่าพารามิเตอร์  $w_d$  และทำการศึกษาการเปลี่ยนแปลงของค่าอิมพีแดนซ์ ภายใต้โครงสร้างที่กำหนด โดยค่าความกว้าง  $w_d$  จะถูกเปลี่ยนตั้งแต่ค่า  $w_d$  เท่ากับ 1 มิลลิเมตร จนถึง  $w_d$  เท่ากับ 26 มิลลิเมตร ซึ่งเป็นค่ามากที่สุดของความกว้างภายใต้ขอบเขต  $0.10 \lambda_0$  ที่กำหนดในเบื้องต้น



รูปที่ 4.7 ค่าอิมพีแดนซ์ของสายอากาศตรีปโพลบนแผ่นพิมพ์อ่อนเริ่มต้นเมื่อมีการเปลี่ยนความกว้าง  $w_d$  ที่ความถี่กลาง 922.5 MHz



รูปที่ 4.8 ค่าเปอร์เซ็นต์การส่งผ่านกำลังงานของสายอากาศตรีปโพลบนแผ่นพิมพ์อ่อนเริ่มต้นเมื่อมีการเปลี่ยนความกว้าง  $w_d$  ที่ความถี่กลาง 922.5 MHz

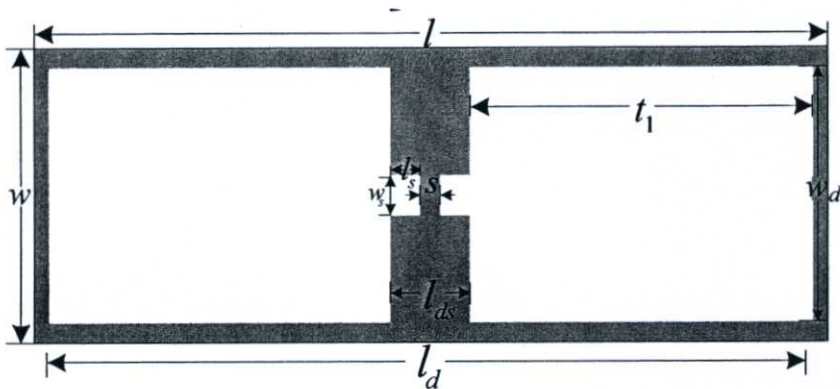
จากกราฟที่ 4.8 แสดงค่าเปอร์เซ็นต์การส่งผ่านกำลังงานจะเห็นได้อย่างชัดเจนว่าถึงแม้ว่าขนาดของสายอากาศจะขยายถึงความกว้างให้มากที่สุด  $w_d$  เท่ากับ 26 มิลลิเมตร ภายใต้โครงสร้างที่กำหนดแล้วนั้น สายอากาศดังกล่าวก็ยังมีค่าอิมพีแดนซ์ที่ไม่เหมาะสมกับชิปวงจรรวมที่นำมาออกแบบ โดยจะสังเกตความเหมาะสมของสายอากาศกับชิปวงจรรวมได้จากกราฟค่าเปอร์เซ็นต์การส่งผ่านกำลังงานในรูปที่ 4.8 นี้ โดยจะพบว่า การเพิ่มความกว้าง  $w_d$  นั้นจะสามารถทำให้ค่าเปอร์เซ็นต์การส่งผ่านกำลังงานที่มากขึ้น ดังนั้นค่าความกว้างที่มากที่สุดที่  $w_d$  เท่ากับ 26 มิลลิเมตร จะมีค่าเปอร์เซ็นต์การส่งผ่านกำลังงานเท่ากับ 1.13% จึงถูกเลือกเพื่อนำมาเป็นโครงสร้างเพื่อ

ทำการศึกษาค่าโครงสร้างที่เหมาะสมในขั้นต่อไป โดยในส่วนนี้จะเห็นได้ว่าค่าเปอร์เซ็นต์กำลังงานการส่งผ่านยังคงมีค่าที่ต่ำอยู่ เนื่องมาจากค่าความต้านทาน และค่ารีแอ็กแตนซ์ของสายอากาศ ยังคงมีค่าที่ต่ำ และยังไม่ใกล้เคียงกับค่าอิมพีแดนซ์ที่มีความเหมาะสมกับชิปวงจรรวม

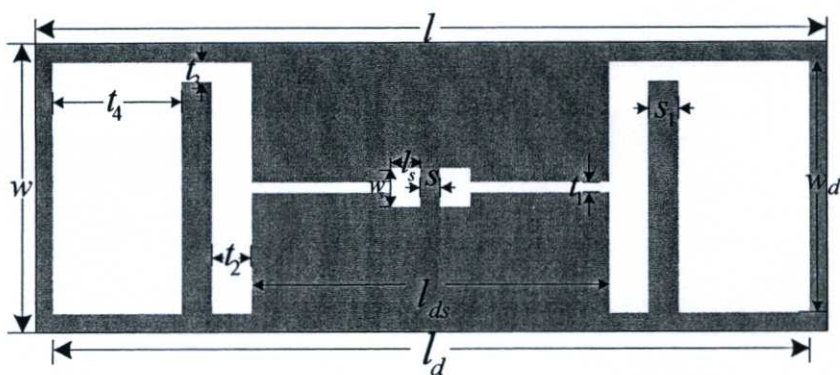
#### 4.3.2 การเพิ่มความยาวทางไฟฟ้าและการลดวงจรของสายอากาศ

จากการศึกษาถึงสายอากาศสตริปไดโพลบนแผ่นพิมพ์อ่อนในคอนตัน จะพบว่าสายอากาศสตริปไดโพลที่มีความยาวของเส้นสตริปเท่ากับ 76 มิลลิเมตร และกว้างเท่ากับ 26 มิลลิเมตร นั้นสามารถให้ค่าเปอร์เซ็นต์การส่งผ่านกำลังงานที่ค่าความถี่กลาง 922.5 MHz เท่ากับ 1.13% ซึ่งจะพบว่าโครงสร้างดังกล่าวยังไม่เหมาะสมกับชิปวงจรรวมเนื่องจากค่ารีแอ็กแตนซ์ของสายอากาศยังมีค่าต่ำ ดังนั้นเพื่อให้ได้สายอากาศที่มีขนาดเป็นไปตามที่ต้องการคือ  $0.10 \lambda_0 \times 0.25 \lambda_0$  และมีค่าเปอร์เซ็นต์การส่งผ่านกำลังงานที่สูงขึ้น ในส่วนนี้จึงทำการศึกษาค่าโครงสร้างในลักษณะของการขุดสายอากาศสตริปไดโพลให้วางอยู่ภายในขนาดวัสดุฐานรองที่เราต้องการ โดยการหาค่าที่เหมาะสมที่สุดจะถูกหาผ่านการจำลอง

เริ่มต้นจากการศึกษาสตริปไดโพลบนความยาวที่กำหนดไว้ โดยโครงสร้างของสายอากาศและพัฒนาการศึกษาโครงสร้างสายอากาศที่นำมาทดสอบแสดงดังรูปที่ 4.9 และมีค่าพารามิเตอร์แสดงในตารางที่ 4.2



(ก) สายอากาศสตริปไดโพลบนแผ่นพิมพ์อ่อนขยายความกว้าง



(ข) สายอากาศสตริปไดโพลขุดความหนึ่ขุด บนแผ่นพิมพ์อ่อนภายใต้ขนาดที่กำหนด



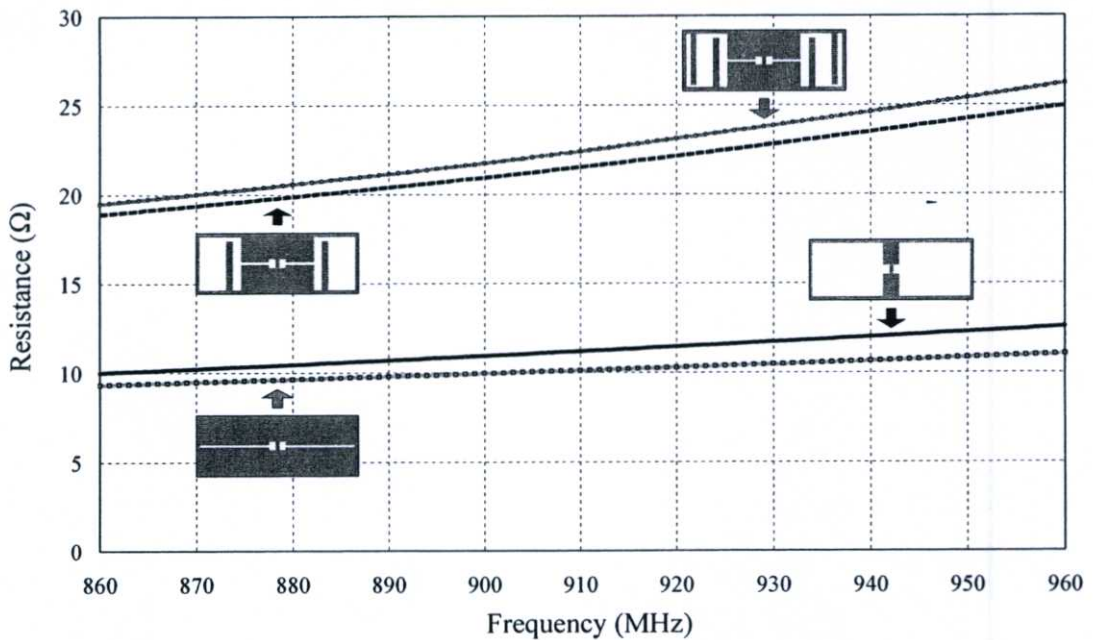
พารามิเตอร์ (ต่อ)	ขนาดทางกายภาพ (มิลลิเมตร)	ขนาดทางไฟฟ้า ( $\lambda_0$ )
$l$	80	0.246
$l_s$	3	0.009
$l_d$	76	0.234
$l_{ds}$	36	0.11
$h$	0.017	0.00005
$t$	0.15	0.00046
$t_1$	1	0.003
$t_2$	4	0.012
$t_3$	2	0.006
$t_4$	13	0.04
$s$	2	0.006
$s_1$	3	0.092

(ค) สายอากาศสตริปไดโพลขดคววนสองขด บนแผ่นพิมพ์อ่อน

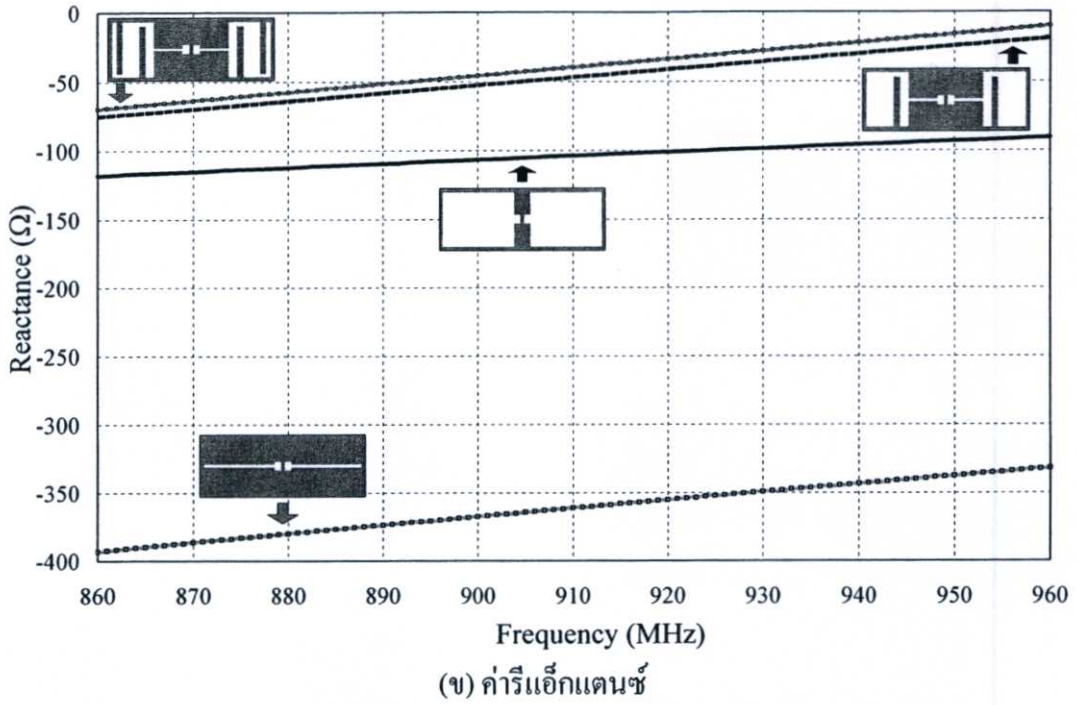
พารามิเตอร์	ขนาดทางกายภาพ (มิลลิเมตร)	ขนาดทางไฟฟ้า ( $\lambda_0$ )
$w$	30	0.092
$w_s$	4	0.012
$w_d$	26	0.080
$l$	80	0.246
$l_s$	3	0.009
$l_d$	76	0.234
$l_{ds}$	36	0.11
$h$	0.017	0.00005
$t$	0.15	0.00046
$t_1$	1	0.003
$t_2$	4	0.012
$t_3$	2	0.006
$t_4$	8	0.025

พารามิเตอร์	ขนาดทางกายภาพ (มิลลิเมตร)	ขนาดทางไฟฟ้า ( $\lambda_0$ )
$t_5$	1	0.003
$t_6$	2	0.006
$s$	2	0.006
$s_1$	3	0.009
$s_2$	3	0.009

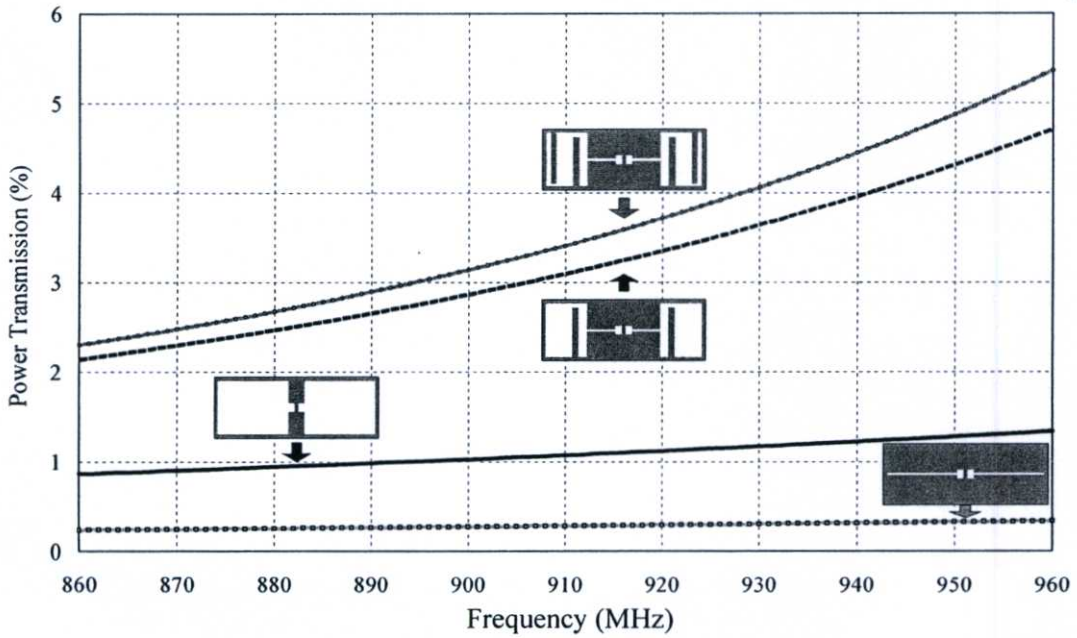
จากโครงสร้างของสายอากาศในรูปที่ 4.4 และ 4.7 (ก) และ 4.7 (ข) และ 4.7 (ค) ที่มีค่าพารามิเตอร์ดังแสดงในตารางที่ 4.1 และ 4.2 รูปที่ 4.10 เป็นการแสดงผลของค่าอิมพีแดนซ์ที่มีการเปลี่ยนแปลงต่อรูปแบบของโครงสร้างของสายอากาศในรูปแบบต่างๆ เพื่อเปรียบเทียบให้เห็นการเปลี่ยนแปลงของค่าอิมพีแดนซ์ของสายอากาศในรูปแบบต่างๆ



(ก) ค่าความต้านทานของสายอากาศ



รูปที่ 4.10 ค่าอิมพีแดนซ์ของ โครงสร้างสายอากาศแท่งที่ทำการศึกษาบนแผ่นพิมพ์อ่อนขนาด  $0.10 \lambda_0 \times 0.25 \lambda_0$



รูปที่ 4.11 ค่าเปอร์เซ็นต์การส่งผ่านกำลังงานของ โครงสร้างสายอากาศแท่งที่ทำการศึกษาบนแผ่นพิมพ์อ่อนขนาด  $0.10 \lambda_0 \times 0.25 \lambda_0$

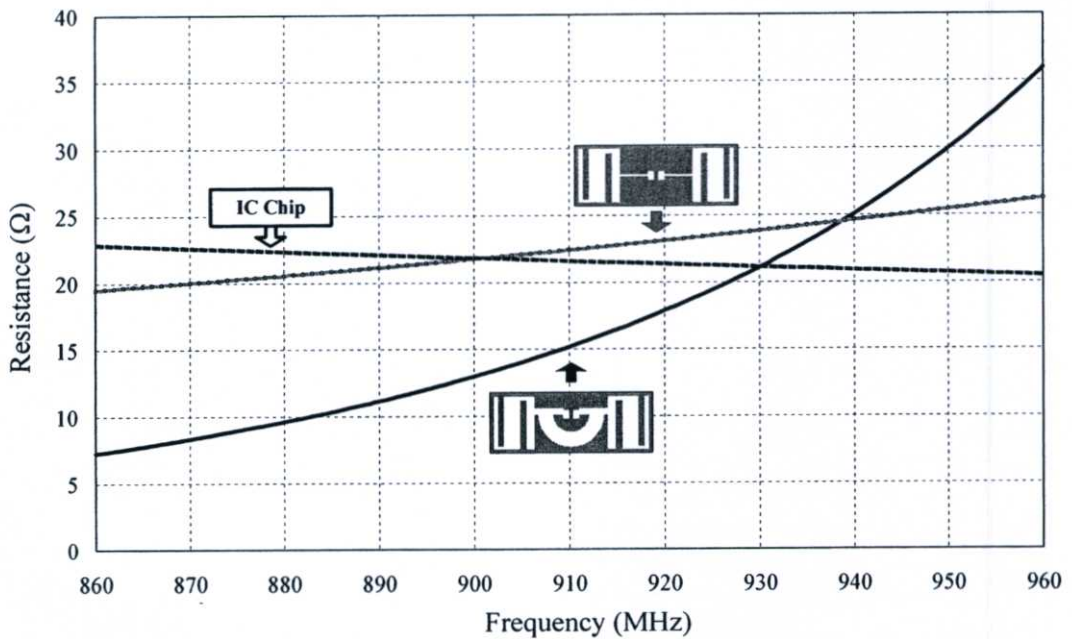
จากรูปที่ 4.7 แสดงให้เห็นค่าอิมพีแดนซ์ของสายอากาศในลักษณะของสายอากาศ โครงสร้างต่างๆ โดยจะเห็นได้ว่าการทำให้สายอากาศที่มีการขยายส่วนทำหน้าที่ในการ แพร่กระจายคลื่นและทำให้โครงสร้างมีลักษณะขดคววนั้นจะสามารถเพิ่มค่าความต้านทานและ เพิ่มค่ารีแอ็กแตนซ์ของสายอากาศได้ แต่จากการศึกษาโครงสร้างการขดคววนสายอากาศใน เบื้องต้นจากกราฟดังกล่าว จะเห็นได้ว่าค่ารีแอ็กแตนซ์ของ โครงสร้างสายอากาศที่ทำการขดคววน ที่ทำการศึกษายังไม่มีความเหมาะสมกับค่าอิมพีแดนซ์ของชิปวงจรรวม ดังจะเห็นได้จากค่า เปอร์เซ็นต์การส่งผ่านกำลังงานที่มีค่าค่อนข้างต่ำ ดังนั้นจึงนำโครงสร้างการลัดวงจรมาใช้เพื่อใช้ ในการปรับค่าอิมพีแดนซ์ของสายอากาศให้เป็นไปตามที่ต้องการ โดยส่วนที่ทำหน้าที่ในการ แพร่กระจายคลื่นที่มีการขดคววนในส่วนแรกนั้นจะถูกกำหนดให้เป็น โครงสร้างที่ไม่มีการ เปลี่ยนแปลงเพื่อความสะดวกในการศึกษา เพราะเนื่องจากมีตัวแปรจำนวนมากใน โครงสร้างของ สายอากาศดังกล่าว โดยการใส่โครงสร้างของการลัดวงจรเพื่อทำการปรับค่าอิมพีแดนซ์ให้ได้ตาม ต้องการ และทำการหาค่าที่เหมาะสมโดยผ่านทาง การจำลองโดยโปรแกรม CST @ Microwave Studio โดยโครงสร้างของสายอากาศภายหลังจากการใส่ส่วนของโครงสร้างที่ทำหน้าที่ในการ ลัดวงจรไปแล้วแสดงดังรูปที่ 4.1 และมีค่าพารามิเตอร์ดังตารางที่ 4.3

ตารางที่ 4.3 พารามิเตอร์ของสายอากาศสตริปโคโพลแบบขดคววนบนแผ่นพิมพ์อ่อน

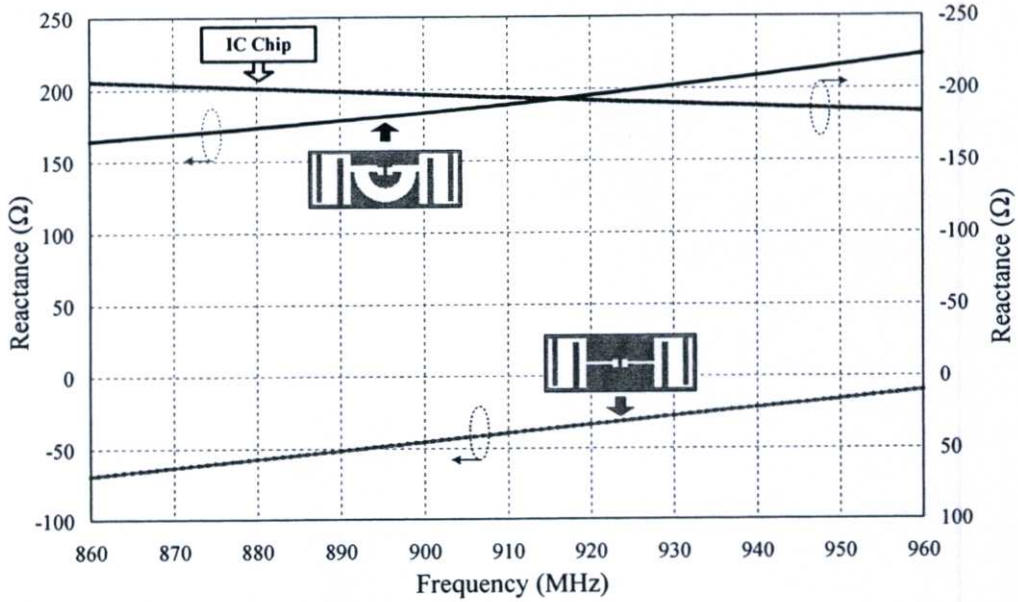
พารามิเตอร์	ขนาดทางกายภาพ (มิลลิเมตร)	ขนาดทางไฟฟ้า ( $\lambda_0$ )
$w$	30	0.092
$w_s$	4	0.012
$w_d$	26	0.080
$l$	80	0.246
$l_s$	3	0.009
$l_d$	76	0.234
$l_{ds}$	36	0.11
$h$	0.017	0.00005
$t$	0.15	0.00046
$t_1$	3	0.009
$t_2$	4	0.012
$t_3$	2	0.006

พารามิเตอร์	ขนาดทางกายภาพ (มิลลิเมตร)	ขนาดทางไฟฟ้า ( $\lambda_0$ )
$t_4$	8	0.025
$t_5$	1	0.003
$t_6$	2	0.006
$s$	2	0.006
$s_1$	3	0.009
$s_2$	3	0.009
$r_i$	9	0.028
$r_o$	16	0.049

จากการใส่โครงสร้างการลัดวงจร ของสายอากาศดังแสดงในรูปที่ 4.1 แล้วทำการจำลองค่าที่เหมาะสมผ่านทางการจำลองโดยโปรแกรมในรูปกราฟที่ 4.12 แสดงค่าอิมพีแดนซ์และในรูปที่ 4.13 แสดงค่าเปอร์เซ็นต์การส่งผ่านกำลังงานภายหลังจากการเพิ่มโครงสร้างของการลัดวงจรให้แก่สายอากาศ

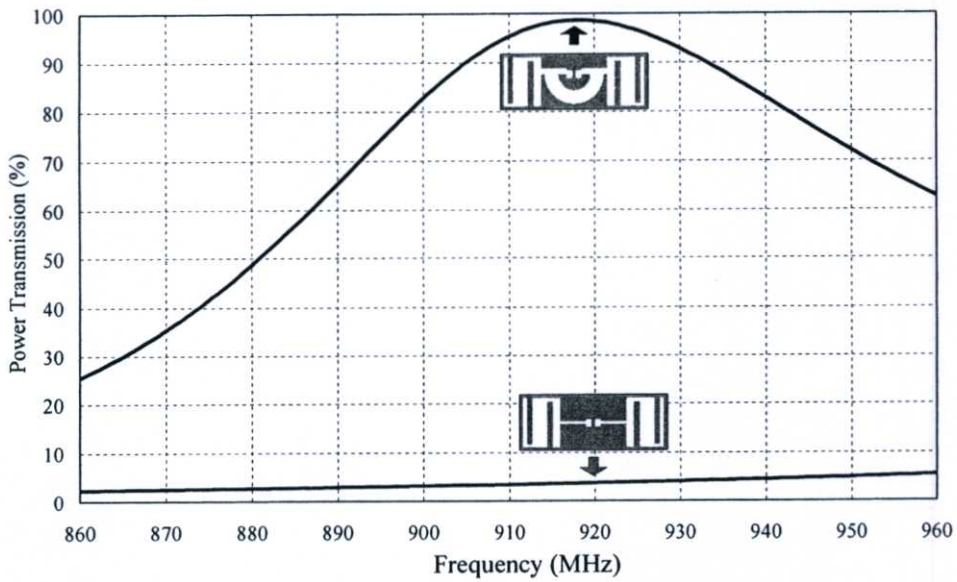


(ก) ค่าความต้านทานของสายอากาศ



(ข) คาร์เร็กแตนซ์

รูปที่ 4.12 การเปรียบเทียบการเปลี่ยนแปลงค่าอิมพีแดนซ์ของสายอากาศแท่งเมื่อมีการเพิ่มโครงสร้างการลัดวงจร



รูปที่ 4.13 การเปรียบเทียบการเปลี่ยนแปลงของค่าเปอร์เซ็นต์การส่งผ่านกำลังงานของสายอากาศแท่งเมื่อมีการเพิ่มโครงสร้างการลัดวงจร

จากกราฟจะเห็นว่าภายหลังจากการใส่โครงสร้างการลัดวงจรแล้วทำการเปลี่ยนค่าพารามิเตอร์ให้มีความเหมาะสมแล้ว สายอากาศจะสามารถให้ค่าเปอร์เซ็นต์การส่งผ่านกำลังงานที่สูงขึ้นเป็นอย่างมาก โดยเมื่อพิจารณาที่ความถี่กลางที่ 922.5 MHz สายอากาศจะให้ค่า

เปอร์เซ็นต์การส่งผ่านกำลังงานสูงถึง 97.74 % โดยตารางที่ 4.4 แสดงข้อสรุปของการเปลี่ยนโครงสร้างของสายอากาศและคุณลักษณะเชิงอิมพีแดนซ์ที่เหมาะสมที่ได้ทำการจำลอง

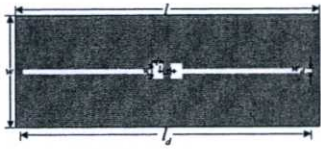
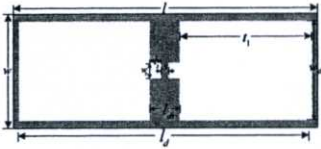
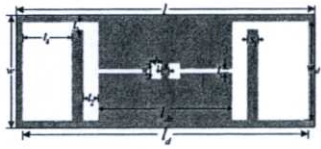
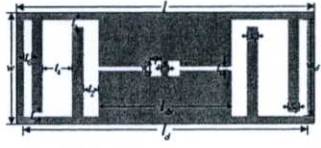

จากการศึกษาโครงสร้างของสายอากาศในรูปแบบต่างๆ ในเนื้อหาจากบทที่ 4 ทั้งหมด ข้อสรุปในตารางที่ 4.2 แสดงข้อสรุปผลกระทบของโครงสร้างที่เหมาะสมกับการนำมาใช้กับชิปวงจรรวมรุ่น NXP G2XL แสดงโดยค่าอิมพีแดนซ์และค่าเปอร์เซ็นต์การส่งผ่านกำลังงานของสายอากาศไปยังชิปวงจรรวม เริ่มต้นจากสายอากาศสตริปไดโพลเริ่มต้นในรูปแบบที่ 4.4 เส้นสตริปขนาดบางซึ่งมีความยาวของสายอากาศอยู่ในขอบเขตโครงสร้างที่ถูกกำหนดเบื้องต้น  $0.25 \lambda_0$  จะเห็นได้ว่าค่าความต้านทานและค่ารีแอ็กแตนซ์ของสายอากาศนั้นมีค่าต่ำ โดยเมื่อพิจารณาในพจน์ของค่าเปอร์เซ็นต์การส่งผ่านกำลังงานนั้นจะมีค่าเพียง 0.29%

ต่อมาในรูปแบบที่ 4.9 (ก) การขยายความกว้างของสายอากาศภายใต้ขอบเขตโครงสร้างที่กำหนด  $0.10 \lambda_0$  โดยจะพบว่าที่ความกว้างของสายอากาศที่มากที่สุดภายใต้ขอบเขตที่กำหนดสายอากาศให้ค่าเปอร์เซ็นต์การส่งผ่านกำลังงานมากที่สุด โดยโครงสร้าง ค่าอิมพีแดนซ์ ของสายอากาศในโครงสร้างที่ 4.9 (ก) จะมีค่าเพิ่มมากขึ้นซึ่งการเพิ่มขึ้นของค่าความต้านทานของสายอากาศจะมีค่าไม่มากนัก แต่ค่ารีแอ็กแตนซ์ของสายอากาศมีการเพิ่มขึ้นอย่างมาก โดยโครงสร้างที่ 4.9 (ก) นี้สายอากาศมีค่าเปอร์เซ็นต์การส่งผ่านกำลังงานเท่ากับ 1.13%

ส่วนในรูปแบบที่ 4.9 (ข) และ 4.9 (ค) สายอากาศจะถูกทำการเจาะรูเพื่อให้โครงสร้างมีลักษณะเป็นขดเพื่อเพิ่มความยาวทางไฟฟ้าให้แก่สายอากาศโดยการขดจะสามารถทำให้ค่ารีแอ็กแตนซ์ของสายอากาศเพิ่มขึ้น ภายใต้โครงสร้างที่ 4.9 (ข) สายอากาศมีค่าเปอร์เซ็นต์การส่งผ่านกำลังงานเท่ากับ 3.43% และภายใต้โครงสร้างที่ 4.9 (ค) สายอากาศให้ค่าเปอร์เซ็นต์การส่งผ่านกำลังงานที่เท่ากับ 3.81%

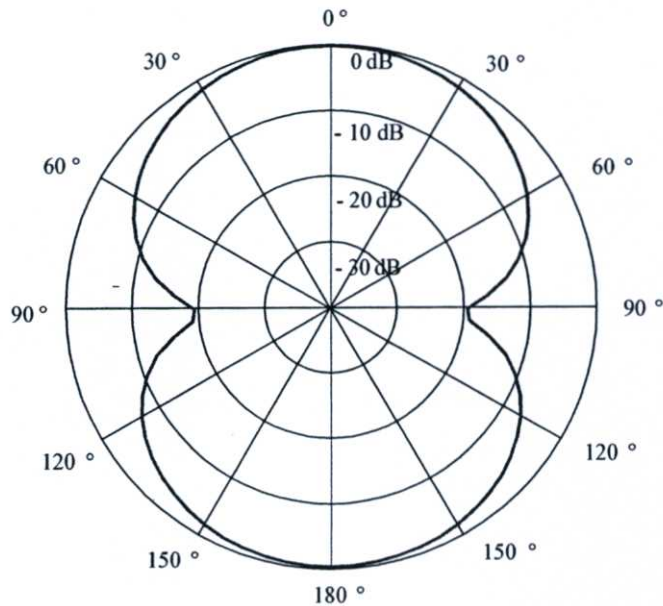
จากการศึกษาโครงสร้างของสายอากาศที่เหมาะสมกับชิปวงจรรวมนั้นจะพบว่า การเพิ่มความยาวทางไฟฟ้าภายใต้โครงสร้างที่กำหนดสามารถช่วยในการปรับค่ารีแอ็กแตนซ์ของสายอากาศให้เพิ่มมากขึ้นเป็นอย่างมาก แต่ค่าอิมพีแดนซ์ดังกล่าวก็ยังไม่เหมาะสมที่จะนำมาใช้กับชิปวงจรรวม ที่มีค่าอิมพีแดนซ์เท่ากับ  $21.3-j191.6$  โอห์ม ซึ่งการสร้างสายอากาศที่สามารถส่งผ่านกำลังงานไปยังชิปวงจรรวมได้สูงสุดนั้นคือสายอากาศต้องมีลักษณะแมตซ์สังยุคกับชิปวงจรรวม โดยค่าอิมพีแดนซ์ที่แมตซ์สังยุคอย่างสมบูรณ์กับชิปวงจรรวมคือ  $21.3+j191.3$  โอห์ม ดังนั้นเพื่อเป็นการค่าอิมพีแดนซ์ของสายอากาศโครงสร้างการลัดวงจรจึงถูกนำมาใช้ในการปรับค่าอิมพีแดนซ์ของสายอากาศดังแสดงในรูปแบบที่ 4.1 โดยจากรูปที่ 4.1 ที่แสดงโครงสร้างของสายอากาศที่ทำการใส่โครงสร้างการลัดวงจร แล้วทำการปรับโครงสร้างให้มีความเหมาะสมกับชิปวงจรรวมเรียบร้อยแล้ว โดยจะเห็นได้ว่าโครงสร้างดังกล่าวสามารถให้ค่าเปอร์เซ็นต์การส่งผ่านกำลังงานได้สูงถึง 97.74%

ตารางที่ 4.4 สรุปการเปลี่ยนแปลงโครงสร้างของสายอากาศวัสดุฐานรองชนิดอ่อนและ  
คุณลักษณะเชิงอิมพีแดนซ์ที่เหมาะสมที่ได้จำลองที่ค่าความถี่ 922.5 MHz

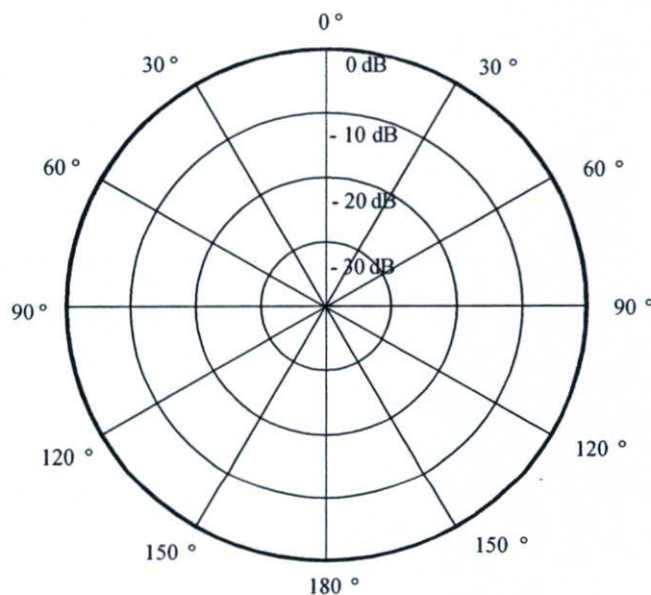
สายอากาศ	โครงสร้าง	อิมพีแดนซ์ (โอห์ม)		ค่า เปอร์เซ็นต์ การส่งผ่าน กำลังงาน
		ความ ต้านทาน	รีแอก แตนซ์	
สายอากาศสตริป ไดโพลเริ่มต้น	 รูปที่ 4.4	10.32	-j353.8	0.29
สายอากาศ สตริปไดโพล ขยายความกว้าง ( $w_d$ )	 รูปที่ 4.9 (ก)	11.52	-j100.7	1.13
สายอากาศ สตริปไดโพล ขดคววนหนึ่งขด	 รูปที่ 4.9 (ข)	22.33	-j39.7	3.43
สายอากาศ สตริปไดโพล ขดคววนสองขด	 รูปที่ 4.9 (ค)	23.30	-j32.12	3.81
สายอากาศแท่ง ชนิดขดคววน ขนาดเล็ก	 รูปที่ 4.1	18.59	j197.1	97.74

#### 4.4 แบบรูปการแพร่กระจายคลื่นของสายอากาศแท่งชนิดควมขนาดเล็บบนแผ่นพิมพ์อ่อน

จากค่าพารามิเตอร์ที่เหมาะสมของสายอากาศขควมขนาดเล็บบนแผ่นพิมพ์อ่อนมา จำลองเพื่อพิจารณาแบบรูปการแพร่กระจายคลื่นของสายอากาศที่ความถี่กลางของย่านความถี่ที่ใช้งาน 922.5 MHz โดยจะทำการพิจารณาทั้งในระนาบสนามไฟฟ้า (E-plane) และระนาบสนามแม่เหล็ก (H-plane) ดังแสดงในรูปที่ 4.14



(ก) ระนาบสนามไฟฟ้า (E-plane) หรือระนาบ YZ (YZ-plane)



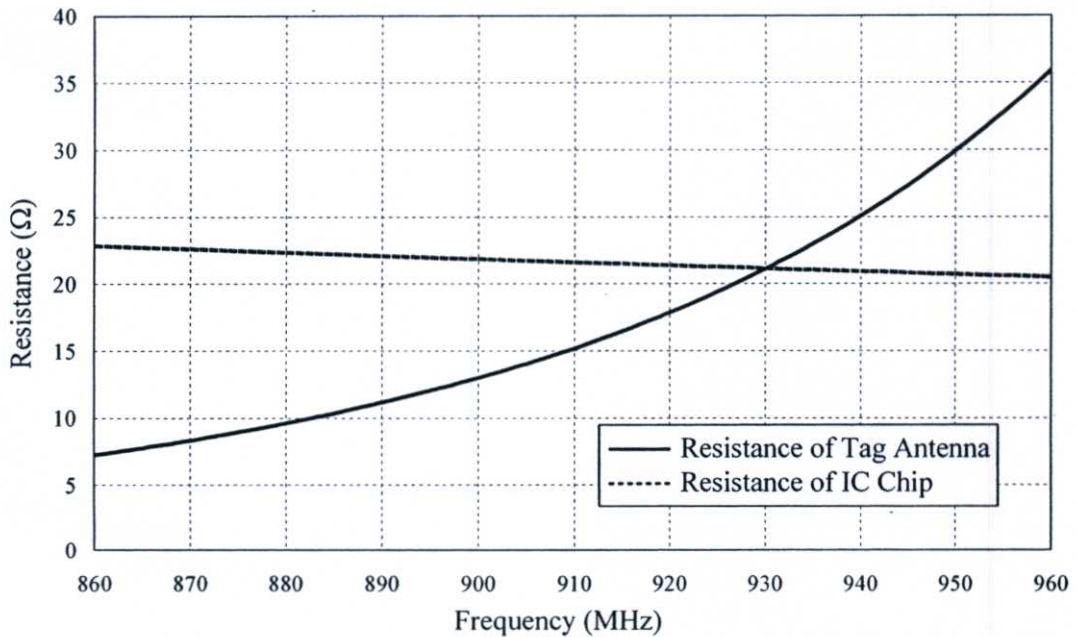
(ข) ระนาบสนามแม่เหล็กหรือระนาบ XZ (XZ-plane)

รูปที่ 4.14 ผลการจำลองแบบรูปการแพร่กระจายคลื่นของสายอากาศแท่ง  
ขควมขนาดเล็บบนแผ่นพิมพ์อ่อน

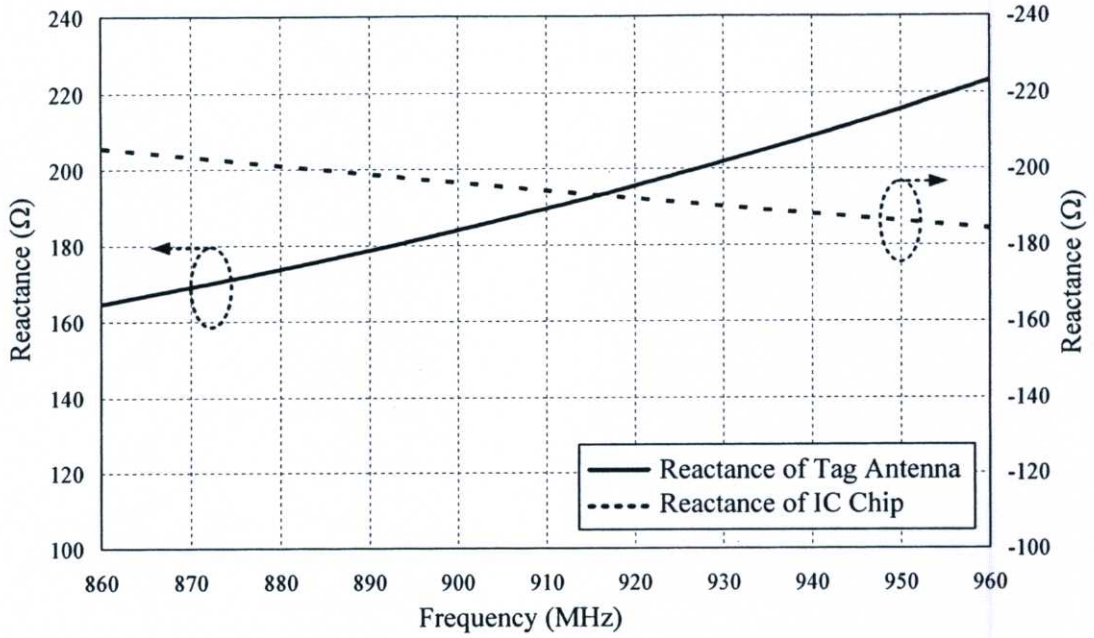
จากรูปที่ 4.14 (ก) แสดงแบบรูปการแพร่กระจายคลื่นในระนาบสนามไฟฟ้า หรือระนาบ YZ (YZ-plane) จะพบว่าความกว้างลำคลื่นที่กำลังงานลดลงครึ่งหนึ่ง (Half-power beamwidth) จะมีค่าเท่ากับ 89.5 องศา และในรูปที่ 4.14 (ข) แสดงแบบรูปการแพร่กระจายคลื่นในระนาบสนามแม่เหล็กหรือระนาบ XZ (XZ-plane) จากรูปจะเห็นได้ว่าสายอากาศมีแบบรูปการแพร่กระจายคลื่นสมมาตรในแนวแกน x โดยแบบรูปการแพร่กระจายคลื่นที่ได้จะเป็นแบบรูปการแพร่กระจายคลื่นแบบรอบตัว

#### 4.5 คุณลักษณะเชิงอิมพีแดนซ์ของสายอากาศแท็กชนิดขดลวดวงขนาดเล็บบนแผ่นพิมพ์อ่อน

จากรูปที่ 4.15 แสดงคุณลักษณะเชิงอิมพีแดนซ์ของสายอากาศเมื่อความถี่มีการเปลี่ยนแปลง ในรูปที่ 4.15 (ก) แสดงค่าความต้านทานของสายอากาศในช่วงความถี่ 860-960 MHz โดยเส้นทึบแสดงค่าความต้านทานของสายอากาศที่มีแนวโน้มที่แปรผันตรงกับค่าความถี่ที่เพิ่มขึ้น ส่วนเส้นประแสดงค่าความต้านทานของชิปวงจรรวมที่แปรผกผันไปตามความถี่ที่เปลี่ยนไป โดยค่าความต้านทานของสายอากาศมีค่าอยู่ระหว่าง 7.22-35.93 โอห์ม และที่ความถี่กลาง 922.5 MHz สายอากาศจะมีค่าความต้านทานเท่ากับ 18.59 โอห์ม ซึ่งจะมีค่าใกล้เคียงกับค่าอิมพีแดนซ์ของชิปวงจรรวม 21.3 โอห์ม ที่ความถี่เดียวกัน



(ก) ค่าความต้านทานของสายอากาศ



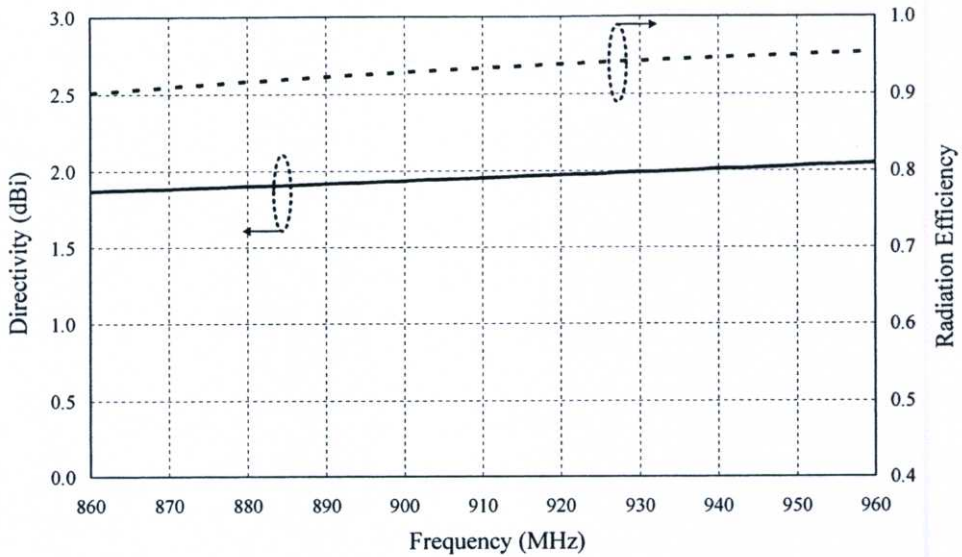
(ข) ค่ารีแอคแตนซ์

รูปที่ 4.15 ค่าอิมพีแดนซ์ของสายอากาศแท็กชนิดขดลวดวงขนาดเล็กบนแผ่นพิมพ์อ่อน

ในรูปที่ 4.15 (ข) แสดงผลของค่ารีแอคแตนซ์เมื่อมีการเปลี่ยนความถี่ ในย่านความถี่ 860-960 MHz เส้นประแสดงค่ารีแอคแตนซ์ของชิปวงจรรวมที่มีการเปลี่ยนแปลงไปตามความถี่ที่เพิ่มขึ้น โดยมีแนวโน้มที่ลดลงเมื่อความถี่เพิ่มขึ้น โดยมีค่าอยู่ระหว่าง  $-j184.2$  โอห์ม ถึง  $-j205.63$  โอห์ม เส้นทึบแสดงให้เห็นการเปลี่ยนแปลงของค่ารีแอคแตนซ์ของสายอากาศ เมื่อพิจารณาจากรูปกราฟจะเห็นได้ว่าการเปลี่ยนแปลงอยู่ระหว่าง  $164.6-223.2$  โอห์ม โดยมีลักษณะแปรผันไปตามความถี่ที่เพิ่มขึ้น โดยที่ความถี่กลาง  $922.5$  MHz ค่ารีแอคแตนซ์ของสายอากาศมีค่าเท่ากับ  $j197.1$  โอห์ม

#### 4.6 ค่าสภาพเจาะจงทิศทางและค่าประสิทธิภาพความเป็นตัวนำและไดอิเล็กตริกของสายอากาศแท็กชนิดขดลวดวงขนาดเล็กบนแผ่นพิมพ์อ่อน

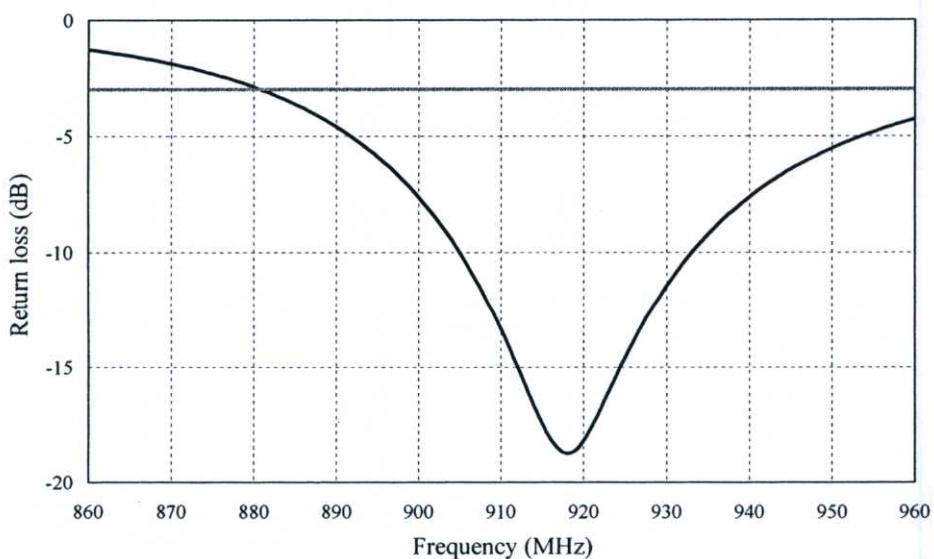
จากกราฟในรูปที่ 4.16 แสดงค่าสภาพเจาะจงทิศทางและค่าประสิทธิภาพตัวนำและฉนวนของสายอากาศ โดยมีแนวโน้มเพิ่มขึ้นไปตามช่วงความถี่ที่สูงขึ้นแต่ค่อนข้างไม่แตกต่างกันมากนักตลอดช่วงความถี่  $920-925$  MHz โดยที่ความถี่กลาง  $922.5$  MHz ค่าสภาพเจาะจงทิศทางของสายอากาศมีค่าเท่ากับ  $1.98$  dBi ส่วนค่าประสิทธิภาพตัวนำและไดอิเล็กตริกของสายอากาศมีค่าเท่ากับ  $0.94$



รูปที่ 4.16 ค่าสภาพเจาะงทิศทางของสายอากาศเท็กซนิคขคววขนาดเล็บบนแผ่นพิมพ์อ่อน

#### 4.7 ค่าการสูญเสียย้อนกลับของสายอากาศเท็กซนิคขคววขนาดเล็บบนแผ่นพิมพ์อ่อน

ค่าการสูญเสียย้อนกลับของสายอากาศเท็กซนิคขคววขนาดเล็บบนแผ่นพิมพ์อ่อนแสดงในรูปที่ 4.17 เมื่อพิจารณาที่ค่า ช่วงกว้างความถี่ที่กำลังงานลดลงครึ่งหนึ่ง (Half-power bandwidth) และค่าการสูญเสียย้อนกลับต่ำกว่า -3 dB ของสายอากาศเท็กซนิคจะพบว่าสายอากาศนั้นครอบคลุมย่านความถี่ 881-960 MHz สามารถครอบคลุมย่านความถี่ตามมาตรฐานภายในประเทศไทยคือ 920-925 MHz หรือถ้าหากพิจารณาที่ค่าอัตราการสูญเสียย้อนกลับที่ต่ำกว่า -10 dB สายอากาศก็สามารถครอบคลุมช่วงความถี่ 905-933 MHz ซึ่งสามารถครอบคลุมย่านความถี่มาตรฐานภายในประเทศ



รูปที่ 4.17 ค่าการสูญเสียย้อนกลับของสายอากาศเท็กซนิคขคววขนาดเล็บบนแผ่นพิมพ์อ่อน

## 4.8 บทสรุป

ในบทนี้จะเป็นการอธิบายหลักการออกแบบสายอากาศแท่งชนิดขดคววนขนาดเล็กบนแผ่นพิมพ์อ่อน โดยเริ่มต้นจากการศึกษาสายอากาศแท่งชนิดสตริปโคโรโพลแบบพื้นฐานและโครงสร้างในการติดชิปวงจรรวม โดยสายอากาศดังกล่าวจะถูกจำลองบนวัสดุฐานรองชนิด FR-4 แบบอ่อนบาง ซึ่งมีความหนา 0.015 มิลลิเมตร โดยสายอากาศจะมีขนาดเล็กจากการใช้หลักการขดคววนเพื่อเป็นการเพิ่มความยาวทางไฟฟ้าให้แก่โครงสร้างที่ถูกจำกัดให้มีขนาดเล็ก และทำการปรับปรุงค่าอิมพีแดนซ์ของสายอากาศด้วยหลักการลัดวงจร โดยโครงสร้างที่นำเสนอดังกล่าวที่นำเสนอนี้อาจยังไม่ใช่โครงสร้างที่ดีที่สุดในขนาดที่ถูกจำกัดไว้ แต่เป็นโครงสร้างรูปแบบหนึ่งที่สามารถให้คุณลักษณะของสายอากาศเหมาะสมกับอิมพีแดนซ์ของชิปวงจรรวมที่นำมาออกแบบ

## บทที่ 5

# การสร้าง ทดสอบสายอากาศแท่งและการประเมินค่าอิมพีแดนซ์ ของชิปวงจรรวมเบื้องต้น

### 5.1 บทนำ

ในบทนี้จะเป็นการกล่าวถึงการทดสอบและผลการทดสอบสายอากาศและการประเมินค่าอิมพีแดนซ์ของชิปวงจรรวมในเบื้องต้น โดยเริ่มจากการนำเอาโครงสร้างของสายอากาศไดโพลกับเส้นปรสิติกที่โครงสร้างสามารถที่จะปรับจูนค่าอิมพีแดนซ์ได้ง่ายมาทำการทดสอบเพื่อเป็นการยืนยันความถูกต้องของค่าอิมพีแดนซ์ของชิปวงจรรวมที่นำมาออกแบบ ในส่วนต่อมาจะเป็นผลของระยะทางการอ่านได้ไกลที่สุดที่สายอากาศไดโพลกับเส้นปรสิติกที่ถูกออกแบบให้มีความเหมาะสมกับชิปวงจรรวม และในที่สุดท้ายจะเป็นผลการทดสอบของสายอากาศขนาดเล็กเนื่องจากสายอากาศแท่งในระบบระบุลักษณะทางคลื่นความถี่วิทยุ นั้นไม่ได้ถูกนำไปใช้งานเหมือนสายอากาศโดยทั่วไป โดยสิ่งที่มีการเปลี่ยนแปลงคือการเปลี่ยนจากการใช้คอนเนคเตอร์มาใช้ชิปวงจรรวมในการป้อนสัญญาณ และการทดสอบเพื่อจะให้แท่งเริ่มทำงานก็จำเป็นจะต้องมีชุดอุปกรณ์ที่ใช้ในการกระตุ้นให้แท่งทำงานในเบื้องต้นทั้งยังต้องใช้เครื่องอ่านข้อมูลที่สามารถปรับความถี่และพลังงานในการส่งสัญญาณได้ [32] ดังนั้นจึงเป็นการยากที่จะนำสายอากาศดังกล่าวมาทำการทดสอบคุณลักษณะเช่นสายอากาศโดยทั่วไป ดังนั้นในการทดสอบคุณสมบัติของแท่งในบทที่ 5 นี้จึงเป็นผลการทดลองที่ได้จากการทดสอบจากระยะทางการอ่านได้ไกลที่สุด

### 5.2 การทดสอบระยะการอ่านได้ไกลที่สุด

การทดสอบระยะทางการอ่านได้ไกลที่สุดซึ่งประกอบไปด้วย สายอากาศแท่งไดโพลกับเส้นปรสิติก และสายอากาศแท่งขนาดเล็กบนวัสดุฐานรองชนิดอ่อน โดยการคำนวณระยะทางการอ่านได้ไกลที่สุดจะคำนวณจากสมการการส่งสัญญาณของฟรีส ในช่องว่างอิสระ (Friis free space transmission) ในสมการที่ 2.3 สามารถหาระยะทางที่ไกลที่สุดในการติดต่อสื่อสารระหว่างเครื่องอ่านข้อมูลกับแท่งได้ดังนี้

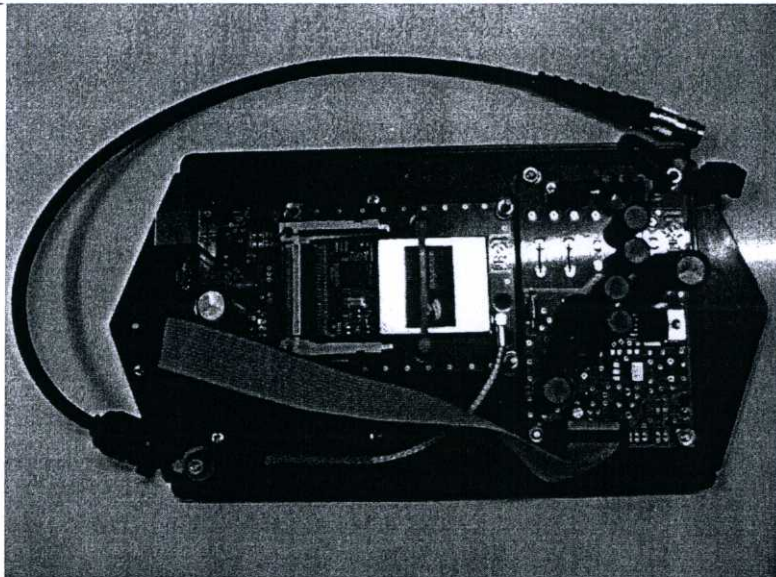
$$R_{\max(\text{reader})} = \frac{\lambda}{4\pi} \sqrt{\frac{P_{\text{reader-tx}} G_{\text{reader-ant}} G_{\text{tag-ant}} \chi \tau}{P_{\text{tag-threshold}}}} \quad (5.1)$$

โดยที่

$P_{reader-tx}$	คือ กำลังงานส่งออกมาจากเครื่องอ่านข้อมูล
$G_{reader-ant}$	คือ อัตราขยายของสายอากาศของเครื่องอ่านข้อมูล
$P_{tag-threshold}$	คือ กำลังงานที่น้อยที่สุดที่สามารถทำให้ชิปทำงานได้
$G_{tag-ant}$	คือ อัตราขยายของสายอากาศแท็ก
$\lambda$	คือ ความยาวคลื่นที่ความถี่ใช้งาน
$\chi$	คือ ค่าสัมประสิทธิ์การแมตช์ของการโพลาไรซ์ระหว่างสายอากาศของเครื่องอ่านข้อมูลและสายอากาศของแท็ก
$\tau$	คือ สัมประสิทธิ์การส่งผ่านกำลังงาน (Transmission power coefficient)

เครื่องมือและอุปกรณ์ที่ใช้ในการทดสอบสายอากาศแท็กของระบบระบุลักษณะทางคลื่นวิทยุมีดังต่อไปนี้

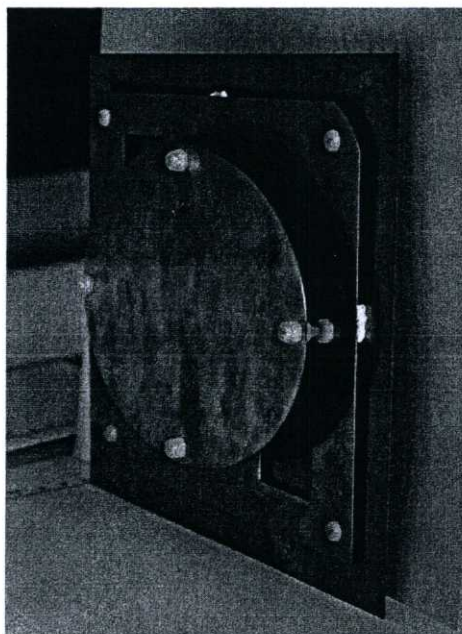
1. เครื่องคอมพิวเตอร์
2. สายนำสัญญาณ
3. เครื่องอ่านข้อมูลของระบบลักษณะทางคลื่นวิทยุ
4. สายอากาศเครื่องอ่านข้อมูล



รูปที่ 5.1 เครื่องอ่านข้อมูล RFID ของบริษัท IET รุ่น RU-110 [33]

ตารางที่ 5.1 คุณสมบัติของเครื่องอ่านข้อมูล

คุณสมบัติ	คำอธิบาย
ย่านความถี่	860-960 MHz
กำลังงานเอาต์พุต	27 dBm
รุ่น	RU-110 U

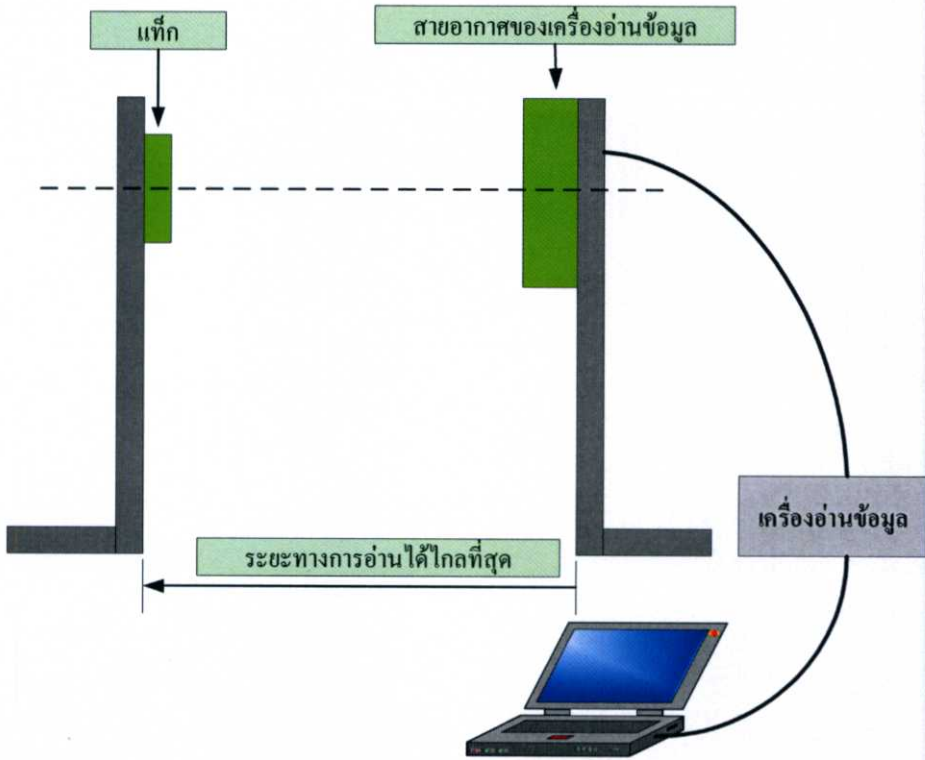


รูปที่ 5.2 ลักษณะ โครงสร้างของสายอากาศของเครื่องอ่านข้อมูล (มุมมอง 3 มิติ) [34]

ตารางที่ 5.2 คุณสมบัติของสายอากาศอ้างอิงที่มีการโพลาไรซ์เป็นแบบเชิงเส้น

คุณสมบัติ	คำอธิบาย
ย่านความถี่	860-960 MHz
การโพลาไรซ์	เชิงวงกลม
อัตราขยายสูงสุด	7.7 dBic
ค่าการสูญเสียย้อนกลับ	-30.56 dB
ความกว้างของลำคลื่นในระนาบ xz	100 องศา
ความกว้างของลำคลื่นในระนาบ yz	70 องศา

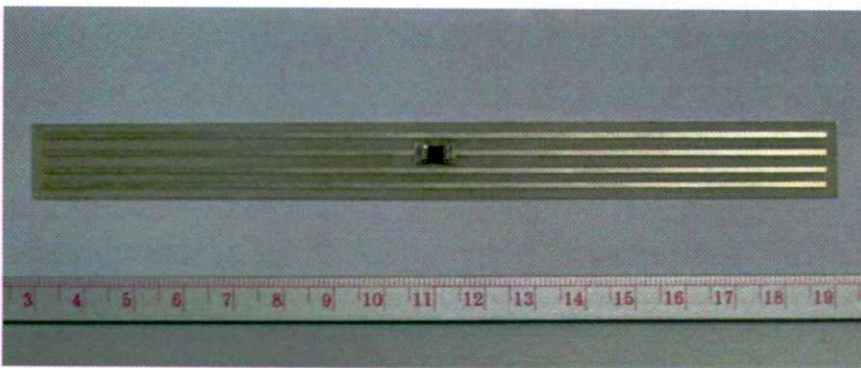
หมายเหตุ : ข้อมูลเพิ่มเติมแสดงใน [34]



รูปที่ 5.3 ไคอะแกรมการทดสอบเพื่อหาค่าระยะการอ่านได้ไกลที่สุดของสายอากาศ

### 5.2.1 ผลการทดสอบระยะการอ่านได้ไกลสุดของสายอากาศไดโพลกับเส้นปรสิต

จากผลการจำลองและศึกษาถึงค่าพารามิเตอร์ที่ดีที่สุด ในบทที่ 3 ของสายอากาศไดโพลกับเส้นปรสิต ในส่วนนี้จะทำการสร้างและนำสายอากาศดังกล่าวมาทำการสร้างและทดสอบระยะทางการอ่านได้ไกลที่สุดของสายอากาศ โดยรูปสายอากาศต้นแบบที่ขึ้นจะแสดงดังรูปที่ 5.4 โดยใช้ค่าพารามิเตอร์ดังตารางที่ 5.3

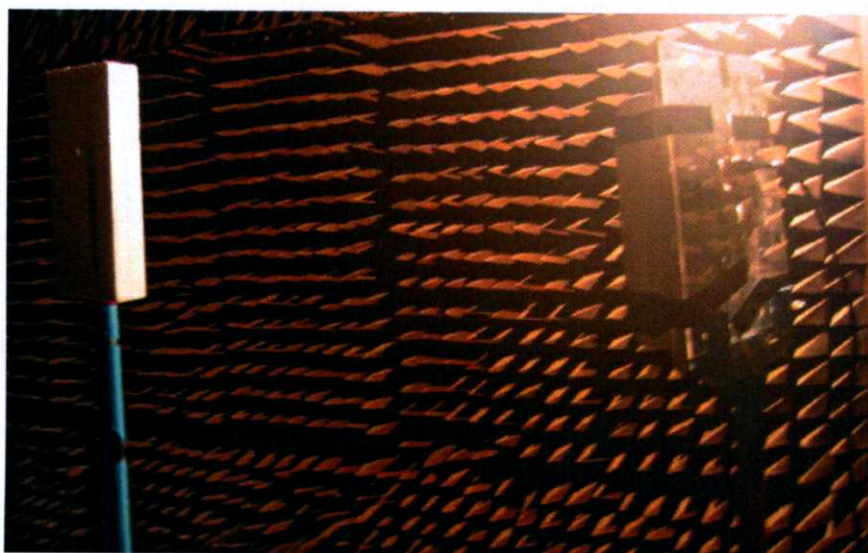


รูปที่ 5.4 รูปถ่ายสายอากาศไดโพลกับเส้นปรสิต

ตารางที่ 5.3 ค่าพารามิเตอร์ต่างๆ ที่ใช้ในการสร้างสายอากาศต้นแบบ

พารามิเตอร์	ขนาดทางกายภาพ (มิลลิเมตร)
$w$	15
$w_s$	4
$w_d$	1
$l_d$	156
$l_s$	3
$l_{dd}$	160
$s$	2
$s_1$	25
$s_2$	2
$h$	0.017

การสร้างสายอากาศจะทำการสร้างโดยใช้พารามิเตอร์แสดงดังตารางที่ 5.3 รูปโครงสร้างของสายอากาศไดโพลกับเส้นปรีตที่สร้างเสร็จแล้วแสดงดังรูปที่ 5.4 โดยระยะทางการอ่านได้ไกลที่สุดจะโดยเครื่องอ่านข้อมูล IE Technology รุ่น (RU-110U) สายอากาศเครื่องอ่านข้อมูลมีโพลาไรซ์แบบวงกลม และมีอัตราขยายเท่ากับ 7.7 dBic จากผลการทดลองระยะการอ่านได้ไกลที่สุดจะมีระยะที่เท่ากับ 2.6 เมตร โดยในรูปที่ 5.5 แสดงการทดสอบเพื่อหาค่าระยะการอ่านได้ไกลที่สุดของสายอากาศไดโพลกับเส้นปรีต



รูปที่ 5.5 รูปถ่ายการทดสอบระยะทางการอ่านได้ไกลที่สุดของสายอากาศไดโพลกับเส้นปรีต

## 5.2.2 ผลการทดสอบระยะการอ่านได้ไกลสุดของสายอากาศควมวขนาดเล็บบนแผ่นพิมพ์อ่อน



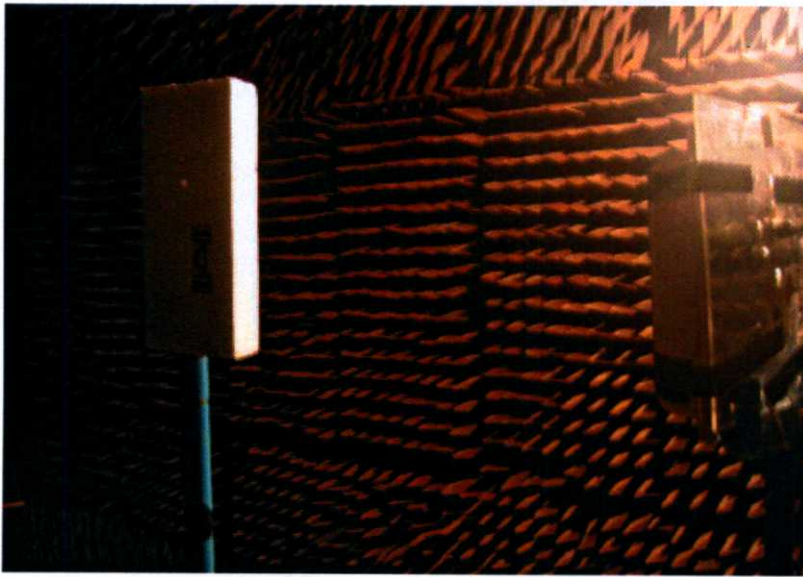
รูปที่ 5.6 รูปถ่ายสายอากาศควมวขนาดเล็บบนแผ่นพิมพ์อ่อน

ในบทที่ 4 จากผลการจำลองและศึกษาค่าพารามิเตอร์ของสายอากาศควมวขนาดเล็บบนแผ่นพิมพ์อ่อน ในส่วนนี้จะนำสายอากาศดังกล่าวมาสร้างและทดสอบ ระยะทางการอ่านได้ไกลที่สุดของสายอากาศ โดยรูปสายอากาศที่สร้างเสร็จแล้วแสดงดังรูปที่ 5.6 โดยสร้างจากค่าพารามิเตอร์ดังตารางที่ 5.4

ตารางที่ 5.4 ค่าพารามิเตอร์ต่างๆ ที่ใช้ในการสร้างสายอากาศต้นแบบขควมวขนาดเล็บบนแผ่นพิมพ์อ่อน

พารามิเตอร์	ขนาดทางกายภาพ (มิลลิเมตร)	พารามิเตอร์	ขนาดทางกายภาพ (มิลลิเมตร)
$w$	30	$t_2$	4
$w_s$	4	$t_3$	2
$w_d$	26	$t_4$	8
$l$	80	$t_5$	1
$l_s$	3	$t_6$	2
$l_d$	76	$s$	2
$l_{ds}$	36	$s_1$	3
$h$	0.017	$s_2$	3
$t$	0.15	$r_i$	9
$t_1$	3	$r_o$	16

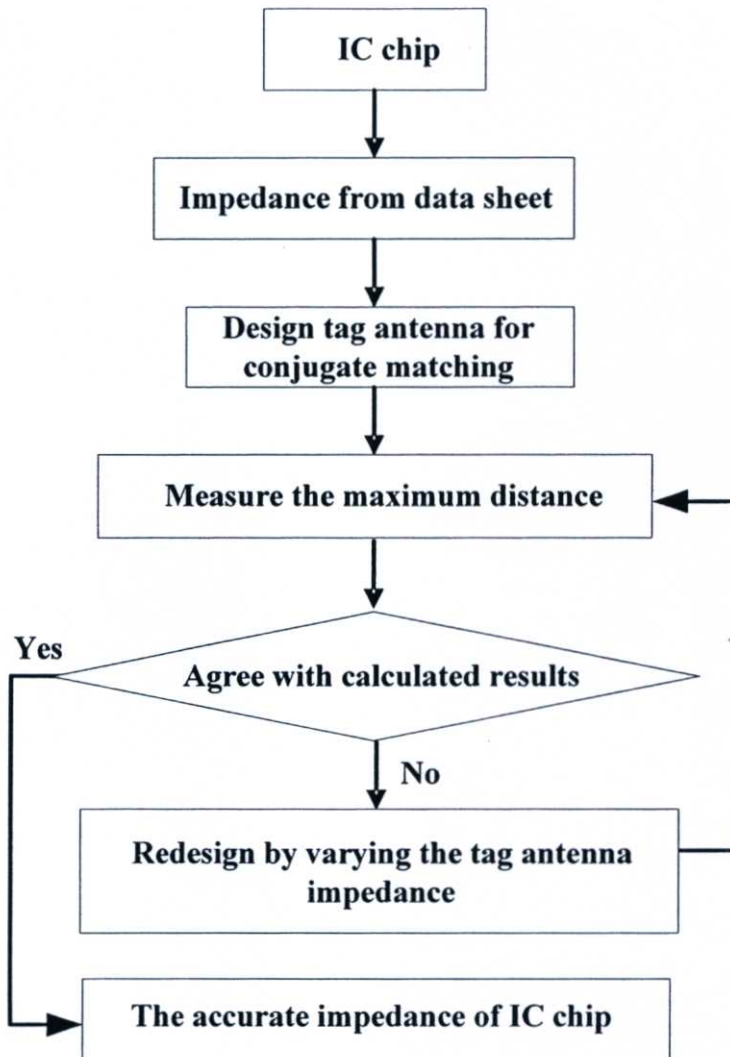
โครงสร้างของสายอากาศควมวขนาดเล็กบนแผ่นพิมพ์อ่อนที่นำมาสร้างนั้นแสดงในรูปที่ 5.6 ซึ่งพารามิเตอร์ของสายอากาศที่ทำกรสร้างจะเป็นไปตามตารางที่ 5.4 โดยการทดสอบระยะการอ่านได้ไกลที่สุดนั้นจะใช้อุปกรณ์ และเครื่องอ่านข้อมูลรุ่นเดียวกันกับสายอากาศไดโพลกับเส้นปรสิติ หรือใช้เครื่องอ่านข้อมูล IE Technology รุ่น (RU-110U) โดยสายอากาศเครื่องอ่านข้อมูลเป็นโพลาไรซ์เชิงวงกลม มีอัตราขยาย 7.7 dBic ในรูปที่ 5.7 แสดงการทดสอบระยะการอ่านได้ไกลที่สุดของสายอากาศควมวขนาดเล็กบนแผ่นพิมพ์อ่อน โดยผลจากการทดสอบระยะการอ่านได้ที่ไกลที่สุดจะมีค่าเท่ากับ 2.3 เมตร



รูปที่ 5.7 การทดสอบระยะการอ่านได้ไกลที่สุดของสายอากาศควมวขนาดเล็กบนแผ่นพิมพ์อ่อน

### 5.3 การประเมินค่าอิมพีแดนซ์ของชิปวงจรรวมเบื้องต้น

ซึ่งสายอากาศแท่งจะต้องถูกออกแบบให้สามารถส่งผ่านพลังงานได้สูงสุดกับชิปแต่ละตัวที่ถูกเลือกใช้งาน ซึ่งชิปวงจรรวมของระบบระบุลักษณะคลื่นวิทยุค่าอิมพีแดนซ์จะแปรผันไปความถี่ที่เราเลือกใช้งานและชิปวงจรรวมที่เราเลือกใช้งานที่ต่างกัน ดังนั้น การศึกษาถึงแนวโน้มความเป็นไปได้ในการนำค่าอิมพีแดนซ์ที่มีความถูกต้องเบื้องต้นจึงมีความจำเป็นอย่างยิ่ง การประเมินในเบื้องต้นนี้จะเริ่มต้นจากการนำเอาพารามิเตอร์ข้อมูลที่ได้จากทางบริษัทมาทำการคำนวณให้มีความเหมาะสมกับย่านความถี่ที่เราต้องการที่จะไปใช้ก่อน หลังจากนั้นจึงทำการสร้างสายอากาศ โดยอาศัยโครงสร้างของสายอากาศที่นำเสนอไปในบทที่ 3 ในการทดสอบความถูกต้องโดยผ่านทางระยะทางการอ่านได้ไกลที่สุด รูปแบบของการทดสอบค่าอิมพีแดนซ์ที่มีความเหมาะสมกับชิปในเบื้องต้นนั้นจะแสดงดังกราฟในรูปที่ 5.8



รูปที่ 5.8 แผนผังรูปแบบการประเมินค่าอิมพีแดนซ์ของชิปวงจรรวมในเบื้องต้น

### 5.3.1 การประเมินค่าอิมพีแดนซ์จากการคำนวณ

กำหนด ตัวประกอบเชิงคุณภาพ ( $Q$ ) = 9 และ ค่าความจุไฟฟ้า = 0.9 พิโคฟารัด [7]  
คำนวณค่าความต้านทาน ของชิปวงจรรวม

$$Q = \frac{1}{\omega_0 RC} \quad (5.2)$$

$$R = \frac{1}{\omega_0 QC} \quad (5.3)$$

$$R = \frac{1}{2\pi fQC} \quad (5.4)$$

$$R = \frac{1}{2\pi(922.5 \times 10^9) \times 9 \times (0.9 \times 10^{-12})} \quad (5.5)$$

$$R = 21.3 \text{ โอห์ม} \quad (5.6)$$

คำนวณค่ารีแอ็กแตนซ์ของชิปวงจรรวม

$$X_C = \frac{1}{j2\pi fC} \quad (5.7)$$

$$X_C = \frac{1}{j2\pi(922.5 \times 10^9) \times (0.9 \times 10^{-12})} \quad (5.8)$$

$$X_C = -j191.7 \text{ โอห์ม} \quad (5.9)$$

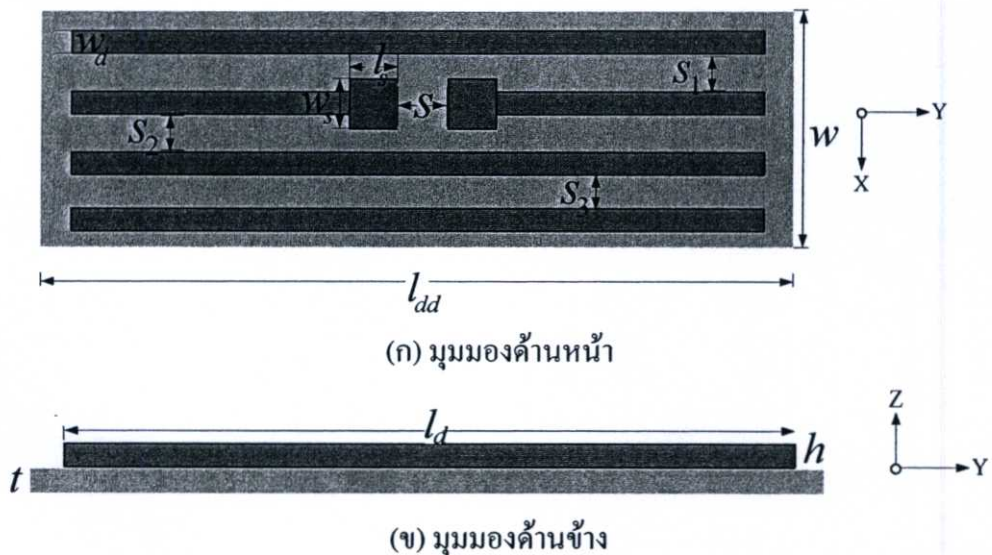
ดังนั้นค่าอิมพีแดนซ์ของชิปมีค่าเท่ากับ 21.3-j191.7 โอห์ม

### 5.3.2 การประเมินค่าอิมพีแดนซ์ของชิปวงจรรวมเบื้องต้นจากชุดสายอากาศไดโพลกับเส้น ปรสิติก

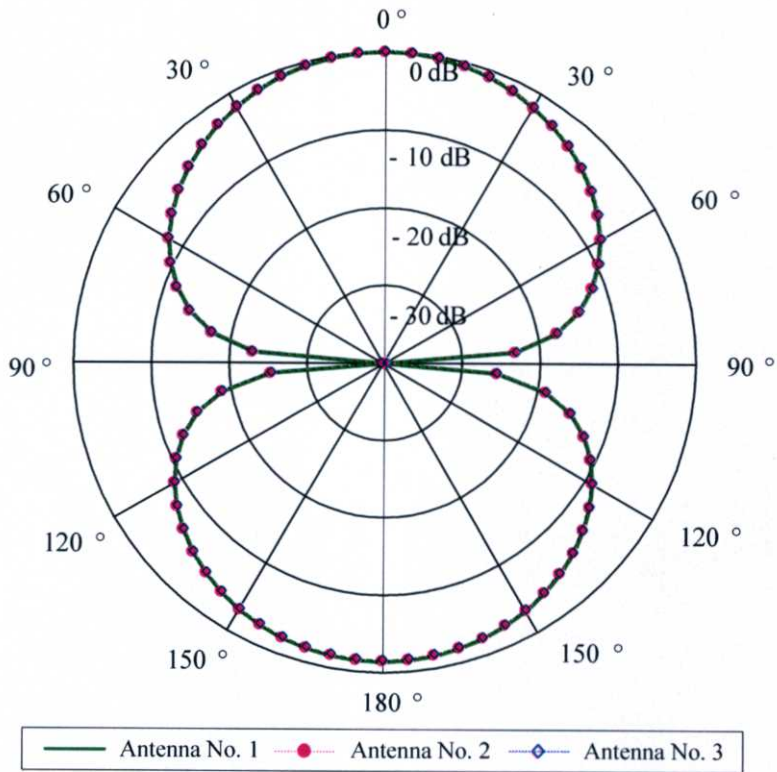
ชุดของสายอากาศที่นำมาประเมินคุณลักษณะของชิปวงจรรวมในเบื้องต้นนั้นจะใช้โครงสร้างของสายอากาศไดโพลกับเส้นปรสิติก แสดงในรูปที่ 5.9 มาทำการปรับเปลี่ยนอิมพีแดนซ์ของสายอากาศให้มีค่าที่ต่างกันออกไปโดยสายอากาศจะถูกสร้างให้มีค่าอิมพีแดนซ์ที่มีความแตกต่างกัน โดยพิจารณาจากค่ารีแอ็กแตนซ์และค่าเปอร์เซ็นต์การส่งผ่านกำลังงานเป็นหลัก โดยสายอากาศจะถูกออกแบบให้มี 1. แนวโน้มของค่ารีแอ็กแตนซ์ที่สูงกว่าชิปวงจรรวม 2. อิมพีแดนซ์ที่ใกล้เคียงกับค่าแมตช์ส่งยุคของชิปวงจรรวมมากที่สุด 3. แนวโน้มของค่ารีแอ็กแตนซ์ที่ต่ำกว่าชิปวงจรรวม โดยลักษณะโครงสร้างของสายอากาศเพื่อทำการทดสอบค่าโดยพิจารณาดังแสดงในรูปที่ 5.9 และมีโครงสร้างดังตารางที่ 5.5

ตารางที่ 5.5 ค่าพารามิเตอร์ต่างๆ ที่ใช้ในการสร้างสายอากาศแท่งชนิดไดโพลกับเส้นปรีตที่นำมาประเมินความถูกต้องของขีปนาวุธรวมเบื้องต้น

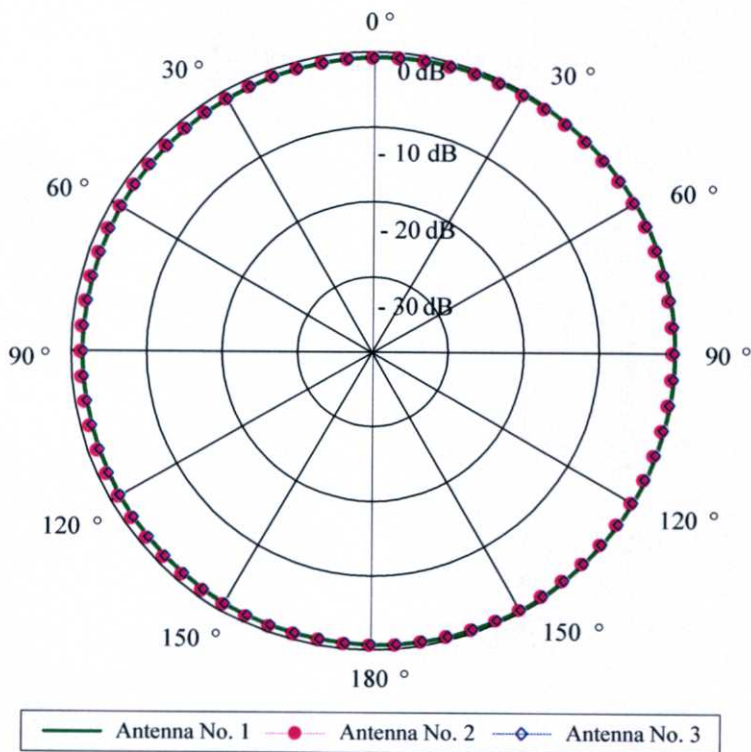
สายอากาศลำดับที่ 1		สายอากาศลำดับที่ 2		สายอากาศลำดับที่ 3	
พารามิเตอร์	ขนาดทางกายภาพ (มิลลิเมตร)	พารามิเตอร์	ขนาดทางกายภาพ (มิลลิเมตร)	พารามิเตอร์	ขนาดทางกายภาพ (มิลลิเมตร)
$w$	13	$w$	13	$w$	13
$w_s$	4	$w_s$	4	$w_s$	4
$w_d$	1	$w_d$	1	$w_d$	1
$l_d$	158	$l_d$	156	$l_d$	154
$l_s$	3	$l_s$	3	$l_s$	3
$l_{dd}$	160	$l_{dd}$	158	$l_{dd}$	156
$s$	2	$s$	2	$s$	2
$s_1$	25	$s_1$	25	$s_1$	25
$s_2$	2	$s_2$	2	$s_2$	2
$h$	0.017	$h$	0.017	$h$	0.017
$t$	0.8	$t$	0.8	$t$	0.8



รูปที่ 5.9 สายอากาศแท่งชนิดไดโพลกับเส้นปรีตที่ทำการนำมาประเมินความถูกต้องของขีปนาวุธรวมเบื้องต้น



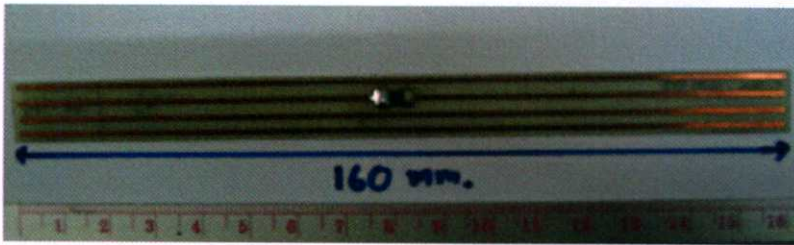
(ก) ระนาบสนามไฟฟ้า (E-plane) หรือระนาบ YZ (YZ-plane)



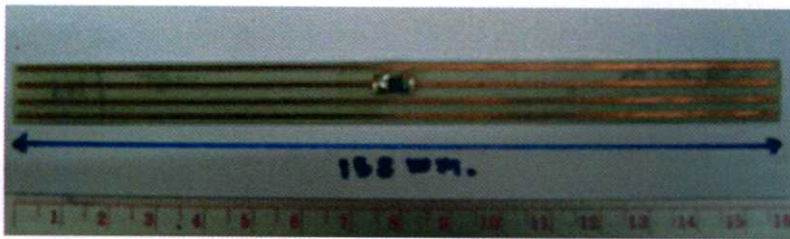
(ข) ระนาบสนามแม่เหล็กหรือระนาบ XZ (XZ-plane)

รูปที่ 5.10 ผลการจำลองแบบรูปการแพร่กระจายคลื่นของชุดสายอากาศที่นำมาประเมินความถูกต้องของซอฟต์แวร์รวมเบื้องต้น

การที่จะต้องใช้สายอากาศที่มีลักษณะทางโครงสร้างที่คล้ายคลึงกันมาทดสอบความถูกต้องในเบื้องต้นซึ่งจะต้องใช้การประเมินจากระยะการอ่านได้ไกลที่สุดนั้น สิ่งที่เป็นก็คือแบบรูปการแพร่กระจายคลื่นของสายอากาศที่นำมาทดสอบนั้นไม่ควรที่จะมีแบบรูปการแพร่กระจายคลื่นที่แตกต่างกัน [35] ในรูปที่ 5.10 แสดงแบบรูปการแพร่กระจายคลื่นของสายอากาศต้นแบบที่นำมาทดสอบทั้งสามตัว จะเห็นได้ว่าแบบรูปการแพร่กระจายคลื่นนั้นมีลักษณะแบบรอบทิศทางเช่นเดียวกัน โดยสายอากาศลำดับ 1 ลำดับที่ 2 และลำดับที่ 3 จะมีความกว้างลำคลื่นที่กำลังงานลดลงครึ่งหนึ่ง (Half-power beamwidth) จะมีค่าเท่ากับ 75.3 75.6 และ 75.8 องศา ตามลำดับ



(ก) สายอากาศไดโพลกับเส้นปรสิคลำดับที่ 1



(ข) สายอากาศไดโพลกับเส้นปรสิคลำดับที่ 2

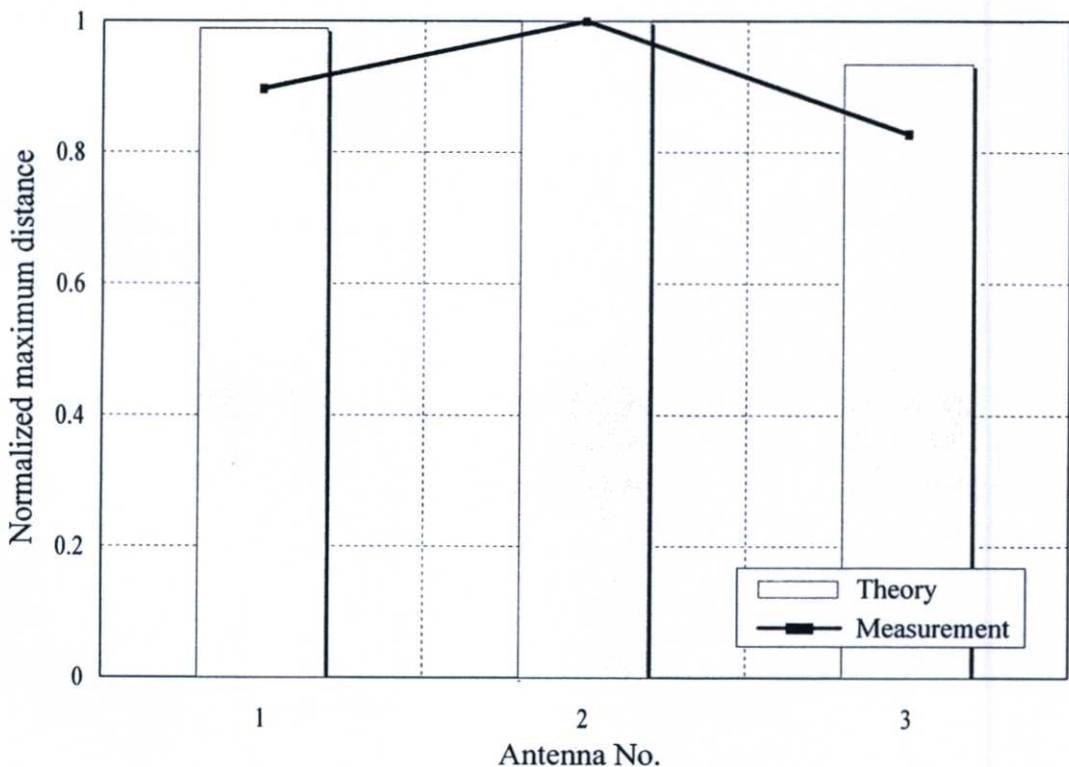


(ค) สายอากาศไดโพลกับเส้นปรสิคลำดับที่ 3

รูปที่ 5.11 ชุดสายอากาศที่นำมาประเมินความถูกต้องของชิปวงจรรวมเบื้องต้น

ตารางที่ 5.4 สรุปสมรรถนะของชุดสายอากาศที่ทำการนำมาประเมินความถูกต้องของชิปวงจรรวมเบื้องต้น ความถี่กลาง 922.5 MHz

ลำดับ สายอากาศ	อิมพีแดนซ์ (โอห์ม)		เปอร์เซ็นต์ การส่งผ่าน กำลังงาน	ค่าสภาพ เจาะจง ทิศทาง	ค่าประสิทธิภาพ ความนำและ ไดอิเล็กตริก
	ความ ต้านทาน	รีแอ็กแตนซ์			
1	24.4	j199.4	96.8	2.57	0.625
2	23	j185.6	98	2.59	0.627
3	21.7	j174	85.5	2.62	0.627



รูปที่ 5.12 กราฟนอร์แมลไลซ์ระยะทางการอ่านได้ไกลที่สุด

จากผลการทดสอบการประเมินความถูกต้องของชิปวงจรรวมเบื้องต้นจะเห็นว่าสายอากาศแท่งที่ออกแบบให้มีความเหมาะสมกับชิปวงจรรวมที่มีอิมพีแดนซ์เท่ากับ  $21.3 + j191.7$

โอห์ม นั้นสายอากาศที่ออกแบบให้เกิดการแผ่ซ่านมากที่สุดนั้นให้ระยะการอ่านที่ไกลที่สุดดังนั้นจะสามารถสรุปได้เบื้องต้นว่าค่าอิมพีแดนซ์ที่นำมาออกแบบนั้นมีความถูกต้อง

#### 5.4 บทสรุป

จากการสร้างและผลการทดสอบสายอากาศแท่งโคโรลาโพลกับเส้นปรสิคและสายอากาศแท่งขนาดเล็กพบว่าสายอากาศสามารถนำมาประยุกต์ใช้งานในระบบระบุลักษณะทางคลื่นวิทยุที่ได้ โดยระยะการอ่านได้อาจจะยังไม่ไกลนักเนื่องมาจากค่ากำลังงานของเครื่องอ่านข้อมูลและเกิดการสูญเสียที่เกิดขึ้นจากการเชื่อมต่อของสายนำสัญญาณระหว่างเครื่องอ่านข้อมูลและสายอากาศของเครื่องอ่านข้อมูล โดยระยะทางการอ่านได้ไกลที่สุดนั้นจะถูกพิจารณาจากสมการการส่งสัญญาณของฟรีส ในช่องว่างอิสระ ในส่วนของการประเมินค่าอิมพีแดนซ์จะพบว่าค่าอิมพีแดนซ์ที่ได้มาจากข้อมูลทางบริษัทน่าจะมีค่าความถูกต้องในเบื้องต้นซึ่งวิธีการประเมินความถูกต้องเบื้องต้นของชิปวงจรรวมดังกล่าวสามารถนำไปประยุกต์ใช้สำหรับชิปวงจรรวมชนิดอื่นหรือในรูปแบบอื่นได้เช่นกัน

## บทที่ 6

# สรุปผลการวิจัยและข้อเสนอแนะ

### 6.1 บทนำ

กล่าวถึงการสรุปเนื้อหาโดยรวม หลักการออกแบบสายอากาศปัญหาที่เกิดขึ้นพร้อมทั้งวิธีแก้ไขปัญหาในเบื้องต้น สรุปข้อดีและข้อเสียของสายอากาศแบบต่างๆพร้อมทั้งเสนอแนวทางการพัฒนาสายอากาศต่อ

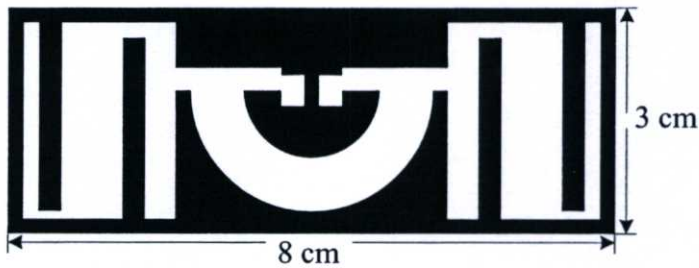
### 6.2 สรุปผลการวิจัย

วิทยานิพนธ์นี้นำเสนอหลักการออกแบบสายอากาศสำหรับใช้ในระบบระบุลักษณะทางคลื่นวิทยุย่านความถี่สูงยิ่ง ที่เป็นไปตามมาตรฐานทางความถี่การใช้งานระบบระบุลักษณะทางย่านความถี่สูงยิ่งของประเทศไทยที่ย่านความถี่ 920-925 MHz โดยสายอากาศจะถูกออกแบบให้มีความเหมาะสมกับชิปวงจรรวมรุ่น NXP G2XL ที่มีค่าอิมพีแดนซ์เท่ากับ  $21.3-j191.7$  โอห์ม โครงสร้างเริ่มต้นของสายอากาศแต่ละตัวนั้นจะเริ่มต้นพิจารณาจากสายอากาศสตริปโคโรลก่อนหลังจากนั้นจึงปรับปรุงค่าอิมพีแดนซ์ของสายอากาศด้วยการศึกษาโครงสร้างของสายอากาศจากงานวิจัยที่มีมาก่อน สายอากาศโคโรลกับเส้นปรสิคได้ถูกนำเสนอเป็นสายอากาศตัวแรกเนื่องจากมีโครงสร้างที่ง่ายและไม่ซับซ้อนในการศึกษา โดยสายอากาศดังกล่าวจะสามารถปรับค่าอิมพีแดนซ์ให้เหมาะสมกับชิปวงจรรวมได้โดยง่าย สามารถส่งถ่ายพลังงานไปยังชิปได้ 98.56% โดยมีค่าอิมพีแดนซ์พิจารณาที่ความถี่กลางที่ 922.5 MHz เท่ากับ  $23.43+j186.7$  โอห์ม มีแบบรูปการแพร่กระจายคลื่นเป็นแบบรอบทิศทาง มีระยะการอ่านได้ไกลที่สุด 2.6 เมตร เนื่องจากโครงสร้างของสายอากาศโคโรลกับเส้นปรสิคสามารถที่จะปรับค่าอิมพีแดนซ์ได้ง่าย ดังนั้นสายอากาศดังกล่าวจึงถูกนำมาประเมินความถูกต้องของค่าอิมพีแดนซ์ของชิปในเบื้องต้น โดยทำการสร้างสายอากาศที่มีอิมพีแดนซ์ใกล้เคียงชิปวงจรรวมสามตัว โดยมีค่าความต้านทานที่ใกล้เคียงกัน แต่ทำการเปลี่ยนค่ารีแอ็กแตนซ์ของสายอากาศเป็นสามค่า คือ 1. มีค่าใกล้เคียงชิปวงจรรวม (การส่งผ่านกำลังงานสูงสุด คำนวณฐานข้อมูลจากทางบริษัท) 2. มีค่ามากกว่าชิปวงจรรวม 3. มีค่าน้อยกว่าชิปวงจรรวม โดยจากการทดสอบจะพบว่า ข้อมูลการทดสอบและข้อมูลการทดลองมีความสอดคล้องกันคือสายอากาศที่ออกแบบให้เหมาะสมกับ ชิปวงจรรวมมากที่สุดจะได้ระยะการอ่านที่ไกลที่สุด ดังนั้นจึงสามารถสรุปได้ว่าค่าอิมพีแดนซ์ที่นำมาออกแบบนั้นมีความถูกต้องในเบื้องต้น ในส่วนต่อมาเป็นการนำเสนอสายอากาศขดคววนขนาดเล็กบนแผ่นพิมพ์อ่อน สายอากาศดังกล่าวถูกนำเสนอโดยการออกแบบจะใช้ชิปรุ่น NXP G2XL เช่นเดียวกับสายอากาศโคโรลกับเส้นปรสิคในครั้งแรก โดยสายอากาศจะมีขนาดความยาวทางกายภาพที่เล็กลงด้วย

โครงสร้างของการขดขดและใช้หลักการลัดวงจรช่วยในการปรับปรุงค่าอิมพีแดนซ์ และสร้างบนวัสดุฐานรอง FR-4 ชนิดอ่อน โดยสายอากาศจะมีค่าอิมพีแดนซ์ที่ความถี่กลาง 922.5 MHz เท่ากับ  $18.59 + j197.1$  โอห์ม และมีค่าการส่งผ่านกำลังงานเท่ากับ 97.7% มีแบบรูปการแพร่กระจายคลื่นแบบรอบทิศทาง และมีระยะการอ่านได้ไกลที่สุดเท่ากับ 2.3 เมตร โดยโครงสร้างของสายอากาศที่ได้ทำการออกแบบทั้งสองโครงสร้างจะแสดงในรูปที่ 6.1



(ก) สายอากาศแท่งไคโพลกับเส้นปรสิติ



(ข) สายอากาศแท่งขดขดขนาดเล็กบนแผ่นพิมพ์อ่อน

รูปที่ 6.1 โครงสร้างสายอากาศที่ทำการออกแบบ

### 6.3 ข้อดี ข้อเสีย ข้อเสนอแนะ และแนวทางการพัฒนา

จากการสร้างและการทดสอบสายอากาศจะเห็นได้ว่าสายอากาศสามารถนำมาใช้ในระบบระบุลักษณะทางคลื่นวิทยุ ได้แก่สายอากาศแท่งชนิดไคโพลกับเส้นปรสิติอาจจะยังมีขนาดใหญ่ แต่ข้อดีของสายอากาศดังกล่าวคือความสะดวกในการปรับเปลี่ยนค่าอิมพีแดนซ์และมีโครงสร้างที่ง่ายสำหรับการนำไปศึกษาการออกแบบสายอากาศแท่งในเบื้องต้น โดยโครงสร้างของแท่งดังกล่าวจะมีประโยชน์ต่อการหาค่าอิมพีแดนซ์ที่มีความถูกต้องเบื้องต้น แต่การที่สายอากาศไคโพลกับเส้นปรสิติยังมีขนาดยาวและสร้างบนวัสดุฐานรองที่มีความหนา 0.8 มิลลิเมตร การนำไปใช้งานจริงก็จะต้องเลือกการนำไปใช้งานให้เหมาะสมดังเช่นใช้กับวัสดุที่มีขนาดใหญ่และมีพื้นผิวระนาบเรียบ ไม่โค้งงอ ส่วนสายอากาศขนาดเล็กที่สร้างบนวัสดุฐานรองชนิดอ่อน อาจจะปรับปรุงคุณลักษณะให้ดีขึ้นด้วยการใช้โปรแกรมในการหาค่าที่เหมาะสมที่สุดเนื่องจากมีพารามิเตอร์เป็นจำนวนมาก แต่สายอากาศที่นำเสนอนี้เป็นรูปแบบโครงสร้างอีกรูปแบบหนึ่งที่มีความเหมาะสมกับการนำมาใช้งานกับชิปรุ่น NXP G2XL และเนื่องจากวิธีการที่นำเสนอโครงสร้างของสายอากาศขดขดขนาดเล็กบนแผ่นพิมพ์อ่อนนั้นเป็นเพียงแค่โครงสร้างของ

สายอากาศแท่งรูปแบบหนึ่งที่ออกแบบโดยใช้เทคนิคของการเพิ่มความยาวทางไฟฟ้าและการลัดวงจร ซึ่งอาจจะยังมีโครงสร้างและเทคนิคในรูปแบบอื่นที่สามารถให้คุณลักษณะที่เหมาะสมกับชิปวงจรรวมได้เช่นกัน

ระยะการทำงานนั้นอาจจะเห็นได้ว่ายังมีระยะการทำงานที่ไม่ไกลก็เนื่องมาจากกำลังงานส่งของเครื่องอ่านข้อมูลนั้นไม่สูงมาก ซึ่งถ้าหากต้องการระยะการอ่านที่ไกลเพิ่มขึ้นทางหนึ่งสามารถทำได้โดยใช้เครื่องอ่านข้อมูลที่มีกำลังงานส่งเพิ่มขึ้น

วิธีการประเมินค่าอิมพีแดนซ์ของชิปเบื้องต้น โดยหลักการดังกล่าวยังคงเป็นเพียงการประเมินผลที่ปลายทางเท่านั้น แต่ก็สามารถยืนยันความถูกต้องได้ในเบื้องต้น ซึ่งในปัจจุบันการออกแบบสายอากาศแท่งโดยมากก็จะเป็นการอ้างอิงค่าอิมพีแดนซ์ที่ได้มาจากข้อมูลจากทางบริษัท ซึ่งยังไม่มีการทดสอบค่าอิมพีแดนซ์ยืนยันและทดสอบได้ว่าที่มีความแน่นอนและถูกต้อง 100 % โดยเฉพาะชิปบางรุ่นนั้นมีโครงสร้างบางส่วนที่ถูกใส่เพิ่มเติมขึ้นมาเพื่อให้มีความเหมาะสมกับการใช้ในการยึดติดกับสายอากาศแท่ง เช่นชิปรุ่น XRAG 2 ดังนั้นวิธีที่ได้ทำการนำเสนอไปอาจจะเป็นประโยชน์กับผู้ที่ทำการออกแบบสายอากาศแท่งต่อไป

แนวทางการพัฒนางานวิจัยต่อคือ การศึกษาและค้นคว้าวิธีการทดสอบค่าอิมพีแดนซ์ที่มีความถูกต้องมากขึ้นสำหรับนำไปทดสอบทั้งสายอากาศและชิปวงจรรวม และในส่วน โครงสร้างของสายอากาศอาจจะเป็นการศึกษาโดยการนำไปออกแบบบนวัสดุฐานรองชนิดอื่นให้มีความเหมาะสมกับการนำไปใช้งานในระบบระบุลักษณะทางคลื่นวิทยุจริงมากขึ้น และสิ่งที่มีความน่าสนใจเป็นอย่างยิ่งอีกส่วนหนึ่งคือการศึกษาถึงผลกระทบของสิ่งแวดล้อมและผลกระทบจากการนำแท่งไปใช้งานกับวัสดุที่สนใจ [36] และการพัฒนาสายอากาศแท่งให้นำไปใช้ได้ในงานที่มีความจำเพาะเจาะจงเช่นการนำไปใช้งานกับวัสดุที่เป็น โลหะ เป็นต้น

## บรรณานุกรม

- [1] Z. N. Chen, **RFID tag antenna, antennas for portable devices**, England, John Wiley & Sons, 2007.
- [2] J. Bank, D. Hanny, M.A. Pachano, L.G. Thompson, **RFID applied**, New Jersey, John Wiley & Sons, 2007.
- [3] K. Finkenzeller, **RFID Handbook: Radio-Frequency Identification fundamentals and applications**. New York: John Wiley & Sons, 1999.
- [4] D. M. Dobkin, **The RF in RFID passive UHF in practice**, United States of America, Newnes, 2008
- [5] สำนักงานคณะกรรมการกิจการโทรคมนาคมแห่งชาติ      มาตรฐานทางเทคนิคของเครื่องโทรคมนาคมและอุปกรณ์ เครื่องวิทยุคมนาคมประเภท RFID Frequency Identification: RFID 17 มกราคม 2551
- [6] K. V. S. Rao, P. V. Nikitin, S. F. Lam, “**Impedance matching concepts in RFID transponder design**,” Fourth IEEE Workshop on Automatic Identification Advanced Technologies (AutoID'05), pp.39-42, 2005.
- [7] NXP Semiconductors, Ultra High Frequency smart label ICs [online] Available [www.nxp.com/acrobat\\_download/literature/9397/75016225.pdf](http://www.nxp.com/acrobat_download/literature/9397/75016225.pdf)
- [8] Available <http://detail.en.china.cn/provide/detail,1077002120.html>
- [9] Available <http://www.adcnordic.com/news/intermec-ip30-rfid-reader.php>
- [10] G. Marrocco, “**The art of UHF RFID antenna design: impedance matching and size-reduction techniques**,” IEEE Antennas Propagation Magazine., vol. 50, no. 1, pp. 66-79, 2008.
- [11] A. Rida, L. Yang, R. Vyas, S. Bhattacharya, and M. M. Tentzeris, “**Design and integration of inkjet-printed paper-based UHF components for RFID and ubiquitous sensing applications**,” Proc. 2007 IEEE European Microwave Conference, Munich, Germany, Oct. 2007.
- [12] P. Raunonen et al., “**Folded dipole antenna near metal plate**,” in Proc. IEEE Antennas Propagat. Soc. Int. Symp., vol. 1, pp. 848–851, June 2003.
- [13] J. D. Griffin, G. D. Durgin, A. Haldi and B. Kippelen, “**RF tag antenna performance on various materials using radio link budgets**,” IEEE Antennas and Wireless Propagation Letters, vol. 5, pp. 247 – 250, Dec. 2006.

- [14] Available <http://www.cisco.com/en/US/docs/solutions/Enterprise/Mobility/wifich6.html>
- [15] Available <http://www.cardpress.ru/acsess.htm>
- [16] Available <http://animals.howstuffworks.com/pets/pet-travel/pet-microchip1.htm>
- [17] Available <http://www.rfleader.com>
- [18] Available <http://www.omni-id.com>
- [19] Available <http://www.ti.com/rfid/>
- [20] Available [http://www.mdt.cn/index11/production\\_show.asp?id=77](http://www.mdt.cn/index11/production_show.asp?id=77)
- [21] Available [http://www.maxei.co.jp/products/coc/eng-smal\\_chip.html](http://www.maxei.co.jp/products/coc/eng-smal_chip.html)
- [22] K.V.S. Rao, P.V. Nikitin and S.F. Lam, “**Antenna design for UHF RFID tags: a review and a practical application,**” IEEE Trans. Antennas Propagat., vol. 53, no. 12, pp. 3870-2876, Dec. 2005.
- [23] P. V. Nikitin, K. V. S. Rao, S. F. Lam, V. Pillai, R. Martinez, and H. Heinrich, “**Power reflection coefficient analysis for complex impedances in RFID tag design,**” IEEE Trans. Microw. Theory Tech., vol. 53, no. 9, pp. 2715 – 2721, Sep. 2005.
- [24] J. D. Griffin, “**A radio assay for the study of radio frequency tag antenna performance,**” Master’s Thesis, Georgia Institute of Technology, Atlanta, 2005.
- [25] P. R. Foster and R. A. Burberry, “**Antenna problems in RFID systems,**” IEE Colloquim on RFID, October. 1999, pp. 3/1-3/5.
- [26] Y.Tikhov, Y.Kim, and Y.H. Min, “**Compact low cost antenna for passive RFID transponder,**” IEEE Antennas and Propagation Society International Symposium 2006, pp.1015-1018, July 2006.
- [27] P. Wongsiritorn and C. Phongcharoenpanich, “**A tapered-meander-line antenna for UHF RFID tag,**” Proc. APSAEM08, pp. 322-325, July 2008.
- [28] Y.Tikhov, Y.Kim, and Y.H. Min, “**A novel small antenna for passive RFID transponder,**” Microwave Conference European, Vol 1, Oct. 2005.
- [29] Y. Yamada, W.H. Jung and N. Michishita, “**Extremely small antennas for RFID tags,**” Proc. 10<sup>th</sup> IEEE Singapore International Conference, pp. 1-5, Oct. 2006.
- [30] H.K.Ryu and J.M. Woo, “**Small-sized square loop antenna using meander line for RFID tag applications,**” Proc. IEEE Antennas and Propagation International Symposium , pp. 2463-2466, June 2007

- [31] P.V. Nikitin, K. V. S.Rao, R.Martinez, and S.F. Lam, "**Sensitivity and impedance measurements of UHF RFID chips,**" IEEE Transactions on Microwave Theory and Techniques [Accepted for future publication on 2009]
- [32] CST-Microwave Studio, User's manual, 2006
- [33] Available <http://www.iet.co.th>
- [34] R.Suwalak, "**Elliptical patch antenna on double-layer plate fed by probe for reader of RFID system at UHF band,**" Master's Thesis, Mongkut's Institute of Technology Ladkrabang , Thailand, 2008.
- [35] G. Marrocco, "**Multiport sensor RFIDs for wireless passive sensing of objects-basic theory and early results**" IEEE Trans. Antennas Propag., vol. 56, no. 8, pp. 2691 – 2702, Aug 2008.
- [36] D. M. Dobkin and S. M. Weigand, "**Environmental effects on RFID tag antennas,**" in Proc. IEEE Int. Microw. Symp., pp. 135 – 138, June. 2005.

**ภาคผนวก**

**ผลงานวิจัยที่ได้รับการตีพิมพ์เผยแพร่**

2

2009 6th International Conference  
on Electrical Engineering/Electronics,  
Computer, Telecommunications,  
and Information Technology

# ECTI-CON 2009

May 6th - 9th, 2009

Ambassador City Jomtien  
Pattaya, Chonburi, Thailand

ISBN 978-1-4244-3388-9  
IEEE Catalog Number: CFP0906E  
Library of Congress: 2008910219



**NECTEC**  
a member of NSTDA

**IEEE**  
THAILAND SECTION

- A Study on the Triple Band(DCS, PCS, UPCS) Internal Chip Antenna 778  
*Sungil Park, Younghuk Ko, Hyeonjin Lee, and Yeongseog Lim*

**Session TPM1-2 : Antenna & Propagation II**

- A Wideband Bidirectional Antenna Using Truncated Circular Sector Fed by Rectangular Monopole 782  
*T. Tipsawate, C. Phongcharoenpanich, and S. Kosulvit*
- Finding Capability Enhancement for 360-degree DOA Finder 786  
*N. Sangmanee, P. Uthansakul, R. Wongsan, and M. Uthansakul*
- Dual V shape Slot microstrip Antenna for a bi- and uni-directional radiation pattern 790  
*Tanawat Pantui, Chatchai Suppitaksakul, and Paitoon Raktlua*
- UHF-RFID Tag Antenna Design Using Dipole with Parasitic Lines 794  
*P. Wongsiritom, C. Phongcharoenpanich, D. Torrungrueng, and M. Krairiksh*

**Session TPM2-2 : Communication & Information Theory**

- Tighter Upper Bounds for Terminated Convolutional Codes in Rayleigh Fading Channels 800  
*Pushpika Wijesinghe, Upul Gunawardana, and Ranjith Liyanapathirana*
- Fast Simulation of Turbo Codes over Rayleigh Fading Channels 804  
*Upul Gunawardana, Kim Chi Nguyen, and Ranjith Liyana-Pathirana*
- A Novel formulation of Hamming Code 808  
*A. Ahmadpour, A. Ahadpour Shal, and M. Ziabari*
- Accelerating Asymmetric-Key Cryptography using Parallel-key Cryptographic Algorithm (PCA) 812  
*Thongpon Teerakanok and Sinchai Kamolphiwong*
- Path Loss Modeling in Durian Orchard for Wireless Network at 5.8 GHz 816  
*K. Nuangwongsa, K. Phaebua, T. Lertwiryaprapa, C. Phongcharoenpanich, and M. Krairiksh*

**Session TPM3-2 : Microwave Theory and Technique I**

- Applications of the Modified Extended ZY T-Chart for Problems Associated with CCITLs with Active Characteristic Impedances 822  
*Kanokwan Vudhivorn, Danai Torrungrueng, and Tuptim Angkaew*
- Graphical Tool in Analysis of Active Loaded Transmission Lines 826  
*Chatpol Lertsimit and Danai Torrungrueng*
- Microwave Planar Circuit Design Tool in the Teaching of Microwave Engineering 830  
*Sommart Khamkleang and Somsak Akatimagool*
- Ultra-Compact Wideband Ka-Band CMOS Hybrid Ring 834  
*M. Chirala and C. Nguyen*
- Design of an Ultra-Wideband Power-Efficient Distributed Low-Noise Amplifier 836  
*X. Guan and C. Nguyen*

# UHF-RFID Tag Antenna Design Using Dipole with Parasitic Lines

P. Wongsiritorn<sup>1</sup>, C. Phongcharoenpanich<sup>1</sup>, D. Torrungrueng<sup>2</sup> and M. Krairiksh<sup>1</sup>

<sup>1</sup>Faculty of Engineering, King Mongkut's Institute of Technology Ladkrabang, Bangkok 10520 Thailand.

E-mail: kpchuwon@kmitl.ac.th, kkmonai@kmitl.ac.th

<sup>2</sup>Faculty of Engineering and Technology, Asian University, Chon Buri 20150, Thailand.

E-mail: dtg@asianust.ac.th

**Abstract-** This paper presents the RFID tag antenna design for the frequency band of 920-925 MHz corresponding to the standard of UHF RFID in Thailand. An importance for design the tag antenna is that the impedance of the tag antenna must be conjugately matched with the impedance of the IC chip for the maximum power transfer from the tag antenna to the IC chip. The tag antenna can be easily designed and easy to adjust for its input impedance.

## I. INTRODUCTION

Nowadays, the RFID systems are used in many applications such as logistics, supply chain, access control, product management in warehouse and many others [1]. Therefore, many countries including Thailand have used these systems in many applications, and the demand increases all the times. The RFID systems are generally distinguished into four frequency ranges; i.e., low frequency (125-134.2 kHz), high frequency (13.56 MHz), ultra high frequency (433, 860-960 MHz) and microwave frequency (2.45, 5 GHz). The standards of the UHF RFID are different for each country [2]. For example, the UHF RFID in Thailand employs the frequency range between 920 and 925 MHz, where the center frequency is 922.5 MHz [3]. The RFID systems use wireless radio communication technologies to uniquely identify tagged objects. There are three basic parts, namely tag, reader and controller. The tag is composed of electronics chip and antenna. The reader consists of an antenna, RF electronics module and electronics module controller. The controller is either PC or workstation, and it is used with controlled software [4].

The investigations of tag antennas for UHF-RFID systems are very active research topic. Generally, the antenna design for RFID systems uses some specific antenna types, such as dipole antennas, patch antennas and many others [5]. It is known that IC chip have complex input impedances, and their impedances are varied with frequency. One important point for tag antenna design is that the tag antenna must be conjugately matched with the desired IC chip for the maximum power transfer [1-5]. For this reason, this paper presents the antenna structure that is easy to adjust its input impedance, and convenient to design and fabricate.

This paper is organized as follows. Section II presents tag antenna design. Antenna characteristics and fabrication and measurement are illustrated in Sections III and IV, respectively. Finally, Section V provides conclusions.

## II. TAG ANTENNA DESIGN

The objective of tag antenna design is to obtain high communication performance with increasing the maximum read range. For the maximum power transfer from the tag antenna ( $P_{tag-ant}$ ) to the IC chip ( $P_{tag-chip}$ ), the real part of tag antenna impedance ( $R_A$ ) must be equal to the real part of the IC chip impedance ( $R_T$ ), and the imaginary part of the tag antenna impedance ( $X_A$ ) must be added with the imaginary part of the IC chip impedance ( $X_T$ ) to obtain null value (conjugate matching). This can be readily seen in the following equation [1].

$$P_{tag-chip} = \left[ 1 - \frac{|Z_T - Z_A^*|^2}{|Z_T + Z_A|^2} \right] P_{tag-ant} \quad (1)$$

where  $Z_T = R_T + jX_T$  is the IC chip impedance, and the tag antenna impedance is  $Z_A = R_A + jX_A$ . The impedance of the NXP G2XL IC chip from the data sheet in [7] is approximately  $21.3-j191.7 \Omega$  at the frequency of 922.5 MHz. Therefore, it aims to design the tag antenna such that its impedance is close to  $21.3+j191.7 \Omega$ .

For the first design, the dipole antenna in Fig. 1 is used because the structure is easy to design. It is designed on FR-4 substrate ( $\epsilon_r = 4.3$ ,  $\tan \delta = 0.025$ , thickness = 0.764 mm). The gap ( $s_g$ ) between the radiating patch is fixed at 2 mm. Subsequently, the length ( $l_w$ ) of the conventional dipole antenna is varied to seek for the appropriated impedance where the length ( $l_w$ ) is 3 mm, and the width ( $w_w$ ) is fixed at 4 mm to match with the chip configuration.

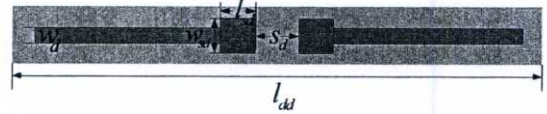
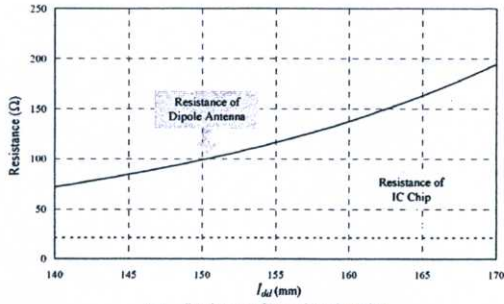
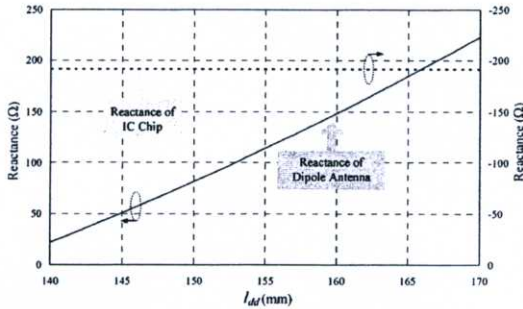


Figure 1. The conventional dipole antenna.



(a) Resistance for various lengths.



(b) Reactance for various lengths.

Figure 2. The impedance of the conventional dipole antenna for various lengths at 922.5 MHz.

In Fig. 2, the impedance of the conventional dipole antenna simulated by using CST [8] varies with the dipole length. From this structure, the resistance of the conventional dipole antenna is too high to obtain the opposite reactance of the IC chip. Therefore, parasitic lines are applied to adjust the resistance of the antenna as shown in Fig. 3.

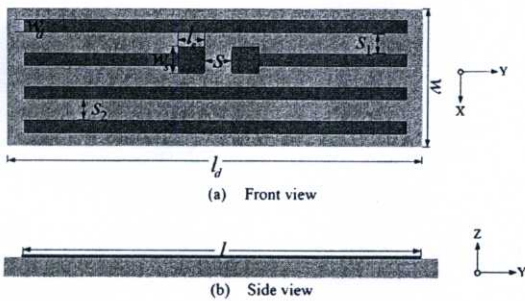
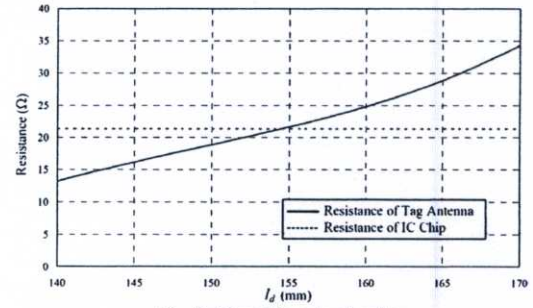


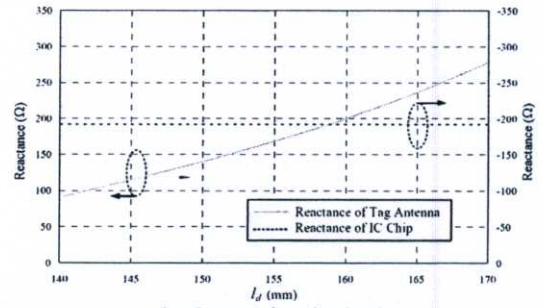
Figure 3. Proposed antenna structure.

The structure and dimension of the proposed antenna are illustrated in Fig. 4. The antenna contains three symmetrical parasitic lines with identical length. The number of parasitic

lines can be appropriately adjusted such that its input resistance is close to  $21.3\Omega$ . In addition, the length of the parasitic line can be used to adjust the resistance of the tag antenna. Each parasitic line possesses the width ( $w_p$ ) of 1 mm, respectively. All antenna parameters are tabulated in Table I. The length ( $l$ ) of the antenna is varied to determine the appropriate impedance. Figure 4 illustrates variations of the impedance of the proposed tag antenna to its length. Figure 4(a) shows the simulated resistance when the length of the proposed tag antenna is varied. It is observed from Fig. 4(b) that the increasing of the reactance of the proposed tag antenna is occurred when the length is increased. From Fig. 4, the proper length of the proposed antenna is chosen as  $l=156$  mm resulting in the impedance of  $23.43+j186.7 \Omega$ , which is close to the conjugate of the IC chip impedance.



(a) Resistance for various lengths.



(b) Reactance for various lengths.

Figure 4. The impedance of the proposed tag antenna for various lengths.

TABLE I  
ANTENNA PARAMETERS

Parameters	Physical Size (mm)
$w$	15
$w_s$	4
$w_d$	1
$l$	156
$l_p$	3
$l_d$	160
$s$	2
$s_1$	25
$s_2$	2

III. ANTENNA CHARACTERISTICS

The simulation of the antenna characteristics (radiation pattern, impedance, directivity and return loss) at 922.5 MHz will be reported in this section. From the design of the proposed antenna, the tag antenna was simulated by using parameters in Table I.

A. Radiation Pattern

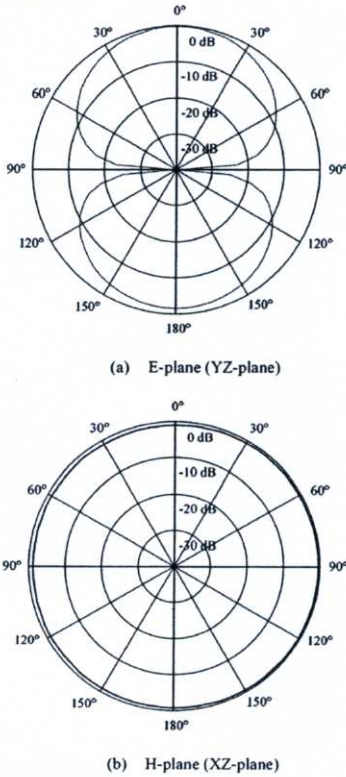


Figure 5. Simulated radiation pattern.

The radiation pattern is plotted for both E-plane and H-plane. Figure 5 (a) shows the simulated result of the radiation pattern in the E-plane (YZ-plane). From Fig. 5(a), it is obvious that the radiation pattern of the proposed tag antenna is omnidirectional beam with the vertical half-power beamwidth of 76.7°. In addition, Figure 5(b) illustrates the radiation pattern in the H-plane (XZ-plane). It is found that the beam is rotational symmetry along the X-axis.

B. Impedance Characteristics

In this section, the impedance characteristics as a function of the frequency are shown in Fig. 6. Note that the resistance of the tag antenna varies between 17.3 Ω and 28.7 Ω for the

frequency range between 860 MHz and 960 MHz, which is in neighborhood of the resistance of the IC chip which varies between 20.5 Ω and 22.9 Ω. Note that the reactance of the tag antenna increases with the frequency between 125.9 Ω and 232.3 Ω. The impedance at the frequency of 922.5 MHz is equal to 23.43+j186.7 Ω.

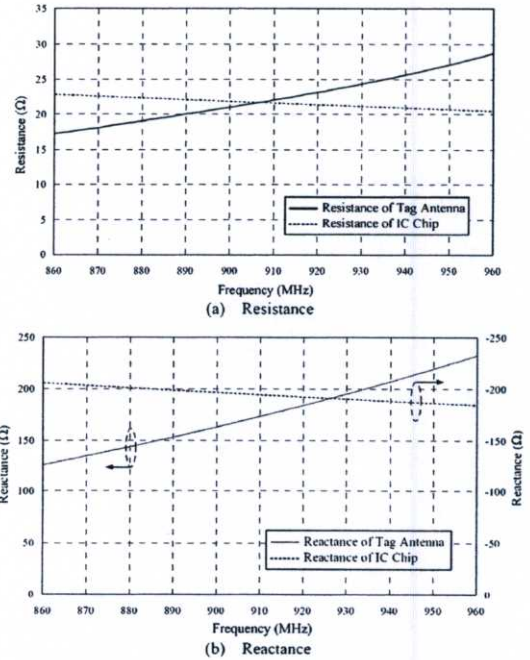


Figure 6. Impedance of the proposed tag antenna.

C. Directivity

In Fig. 7, the directivity of the proposed tag antenna is decreased with the frequency. Note that the directivity of the antenna is equal to 2.53 dB at the frequency of 922.5 MHz.

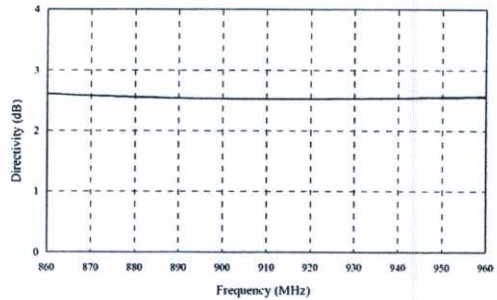


Figure 7. Directivity of the proposed tag antenna.

#### D. Return Loss

Figure 8 shows the return loss of the proposed tag antenna. Note that the half-power bandwidth (return loss less than -3 dB) of the proposed antenna covers the frequency range of 887-960 MHz, which cover the operating frequency of UHF RFID in Thailand (920-925 MHz).

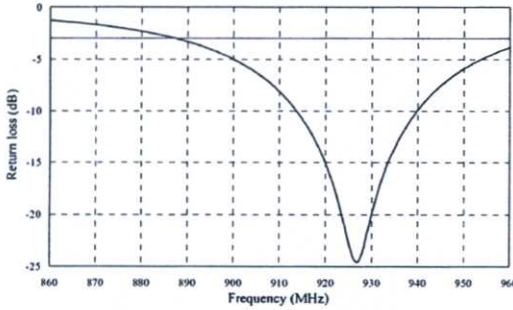


Figure 8. Return loss of the proposed tag antenna.

#### IV. FABRICATION AND MEASUREMENT

The prototype antenna was fabricated by using parameters in Table I. The photograph of the proposed antenna is depicted in Fig. 9. The maximum read range was measured by using IE Technology Reader (RU-110U). The reader antenna radiates circular polarization, and the gain of the reader antenna is 7.7 dBi. The obtained maximum read range is 2.6 m.

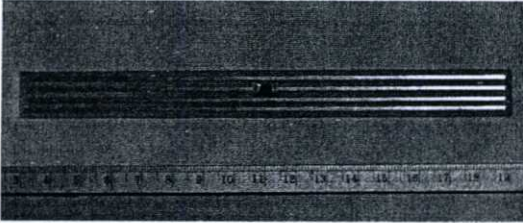


Figure 9. Photograph of the prototype antenna.

#### V. CONCLUSIONS

The tag antenna for the UHF-RFID system is presented in this paper. The length and the number of the parasitic lines are appropriately adjusted for impedance matching. The appropriate impedance of the tag antenna for conjugate matching with the IC chip impedance is found to be  $21.3 + j191.655 \Omega$ . The impedance of the presented tag antenna is  $23.43 + j186.7 \Omega$  at the center frequency of 922.5 MHz, and possesses the power transmission about 98.56%. The radiation pattern is omni-directional beam. From the measurement, the maximum read range of the proposed antenna is 2.6 m. This tag antenna can be used in the national standard of UHF RFID in the frequency range of 920-925 MHz.

#### ACKNOWLEDGMENT

The authors would like to thank Dr. Pornanong Pongpaibool to provide IC chips and useful discussions. This work was supported by the Thailand Research Fund (TRF) under the contract number RTA-5180002.

#### REFERENCES

- [1] Z. N. Chen, "RFID tag antenna, *Antennas for Portable Devices*, England, John Wiley & Sons, 2007.
- [2] J. Bank, D. Hanny, M.A. Pachano, L.G. Thompson, *RFID Applied*, New Jersey, John Wiley & Sons, 2007.
- [3] P. Wongsiritor and C. Phongcharoenpanich, "A tapered-meander-line antenna for UHF RFID tag," *Proceeding of APSAEM08*, July 2008, pp. 322-325.
- [4] K.V.S. Rao, P.V. Nikitin and S.F. Lam, "Antenna design for UHF RFID tags: a review and a practical application," *IEEE Trans. Antennas Propagat.*, vol. 53, no. 12, December 2005, pp. 3870-2876.
- [5] G. Marrocco, "The art of UHF RFID antenna design: impedance matching and size-reduction techniques," *IEEE Antennas Propagation Magazine*, vol. 50, no. 1, February 2008, pp. 66-79.
- [6] P. R. Foster and R. A. Burberry, "Antenna problems in RFID systems," *IEE Colloquium on RFID*, October, 1999, pp. 3/1-3/5.
- [7] NXP Semiconductors, Ultra High Frequency Smart Label ICs [online] Available [www.nxp.com/acrobat\\_download/literature/9397/75016225.pdf](http://www.nxp.com/acrobat_download/literature/9397/75016225.pdf)
- [8] CST-Microwave Studio, User's manual, 2006

